



19. ULUSAL
MEDİKAL FİZİK KONGRESİ
Hilton Dalaman / Sarıgerme
02-05 KASIM 2023

KONGRE KİTABI



SUN NUCLEAR

A MIRION MEDICAL COMPANY

Patient Safety Starts Here



Machine



Patient



Platform



MEDiDEAL[®]

MEDİDEAL Medikal Projeler ve Çözümler San. Tic. A.Ş.

www.medideal.com.tr



İÇİNDEKİLER

DAVET [6](#)

KURULLAR [7](#)

BİLİMSEL PROGRAM [8](#)

KONUŞMA ÖZETLERİ [9](#)

SÖZLÜ BİLDİRİLER [39](#)

POSTER BİLDİRİLER [74](#)

AYDIN ÇAKIR-AÇILIŞ [10](#)

PET/BT Kalite Kontrol Testleri / MUSTAFA DEMİR [12](#)

MR Tabanlı Adaptif Radyoterapi / YÜCEL SAĞLAM [14](#)

Tanıda Yapay Zeka / YAĞIZ YEDEKÇİ [15](#)

Manyetik Rezonans Görüntüleme (MR) Sistemleri / ÖZGÜR DEMİRKILINÇ [16](#)

Srs/Sbrt De Tedavi Cihazının Hazırlığı / NAZLI BİLİCİ [17](#)

Lineer Hızlandırıcıların Geleceği? C-Tipi Lineer Hızlandırıcılar Var Olmaya Devam Edecektir / ALPER ÖZSEVEN [19](#)

SRS/SBRT'ye Geçişte Karşılaşılan Zorluklar / MEHMET ERTUĞRUL ERTÜRK [20](#)

Tübitak Ve Tüseb Projeleri Hakkında Bilinmesi Gerekenler / SERHAT ARAS [21](#)

Mamografide Kalite Kontrol / GİZEM ŞİŞMAN [22](#)

Flash Terapi / AYSUN İNAL [23](#)

Grid/Latice Radyoterapi / SONGÜL BARLAZ US [24](#)

Radyolojide Monte Carlo Uygulamaları / KADİR AKGÜNGÖR [25](#)

Radyoterapi'de Monte Carlo Uygulamaları / RECEP KANDEMİR [26](#)

Türkiye İlaç ve Tıbbi Cihaz Kurumu (TİTCK) Yönetmeliği ve Kalite Kontrol Çalışmalarından Beklentiler / LEYLA POYRAZ [27](#)

CBCT Tabanlı Online Radyoterapi / EMİNE BURÇİN İSPİR [28](#)

SBRT Tedavileri Brakiterapinin Yerini Alabilir mi? / ÖZNUR ŞENKESEN [29](#)

Yeni Protokoller Işığında Yaşanan Güncel Gelişmeler / HAKAN EREN [30](#)

Kalite Kontrolde Nereye Gidiyoruz? CİHAZ QA TEK BAŞINA YETERLİDİR / İSMAİL FARUK DURMUŞ [33](#)

Abdominal Bölgede Adaptif Radyoterapi / HÜSEYİN KIVANÇ / GÖKHAN ÖZYİĞİT [34](#)

Bilgisayarlı Tomografide Kalite Kontrol / İSMAİL FİNDİKLİ [35](#)

BT'de Yeni Teknolojiler ve Uygulamalara Getirdikleri / Ayşegül YURT [36](#)

Radyolojide Medikal Fizik Eğitimi / Ayşegül Yurt [37](#)

Küçük Alan Dozimetresinde Dedektör Seçimi / GÜLBİN KAVAK [38](#)



19. ULUSAL MEDİKAL FİZİK KONGRESİ

02-05 KASIM 2023



DAVET

Değerli Meslektaşlarımız,

19. Ulusal Medikal Fizik Kongresi, 2 Kasım–5 Kasım 2023 tarihleri arasında Dalaman-Muğla Hilton Sarıgerme Otel’de gerçekleştirilecektir. Kongre Düzenleme Kurulu olarak siz değerli meslektaşlarımızı, Mustafa Kemal Atatürk ve silah arkadaşlarının 29 Ekim 1923’te kurduğu Cumhuriyetimizin 100. yılında gerçekleşecek olan 19. Ulusal Kongremize davet etmenin haklı gururu ve mutluluğunu yaşamaktayız.

Kongre tarihimizin, tüm ulusumuz için son derece anlamlı ve önemli olan bu yıldönümüne denk gelmesi, kongre hazırlıklarımızı bizler için her zamankinden çok daha hassas hale getirmektedir. Yönetim Kurulu olarak, hem bilimsel hem de sosyal içerik olarak Cumhuriyetimizin 100. yılına yakışır bir kongre organizasyonu yapabilmek için son derece özenli çalışmakta ve hazırlanmaktayız.

Kongremizin Medikal Fizik alanında güncel konuların konuşulacağı zengin bilimsel içerikten oluşmasının yanı sıra, sosyal açıdan da günlük rutin yoğunluğumuzun stresini ve yorgunluğunu hafifletmesini ve her geçen yıl güçlenerek büyüyen Medikal Fizik camiasının etkileşim ve paylaşımlarını artırmasını hedeflemekteyiz.

Katılım ve desteklerinizle daha da zenginleşeceğine inandığımız kongremizin, meslek grubu olarak teorik ve uygulamaya yönelik bilgi, deneyim ve sorunlarımızı paylaşma ve tartışma olanağı bulacağımız önemli bir platform oluşturacağını düşünmekteyiz. Bu doğrultuda, kongremizde sizleri aramızda görmekten büyük mutluluk ve onur duyacağız.

Sevgi ve Saygılarımızla,

Kongre Düzenleme Kurulu Adına
Kongre Başkanı
Doç. Dr. Aydın Çakır



19. ULUSAL MEDİKAL FİZİK KONGRESİ

02-05 KASIM 2023



KURULLAR

Kongre Başkanı

Aydın Çakır
İstanbul Bilgi Üniversitesi

Kongre Genel Sekreteri

Emel Hacıslamoğlu
Karadeniz Teknik Üniversitesi

Kongre Bilimsel Sekreteri

Hilal Acar Demir
İstanbul Medipol Üniversitesi

Düzenleme Kurulu

Bülent Yapıcı
Acıbadem Mehmet Ali Aydınlar Üniversitesi

Murat Okutan
İstanbul Üniversitesi

Tamer Başer
Memorial Ankara Hastanesi Radyasyon Onkolojisi

Murat Köylü
Ege Üniversitesi

Bilimsel Kurul

Aydın Çakır
Ayşegül Yurt
Bülent Yapıcı
Emel Hacıslamoğlu
Hilal Acar Demir
Murat Köylü
Murat Okutan
Mustafa Demir
Tamer Başer
Turan Olgar
Türkey Toklu



19. ULUSAL MEDİKAL FİZİK KONGRESİ

02-05 KASIM 2023



02 KASIM 2023 PERŞEMBE

CUMHURİYET SALONU	
10:45-11:15	AÇILIŞ
11:15-12:00	OTURUM: Ülkemizde ve Dünyada Medikal Fizik Eğitimi: Dünü, Bugünü, Yarını Oturum Başkanı: Hatice Bilge Becerir Radyoterapide Medikal Fizik Eğitimi: Hilal Acar Demir Nükleer Tıpta Medikal Fizik Eğitimi: Mustafa Demir Radyolojide Medikal Fizik Eğitimi: Ayşegül Yurt
12:00-13:00	CUMHURİYET SALONU
	OTURUM: Adaptif Radyoterapi Oturum Başkanı: Murat Okutan MR Tabanlı Adaptif Radyoterapi: Yücel Sağlam BT/CBCT Tabanlı Adaptif Radyoterapi: Burçin İspir Aydınlioğlu
12:00-13:00	100. YIL SALONU
	OTURUM: Manyetik Rezonans Görüntüleme Sistemleri ve PET / MR Oturum Başkanı: Ayşegül Yurt Davetli Konuşmacı: Özgür Demirkılınc
13:00-14:15	ÖĞLE YEMEĞİ
CUMHURİYET SALONU	
14:15-14:45	UYDU SEMPOZYUMU: myQA ION: Radyoterapide Monte Carlo Tabanlı Bağımsız İkincil Doz Kontrol Yazılımı Konuşmacılar: Nadir Küçük / Esra Küçükorkoç
14:45-15:45	OTURUM: Tıpta Yapay Zeka Uygulamaları Oturum Başkanı: Haluk Orhun Tanıda Yapay Zeka: Yağız Yedekçi Tedavide Yapay Zeka: Görkem Güngör
15:45-16:15	KAHVE ARASI
16:15-18:15	CUMHURİYET SALONU
	YUVARLAK MASA: Adaptif Radyoterapi Kararı ve İş Akışı Oturum Başkanları: Uğur Selek / Emel Hacıislamoğlu Baş Boyun Kanserlerinde Adaptif Radyoterapi: Enis Özyar / Gökhan Aydın Toraks Bölgesi Kanserlerinde Adaptif Radyoterapi: Ufuk Abacıoğlu / Evren Ozan Göksel Abdomen Bölgesi Kanserlerinde Adaptif Radyoterapi: Gökhan Özyiğit / Hüseyin Kıvanç İnteraktif Tartışma
	16:15-17:15 100. YIL SALONU
16:15-18:15	OTURUM: Bilgisayarlı Tomografi Oturum Başkanı: Turan Olgar BT'de Yeni Teknolojiler ve Uygulamalara Getirdikleri: Ayşegül Yurt BT'de Hasta Dozları, Etkileyen Parametreler ve Doz Azaltımında Güncel Yaklaşımlar: İsmail Özsoykal
	17:15-18:15 100. YIL SALONU
16:15-18:15	OTURUM: Radyoloji ve Nükleer Tıpta Medikal Fizikçiler: Kim? Nerede? Ne Yapıyor? Oturum Başkanı: Mustafa Demir

03 KASIM 2023 CUMA

CUMHURİYET SALONU		100. YIL SALONU	
09:00-10:15	OTURUM: SRS / SBRT Tedavileri: 3N/1K Oturum Başkanları: Yıldız Güney / Tamer Başer Radyasyon Onkologları: Emine Canyılmaz / Serra Kamer Medikal Fizik Uzmanları: Canan Köksal Akbaş / Sinan Hoca Radyoterapi Teknikerleri: Sıdıka Okutan / İbrahim Balkan	OTURUM: Radyonüklit Tedavilerde Dozimetri Oturum Başkanları: Türkey Toklu / Meral Hiçürkmez Tiroit Hastalıklarında Dozimetri: Yasemin Parlak Lu-177 Dozimetrileri: Burcu Kozanlılar Y-90 Dozimetrileri: Bilal Kovan	
10:15-10:30 KAHVE ARASI			
CUMHURİYET SALONU		100. YIL SALONU	
10:30-11:45	OTURUM: Medikal Fizik Uzmanı Gözüyle SRS / SBRT Tedavilerine Geçiş Süreci Oturum Başkanı: Hilal Acar Demir Küçük Alan Dozimetresinde Dedektör Seçimi: Gülbin Kavak SRS/SBRT'de Tedavi Cihazının Hazırlanması: Nazlı Bilici Deneyim Paylaşımı: SRS/SBRTye Geçişte Karşılaşılan Zorluklar: Ertuğrul Ertürk	OTURUM: Radyoloji ve Nükleer Tıpta Örneklerle Dozimetri Oturum Başkanları: Ayşegül Yurt / Yasemin Parlak Nükleer Tıp'ta Dozimetri: Türkey Toklu Radyoloji'de Dozimetri: Turan Olgar	
CUMHURİYET SALONU			
11:45-12:15	UYDU SEMPOZYUMU: Comprehensive Motion Management & Clinical Experiences with Unity Konuşmacılar: Osman Akdağ / Mustafa Karademir		
CUMHURİYET SALONU		100. YIL SALONU	
12:15-13:30	YUVARLAK MASA: Lineer Hızlandırıcıların Geleceği? Oturum Başkanları: Banu Atalar / Tülay Ercan Görüş: Nadir Küçük Radyoterapide Bore Tipi Lineer Hızlandırıcı Devri Başlıyor Karşıt Görüş: Alper Özseven C tipi Lineer Hızlandırıcılar Var Olmaya Devam Edecektir Klinisyen Görüşü: Esra Kaytan Sağlam / Yasemin Bölükbaşı	OTURUM: Nükleer Tıp Radyasyon Dozları Oturum Başkanları: Bağnu Uysal / Burcu Kozanlılar PET/BT-SPECT/BT Çekimlerinde Teçhizat Optimizasyonu, Radyasyon Dozları ve Radyasyondan Korunma: Tuğba Haciosmanoğlu Tedavi Uygulamalarında Teçhizat Optimizasyonu, Radyasyon Dozları ve Radyasyondan Korunma: Alptuğ Özer Yüksel Radyofarmasötik Hazırlama İşlemlerinde Teçhizat Optimizasyonu, Radyasyon Dozları ve Radyasyondan Korunma: Emre Karayel	
13:30-14:45 ÖĞLE YEMEĞİ			
CUMHURİYET SALONU			
14:45-15:15	UYDU SEMPOZYUMU: Vault-Free, Cobalt-Free SRS: Introduction of ZAP-X Gyroscopic Radiosurgery Platform Konuşmacı: Nazlı Demirağ Hacettepe Üniversitesinde Yeni Bir Dönem: ZAP-X Jiroskopik RadyoCerrahi Tedavi Sistemi Konuşmacı: Yağız Yedekçi		
15:15-16:30	OTURUM: Bilimsel Proje Hazırlama ve Başarı Hikayeleri Oturum Başkanları: Bayram Demir / Murat Köylü Türkiye Sağlık Enstitüsü Başkanlığı (TUSEB) ve Tübitak Projeleri Hakkında Bilinmesi Gerekenler: Serhat Aras Avrupa Birliği ve Bilimsel Araştırma Projesi (BAP) Projeleri Hakkında Bilinmesi Gerekenler: Bayram Demir Projelerle Geliştirilen Ürünler ve Başarı Hikayeleri: İsmail Özsoykal		
16:30-16:45 KAHVE ARASI			
CUMHURİYET SALONU			
16:45-18:15	OTURUM: Sözel Bildiriler Oturum Başkanları: Nezahat Olacak / Nural Öztürk 1. Hastaya Özgü Kalite Güvencesi (PSQA) için Fantom Tasarımı, Üretimi ve Dozimetrik Stabilesinin Değerlendirilmesi: Taha Erdoğan 2. Tiroid Oftalmopatisi Tanısı Alan Olguların 3BKRT-VMAT ve Tomoterapi Radyoterapi Yöntemleri Kullanılarak Elde Edilen Planların Dozimetrik Karşılaştırılması: Özlem Dildan 3. Leksell Gamma Knife Radyocerrahisi Tedavi Planlamasında Kullanılan TMR10 ve Convolution Algoritmalarının Dozimetrik Olarak Karşılaştırılması: Ece Tek 4. Tüm Vücut Işınlamasında Kullanılan Helikal Tomoterapi, Volümetrik Ark Terapi ve Genişletilmiş SSD Tekniğinin Dozimetrik Olarak Karşılaştırılması Üzerine Çok Merkezli Bir Çalışma: Serap Çatlı Dinç 5. Tek İzomerkezli Çoklu Beyin Metastazı için VMAT ve HyperArc Tekniklerinin Dozimetrik Karşılaştırılması: Zeynep Özen 6. Görüntü Kılavuzluğunda Radyoterapi Uygulanan Prostat Kanseri Hastalarda Inter-fraksiyonel Değişimlerin Dozimetrik Etkisinin Doz Takibi ile Değerlendirilmesi: Gizem Bakıcıerler 7. Gafchromic EBT4 Film Kalibrasyonu: Tarama Yönü ve Pozisyonu Hala Önemli mi?: Yücel Akdeniz 8. Farklı Kolimasyon Yapısındaki Lineer Hızlandırıcı Cihazlarının Geniş Alan Sol Meme Yoğunluk Ayarlı Radyoterapisinde Karşılaştırılması: Melih Uluer 9. Sol Meme Kanseri Hastaları için Derin Inspirasyon Fazında Oluşturulan VMAT Tedavi Planlarının Serbest Solunumda Oluşturulan Helikal Tomoterapi Tedavi Planlarıyla Dozimetrik Karşılaştırılması: Evren Ozan Göksel 10. Türkiye'de Uygulanmakta Olan Kranyospinal Işınlama Tekniklerinin Dozimetrik Olarak Karşılaştırılması: Öznur Şenkesen		

CUMHURİYET SALONU

09:00-10:15	OTURUM: Türkiye İlaç ve Tıbbi Cihaz Kurumu (TITCK) Yönetmeliği ve Kalite Kontrol Çalışmalarından Beklentiler Oturum Başkanları: Bülent Yapıcı / Nadir Küçük Davetli Konuşmacılar: Nisa Karakuzu (Türkiye İlaç ve Tıbbi Cihaz Kurumu) Aydın Çakır (Medikal Fizik Derneği) Banu Atalar (Türk Radyasyon Onkolojisi Derneği) Leyla Poyraz (Tıbbi Görüntüleme Teşhis ve Tedavi Teknolojileri Derneği) Gökçe Kaan Ataç (Türk Radyoloji Derneği Görüntüleme Fiziği ve Güvenliği Eğitim ve Bilimsel Araştırma Grubu) Fani Bozkurt (Nükleer Tıp Derneği)
-------------	--

10:15-10:45 KAHVE ARASI

	CUMHURİYET SALONU	100. YIL SALONU
10:45-11:45	YUVARLAK MASA: Kalite Kontrolde Nereye Gidiyoruz? Oturum Başkanları: Serap Çatlı Dinç / Şule Parlar Görüş: İsmail Faruk Durmuş Cihaz QA'yi Tek Başına Yeterlidir Karşıt Görüş: Cemile Ceylan Hasta QA'den Vazgeçemeyiz	OTURUM: Nükleer Tıpta Kalite Kontrol Oturum Başkanları: Bilal Kovan / Yasemin Parlak Sayım ve Ölçüm Sistemleri: Bağnu Uysal SPECT'te Kalite Kontrol: Meral Değer PET'te Kalite Kontrol: Mustafa Demir

CUMHURİYET SALONU

11:45-12:15	UYDU SEMPOZYUMU: SBRT NTO: Yeni Eclipse Özelliği ile SBRT Planlarında Hassasiyet ve Verimliliğin Arttırımı Konuşmacı: Nadir Küçük
-------------	--



	CUMHURİYET SALONU	100. YIL SALONU
12:15-13:30	OTURUM: Gelişen Teknoloji Değişen Radyoterapi Oturum Başkanları: Bahar Dirican / Zerrin Gani Tumor Treated Field (TTF): Murat Köylü Flash Terapi: Aysun İnal Grid (Lattice) Terapi: Songül Barlaz Us	OTURUM: Radyolojide Kalite Kontrol Oturum Başkanı: Türkay Toklu Dijital Röntgen ve Floroskopide Kalite Kontrol: Asena Yalçın Mamografide Kalite Kontrol: Gizem Şişman Bilgisayarlı Tomografide Kalite Kontrol: İsmail Fındıklı

13:30-14:45 ÖĞLE YEMEĞİ

CUMHURİYET SALONU

14:45-15:15	UYDU SEMPOZYUMU: Radixact Synchrony – Tümör Takibi ve Helikal Fan Beam CT ile Klinik Deneyim Konuşmacılar: Erhan Dişçi / Damla Poyraz
-------------	--



	CUMHURİYET SALONU	100. YIL SALONU
15:15-16:30	OTURUM: Sözel Bildiriler Oturum Başkanları: Songül Karaçam / Sibel Karaca 1. Hyperion Optik Uyarımlı Kişisel Personel Dozimetre Cihazının Geliştirilmesi ve Üretilmesi: Hasan Uysal 2. Jinekolojik Kanserlerin Radyoterapisinde Pelvik Organların Hacimsel Değişimlerinin Dozimetrik Etkilerinin Değerlendirilmesi: Yılmaz Bilek 3. Metal Artefakt Azaltma Algoritmasının Radyoterapide Doz Hesaplama Doğruluğu Üzerine Etkisinin Araştırılması: Osman Vefa Gül 4. DCAT tekniği ile hazırlanan srs/srt ve akciğer sbrt planlarının myqa srs ve matrixx fantomlarla verifikasyonu ve karşılaştırılması: Zeynel ŞENOL 5. Meme Kanseri Olguların Radyoterapi Doz Hesaplamasında Farklı Fantomlardan Elde Edilen Elektron Yoğunluğu Kalibrasyon Eğrilerinin Dozimetrik Etkisinin Karşılaştırılması : Burcu Gökçe 6. MRI-Linak Tabanlı IMRT, Akciğer SABR için Konvansiyonel VMAT Tedavi Planlarına Göre Düşük Doz Hacimlerini Azaltabilir mi?: Yücel Sağlam 7. Prostat Kanseri Stereotaktik Vücut Radyoterapisinde Gerçek Zamanlı Adaptif Radyoterapi Özelliğine Sahip Lineer Hızlandırıcıların Dozimetrik Olarak Karşılaştırılması: Anatolia Serkizyan	OTURUM: Sözel Bildiriler Oturum Başkanları: Bilal Kovan / Turan Olgar 1. Radyonüklid Tedavi Lezyon Dozimetresinde Hacim Belirleme Parametrelerinin Optimizasyonu: Eda Mutlu 2. Tiroid Kanserinde Radyoaktif Iyot Tedavisi Sonrası Tüm Vücut Görüntülemesinde İdeal Çekim Zamanının Belirlenmesi Üzerine Bir Çalışma: Serdar Sedat Işık 3. Hipertiroidi Tedavisinde Radyoiod (I-131) Dozimetrisinin Etkinliği: Gamze Berk 4. İntrensek Homojenite Değişikliğine Neden Olan Ring Kablo Sorunu ve Giderilmesi: Tüm Vücut Kemik Sintigrafisi Çalışmasında Gözlenen Değişken Homojenite Vakası: Serdar Sedat Işık 5. Pediatrik Bilgisayarlı Tomografi Taramalarında CNR, Gürültü ve IQFinv Ölçümlerinin Farklı Kesit Elde Etme Algoritmalarında Değerlendirilmesi: Ahmet Özgür Kasapgil 6. Bilgisayarlı Tomografi (BT)de İteratif Kesit Elde Etme (Iterative Reconstruction, IR) Algoritmalarının TTF (Task Transfer Function) ve NPS (Noise Power Spectrum) Üzerindeki Etkisi: İsmail Fındıklı

16:30-16:45 KAHVE ARASI

CUMHURİYET SALONU

16:45-18:15	OTURUM: Medikal Fizik Derneği Oturumu
-------------	--





19. ULUSAL MEDİKAL FİZİK KONGRESİ

02-05 KASIM 2023



05 KASIM 2023 PAZAR



CUMHURİYET SALONU

08:30-09:45

OTURUM: Brakiterapide Güncel Yaklaşımlar

Oturum Başkanı: **Halil Küçüçük**

Yeni protokoller ışığında Yaşanan Güncel Gelişmeler: **Hakan Eren**

Brakiterapide Pozisyon Doğrulamasındaki Yenilikler: **Kadir Yaray**

SBRT Tedavileri Brakiterapinin Yerini Alabilir mi? : **Öznur Şenkesen**

09:45-10:15

KAHVE ARASI



CUMHURİYET SALONU

10:15-11:30

OTURUM: Monte Carlo Uygulamaları

Oturum Başkanları: **Taylan Tuğrul / İsmail Özsoykal**

Radyolojide Monte Carlo Uygulamaları: **Kadir Akgüngör**

Nükleer Tıpta Monte Carlo Uygulamaları: **Türkey Toklu**

Radyoterapide Monte Carlo Uygulamaları: **Recep Kandemir**



CUMHURİYET SALONU

11:30-12:30

KAPANIŞ



19. ULUSAL MEDİKAL FİZİK KONGRESİ

Hilton Dalaman / Sarıgerme
02-05 KASIM 2023

KONUŞMA ÖZETLERİ



19. ULUSAL MEDİKAL FİZİK KONGRESİ
02-05 KASIM 2023



KONUŞMA ÖZETLERİ

KONUŞMA ÖZETLERİ

Aydın Çakır - Açılış

Saygıdeğer Hocalarım, değerli meslektaşlarım, sayın konuklar,

Medikal Fizik Derneği 19.Ulusal Medikal Fizik Kongre'sini açıyor, kongremize katılan, tüm hocalarımıza, meslektaşlarımıza ve Sağlık Teknolojileri emekçileri sevgili dostlarımıza, değerli Medikal Fizik Derneği Yönetim Kurulu ve Kongre Düzenleme komitesine ve organizasyonda emeği geçen paydaşlarımıza saygılarımı sunuyorum.

Kongremizin Medikal Fizik mesleğinin saygınlığına, gelecek perspektifine, bilime ve insana olan inancına yakışır, üretken ve fikirlerin yarıştığı bir kongre olmasını diliyorum, ve öyle olacağına inanıyorum.

Saygıdeğer hocalarım,

Değerli meslektaşlarım,

Değerli konuklar,

İnsanlık, bugün 20. yüzyıl sona ererken yitirir gibi olduğu “değer” bilincine yeniden kavuşmak arzusuyla bir kez daha güçlerini harekete geçiriyor, belleğini yokluyor, yaratıcılığını sınıyor. Büyük umutların büyük kaygıların gölgesinden sıyrılışına, “umudun” umutsuzluğun içinde parıldayışına, “dayanışmanın” okyanusun derinliklerinden uç veriğine tanıklık ettiği bir dönemeçteyiz.

Bugün ülkemiz, Ortadoğu’da yaşanan, “din ve mezhep ayrımcılığı” ve “ırkçılık” olmak üzere iki derin fay hattı üzerinde bulunmaktadır. Bizler; kardeşlik, barış, huzur ve güvenli bir gelecek için her türlü din ve mezhep ayrımcılığına ve ırkçılığın her türlüsüne karşı olmak zorundayız. Farklılıkları ayrışmanın bir sebebi değil, zenginleşmenin aracı olarak görmeliyiz.

Bizler, Başkomutan Mustafa Kemal Atatürk’ün “Yurtta sulh cihanda sulh” deyişiyle ne yurtta, ne cihanda bir tek insanın bile burnunun kanamasını istemeyiz.

Ulusal Kongremizin, Cumhuriyetimizin 100.yılına denk gelmesi bizleri ayrıca mutlu etmiştir. Bu vesileyle her karış toprağı şehit kanıyla sulanmış bu yüce vatan uğrunda savaşmış başta Cumhuriyetimizin kurucu lideri Gazi Mustafa Kemal Atatürk ve silah arkadaşları olmak üzere, vatan savunması için şehit olmuş gazi olmuş tüm ecdadımızı rahmetle anıyoruz.

Değerli meslektaşlarım,

Sevgili konuklar,

Bir düşünür, “Teoride, teori ve pratik arasında fark yoktur, ama pratikte vardır” demiş. Bizler her zaman dönem başında odaklandığımız çalışma programları ile döneme başlıyor, sonra da bunları tüm camiamıza yarar getirecek şekilde hayata geçirmek için çalışıyoruz. Elbette zaman zaman teoride olmayan farklar, pratikte açığa çıkıyor.

Alman şair Maria Rilke, “Genç Şaire Mektuplar” adlı eserinde: “Sanatçı olmak, hesap yapmamak, sayı saymamak, öz suyunu zorlamaksızın ve yazın gelmeyebileceğinden korkmaksızın bahar fırtınalarına göğüs geren bir ağaç gibi olgunlaşmaktır” demişti. Bizler de böyle bir dünya istiyorsak, çok mu şey istemiş oluyoruz?

Değerli meslektaşlarım,

Bizlerin bugün yaşadığı en akut sorunlardan bir tanesi, sistemsiz bir biçimde açılan, çoğunda yeterli öğretim üyesi ve altyapı olmayan Sağlık Fiziği programlarıdır. Sağlık Fiziği programlarında sınırlamanın sağlıklı bir biçimde uygulanabilmesi için mutlaka;

- Fakülte altyapılarının iyileştirilmesi,

- Uzman insan gücü yetiştirecek yeni formüller üzerinde çalışılmalı, üniversitelerin bir kısmı buna göre yeniden konumlandırılmalı,

- Sağlık Fiziği eğitiminin standartları geliştirilmeli, ihtiyaca yönelik eğitim programları uygulanmalıdır.

Örgütsel gelişme yönünde de adımlar atmak durumundayız. Örgütsel gelişmenin ilk ayağı olarak kendi içimize kapalı bir yapı olmaktan çıkmak, Medikal Fizik alanında kendi dışımızdaki örgüt ve yapılarla işbirliklerinin imkânlarını yaratmak ve çoğaltmak için çaba göstermeliyiz. Onların da katkılarıyla zenginleşeceğimize, bütünleşeceğimize ve geleceğimizi hep birlikte kazanacağımıza inanıyorum.

Değerli meslektaşlarım,

7 Kasım 1867 tarihinde Polonya’da doğan “Marie Skłodowska-Curie”, radyoaktivite üzerine çığır açan çalışmalarıyla Medikal Fizik alanında öncüdür. Bu anlamlı gün ilk defa 7 Kasım 2013 tarihinde “Uluslararası Medikal Fizik” günü olarak kutlanmaya başlamıştır. Medikal Fizik biliminin hasta tedavisinde oynadığı role dikkat çeken, ayrıca önemli medikal fizikçilerin tarih boyunca anıldığı bir gündür. Her yıl, dünyanın dört bir yanındaki medikal fizikçiler “7 Kasım Uluslararası Medikal Fizik Günü”nü çeşitli etkinliklerle kutlamaktadırlar. Bu vesileyle tüm meslektaşlarımın “Medikal Fizik Günü”nü kutluyorum.

Geçtiğimiz dönem umut dolu ama zor bir dönem oldu. Bizler başta mensubu olduğumuz “Medikal Fizik” mesleğine, örgütümüze, sağlık sistemine ve halkımıza olumlu bir şeyler katabilme isteği ve gayreti ile çalışmalarımızı sürdürdük, sürdürüyoruz.

Bizden önce hizmet edenlerin koymuş olduğu tuğlanın üzerine bir tuğla daha koyarak yapılanları geliştirip büyötmeye çaba sarf ediyoruz.



19. ULUSAL MEDİKAL FİZİK KONGRESİ

02-05 KASIM 2023



KONUŞMA ÖZETLERİ

ruz, yıllarda da devam edeceğiz. Bu anlamda 19'ncü Medikal Fizik Kongremizin mesleğimize, meslektaşlarımıza, sağlık alanına ve ülkemize yararlı olmasını, umut dolu yıllara, geleceğin ışıklı günlerine pencereler açmasını diliyorum.

Beni dinlediğiniz için teşekkür ediyor, Kongremize onur veren hocalarımız başta olmak üzere, katılım sağlayan değerli meslektaşlarımıza ve kongremiz için sponsorluk sağlayan değerli teknoloji tedarikçilerimiz hepimizi saygılarımla selamlıyorum.

Doç.Dr.Aydın ÇAKIR

Medikal Fizik Derneği Yönetim Kurulu Başkanı



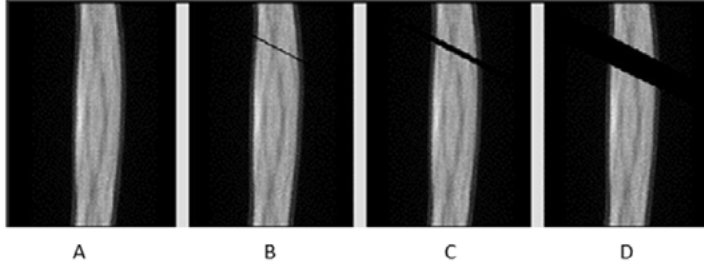
KONUŞMA ÖZETLERİ

PET/BT Kalite Kontrol Testleri / Prof.Dr.Mustafa Demir

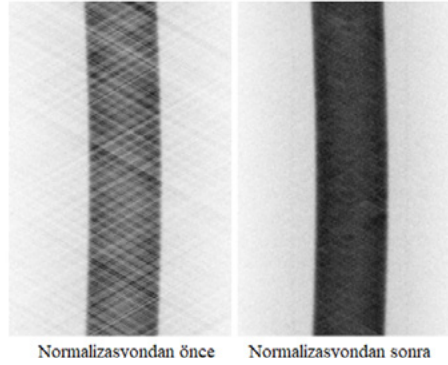
PET/BT görüntüleme sistemlerinin rutine girmesi ile birlikte nükleer tıpta yeni ufuklar açılmış, bu sayede kanserde primer odağın yeri, metastatik odakların yerleri, tedaviye yanıtın değerlendirmesi ve evreleme ve radyoterapi planlama daha kolay ve doğru olarak tespit edilebilir olmuştur.

Pozitron, pozitif yüklü bir elektrondur. Yolu üzerindeki bir elektrona çarpınca, kütlelerin enerjiye dönüşümü olayı gerçekleşir. Çarpışan kütleler yok olurken, 511 keV enerjili iki tane anihilasyon fotonu birbiriyle 180° açı yaparak zıt doğrultuda salınırlar. Bu olaya anihilasyon (yok olma), oluşan fotonlara da anihilasyon fotonları denir. PET anihilasyon fotonlarının görüntülenmesine dayanır. Günümüzde pek çok PET radyofarmasötüğü bulunmakla birlikte ¹⁸F ve ⁶⁸Ga en sık kullanılanlardır.

PET/BT tekniğinde aslında PET ve BT iki ayrı gantridir. Her bir gantrinin kalite kontrol testleri ayrı ayrı yapılır. PET günlük kalite kontrol testlerine BT tüpünün ısıtılması ile başlanır. Sonra gantri içinde hiçbir nesne yokken ⁶⁸Ge kaynağı ile bir tarama yapılarak sinogramların düzgünlüğü, kristal veya detektör bloğu hataları kontrol edilir. PET cihazının marka ve modeline göre değişmekle birlikte ⁶⁸Ge kaynakları çizgisel veya silindirik olup aktiviteleri 2-2.5 mCi dir. Bu testin haftalık olarak yapılması tavsiye edilir (Şekil 1).



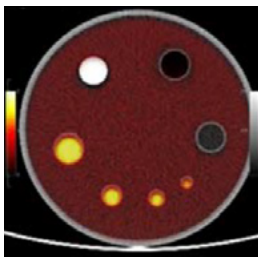
Şekil 1: PET tarayıcıda sinogram görüntüleri. A. Normal, B. Kötü detektör, C. Kötü blok, D. Kötü kontrolör. Kötü detektör hatası izlenirse normalizasyon kalibrasyonu yapılarak düzeltme sağlanabilir (Şekil 2)



Şekil 2: PET/BT’de detektör kontrolü. PET/BT tarayıcıda alınmış sinogram görüntüleri

PET/BT’de Bilgisayarlı Tomografi (BT)’nin haftalık yapılması gereken önemli testlerinden biri Haunsfield fantom ile kalibrasyondur. Bu fantomun bir ucunda hava (akciğerleri temsil eder) ortasında su (kasları ve vücut sıvılarını temsil eder) diğer ucunda bir demir tel (kemik yapıyı temsil eder) vardır. Bu üç farklı yoğunluktaki materyal -16 000 ile +16 000 olmak üzere BT görüntülerindeki renklendirmeyi sağlayan toplamda 32 000 gri skala rengine karşılık gelen kodları (BT numaraları) belirler.

Aylık yapılması önerilen iki test vardır. Bunlardan biri PET ve BT görüntülerinin füzyon (çakışma-hizalama) kontrolüdür. Bunun için PET kalite kontrol fantomu kullanılabilir. Fantomdaki doldurulabilir 4 adet küreye ¹⁸F radyonüklidi, ikisine su doldurulur. Diğer lezyon teflon ile doludur. Fantomun içindeki boşluğa background aktivitesi olarak daha az konsantrasyonda ¹⁸F konur. Rutin klinik protokole göre PET/BT taraması yapılarak lezyonların BT ve PET görüntülerinin çakışması-hizalanması göz ile kontrol edilir (Şekil 3)





19. ULUSAL MEDİKAL FİZİK KONGRESİ

02-05 KASIM 2023



KONUŞMA ÖZETLERİ

Şekil 3: PET kalite kontrol fantomunda PET ve BT çakışma-hizalama test görüntüleri. Sağda 68Ge çubuk kaynaklarının çekim için pozisyonlanması.

Aylık kalite kontrol testlerinden diğeri gantry offset kalibrasyonudur. Bu test için çapraz konumda sabitlenmiş 68Ge (0.1-2 mCi) çubuk kaynaklar kullanılır (Şekil 3). Kalibrasyon değerleri görüntü proseslerinde otomatik olarak kullanılarak merkezden sapmalar software ile düzeltilmiş olur.

Üç aylık standart uptake değeri (SUV) kalite kontrolleri, genellikle klinikte en çok kullanılan radyonüklit olan 18F ile yapılır. Bununla birlikte klinikte rutin olarak kullanılan diğere PET radyonüklitleri ile de yılda bir kez SUV kontrolü ve homojenite testinin yapılması önerilmektedir. SUV kontrolünde Pratik pratik bir yöntem, 500 ml plastik su şişesinin içine 500 µCi 18F konularak homojen karışım sağlanır. PET tarayıcıda bir yatak pozisyonunda görüntü alınır. Görüntünün herhangi bir yerinde ölçüne SUV değerinin 1 (bir) çıkması beklenir.

PET rutin kalite kontrol testlerinden başka kabul testleri de vardır. Kabul testleri NEMA standartlarına göre yapılır. Bu testleri burada detaylı bir şekilde anlatmayı testlerin isimlerini vereceğiz. PET NEMA testleri toplam 5 tanedir. Bunlar 1.Sensitivite (Hassasiyet) 2. Uzaysal ayırma gücü 3. Sayım Kayıpları ve Random Düzeltmelerin Doğruluğu 4. Saçılma Fraksiyonu, Kayıp Sayımlar ve Rastgele Olay Ölçümleri 5. Görüntü Kontrastı ve Saçılma/Foton Azalımı Düzeltmesi.

Amerikan Medikal Fizikçiler Birliği (AAPM) PET kabul testlerine farklı bir yaklaşım getirmiştir. NEMA testlerinin yapılabilmesi için özel fantomlar gerekmekte, işlem süreleri uzun ve sonuçların analizi için üreticinin önerdiği yazılımın kullanılması gerekmektedir. Fakat AAPM testlerinin uygulanması kolay, işlem süreleri kısa ve fantomların elde edilmesi daha kolaydır. Bu nedenle PET kabul testlerinde AAPM Task Group 126 report alternatif bir yöntem olarak sunulmuştur.



KONUŞMA ÖZETLERİ

MR Tabanlı Adaptif Radyoterapi / Doç. Dr. Yücel Sağlam

VKV Koç Sağlık Kuruluşları

Manyetik rezonans (MR) görüntüleme sisteminin radyoterapi (RT) tedavi cihazı olan lineer hızlandırıcıya (Linak) entegrasyonu, tedaviden önce ve tedavi pozisyonundayken MR görüntülerinin çekilebilmesine imkân vermiştir. Bu tedavi yöntemi, MR görüntüleme teknolojisinin kullanılmasıyla daha hassas ve etkili bir şekilde tümör hücrelerini hedef almayı amaçlamıştır. Ayrıca yüksek kaliteli MR görüntüleme çevrimiçi görüntü kılavuzu ile RT yapılmasına imkan sağladığı gibi tedavi sırasında hızlı ve kolay adaptif planlama yapılmasını mümkün kılmıştır. Diğer RT sistemleriyle karşılaştırıldığında referans belirteçler yerleştirmeden yumuşak dokunun daha iyi görüntülenmesi sağlayarak, gerçek zamanlı tümör takibi ve kritik organlarda (OAR) potansiyel olarak daha düşük toksiteyle adaptif radyoterapi yapılmasına imkan vermektedir. MR kılavuzluğunda adaptif RT (MR-GRT) genellikle tümör ve çevre dokuların daha net görüntülenmesi gereken durumlarda bu teknikle değerlendirilebilir.

MR-GRT, ış akışlarında MR görüntülerinin kullanılmasını ifade eder. MR-GRT, tümör ve çevre dokuların daha hassas bir şekilde görüntülenmesine ve radyoterapi planlamasına olanak tanır. MR-GRT ış akışı süreci sırasıyla simülasyon, planlama, OAR ve hedef hacim çizimi, doz tahmini, yeniden optimizasyon ve çevrimiçi kalite kontrol, hedef izleme ve tedavi adımlarından oluşur.

MR kılavuzluğunda adaptif RT ış akışının genel bir özeti:

Simülasyon: Bu süreçte, hastanın pozisyonu belirlenir ve hareket azaltma cihazları kullanılabilir. Hasta, tedavi pozisyonunda MR-Linak cihazına yerleştirilir. MR-GRT simülasyonu, radyoterapi planlama sürecine entegre edilir. Bu aşama, doğru bir tedavi planının oluşturulabilmesi için kritiktir.

Planlama: MR-GRT'nin kullanılacağı hasta grupları belirlenir ve tedavi planlaması yapılır. Bu aşamada, hastanın pozisyonu, hareket azaltma teknikleri ve ilgili anatomik bölgelerin belirlenmesi gibi faktörler göz önünde bulundurulur. MR-GRT, yüksek kontrastlı ve yüksek çözünürlüklü görüntüler sağlar.

Görüntüleme ve Konturlama:MR-GRT ış akışında hasta pozisyonunun doğru olup olmadığının anlaşılması için kullanılan 3B düşük çözünürlüğe sahip görüntüleme pozisyonlama adımı olarak düşünülebilir. Bu adım basit eşleşmeler için kullanılır. Detaylı eşleştirme veya hassas çizim için kullanılmaz. Hastayı masada pozisyonlamak için düşük çözünürlüklü hızlı görüntüleme alınması MR-Linak tedavisindeki ilk adımdır. Gerekli eşleşme ve pozisyonlama için kullanılır. Yüksek çözünürlüklü görüntüleme, 3B 1,5 mm x 1,5 mm x 1,5 mm çözünürlüğe sahip farklı zaman aralığında detaylı çekim aşamasıdır. Bu görüntüler, radyasyon onkologları tarafından tümör ve riskli bölgelerin belirlenmesi için kullanılır. Yüksek çözünürlüklü görüntüler kullanılarak MR-GRT adaptif aşamasında kullanılacak OAR ve GTV hacimlerinin tanımlanması ya da düzeltilmesi işlemi içerir.

MR-GRT Tedavi Planlaması: Tanımlanan OAR ve GTV hacimleri dikkate alınarak radyoterapi planı oluşturulur. Bu plan, tümör hücreleri hedef alınırken, sağlıklı dokulara minimum zarar verme amacını taşır. Sağlıklı dokuların zarar görmemesi için optimum radyasyon dozları hesaplanır. Hesaplamaların doğru yapılabilmesi için de elektron yoğunluk haritasının doğru olduğundan emin olunması gerekmektedir. Daha önce hesaplanmış orijinal plan ile günün anatomisinin üzerindeki doz farkı kıyaslanır. Klinik olarak anlamlı fark olduğu takdirde adaptif planlamaya geçilerek yeniden optimizasyon yapılır. Uygulanan optimizasyon, kabul kriterlerine ulaşıncaya kadar tekrarlanarak tedaviye devam edilecek yeni adaptif plana karar verilir.

Tedavi: MR-GRT'nin gerçek zamanlı görüntüleme özellikleri, tedavi sırasında organların ve tümörün konumunu izlemeye yardımcı olur. Kullanıcı tarafından seçilen ideal bir sagittal kesit üzerinde GTV ya da tümöre istenilen takip sınırı ve oranı seçilerek sine MR taraması modunda gerçek zamanlı ışınlama yapılır.



Resim: MR-Linak sistemi ile uygulanan MR-GRT ış akış şematik gösterimidir.



19. ULUSAL MEDİKAL FİZİK KONGRESİ
02-05 KASIM 2023



KONUŞMA ÖZETLERİ

Tanıda Yapay Zeka / Yağız Yedekçi

Yapay Zeka (YZ), günümüz sağlık sektöründe önemli bir rol oynayan teknolojik bir gelişme olarak öne çıkıyor. Bu teknoloji, tıp alanında tanı, tedavi planlaması, ilaç keşfi, eğitim ve simülasyon, veri analizi ve tahminler gibi birçok alanda potansiyel avantajlar sunmaktadır. YZ'nin sağlık sektöründeki kullanımı, büyük veri kümelerini hızlı bir şekilde analiz edebilme yeteneği sayesinde önemli bir avantaja sahiptir. Bu özellik, karmaşık hastalık ilişkilerini anlama ve geniş veri setlerinden anlamlı bilgiler çıkarma konusunda önemli bir rol oynar. Ayrıca, hastalıkların erken teşhisi, tedavi planlarının optimize edilmesi ve genel sağlık durumunun iyileştirilmesi gibi konularda YZ'nin etkin bir rol oynayabileceği görülmektedir.

YZ'nin bir diğer avantajı, insan hatalarını azaltma potansiyelidir. Programlandıkları doğrultuda konsantre bir şekilde çalışabilen YZ sistemleri, özellikle tıbbi uygulamalarda düşük hata oranlarıyla çalışma avantajını beraberinde getirir. Bu durum, hastaların doğru bir şekilde değerlendirilmesi ve tedavi planlarının doğru bir şekilde uygulanması konusunda kritik bir rol oynar.

Tahmin yeteneği, YZ'nin sağlık sektöründeki önemli özelliklerinden biridir. Geçmiş veri analizi üzerinden gelecekteki olayları tahmin etme yeteneği, özellikle stratejik planlama süreçlerinde önemli bir role sahiptir. Sağlık sektöründe, hastalıkların gelişimini önceden tahmin etmek, erken müdahale imkanı sağlayarak tedavi başarısını artırabilir.

Ancak, YZ'nin sağlık sektöründeki kullanımı beraberinde bazı zorlukları da getirir. Veri kalitesi, YZ modellerinin doğru ve güvenilir verilere ihtiyaç duymasını gerektirir. Eğer kullanılan veriler hatalı, eksik veya yanıltıcı ise, YZ'nin sonuçları da hatalı olabilir.

Genelleyebilirlik sorunu, YZ modellerinin eğitildiği veri setine sıkı bir şekilde bağlı olabilecekleri gerçeğini yansıtır. Bu durum, modelin farklı hastalar, popülasyonlar veya koşullar için genelleme yapma yeteneğini sınırlayabilir. Özellikle nadir hastalıklar veya nadir klinik senaryolar için geçerlidir.

İnsan gözlemlerinin kısıtlamaları da göz önüne alındığında, YZ'nin tamamen insanların yerini alması uygun değildir. İnsan-makine işbirliği, YZ sonuçlarını doğrulamak ve yorumlamak için önemlidir.

Bu, hasta bakımının kalitesini artırmak ve güvenliği sağlamak için önemli bir adımdır.

Geliştirme ve bakım maliyeti, YZ modellerini geliştirmek ve güncellemek maliyetli olabilir. Ayrıca, bu modellerin sürekli olarak güncel ve güvenli kalması gerekebilir. Bu durum, sağlık sektöründeki kuruluşların bütçe ve kaynak planlaması yaparken dikkate almaları gereken önemli bir faktördür.

Hasta gizliliği, YZ'nin hassas tıbbi verileri işlerken dikkate alınması gereken önemli bir konudur. Verilerin nasıl saklandığı, işlendiği ve paylaşıldığı konusunda titiz bir şekilde yönetilmesi gerekmektedir. Hasta güvenliği ve mahremiyeti konuları, YZ'nin sağlık sektöründeki kullanımında öncelikli olarak ele alınmalıdır.

Sonuç olarak, Yapay Zeka'nın sağlık sektöründeki potansiyeli büyük olmakla birlikte, dikkatlice yönetilmesi ve sorumlu bir şekilde kullanılması gerekmektedir. Sağlık profesyonelleri arasında eğitim ve bilinçlendirme süreçlerinin güçlendirilmesi, YZ'nin sağlık sektöründe etkili ve güvenilir bir şekilde entegre edilmesine katkı sağlayacaktır. YZ'nin potansiyelini tam anlamıyla değerlendirebilmek için, teknolojiye yönelik güncel bilgilere sahip sağlık profesyonelleri ve etik uzmanları arasında etkili bir iletişim ve işbirliği gerekmektedir.



19. ULUSAL MEDİKAL FİZİK KONGRESİ
02-05 KASIM 2023



KONUŞMA ÖZETLERİ

Manyetik Rezonans Görüntüleme (Mr) Sistemleri / Özgür Demirkılınc

Manyetik Rezonans Görüntüleme (MR) Sistemleri, temelde atomik yapıların manyetik özelliklerini kullanarak detaylı görüntüler elde etme amacını taşır. Bu sistemler pratikte Hidrojen atomunu, manyetik bir alan içinde uyararak, Net Manyetizasyon Vektörü ve Larmor Eşitliği prensiplerine dayalı görüntüleme kullanır. Bu süreçte kullanılan Magnet, manyetik alan gücü(B0) ve Radyo Frekansı (B1) gibi bileşenler, manyetik rezonansın optimize edilmesini sağlar. Gradientler ve RF bobinleri, görüntü kalitesini artırmada önemli bir rol oynar. Esnek Battaniye Koilleri gibi inovasyonlar, hastaların konforunu artırarak signal-to-noise ratio (SNR) üzerinde olumlu bir etki yapar. Gelişmiş teknikler arasında yer alan yapay zekâ ve derin öğrenme tabanlı görüntü rekonstrüksiyonu, elde edilen görüntülerin kalitesini ve hızını artırır.

Manyetik Rezonans (MR) görüntüleme süreçlerinde, Puls Sekansları ve Görüntü Kontrastları, Spin Eko, Gradient Eko, ZTE (Zero Time Eko) gibi kavramlar, farklı doku tiplerinin ve anatomik özelliklerin ayrıntılı bir şekilde görüntülenmesini sağlar. Bu yöntemler, kemik görüntüleme (ZTE) organ analizine kadar geniş bir yelpazede kullanılabilir. Bu bağlamda, manyetik rezonans için esnek koiller ve hızlandırma teknikleri, geleneksel sınırlamaların ötesine geçerek görüntü kalitesini artırır. Bu süreçlerdeki inovatif gelişmeler, sadece hastalıkların teşhisinde değil, aynı zamanda tedavi planlamasında da önemli avantajlar sunar. Bu, manyetik rezonans görüntüleme sistemlerinin sürekli evrimine ve hastaların yaşam kalitesini iyileştirmeye yönelik giderek artan bir odak noktası haline gelmesine neden olmuştur.

Hibrid bir modalite olan PETMR (Pozitron Emisyon Tomografisi ve Manyetik Rezonans Görüntüleme), tanısal görüntüleme teknolojilerinde bir devrim niteliğindedir. Bu sistem, Manyetik Rezonans'ın yüksek çözünürlüklü anatomik bilgileri ile Pozitron Emisyon Tomografisi'nin metabolik aktiviteyi hassas bir şekilde ölçme yeteneklerini birleştirir. PETMR, eş zamanlı tarama uygulamalarını destekler, bu da hastanın tek bir seansta hem anatomik hem de metabolik bilgilerin detaylı bir şekilde elde edilmesini sağlar. PET teknolojisinde dedektörler (PMT, APD, SiPM) önemli rol oynar. Silicon Photomultiplier (SiPM) dedektörler özellikleri nedeniyle modern PETMR sistemlerinde yüksek performans sağlarlar. Ayrıca MR tabanlı Attenuation Correction ve inovatif uygulamalar, PETMR'ın tanısal doğruluğunu ve klinik kullanılabilirliğini artırır. Time-of-Flight PET teknolojisi ve yeni coil tasarımları, görüntüleme sürecini optimize eder ve yapay zekâ uygulamaları, PETMR'ın avantajlarını daha da güçlendirir. Özellikle beyin hareket düzeltme uygulamalarındaki gelişmeler, Alzheimer gibi hastalıkların daha kesin bir şekilde değerlendirilmesine olanak tanır ve klinik karar alma süreçlerini iyileştirir.



19. ULUSAL MEDİKAL FİZİK KONGRESİ

02-05 KASIM 2023



KONUŞMA ÖZETLERİ

Srs/Sbrt De Tedavi Cihazının Hazırlığı / Nazlı Bilici

SRS, SBRT ya da SRT NEDİR? Bunların hepsi aslında fraksiyon başına yüksek doz radyasyon veren tekniklerdir. Bu tedavi tekniğinde ablatif doz adını verdiğimiz 5gy ve üstü dozlar kullanıyoruz. Intrakraniyal ve ekstrakraniyal olarak ikiye ayrılıyor. SRS de beyin içine tedavi tek fraksiyonda uygulanırken, SRT DE tedavi beyin içine birden fazla fraksiyonlarla uygulanır. SBRT de ya da diğer adıyla saber da ise srs gibi tek fraksiyonda ya da multiple fraksiyonlarda akciğer, karaciğer, prostat gibi beyin dışı bölgelere uygulanmaktadır. Planlama yaparken temel mantık ise; PTV ye yüksek dozlar tanımlarken alan dışı sağlıklı dokuların ise en minimalde olmasıdır. Homojen doz dağılımında PTV ya da ITV içinde bulunan maksimum dozlar yüzde 110a kadar kabul edilirken, alan dışı doz düşüşü ise yavaştır, Heterojen bir doz dağılımında ise beam margini penumbraya daha da yaklaştırarak, PTV'nin içindeki maksimum dozların yüzde 125 ve daha fazlasına izin verilmekte ve alan dışı doz düşüşü ise daha hızlı olmaktadır.

Sıkı marjinlerle yüksek doz düşüşü sağlayabilmek için, planlarda fazla gantry, masa açıları ve küçük mlc liflerine ihtiyaç vardır. Piyasada popüler olan iki cihaz elekta versa hd, harmony ve varianın edge ve trubeam cihazlarının mlc yapılarına bakacak olursak, ikisinde de lif yapılarının srs sbrt tedavi planlamaları için uygun küçük lifler olduğunu görüyoruz. Elekta cihazının lifleri izosenterde 5mmken virtual liflerle 1mm'e kadar düşürülebiliyor, varian cihazlarında ise merkezde lifler 2.5mm. Örnek olarak 1cm life sahip olan bir linak cihazında doz düşüşünü sağlayamayacağınızdan cihazınızı upgrade ediyorsanız mlc yapısı önem kazanıyor. İkinci bir cihaz özelliği ise; enerji ve dose ratedir. Günlük yüksek doza çıktığımız için hasta planındaki Monitor unit sayısında yüksek olacaktır. Birde noncoplanar tedaviler yaptığımız için hastanın cihazda yatış süresi uzamaktadır. SRS ve sbrt de hastayı olabildiğince hareketsiz hale getirmeye çalıştığımız için de hastanın konforu da bozulmaktadır. Bu yüzden bu tekniklerde cihazın yüksek dose rateine ihtiyacımız vardır. Her iki cihazda da 6 fff de 1400 mu ve 10 fff de 2400 mu/dak dose rate ulaşmaktadır. Bunu sağlayanda linaklarda olan tungstenden oluşmuş flattening filter dediğimiz düzleştiricinin kalkmasıyla, merkezdeki dose rate 2-5 katına çıkmaktadır. Bu yüzden SRS-SBRT tedavilerinde flattening filter free 6fff-10fff enerjiler kullanılmaktadır. Ayrıca fff ışınlarının dozimetrik avantajlarına bakarsak, Off-axis beam hardeningden daha az etkilenirler. Işın kolimasyonu dışında sızdırma daha az olur. Yani yeni bir linak aldığımızda ya da upgrade ettiğinizde cihazın mlc yapısı ve dose rate değeri de önem kazanmaktadır.

Mühendis cihazı kurduktan sonra, cihazın kabul testi olan customer acceptance testi gerçekleştiriyoruz. 6-10MV enerjilerinin yanında FFF enerjilerinin kabulünde simetri değerlerine aynı şekilde kabul ederken, artık unflat dediğimiz değerler geldiği için üretici firmanın önerdiği aralıkta kabul testini yapabilirsiniz.

Klasik linaklarda olan mekanik, vmat ,görüntüleme testlerinin yanı sıra radyasyon izomerkezi testi çok daha önem kazanıyor, yine üretici firmaya ait fantom ve ekipmanlarla bunu yapabilirsiniz. Ben burada örnek olarak kliniğimizde kullandığımız ball bearing adı verilen ve radyasyon izomerkezi testi yapmamızı sağlayan ekipmanı koydum. Bu teste stereotaktik tedaviler uyguladığımız için 1mm altında olan değeri kabul etmek gerekiyor. Farklı masa, gantry açılarındaki görüntüler çekilip programa yükleniyor. Oluşan dairenin çapı 1mm'den küçükse test geçmiş oluyor. Bu kalibrasyon kaydedilip, daha sonra rutinde bunu kontrol ediyoruz.

Beam dataya başlamadan evvel cihazınızın kabul testinden geçmesi gerekiyor. Mekanik anlamda, gantry nin dengesinin, SSD göstergesinin, izosenterinizin toleranslar içinde olması gerekiyor. Eğerki yeni bir su fantomu kliniğe alınacaksa, piyasada yeni çıkan SRS su fantomlarından alabilirsiniz ya da otomatik alignment yapan su fantomlarını tercih ederseniz su fantomu kurulumu açısından daha rahat etmiş olursunuz.

Beam data için dedektör seçimi küçük alan profil taramaları için çok önemli. Işının Penumbrasını iyi saptayabilmesi için, yüksek rezülas-yona; FFF ışınları içinse dose rate bağımlılığı limitli olmalıdır. Şuan da piyasada kullanabileceğimiz tablodan da active volüme etkilerini ve ayrıntılarını görebileceğiniz bir sürü dedektör var. Peki biz hangisini seçmeliyiz? Küçük alan dozimetresi oldukça önemli. Özellikle de Volüme avering effect. Bu etki inplane crossplane taramalarında penumbranın şeklini ve büyüklüğünü değiştirebilir. Bu ne demek?

Şimdi elimizde farklı boyutlara sahip dedektörler var. Bu dedektörlerle profili ölçtüğümüzü düşünelim. Semiflex iyon odasının boyutu, alan boyutuna göre daha büyük bu profili ölçmeye uygun değil, ki aslında çok küçük olmasa da küçük bir boyuta sahip. Neden ölçmeye uygun değil? Tüm dedektörlerin oluşturduğu etkiye baktığımızda, semiflex de mavi olan merkezde daha az doz, ve alanın dışında ise daha fazla doz görüyoruz. İşte bunların tüm sebebi, dedektörün volümüyle alakalı.

Gönderdiğimiz beam datanın modeli geldikten sonra, modeli TPS'e yüklüyorsunuz. Modelin doğruluğundan emin olmak için bazı testler yapmak zorundasınız. Öncelikle TPSin istediği beam data alanlarını TPS de hesaplatıyoruz. Sonra bunların datasını alıp bu commissioning denen programda hesaplatıyoruz. Bu programa gönderdiğimiz beam datayı ve tpsin hesapladığı değerleri yükleyip karşılaştırma yapıyoruz. Ayrıca su fantomunda point doz ölçümü de gerçekleştiriyoruz.

Modellenecek tedavi planlama sistemine girdi olan MLC parametreleri, intra-leaf leakage, transmission, ayrıca leaf tip transmission ve penumbrayı içerebilir. İyon odası ve filmler genellikle MLC'yi karakterize etmek için kullanılır. Radyocerrahi için kullanılan küçük boyutlu MLC'ler nedeniyle filmler, MLC'nin kenar ve yarı gölge bölgelerini doğru şekilde karakterize etmede faydalıdır. Bununla birlikte, ölçümleri daha iyi eşleştirmek amacıyla farklı MLC modelleme parametrelerini doğrulamak, doğrulamak ve değiştirmek için sıklıkla küçük alan dedektörleri ve çoklu dedektör dizileri kullanılır. Farklı tedavi planlama sistemleri farklı ölçümler gerektirir. Tedavi planlama sistemine bağlı olarak farklı faktörlerde ayarlamalar yapılabilir.

Cihazınızın kabul testlerinden ve ölçümlerinden sonra Günlük, aylık, yıllık olarak stereotaktik içim mekanik, görüntüleme testlerine bakmak gerekiyor. TG 142 ve aapm medical physicists practice guidelanda bu testler mevcut.

Normal konvansiyonel linaklara göre tolerans değerleri artık daha sıkı ve daha hassas.

Görüntüleme testlerinde hergün bir penta fantomuyla kv-mv radyasyon izomerkezi kontrolü yapıyoruz. Bu testte bir penta fantom kullanıyoruz. İzomerkez için lazerleri biraz saptırarak bir cbct çekiyoruz ve kaydırma veriyoruz. Daha sonra bir verification imaj çekiliyor ve kaydırmayı veriyoruz. Gelecek sonuç 3 eksende de 1mm altında ise, sonuç iyi demektir. Böylece görüntü izomerkezini buluyoruz. Mv ile de görüntü çekip gelen sonuç mm altındaysa radyasyon izomerkezinde de doğru yerdeyiz. Eğer 1mm üstünde çıkarsa Flexmap adı verilen CAT de ball bearingle yaptığımız bir kalibrasyon işlemi gerçekleştiriyoruz.



19. ULUSAL MEDİKAL FİZİK KONGRESİ
02-05 KASIM 2023



KONUŞMA ÖZETLERİ

Başarılı bir stereotaktik cerrahi tedavisi gerçekleştirmek istiyorsak, planlarda masa kolimatör ve gantry açıları aynı anda kullanıldığı için, radyasyon ve mekanik izomerkezinin 1 mm in altında olması gerekiyor. Ağırlıktan dolayı tedavi esnasında hareketler olabiliyor. Hareketin en aza indirilmesi; stereotaktik tedavilerin doğruluğunu artırabilir ve bu konu özel bir dikkatle ele alınmıştır. AAPM Görev Grubu Raporu 142 (2009), SRS/SRT tedavileri için radyasyon ve mekanik izomerkez arasında ± 1 mm'ye kadar sapmanın kabul edilebilir olduğunu önermektedir. Hedef pozisyonundaki belirsizliklerin 1 mm'den az olduğu durumlarda, doz dağılımı üzerinde klinik olarak önemsiz olarak bildirilen küçük etkiler gözlemlenmiştir; ancak 1 mm'den büyük tutarsızlıklar, ciddi yan etkilere yol açabileceği ve doz ayarlaması gerektirebileceği için kabul edilemez. İzomerkez doğrulama işlemi her SRS/SRT tedavisinden önce gerçekleştirilmelidir.

Tüm bu işlemlerden sonra artık hasta alımına hazırız. Hastanın CT çekiminde vakumlu blue bag, abdominal pressure ya da yüzey takip sistemi ile hastanın Ctsini çekiyoruz. Hekimlerimiz mr, pet ve yardımcı tanı görüntüleri kullanarak, bizimde mekanik değerlerimizi hesaba katarak pvt marjlarını oluşturuyorlar. Fizikçi olarak da genellikle noncoplanar açılar kullanarak planlarımızı gerçekleştiriyoruz.

Klinik hazırlık açısından planınızı bitirdikten sonra plan kalitenizi ölçmek için özellikle akciğer SBRT için kullanılan RTOG NİN 0813 tablosundaki CONFORMALİTY İNDEX, R50, AKCİĞER DOZLARINIZA volümlerinizin hacmine bakarak aralık içinde uygun olup olmadığınıza değerlendirebilirsiniz. Hatta bu tablo sadece akciğer için değil karaciğer sbrtler içinde uygun bulunmuş. Planı onaylarken ve kritik organ dozları için de yararlanabileceğiniz guidelaneler saber uk ve tg 101. Bu guidelaneleri kullanabilirsiniz.

Hasta spesifik kalite kontrolünde bu teknikler için; küçük alanları ve yüksek doz gradyanlarını ölçebilmek için SRS ve SBRT ideal ölçüm cihazlarının, küçük dedektörlere ve yüksek uzaysal çözünürlüğe sahip olmalıdır. Piyasada bu teknikler için kullanılacak srs QA ekipmanları kullanılmaktadır.

Konvansiyonel linaklarda TG218 gama analizi için %3 dose difference 2mm distance kriterini önerirken, Stereotaktik cerrahi için, küçük olabilen ve keskin doz gradyanlarına sahip doz dağılımları arasındaki farkın daha iyi değerlendirilmesi amacıyla genellikle daha sıkı gama kriterleri önerilmektedir. Keskin doz gradyanlarında doz farkını daha iyi değerlendirmek için %2/2 mm ve %2/1 mm gama kriterleri literatürde yaygın olarak kullanılmaktadır.

Tüm fizik ölçümleri bittikten sonra, hastayı tedaviye almadan evvel tekniker arkadaşlarla birlikte noncoplanar açılar kullanıldığı için dry run adını verdiğimiz bir kontrol testi yapıyoruz. Burada bir penta fantom ya da herhangi bir fantomla hastanın izosenterına getirip, masayı ve açıları döndürerek cihazın masaya emergency butonlara çarpıp çarpmadığına bakıyoruz. Böylece hasta ışınlanırken oluşabilecek bir kazayı da önlemiş oluyorsunuz. Yeni tedavilere başlıyorsanız, yeni açılar kullanıyorsanız ya da daha önce planlamadığınız bir bölge planladığınız muhakkak bu kontrolü yapmanızı öneriyorum.

Radyoterapinin genel mantığı olan ekip çalışması, stereotaktik tedavilerin daha riskli olması sebebiyle önem kazanmaktadır. Çok güçlü bir radyasyonla karşı karşıyayız ve hedefi ıskalamadığımızdan emin olmak istiyoruz. Özetle; SRS/SBRT cihazında fizikçi ölçümleri hassasiyetle yapmalı, hekimin kontrolü için gerekli öğeleri kullanması doğru çizmesi ve radyoterapi teknikerinde cihazda hastayı bir SRS/SBRT hastası alıyor bilincinde olması gerekmektedir. Radyoterapinin temeli olan ekip çalışması yüksek doz radyasyon verdiğimiz SRS/SBRT tedavileri için oldukça önemlidir. Büyük güç büyük sorumluluk getiriyorsa, Yüksek dozlarda yüksek sorumluluk getirecektir.



Lineer Hızlandırıcıların Geleceği? C-Tipi Lineer Hızlandırıcılar Var Olmaya Devam Edecektir / Alper Özseven

Doç. Dr. Alper ÖZSEVENİ

1 Süleyman Demirel Üniversitesi Radyasyon Onkolojisi Ana Bilim Dalı

Görüntüleme teknolojisi ve yapay zekâ alanındaki teknolojik gelişmelerin etkisiyle, radyasyon tedavisinde (radyoterapi) kullanılan lineer hızlandırıcı cihazlarda ve uygulama tekniklerinde yenilikler ve gelişmeler olmuştur [1-3]. Uzun yıllardan beri, radyoterapi (RT) uygulamalarında öncelikli tercih olan C tipi lineer hızlandırıcı cihazlarına ek olarak, nispeten daha küçük boyutlarda ve kompakt olarak adlandırabileceğimiz bore tipi lineer hızlandırıcılar da RT merkezlerinde kendilerine yer bulmuştur. Her ne kadar bore tipi sistemler giderek artan sayıda RT merkezinde kullanılmaya başlasa da; C tipi lineer hızlandırıcılar; yüksek foton ve elektron enerji seviyelerine sahip olması, daha yüksek doz hızlarında tedavi olanağı sunması, daha büyük ve simetrik tedavi alan boyutuna sahip olması, non-koplanar (eş düzlemsel olmayan) tedavi olanağı sunması ve 6 boyutlu tedavi masasına sahip olması gibi teknik özellikler bakımından bore tipi lineer hızlandırıcı sistemlerine günümüzde hala üstünlük kurmaktadır. Özellikle, bu sahip olduğu üstün yeteneklerden iki tanesi olan, non-koplanar tedavi olanağı sunması ve 6 boyutta hareket edebilen masaya sahip olması C tipi lineer hızlandırıcı cihazlarını benzersiz kılmaktadır. C tipi lineer hızlandırıcıların 6 boyutta harekete olanak sağlayan masaya sahip olması, tedavi öncesi hasta pozisyonlanma aşamasındaki doğruluğu ve kesinliği artırarak, tedavi etkinliğini artırmaktadır. C tipi lineer hızlandırıcı tedavi masalarının, öteleme (translational) hareketine ek olarak dönel (rotational) harekete olanak sağlaması, RT planlama ve RT uygulama aşamalarında büyük kolaylıklar sunmakta ve tedavi etkinliğinde kazanç sağlamaktadır [4,5]. Bilhassa, stereotaktik radyocerrahi (SRS) ve stereotaktik vücut radyoterapisinde (SBRT), hedef hacmin daha etkin bir şekilde tedavi edilmesine ve normal dokuların daha az radyasyona maruz kalmasına olanak kılmaktadır [5]. Tüm bu teknik gerekçelere ek olarak, C tipi lineer hızlandırıcı sistemleri üzerindeki araştırma geliştirme (AR-GE) ve üretim geliştirme (ÜR-GE) faaliyetleri de devam etmektedir. Sahip olduğu bu üstün teknik özelliklere ek olarak, sosyo-ekonomik gerekçeler bakımından da C tipi lineer hızlandırıcılar, bore tipi lineer hızlandırıcılara göre ilk tercih olmaya devam etmektedir. 2040 yılında dünyadaki kanser hastası sayısının %42 artması beklenirken, bu kanser hastalarının %70 inin düşük ve orta gelirli ülkelerde olması beklenmektedir. Bu nedenle, küresel boyutta lineer hızlandırıcı cihazlarının ihtiyacı günden güne artmaktadır. Orta gelire sahip ülkelerdeki kanser hastalarının sadece %40 ı RT tedavisine erişebilirken, düşük gelirli ülkelerde bu sayı %10 a kadar düşmektedir [6].

Özellikle, 1.2 milyara yakın insanın yaşadığı Afrika'da toplam 385 RT cihazı bulunurken, bunların yaklaşık %60 ı ise üç ülkede; Mısır, Fas ve Güney Afrika'da bulunmaktadır. Öte yandan, Afrika'da halen tek bir RT cihazının olmadığı ülkeler bulunmaktadır [7]. Diğer yandan, bore tipi lineer hızlandırıcı maliyetlerinin C tipi lineer hızlandırıcılara göre daha yüksek olması da Afrika ülkeleri gibi gelir düzeyi düşük ülkelerdeki RT cihazı yatırımını ve kurulumunu azaltmakta, kanser hastalarına tedavi hizmeti sunulma olasılıklarını düşürmektedir. Bu nedenden ötürü, düşük gelirli ülkelerdeki kanser hastalarının RT ye erişimini amaçlayan, birçok üniversite ve uluslararası kuruluşun paydaş olarak yer aldığı STELLA projesinin (Smart Technology to Extend Lives with Linear Accelerators) hayata geçirilmesi planlanmaktadır [6]. Bu proje kapsamında, lineer hızlandırıcı ihtiyacı olan ülkelere, ucuz, dayanıklı ve tedavi sürekliliği sağlanabilecek RT cihazlarının kurulumu amaçlanmaktadır.

Yukarıda belirtilmiş olan teknik ve sosyo-ekonomik gerekçeler düşünüldüğünde, yakın gelecekte C tipi lineer hızlandırıcılar var olmaya devam edecektir.

Kaynaklar:

- 1- de Leon, Jeremy, et al. "Optimising the MR-Linac as a standard treatment modality." Journal of Medical Radiation Sciences (2023).
- 2- Garcia Schüler, Helena Isabel, et al. "Operating procedures, risk management and challenges during implementation of adaptive and non-adaptive MR-guided radiotherapy: 1-year single-center experience." Radiation Oncology 16 (2021): 1-10.
- 3- De Roover, Robin, et al. "Automated treatment planning of prostate stereotactic body radiotherapy with focal boosting on a fast-rotating O-ring linac: Plan quality comparison with C-arm linacs." Journal of Applied Clinical Medical Physics 22.9 (2021): 59-72.
- 4- Sarkar, Biplab, et al. "In regards to Pokhrel et al. Clinical validation of ring-mounted halcyon linac for lung SBRT: Comparison to SBRT-dedicated C-arm linac treatments. JACMP 2021 Jan; 22 (1): 261-70." Journal of Applied Clinical Medical Physics 22.6 (2021): 281-282.
- 5- Hirai, Ryuta, et al. "Time dependence of intra-fractional motion in spinal stereotactic body radiotherapy." in vivo 35.4 (2021): 2433-2437.
- 6- Dosanjh, Manjit. "Access to Effective Cancer Care in Low-Middle Income Countries Requires Sophisticated Linear Accelerator Based Radiotherapy." JACoW IPAC 2022 (2022): 3147-3151.
- 7- Directory of Radiotherapy Centers. <https://dirac.iaea.org/Query/Map2?mapId=2>



19. ULUSAL MEDİKAL FİZİK KONGRESİ
02-05 KASIM 2023



KONUŞMA ÖZETLERİ

Srs/Sbrt'ye Geçişte Karşılaşılan Zorluklar / Mehmet Ertuğrul Ertürk

Öz: Günümüzde SRS ve SBRT yapmayan bir merkez eğer son 10 yıl içinde tedavi cihazını almış ve tedavi planlama sistemlerini değiştirmişse hasta tedavilerinde üç boyutlu konformal radyoterapi (3B-KRT) ve büyük bir olasılıkla yoğunluk ayarlı radyoterapi (YART) yöntemlerini kullanıyordu. Bu çerçeveden bakıldığında Stereotaktik Radyocerrahi (SRS) ve Stereotaktik Vücut Radyoterapisinde (SBRT) kullanılan kavramlara ya aşınadır ya da hali hazırda kullanılmaktadır. SRS SBRT günümüzde bu tedavi yöntemleri için geliştirilmiş cihazlarla yapılabildiği gibi C-kollu linaklarla da yapılabilmektedir.

SRS ve SBRT ye geçiş sürecini cihazın hazırlanması, tedavi planlamasının devreye alınması, tedavi bileşenlerinin devreye alınması, tedavi aşaması ve tedavi planlaması kalite kontrolü olarak aşamalara ayırabiliriz.

Küçük alan dozimetresi kavramı 3B-KRT'de de kullanılsa da önemini gösterdiği yer SRS/SBRT'dir. Özellikle kon temelli stereotaksi tedavilerinin yapıldığı cihazlarda büyük önem taşır. Doz hesaplama yaklaşımları gereği ışın verisi ölçümlerinin aynı dedektör ile alınması önemlidir. Bu nedenle, medikal fizik uzmanı ilgili ölçümler için doğru dedektörü belirlemeli ve temin etmelidir. Seçilecek dedektör, tüm ölçümleri güvenli bir şekilde alınmasını mümkün olan en az sayıda düzeltme ile sağlamalıdır. Küçük alan dozimetresi sadece dedektör seçimine yönelik gösterilen bir hassasiyet ve kavram değildir. Küçük alan dozimetresi hassas bir ölçüm düzeneği oluşturulmasını gerektirir. Bu nedenle, su fantomunun dikey ve yatay hareket eksenlerinin ışın yönüne dik veya paralel olduğunun teyit edilmesi önemlidir. Örneğin, 5 mm'lik kon için yapılan yüzde derin doz ölçümünde dedektör hareket eksenini ve ışın yönü arasındaki 0.10 sapma % 1.5'lik bir hataya neden olurken, 0.20 sapma % 6-7'lik bir hataya neden olmaktadır. Bu durum, tedavi planlama sistemi tarafından cihazın enerji parametrelerinin doğru belirlenememesine neden olacaktır. Öte taraftan C-kollu bir doğrusal hızlandırıcıda ölçülen en küçük alan 2 cm x 2 cm olsun. Bu durumda, 0.50 sapmadan kaynaklı hata %1 seviyesinde kalacaktır. Hassasiyet ilgili cihaza ve istenilen veriye göre değerlendirilmeli ve belirlenmelidir. Su fantomlarının otomatik merkez belirleme yazılımları SRS ve SBRT'nin ihtiyaç duyduğu hassasiyeti karşılamayabilir. Bu yüzden dedektörün ışın merkezinde olup olmadığı medikal fizik uzmanı tarafından kontrol edilmelidir.

SRS ve SBRT tedavileri steryotaksi kavramı gereği görüntüleme bileşenlerinden bağımsız düşünülemez. Görüntüleme bileşenleri azaltılan PTV marjları sonucunda ihtiyaç duyduğu hassasiyete sahip olmalıdır.

Benzer şekilde medikal fizik uzmanı, solunum takip sistemi gibi görüntüleme bileşenlerine yardımcı bileşenlerin kullanımının doz dağılımında nasıl bir etki gösterdiğini tedavi cihazlarının devreye alınması süresinde incelemelidir. Bu kapsamda yapılması gereken hassa kalite kontroller için kliniğin ihtiyaç duyacağı ekipman temin edilmelidir. Tedavi planlama sistemleri devreye alınırken uluslararası tavsiyelere mutlaka uyulmalı, bu kapsamda önerilen testler yapılmalıdır. Özellikle SRS/SBRT'ye alınan yeni tedavi cihazı ile başlayacak merkezlerde tedavi planlama sistemi devreye alma testleri medikal fizik uzmanlarının hem cihazlarını hem de planlama sistemlerini tanımaları için önemli bir fırsattır.

Tedavi planlamasında kullanılan IMRT alan sayıları artırılmalı konvansiyonel doz şemasında ön plana çıkmayan tedavi yatağının buildup etkisine dikkat edilmelidir. Hacimsel ark tedavisi yöntemi ile ışınlanan akciğer hastalarında ise interplay etki göz önünde bulundurulmalı ve ark sayısı artırılmalıdır. Benzer şekilde kranyel tümörlerde ise masa açılı ışınlamalar tercih edilmelidir. Tedaviden önce dryrun yaparak olası çarpışma hatalarının önüne geçmek mümkün olacak ve tedavinin güvenle tamamlanması sağlanacaktır. Hasta bazlı kalite kontrol mutlaka uygun bir ölçüm sistemiyle tedaviden önce yapılmalıdır.



19. ULUSAL MEDİKAL FİZİK KONGRESİ
02-05 KASIM 2023



KONUŞMA ÖZETLERİ

Tübitak Ve Tüseb Projeleri Hakkında Bilinmesi Gerekenler / Serhat Aras

Haydarpaşa Numune Eğitim ve Araştırma Hastanesi Radyasyon Onkolojisi Bölümü

Bu bilimsel eğitimin amacı, akademisyen ve araştırmacıların TÜBİTAK ve TÜSEB projeleri hakkında bilinmesi gereken bilgileri detaylı bir şekilde açıklayıp anlatmaktır. Neden proje yazmalıyız, Proje yazmaya nerden başlamalıyız, Bilimsel proje hazırlamada iyi/kötü bilgi nasıl olur, Proje araştırma döngüsü nasıl olmalı, Bilimsel yöntem adımları ve Hipotez oluşturma, Proje başvurusu yapabilecek kaynaklar kimlerdir, TÜBİTAK projesine nasıl başvurulur, TÜSEB projesine nasıl başvurulur, TÜBİTAK ARDEB destek projeleri nedir, TÜSEB Acil ve Ar-Ge projeleri nedir, Proje yazmada Özgün değer, Yöntem, Proje yönetimi ve Yaygın etki nasıl yazılır ve Proje yazarken nelere dikkat etmeliyiz ve tavsiyelerimiz nelerdir konu başlıkları bu eğitimde detaylı bir şekilde ele alındı.



KONUŞMA ÖZETLERİ

Mamografide Kalite Kontrol / Gizem Şişman

Mamografi; yoğunlukları ve atom numaraları birbirine yakın olan kas, yağ, ve glandüler dokunun yapılarını incelemek amacıyla kullanılan yumuşak doku radyografisidir. Meme kanserinde tarama ve araştırma amacıyla kullanılan altın standart görüntüleme yöntemidir. Mamografinin bir tarama testi olarak kullanılması, mamografi ekipmanlarının kalite kontrolü (QC) için protokollerin geliştirilmesine yol açmıştır. Kalite kontrol protokolleri; görüntü kalitesi (fantomlar kullanılarak), radyasyon dozu ve x-ışını jeneratöründen görüntü oluşumuna kadar zincirin tüm bileşenlerini test etmek için tasarlanmıştır.

Kalite kontrol kılavuzlarının uygulanması ülkeler arasında farklılıklar göstermektedir. Bu farklılıklar, testlerin türünü, kullanılan fantomları, görüntü kalitesi kriterlerini ve sınırlayıcı değerleri kapsamaktadır. Günümüzde mamografi için geçerli olan kılavuzlardan bazıları; ACR(American College of Radiology), AAPM (American Association of Physicists in Medicine), IAEA (International Atomic Energy Agency), The Royal Australian and New Zealand College of Radiologists ve EFOMP (European Federation of Organisations for Medical Physics) tarafından tasarlanmıştır. Diğer kılavuzlardan farklı olarak EFOMP protokollerinin amacı; ülkeler arasında farklı teknolojik seviyelerin olduğu gerçeğini kabul ederek, her ülke tarafından mevcut kaynaklarla uygulanabilecek testler önermek, tanı ve tedavi sistemleri üzerinde kolayca uygulanan yüksek öncelikli, minimum sayıda kalite kontrol testleri setini geliştirmektir.

Ülkemizde de tıbbi cihazların kalite uygunluk ve kalite kontrol testlerine yönelik çalışmalar bulunmaktadır. Bu amaçla, T.C. Sağlık Bakanlığı Türkiye İlaç ve Tıbbi Cihaz Kurumu'nun (TİTCK) "Diagnostik Radyoloji, Nükleer Tıp ve Radyoterapi Grubu Tıbbi Cihazların Kalite Uygunluk ve Kalite Kontrol Testleri Hakkında Yönetmelik Hükümlerinin Uygulanmasına İlişkin Kılavuz" yayınlanmıştır. Kalite kontrol testlerinin kapsamında farklılıklar görülse de, temel olarak tüm protokollerde mamografi cihazının aynı bileşenlerini değerlendirmek üzere testler önerilmiştir ve uygulanmaktadır. Bu testler 5 temel kategori altında toplanmaktadır. Bunlar; mamografi cihazının tüm bileşenlerini içerecek şekilde; x-ışını kaynağı testleri, otomatik ışınlama kontrol sisteminin (AEC, Automatic Exposure Control) testleri, dedektör performans testleri, görüntü kalitesi testleri ve monitör testleridir. X-ışını kaynağı ile ilgili testler; tüp çıkışı testi ve yarı değer kalınlık (HVL, Half Value Layer) testleridir. Bu testlerin amacı, ortalama glandüler doz için gerekli parametreleri belirlemektir. Otomatik ışınlama kontrol sistemini değerlendirmek için; AEC sisteminin tekrarlanabilirliği testi, sinyal farkı gürültü oranının belirlenmesi ve ortalama glandüler doz testleri uygulanmaktadır. Bu testlerdeki amaç; AEC sisteminin tekrarlanabilirliği ve absorpsiyonun bir fonksiyonu olarak ışınlama parametrelerinin ayarlanabilirliğini test etmektir. Dedektör performansını değerlendirmek için; üniformite testi, gürültü değerlendirmesi, yanıt fonksiyonunun değerlendirilmesi ve artefakt değerlendirmesi gibi testler bulunmaktadır. Bu testlerin amacı; dedektör yanıtının tutarlılığını (lineer/lineer olmayan yanıt, topuk etkisi vb) ve artefakt olup olmadığını kontrol etmektir. Görüntü kalitesini değerlendirmek için kullanılan fantoma bağlı olarak birden fazla parametre bulunmaktadır. Kullanılan fantomun üretici spesifikasyonlarına bakılarak değerlendirmeler yapılmaktadır. Bu testlerle, görüntü kalitesinin kabul edilebilirliği kontrol edilmektedir. Monitör testlerinde ise; DICOM standardına göre monitör kalibrasyonunun ve üniformitesinin doğrulanması hedeflenmektedir. Tıbbi uygulamalarda maruz kalınan radyasyon miktarını artıran en önemli etkenlerden birinin de cihazların kullanıma uygunluğu olması sebebiyle kalite kontrol testlerinin zamanında yapılması önem teşkil etmektedir. Ülkemizde de TİTCK kılavuzu sayesinde, medikal fizikçilerin sorumluluğunda olan ve düzenli periyotlarla uygulanması gereken kalite kontrol ve kalite uygunluk testlerinin uygulanması sadece tedavi cihazları için değil, tanıda kullanılan tüm cihazlar için de zorunlu hale gelmiştir.



KONUŞMA ÖZETLERİ

Flash Terapi / Aysun İnal

Radyoterapi(RT), kanser hücrelerini yok etmek için iyonlaştırıcı radyasyon kullanırken, radyasyona bağlı toksisite, verilebilecek maksimum dozu kısıtlar. FLASHRT olarak bilinen ultra yüksek doz hızlı (UYDH) RT, geleneksel klinik RT' den birkaç kat yüksek bir oranda radyasyon sağladığı için bu sorunu çözebilir. UYDH (≥ 40 Gy/s)'nin FLASH etkisi, antitümör etkinliğini korurken sağlıklı dokulara verilen hasarı azaltır. Bu etki ilk olarak 1959'da Dewey ve Boag tarafından rapor edilmiştir, 2014' ten sonra geleneksel RT ile karşılaştırıldığında benzer tümör kontrolü sağlarken normal doku toksisitesinin azaldığını gösteren in vivo çalışmalarla önem kazanmıştır. Geleneksel radyoterapide ışınlama 100Hz ile 4 μ s uzunluğunda olabilir. Standart durumda doz hızını 0,02 Gy/s varsayarsak, 2 dakikalık bir ışınlama sırasında 12000 atımda 2,4 Gy'lik bir fraksiyon dozu iletilir. Böylece, bir atım sırasında verilen doz 0,0002 Gy ve bir atım içindeki doz hızı ise 50 Gy/s civarındadır.

Normal ve kanserli dokular arasındaki oksijen gerilimi FLASH-RT'yi daha iyi anlamının anahtarlarından biridir. UYD oranları normal dokularda oksijen tükenmesine katkıda bulunur, böylece radyasyon direncini tetikler, bu da hedefi çevreleyen sağlıklı dokuların radyasyonu daha iyi tolere edebilmesi anlamına gelir.

Bugüne kadar, çoğu FLASHRT, Oriatron ve Kinetron gibi tasarlanmış doğrusal hızlandırıcılar veya elektron modunda çalışan değiştirilmiş klinik Linak'lar tarafından sağlanan 3-18 MeV elektron ışınıyla gerçekleştirilmiştir. Bremsstrahlung tarafından bir elektron ışınının bir X-ışını ışınına dönüştürülmesi verimli değildir ve hedefte büyük miktarda ısı üretir, bu da potansiyel olarak hedefin erimesine neden olabilir. Ek olarak, tipik doğrusal hızlandırıcı ışın akımları, UYDH X-ışınları oluşturmak için yeterli değildir.

UYDH dozimetri için kullanılan geleneksel iyonizasyon odaları, öncelikle hassas hava hacmindeki rekombinasyon kayıplarına bağlı olarak, atım başına doz hızı arttıkça doğrusallıktan önemli ölçüde sapma gösterir. Katı hal dedektörleri, birikmiş doza göre iyi yanıt kararlılığı sunduğu için umut verici bir alternatiftir. Diğer katı hal dedektörlerinin yanı sıra diamond dedektörler de RT uygulamalarında yaygın olarak kullanılmaktadır. Diamond dedektörler yüksek radyosensitiviteye sahiptir ve mükemmel uzaysal çözünürlük sunar, bu da onları büyük doz gradyanları ve küçük alanlar içeren uygulamalar için çok uygun hale getirir. MicroDiamond gibi dedektörlerin uygulanabilirliği, FLASH RT'deki potansiyel kullanımları açısından araştırılmaktadır. Radyokromik film, radyasyon enerjisinden ve doz hızından bağımsız olmanın yanı sıra ihmal edilebilir hacim etkisi gibi radyasyon tepkileri için arzu edilen özelliklere sahip bir dozimetredir. Farklı radyokromik film türlerinin etkinliği, bunların doz duyarlılığına, doğruluğuna ve çevresel koşullara verdiği tepkiye bağlıdır. FLASH etkisi özellikle toplam doz, doz hızı, atım hızı ve fraksiyonasyon gibi çeşitli faktörlerden etkilenir. Bu nedenle, istenen etkinin sağlanmasında doğru doz izleme hayati önem taşımaktadır. FLASH RT için uygun dozimetrelere yönelik devam eden araştırmalar, bunun çeşitli kanser tedavi türlerinde daha fazla geliştirilmesini ve uygulanmasını kolaylaştıracaktır.

FLASH-RT iki ana klinik senaryoda gösterilebilir: İlk senaryoda, radyasyona bağlı ek yan etkilere neden olmadan doz artırımı gerçekleştirilebilir ve bu da potansiyel olarak terapötik indeksi iyileştirebilir. İkinci senaryoda, tedaviye bağlı toksisiteyi azaltırken, yine de makul derecede lokal kontrol sağlayabilir. FLASH-RT'nin bu potansiyel faydası, birçok hastanın radyoterapiye aday olmadığı, çünkü lokal hastalık kontrolü için gereken yüksek dozları tolere edemedikleri göz önüne alındığında önemlidir. Bu konuda, klinik potansiyelini daha da genişletecek olan FLASH etkisini daha düşük dozlarla oluşturmanın mümkün olabileceğini belirtmekte fayda vardır; ancak bu alanda daha fazla araştırmaya ihtiyaç olduğu kesindir.

Referanslar

1. Gao F. et al. First demonstration of the FLASH effect with ultrahigh dose rate high-energy X-rays. *Radiotherapy and Oncology* 166 (2022) 44–50
2. Subiel et al. Recent developments in absolute dosimetry for FLASH radiotherapy. *Br J Radiol*; 96:2023
3. Siddique S. et. al. FLASH Radiotherapy and the Use of Radiation Dosimeters. *Cancers* 2023, 15, 3883.
4. Lin B. et al. FLASH Radiotherapy: History and Future. *Frontiers in Oncology*. (11) May 2021



KONUŞMA ÖZETLERİ

Grid/Latice Radyoterapi / Songül Barlaz Us

Son yıllarda radyoterapi (RT) önemli teknolojik gelişmeler ortaya çıkmıştır. Yoğunluk ayarlı radyoterapi (IMRT), hacimsel ayarlı ark terapisi (VMAT), görüntü rehberliğinde RT (IGRT) uygulanan ileri ışınlama tekniklerindedir. Ancak sarkom, malign melanom ve nekrotik tümörler gibi radyasyona dirençli tümörlerde bu teknikler yetersiz kalmakta ve ablatif dozlara ihtiyaç duyulmaktadır. Stereotaktik ablatif radyoterapi (SABR), stereotaksik radyocerrahi (SRS) gibi teknikler ile fraksiyon başına radyasyon dozları ve etkililiği ile bilinmektedir. Fakat nispeten küçük lezyonların tedavisinde kullanılmakta, hipofraksiyone olan bu yöntemler büyük tümörlerde yüksek toksisiteye neden olmaktadır.

Uzaysal (sınırlandırılmış) olarak fraksiyonlanmış radyasyon tedavisi (SFRT), büyük radyo-dirençli tümörlerde geleneksel olarak fraksiyone edilmiş radyasyona yanıtı artırabilen özel bir tekniktir. Grid/Latice RT, SFRT teknikleri olarak bilinmektedir. Grid/Latice RT, targetda düşük ve yüksek doz bölgeleri oluşturarak heterojen bir doz dağılımı sağlayan, büyük hedef hacmin içinde, küçük alanlar ile yüksek doz bölgeleri oluşturularak uygulanan tedavi tekniğidir. Lokal ileri tedavi edilebilen tümörlerde, preoperatif yada definitif bulky tümörlerde tedavi yanıtını iyileştirmek için boost yada primer tedavi olarak kullanılmaktadır. Proton tedavi merkezlerinde de grid tedavi uygulamalarına başlanmıştır.

Heterojen doz dağılımı, fiziksel grid blokları ya da sanal grid blokları ile oluşturulur. Fiziksel grid paternleri, bir dizi açıklık içeren sero-bend yada pirinç bloklardır. Sanal grid blokları ise çok yapraklı kolimatörler (MLC) ile oluşturulmaktadır. Lineer hızlandırıcı, gamaknife, cyberknife, tomoterapi ve yüklü parçacık cihazları (proton) ile sanal grid blokları oluşturmakta kullanılmaktadır.

Grid paternleri ile uygulanan iki boyutlu RT Grid RT (GRT), üç boyutlu uygulanan RT ise latice RT (LRT) adını almaktadır. İkisi arasındaki benzerlikler mekanik olmaktan çok tarihseldir. Bu nedenle GRT'nin birikmiş klinik deneyimi doğrudan LRT'ye uygulanmamalıdır. Standart RT'de homojen doz dağılımı vardır. Grid/Latice RT'de ise beamletler ile heterojen doz dağılımı (Valley-peak) sağlanmaktadır.

Grid/latice RT, daha iyi cilt ve normal doku koruması sağlar. Tümör içinde pik-vadi oluşturmadaki ve amaçlanan kısmın radyasyon ablasyonu güvenliği, bystander etki ve anti-tümör immunitesi gibi abskopal etki açısından başarılıdır. Ayrıca, target hacim için daha yüksek dozlara çıkılabilir ve riskli organ dozlarını (OaR) azaltır. Böylece normal doku toleransında artış meydana gelir. Yüksek dozlara çıkıldığında tümör içindeki damarsal etkiden dolayı radyasyona duyarlılık gelişir (vascular effect) ve bu durum tümör cevabını artırır.

Grid/Latice RT, sarkom, melanom, adenokarsinom, baş boyun, meme, glioblastom, pankreas, karaciğer, akciğer ve jinekolojik kanserler gibi pek çok kanser türünün RT'sinde kullanılmaktadır. Kullanılan enerjiler, tümör derinliğine bağlı olarak 6-18 MV arasında değişmektedir. Fakat nötron oluşumunu engellemek için düşük enerjiler tercih edilmelidir. Genellikle 15-20 Gy tedavi dozu uygulanmaktadır. Sıklıkla tek fraksiyon olarak verilmektedir. Fakat klinik tecrübeye göre farklı fraksiyon sayıları da kullanılmaktadır. Grid tedavi için Monte Carlo algoritması tavsiye edilse de LRT için genel olarak SRS/SBRT için kullanılan planlama algoritmaları kullanılabilir.

Grid/Latice RT, uygulaması yapılan ve aynı zamanda geliştirilmeye devam eden bir tedavi tekniğidir ve büyük hacimli (bulky) veya radyasyona dirençli tümörler ile cerrahi ya da sistemik tedavi olasılığı bulunmayan tümörlerin tedavisinde iyi bir seçenektir. Bununla birlikte, geleneksel RT'den büyük ölçüde farklıdır. Radyocerrahi Derneği (RSS) ve Amerikan Tıp Fizikçileri Birliği (AAPM) tarafından Grid/Latice RT eğitimleri, araştırmalar ve çalışmalar devam etmektedir. Doktorların, medikal fizikçilerin, dozimetristlerin ve teknikerlerin multidisipliner uzmanlığını gerektirir.



19. ULUSAL MEDİKAL FİZİK KONGRESİ
02-05 KASIM 2023



KONUŞMA ÖZETLERİ

Radyolojide Monte Carlo Uygulamaları / Kadir Akgüngör

Özet

Son zamanlarda yapay zeka yöntemleriyle tanısal görüntüleme çalışmaları artmış olsa da, parçacık etkileşimi süreçlerinin simülasyonu için kullanılan Monte Carlo yöntemleri ve simülasyon tekniklerinin tanısal radyolojinin çeşitli alanlarına uygulanması hala temel araştırma konusudur. Tanısal röntgen görüntüleme, düşük enerjili fotonların esas olarak düşük atom numaralı elementlerden oluşan vücuttan geçmesiyle elde edilmektedir. Fotonların katkısına göre fantomda soğurulan doza saçılan fotonların katkısı, enerji, dağılım ve fantom kalınlığı gibi değişkenlere bağlıdır. Bu sunumda Monte Carlo yöntemi özetle anlatılacak, finansal radyolojide kullanıma kadar örnekler verilecek ve Monte Carlo hesaplamalarına başlayanlar için öneriler verilecektir.

Kadir Akgüngör
Dokuz Eylül Üniversitesi,
Fen Fakültesi, Fizik Bölümü,
Buca, İzmir



KONUŞMA ÖZETLERİ

Radyoterapi'de Monte Carlo Uygulamaları / Recep Kandemir

Recep Kandemir^{1,2}

¹ Dokuz Eylül Üniversitesi, Sağlık Hizmetleri Meslek Yüksekokulu, Radyoterapi Programı, İzmir

² Dokuz Eylül Üniversitesi, Sağlık Bilimleri Enstitüsü, Medikal Fizik Anabilim Dalı, İzmir

Monte Carlo yöntemi, analitik olarak çözülmesi zor olan karmaşık çok boyutlu integral denklemleri için tasarlanmış istatistiksel bir rasgele örnekleme tekniğidir. Bu yöntem, radyoterapideki doz hesaplamalarında da kullanılarak tedavi planlaması süreçlerinde yüksek doğruluk ve hassasiyet sağlama potansiyeline sahiptir. Geant4, GAMOS2, TOPAS3 gibi birçok Monte Carlo tabanlı hesaplama yapabilen yazılım bulunmaktadır. Özellikle radyoterapide Monte Carlo hesaplamaları: Zırlama, brakiterapi, görüntüleme, lineer hızlandırıcılarda hasta doz hesaplamaları ve ikincil doz hesaplama yöntemleri gibi birçok alanda kullanılmaktadır. Radyoterapi hesaplamalarında kullanacağımız Monte Carlo kullanıcılara: Hesaplamalarda kullanılan fiziği daha iyi öğrenme, sonsuz deneme yapabilme, sahip olunmayan cihazları modelleyebilme ve yeni prototipler ortaya çıkarma gibi birçok imkan sağlamaktadır. Monte Carlo hesaplamalarının gerçek dünyadaki ölçüm verileri ile uyumlu sonuçlar üretebilmesi için kullanıcılar üretilen örneklem sayısını oldukça artırmalıdır. Ancak bununla beraber hesaplama sürelerinin de artacağı unutulmamalıdır. Literatür incelendiğinde hâlâ Monte Carlo ile yapılan çalışmalar devamlılığını korumaktadır 4,5,6,7.

[1] Agostinelli, S. ve ark. "GEANT4: A simulation toolkit." Nucl. Instrum. Meth. A506 (2003): 250-303.

[2] Arce, P ve ark. "GAMOS: A Geant4-based easy and flexible framework for nuclear medicine applications," 2008 IEEE Nuclear Science Symposium Conference Record, Dresden, Germany, 2008, pp. 3162-3168, doi: 10.1109/NSSMIC.2008.4775023.

[3] Perl, J ve ark. "TOPAS: an innovative proton Monte Carlo platform for research and clinical applications." Medical physics vol. 39,11 (2012): 6818-37. doi:10.1118/1.4758060

[4] Kandemir, R. ve ark., (2023) The Software with a Graphical User Interface for GAMOS: Basic Training and an Educational Tool for Medical Physicists. Polish Journal of Medical Physics and Engineering, Vol.29 (Issue 1), pp. 42-49. <https://doi.org/10.2478/pjm-pe-2023-0005>

[5] Gayol, A. ve ark "MRI-LINAC Dosimetry Approach by Monte Carlo Codes Coupling Charged Particle Radiation Transport with Strong Magnetic Fields." Radiation Physics and Chemistry 200 (November): 110171. <https://doi.org/10.1016/j.radphyschem.2022.110171>.

[6] I. Ozoemlam ve ark., "Monte Carlo model of a prototype flat-panel detector for multi-energy applications in radiotherapy," Medical Physics, vol. 50, no. 10, pp. 5944–5955, Oct. 2023, doi: <https://doi.org/10.1002/mp.16689>.

[7] F. Chappuis ve ark., "The general-purpose Geant4 Monte Carlo toolkit and its Geant4-DNA extension to investigate mechanisms underlying the FLASH effect in radiotherapy: Current status and challenges," Physica Medica, vol. 110, p. 102601, Jun. 2023, doi: <https://doi.org/10.1016/j.ejmp.2023.102601>.



19. ULUSAL MEDİKAL FİZİK KONGRESİ
02-05 KASIM 2023



KONUŞMA ÖZETLERİ

Türkiye İlaç Ve Tıbbi Cihaz Kurumu (Tıtc) Yönetmeliği Ve Kalite Kontrol Çalışmalarından Beklentiler / Leyla Poyraz

23.12.2021 Tarih ve 31698 Sayılı “Diagnostik Radyoloji, Nükleer Tıp Ve Radyoterapi Grubu Tıbbi Cihazların Kalite Uygunluk Ve Kalite Kontrol Testleri Hakkında Yönetmelik” ile yönetmelik hükümlerinin uygulanmasına ilişkin usul ve esasları belirlemek amacıyla hazırlanmış olan 22.12.2022 Tarih ve TCS-KLVZ-06 Rev.02 Sayılı “Diagnostik Radyoloji, Nükleer Tıp Ve Radyoterapi Grubu Tıbbi Cihazların Kalite Uygunluk Ve Kalite Kontrol Testleri Hakkında Yönetmelik Hükümlerinin Uygulanmasına İlişkin Kılavuz” TİTCK tarafından yayımlanmıştır.

Yönetmelik ile kapsamındaki klinik uygulamalarında kullanılan ve iyonlaştırıcı radyasyon üreten veya yayan tıbbi cihazların piyasaya arz edildikten sonra sağlık hizmet sunucusuna kurulumundan itibaren kullanımları süresince; hastaların, kullanıcıların ve üçüncü kişilerin sağlığı ve güvenliği açısından ortaya çıkabilecek tehlikelere karşı korunmalarını sağlamak için yapılması gereken test, kalite güvence ve denetimleri amaçlanmıştır.

Bu doğrultuda sahada görev alan Medikal Fizikçi Çalışma Belgeleri'nin düzenlenmesi ile görev tanımlarının çerçeveleri oluşturulmuştur. Böylece Medikal Fizikçi'lerin görev aldıkları sağlık hizmet sunucuları içindeki çalışma alanları ve iş tanımları daha belirgin hale gelmiştir. Ayrıca Kalite Uygunluk Faaliyeti yürütecek firmaların Kalite Uygunluk Yetki Belgesi düzenlemesi ile piyasada hizmeti yürütecek firmalar standardize edilmiştir. Kalite Kontrol Testleri'nin ayrıntılı olarak tanımlanması, Kalite Yönetimine yönelik önemli bir boşluğu tamamlamıştır.

Ancak tüm bu süreçlerde karşımıza çıkan ve gözden kaçan detaylara değinmek önemlidir. 2020 yılına ait Nükleer Düzenleme Kurumu (NDK)'nin kayıtlarına göre; 1.8031 adet Tıbbi Radyoloji cihazı (12.317 adet Grafi/Skopi, 764 adet Anjiyografi, 1.831 adet BT, 1.802 adet Mamografi, 1.241 adet Kemik Yoğunluğu, 76 adet Mikrofilm), 16.398 adet Diş Hekimliği'nde kullanılan Radyoloji cihazı (5.450 adet Periapikal, 4.881 adet Mobil Periapikal, 5.604 adet Panoramik, 463 adet Diş Tomografisi), 599 adet Nükleer Tıp cihazı (358 adet SPECT, 68 adet SPECT-BT, 3 adet PET, 165 adet PET-BT, 5 adet PET-MR) ve 374 adet Radyoterapi cihazı (5 adet Co-60 Teleterapi, 252 adet Lineer Hızlandırıcı, 1 adet MR-Lineer Hızlandırıcı, 66 adet Sonradan Yüklemeli Brakiterapi, 12 adet Siber Bıçağı, 14 adet Gama Bıçağı, 24 adet Tomoterapi) ülkemizde bulunmaktadır.

Ülkemizdeki cihaz parkına bakıldığında, ihtiyaç duyulan Medikal Fizikçi sayıları ile Kalite Uygunluk ve Kalite Kontrol Testleri'nde kullanılması gereken test ekipmanlarının eksikliğini de gözler önüne sermektedir. Yönetmelik ve kılavuzda tanımlandığı üzere Sağlık hizmet sunucuları, “bünyesinde bulunan ve kalite kontrol testlerinde kullanılan izleme ve ölçüm cihazlarının, kalibrasyon prosedürünü oluşturmak, oluşturduğu prosedüre uygun şekilde kalibrasyonlarını yaptırmak ve takibini sağlamak” yani Metrolojik İzlenebilirlik şartını sağlamak görev ve yükümlülüğündedir. Ayrıca tanımlanan periyotlar ile bakım onarımlarını yapmak ve bunları kayıt altına almak durumundadır.

Tıbbi cihaz ve kalite kontrol testlerinde kullanılan izleme ve ölçüm cihazları satışı gerçekleştiren firmalara alt yapılarını oluşturmak için farkındalık oluşturacaktır. Sağlık hizmet sunucularına ve tıbbi cihaz satış, bakım, onarım hizmeti gerçekleştiren firmalara satış ve satış sonrası yeni yaklaşımlar içinde hizmet ihtiyaçlarının gerektiğini göstermektedir. Tıbbi cihazın tam ekipmanları (kalite kontrol testlerinde kullanılan izleme ve ölçüm cihazları) ile satışı ve satış sonrası sadece tıbbi cihaza yönelik bakım onarım ve kalibrasyon hizmetinin yeterli olmadığını, ekipmanlar içinde gerekli hizmet alt yapılarının oluşturulması gerektiğini ortaya koymaktadır. Bu durum alt yapı ve insan kaynağına gerekli yatırımların yapılmasının önemini vurgulamaktadır.

Bu yönetmeliğin uygulamaya geçirilmesinin, Cumhuriyetimizin 100. Yılı'nı kutladığımız yıl ile başlaması da önemini artırmaktadır. Cumhuriyetimizin 100. Yılı'nı Kutlu Olsun...



19. ULUSAL MEDİKAL FİZİK KONGRESİ
02-05 KASIM 2023



KONUŞMA ÖZETLERİ

Cbct Tabanlı Online Radyoterapi / Emine Burçin İspir

Son yıllarda teknolojinin hızlı bir şekilde gelişmesiyle birlikte, radyoterapide adaptif radyoterapi (ART) çağını başlatmak için bilgiyi daha akıllı ve daha hızlı bir şekilde kullanmaya doğru kaçınılmaz bir şekilde ilerliyoruz. ART'de tümör bölgesine gerekli terapötik dozu yüksek hassasiyetle verirken, tüm tedaviler arası ve tedavi sırasında çevredeki sağlıklı dokuyu korumak amaçlanmaktadır. Bu sayede, hastanın yaşam süresini uzatmak, lokal kontrolü sağlamak, toksiteyi azaltmak yani kısacası hastanın yaşam kalitesini arttırmış oluruz. ART kararını, kitlenin hacminin değişimi durumunda, hastanın kilo kaybı durumunda, tedavi planının değiştirerek yapıyoruz. ART uygulaması genellikle üç ana sınıfa ayrılır: (1) Offline RT: Tedavi seansları arasında RT, (2) Online RT: Tedavi seansından hemen hasta masada iken ve (3) Real-time RT: Tedavi seansı sırasında gerçek zamanlı olarak. Online RT (oART) sürecinde gereksinimlerimiz; yüksek kalitede volümetrik görüntüleme, elektron yoğunluğu bilgisi, hızlı otomatik konturlama araçları, hızlı doz hesaplama ve planı tekrardan optimize etme özelliği, hastaya özel kalite kontrol ölçümlerin yerini alacak bağımsız plan ve doz doğrulama araçları olarak sıralanabilir. CBCT tabanlı oART yapabilen Ethos cihazı, yapay zeka özelliğini kullanan, ring tabanlı RT sistemi olup, gantry 100 cm, 6 MV FFF enerjili, 28x28 cm² alan genişliği, çift katmanlı MLC yapısı, fiziksel ve sanal izomerkezli ve kV CBCT görüntülemeli bir sistemdir. Ethos oART iş bakışı 3 ana kısımda toplanır. 1. kısım, referans planın oluşturulması, 2. kısım hasta tedavi masasında iken, oART planının uygulanması, 3. kısım ise, uygulanan tedavinin sonradan değerlendirilmesidir. 1. kısımda, ilk olarak hekimin hastanın tedavi reçetesini oluşturduğu, fraksiyon şemasını tanımladığı, hedef ve kritik organlar için tolerans dozlarının belirlendiği, klinik hedeflerinin önemine göre 1-5 arasında sıralamaların yapıldığı, makineden bağımsız bir şekilde tanımlanan 'RT intent' bölümüdür. Hastanın bilgisayarlı tomografisinin üzerine hedef hacimlerin konturlandığı, yapay zeka özelliği kullanılarak kritik organların otomatik segmentasyonunun yapıldığı yer konturlama kısmıdır. Sonrasında, Ethos'un planlaması yapay zeka özelliğini kullanarak, RT intent kriterlerine göre tahmini doz dağılımını oluşturur. Eğer bu bölümdeki planı beğenmezsek RT intent bölümündeki kriterleri değiştirerek en optimum planı oluşturup, onaylanır. RT intent kısmında belirlediğimiz kriterlere göre, Ethos sistemi otomatik olarak, 7-9-12 alan IMRT ve 2-3 VMAT planları oluşturur. Seçilen plan onaylanır. Sonrasında 2 kısım olan oART'a geçilir. Hasta tedavi için cihazında masasındayken bir CBCT görüntüsü alınır. Sistem, seçilen kritik organları doğrudan kV-CBCT üzerinde tespit eder. Bu yapılar yardımcı yapılar (influencer) olarak adlandırılır. Ethos'un yapay zekaya dayalı otomatik segmentasyon özelliğini kullanarak oluşturulan yardımcı yapıların rehberliğinde hedef hacimler otomatik olarak çizilir.

Örneğin, prostat hastaları için yardımcı yapılar; rektum, mesane ve bağırsaklardır. Hedef ve yardımcı yapıların otomatik segmentasyonundan sonra, Ethos plan oluşturma sistemi, tedavi seansı sırasında planlanmış (scheduled) ve uyarlanmış (adapted) planları oluşturmak için RT intent içindeki bilgileri kullanır. Günün anatomisine göre oluşturulan adaptif planın sonuçları ve referans planın değerleri ile aynı ekranda karşılaştırarak tedaviye karar verilir. Tedavinin bitiminde, 3. kısım olan tedavinin değerlendirilmesinde ise, hastanın tüm tedavisinin kümülatif dozları incelenip, tedavi süresince hedef hacim ve kritik organların doz ve hacimsel değişikliklerin grafiği elde edilir. Sonuç olarak, CBCT tabanlı oART ile tedavi planının günün anatomisine göre yeniden optimizasyonu sayesinde, anatomik değişikliklerin hesaba katılması sağlanır. Hedef hacim kapsamının artırılması ve normal doku dozunun azaltılması ile toksite azaltılır.



KONUŞMA ÖZETLERİ

SBRT Tedavileri Brakiterapinin Yerini Alabilir Mi? / Öznur Şenkesen

Doz dağılımları ve fraksiyon şemalarındaki benzerlikler SBRT'nin brakiterapiye alternatif olabileceğini düşündürmektedir. SBRT uygulamalarının hasta ve uygulayanlar açısından daha kolay olması nedeniyle konu araştırmacıların ilgisini çekmeye devam ediyor.

Çalışmalar çoğunlukla serviks, endometrium ve prostat kanserinin tedavisine yoğunlaşmıştır ve "SBRT, BRT'nin yerini alabilir mi?" sorusunun cevabı her bir bölge için farklıdır.

Brakiterapinin avantajları, eksternal tedavi yöntemleriyle çıkılamayacak kadar yüksek dozlara ulaşılması, kaynaktan uzaklaştıkça hızlı doz düşüşü, aplikatör-organ pozisyonunun sabit kalması, tedavi süresinin kısa ve RAO dozlarının komşu organ hareketlerinden daha az etkilenmesidir. Dezavantajları, özel koşullarda uygulama odası gerektirmesi, çoğu uygulamanın anestezi gerektirmesi, inop hastaların bazılarının yapılamaması, hastanın planlama için aplikatörle birlikte, BT ve/veya MR odasına taşınması ve planlama sürecini beklemesi olarak sayılabilir. Ayrıca Brakiterapide doz dağılımı uygulamaya bağımlıdır. Interfraksiyonel uygulama farklılığı, anestezi ve uygulamaya bağlı komplikasyon olasılığı vardır. Büyük ve düzensiz şekilli hedeflerde Interstisyel (IS) yapılamadığında hedef kapsamı tam sağlanamaz. Ek olarak radyoaktif kaynak alınması, taşınması ve saklanması brakiterapinin zorluklarıdır.

SBRT'de çoğunlukla anesteziye ihtiyaç olmaz. Perforasyon ve enfeksiyon riski yoktur. Büyük hedeflerin reçetelendirilen dozu alması daha kolay sağlanabilir. Ancak SBRT ile hedef yakınında Brakiterapi kadar yüksek doza çıkılamaması, hedeften itibaren doz düşüşünün brakiterapi kadar hızlı olmaması dezavantajlarıdır.

Lokal ileri serviks kanseri hastalarında, büyük ve asimmetrik şekilli tümörlerde hedefin kapsanması Intrakaviter (IC) BRT ile çoğunlukla yetersiz kalmaktadır. Böyle hastalarda SBRT ile boost dozu verilmesi önerilmektedir. Ancak IS uygulanabilirse BRT'nin SBRT'den daha üstün olduğu gösterilmiştir.

Gill BS ve ark. (Int J Radiat Oncol Biol Phys 2014;90(5):1083–90), Serviks kanserinde BRT ve alternatif yöntemlerin kullanımındaki eğilimi NCDB verilerinden belirlemişler ve bu eğilimin farklı RT modaliteleri için sonuçlarını değerlendirmişlerdir. Çalışmada Ocak 2004 – Aralık 2011 yılları arasında tedavi gören EvreIIB-IVA serviks kanseri 7654 hastanın toplam sağ kalımı incelenmiştir. Brakiterapi kullanımının %96.7'den %86.1'e düştüğü aynı periyotta IMRT kullanımının %3.3, SBRT kullanımının %13.9 arttığı görülmüştür. Brakiterapideki %10.6'lık azalmanın, sağ kalımda %14'lük azalmaya karşılık geldiği bulunmuştur.

Medikal inop erken evre endometrium kanserli hastaların definitif tedavisi için Helical Tomoterapi (HT) ile SBRT'nin dozimetrik olarak BRT'ye alternatif olabileceğinin araştırıldığı bir çalışmada, hedef kapsamı SBRT için anlamlı daha iyi bulunurken, reçetelendirilen dozun %150'sine maruz kalan uterus hacminin BRT'de anlamlı daha yüksek, mesane ve rektum dozunun benzer, bağırsaklar ve femur başlarının BRT'de anlamlı düşük olduğu bildirilmiştir. Bir diğer çalışmada postoperatif erken evre endometrium kanseri hastasının BRT, VMAT ve HT planları dozimetrik olarak karşılaştırılmış, bütün tekniklerde doz kapsamı sağlanmıştır. VMAT ile konformite, HT ile homojenite daha iyi, Mesane D2cc BRT'de anlamlı daha iyi bulunurken, Rektum D2cc üç teknik arasında anlamlı fark bulunmamıştır. Sonuç olarak SBRT tekniklerinin BRT'ye alternatif olabileceği belirtilmiştir.

Lokalize Prostat kanserinde HDR BRT ile Cyber Knife (CK) planlarının karşılaştırılmasında, CK ile daha homojen doz dağılımı ve PTV kapsamı sağlanmıştır. BRT, daha hızlı bir doz düşüşü ve daha az rektum hacminin ışınlanması sağlamıştır. Çalışmada SBRT'nin, mesane ve üretra için avantaj sağlayabileceği, rektum açısından ancak PTV marjları uygun seçildiğinde üstün olabileceği bildirilmiştir. Prostat kanseri için ASTRO'nun 2016 yılındaki önerilerinde, teknolojik olarak gelişmiş cihazlarla yapılması şartıyla, düşük ve orta riskli hastalarda SBRT'nin brakiterapiye alternatif olabileceği bildirilmiştir.

Meme, Başboyun, ve karaciğer için BRT ile SBRT'nin karşılaştırıldığı çalışmalarda SBRT'nin Brakiterapiye alternatif olamayacağı bildirilmektedir.



KONUŞMA ÖZETLERİ

Yeni Protokoller Işığında Yaşanan Güncel Gelişmeler / Hakan Eren

GÖRÜNTÜLEME

Primer tümör için görüntüleme türü seçiminde Manyetik Rezonans (MR), Bilgisayarlı Tomografi (BT) ve Ultrasona (US) göre daha avantajlıdır. PET-BT'nin rolü ise; yumuşak doku detayları hakkında bilgi olmamasına rağmen primer tümörün tespiti, doğrulanması ve lenfadenopatinin tespiti için önemlidir. MRI + 18FDG PET/BT incelemeye dahil edildiğinde en iyi elde edilen birincil tedavi seçiminde önemli rol oynamaktadır. MR ile normal anatomi ve primer tümör görünümünde T2W-MRG (MR Görüntüleme) kullanılabilir. Örneğin, endometriyum ve uterusun sınırları rahatlıkla belirlenebilir.

Yeni MR Görüntüleme Teknolojileri

Dinamik Kontrast Arttırılmış (DCE) ve Difüzyon Ağırlıklı Görüntüleme (DWI) MRG ile lezyon tespiti ve tedaviye yanıt değerlendirilebilir. (1,2)

Manyetik Rezonans Görüntüleme

- Yumuşak doku belirlenmesi
- Çok düzlemler görüntüleme
- Yayınlanan öneriler

ile diğer görüntüleme sistemlerine göre avantajlı hale gelmektedir.

Mıknatıs alan gücü arttıkça (T ↑) görüntüleme faydaları da artarken serviks kanseri radyoterapisinde ve klinik etki değerlendirmesinde anlamlı rol oynamaktadır. Ayrıca titanyum aplikatörlerin görüntülenmesi ise >1,5 T, özellikle DWI MRG'de mümkün değildir.

Kontrast ve görüntü kalitesi farklılıklarını önlemek için diagnostik ve brakiterapide aynı görüntüleyicinin kullanılması tavsiye edilir. (3)

IGABT için Görüntüleme Yöntemi Seçimi

Risk Altındaki Organlar (OAR) MR ile organ duvarları görünürken BT ile organ sınırları görünmektedir.

Hedef hacimler MR ile hedef hacimler görünürken BT'de ise hedef hacimler belirlenmesi yumuşak doku betimlenmesi zorluğundan dolayı kesin olarak belirlenmemektedir.

Aplikatörler MR ve BT'de belirlenirken anatomik yapılar ise BT'ye nazaran MR'da daha doğrulukla belirlenebilmektedir. (4)

Brakiterapide MR Protokolleri

Brakiterapide hastaya ve kullanılacak MR'ın özelliklerine göre oluşturulacak görüntüleme protokolünün özellikleri aşağıda sıralanmıştır:

- Alan kuvveti
- Mıknatıs konfigürasyonu
- Sequence ve parametreler
- Görüntüleme düzlemleri. (3)

Uygulama protokolü

- Vajinal packing
- Aplikatör sabitlemesi
- Rektum ve mesanenin yer değiştirmesi. (3,5,6,7)

MRG ve BT için görüntüleme protokolleri

MRG'de yapıldığı gibi GTV şekillendirmesi BT'de mümkün değildir. Kontrolama hazırlığı görüntüleme öncesinde başlar:

- Uygulama tekniği adapte edilmeli
- Kalın paslanmaz çelik aplikatörlerden/aksesuarlardan kaçınılmalı
- BT uyumlu ekipman kullanılmalı
- Seyreltilmemiş kontrast maddeden kaçınılmalı
- Vajinal uzantının işaretlemesi düşünülmelidir.

Serviks kanseri için adaptif görüntü kılavuzluğunda brakiterapide yalnızca ilk fraksiyonda MR ile kombine bir MR/BT planlama tekniği önerilmektedir. Brakiterapi öncesi MR, BT'de kontur yapma yeteneğini geliştirir.

KONTURLAMA

ICRU 89 - GEC-ESTRO tarafından serviks kanseri için öneriler:

- Tanı anında ve brakiterapi sırasında GTV, CTV'ler
- OAR tanımı

Primer tümör için tümör ve hedef hacim tanımları:

- Primer tümör için GTV (GTV-T)
- Primer tümör için CTV (CTV-T)
- Rezidüel GTV-T (GTV-Tres)
- Adaptif CTV-T (CTV-Tadapt)
- Yüksek Riskli CTV-T (CTV-THR)
- Orta Riskli CTV-T (CTV-TIR)
- Düşük Riskli CTV-T (CTV-TLR)
- Planlanan Hedef Hacim (PTV-T)

Primer tümör için GTV (GTV-T)

Tedavi reçete dozu ve planlamasının temeli olup UICC - TNM sınıflandırmasına göre primer tümör için makroskobik olarak gösterilebilen hastalığı temsil eder.

Primer tümör için CTV (CTV-T)



19. ULUSAL MEDİKAL FİZİK KONGRESİ

02-05 KASIM 2023



KONUŞMA ÖZETLERİ

GTV ve varsayılan subklinik malign hastalık ve primer tümör GTV sınırındaki mikroskobik tümör yayılımını kapsar. GEC-ESTRO tavsiyelerinde üç farklı CTV-T tanımlanmıştır:

- Yüksek Riskli CTV
- Orta Riskli CTV
- Düşük Riskli CTV

Risk Altındaki Organlar (OAR)

2 cm³ - 3 cm³'e kadar olan küçük organ duvarı hacimleri, brakiterapiye bağlı morbidite için tipik hedefleri temsil eder. Riskli organlar ise;

- Rektum
- Sigmoid
- Mesane
- Vajina
- Üretra
- İnce bağırsak

Eğer 2 cm³'e kadar olan dozlar değerlendirilirse, organ duvarı yerine organların konturunu çizebilir. BT ve MRG dış organ sınırlarının belirlenmesinde faydalıdır. Ancak MRG daha üstündür.

MR ve BT Tabanlı Konturlama

MR tabanlı yaklaşım altın standart olup BT tabanlı yaklaşım aşağıdaki koşullar sağlandığında uygulanabilir:

- MR tabanlı yaklaşım konusunda deneyimli
- Tedavi öncesi MR mevcut
- Kullanılan standart BT protokolü
- Dahil edilen klinik bulgular
- Brakiterapi öncesi MRG olanakları ile BT'de konturlama. (8,9)

MODERN İNTRAKAVİTER TEKNİKLER

Aplikatörler

Statik zırhlama içeren BT/MR uyumlu aplikatörler

Adaptif aplikatörler

Mold tekniği uygulanarak kişiselleştirilen aplikatörler:

- Anatomi, tümör şekli ve boyutuna göre bireysel olarak uyarlanır.
- Kişiselleştirilmiş intrakaviter ışınlama ile iyi hasta toleransı sağlar.
- Vajinal tampona gerek yoktur.
- MR uyumludur.

Sınırlama ise reçete dozunun hedef hacmi kapsamamasıdır. Planlama kabiliyeti olan farklı kaynak yükleme pozisyonları ve optimizasyon yöntemleri ile giderilebilir.

APLİKATÖR REKONSTRÜKSİYONU

BT/MR aplikatörü için X-ışını işaretleyicileri kullanılarak BT/MR görüntüleri kullanılarak aplikatör rekonstrüksiyonu gerçekleştirilebilir. BT/MR aplikatörü için MR işaretleri suyla doldurulurlar. Ayrıca CuSO₄'da kullanılabilir. MRI sırasında X-ışını işaretleyicisi kullanılmamalıdır.

BT ve MR Füzyonu

BT'de aplikatör görünümü basit olarak görülebilir iken MR'da ise hedef hacim daha kolay belirlenebilir. Bu yüzden BT/MR füzyonu eğer mümkün ise önerilmektedir.

TEDAVİ PLANLAMASI

MR tabanlı tedavi planlaması, yoğunluk düzeltmesi önemli olmadığından Ir-192 veya Cs-137 kaynaklarına sahip jinekolojik brakiterapi için iyi çalışacaktır.

ICRU-GEC-ESTRO TAVSİYELERİ: DOZ-HACİM RAPORLAMASI

ICRU 89: Üç Raporlama Düzeyi:

Level 1: Minimum standart: Tüm merkezler, tüm hastalar için geçerlidir.

Level 2: Gelişmiş standart: Kapsamlı bilgi paylaşımı gereklidir.

Level 3: Araştırma odaklı: Yeni kavramlar oluşturulmalıdır.

Tümör Kapsamının Raporlanması

Tanı ve brakiterapi tedavisine ait hedef hacimlerin (GTV ve CTV) raporlanmasını içerir. (10)

Raporlama İşlemi için Genel Hususlar

D ve V'nin reçetelenmesi, kaydedilmesi ve raporlanması

Eksternal ve brakiterapi tedavilerinin toplamı için hedef hacim ve risk altındaki organlara (OAR) ait doz hacim değerleri EQD2'ye göre belirlenir. (11)

Hedefe İlişkin Raporlama Parametreleri

Hedef Hacimlerin Dozları - Primer Tümör

GTV ve CTV için ICRU 89'a göre Level 1,2,3'e ait değerler raporlanır.

ICRU 89: Referans A Noktası



KONUŞMA ÖZETLERİ

Hesaplanan A noktasının aldığı doz belirtilir.
Risk Altındaki Organlara Uygulanan Dozlar
ICRU'nun 89 no'lu raporuna göre;

- Rektum
- Mesane
- Sigmoid
- İnce bağırsak
- Vajina

için düşük ve yüksek doz-hacim bilgileri raporlanır.

EMBRACE II PLANLAMA AMAÇLARI VE REÇETE SINIRLARI

EMBRACE-II protokolüne göre risk altındaki organlar (OAR) ve hedef hacim türleri için doz sınırlamaları sırasıyla Tablo 1 ve Tablo 2'de verilmiştir.

Tablo 1: Risk Altındaki Organlara (OAR) ait Doz Sınırlamaları

Tablo 1: Risk Altındaki Organlara (OAR) ait Doz Sınırlamaları

	Mesane D _{2cm³} EQD ₂₃	Rektum D _{2cm³} EQD ₂₃	Recto-Vaginal Nokta EQD ₂₃	Sigmoid-Bağırsak D _{2cm³} EQD ₂₃
Planlama Hedefi	<80 Gy	<65 Gy	<65 Gy	<70 Gy
Reçetelendirilen Doz Sınırları	<90 Gy	<75 Gy	<75 Gy	<75 Gy

Tablo 2: Hedef Hacim Türlerine ait Doz Sınırlamaları

Yapı	Doz Hacim Parametresi	Planlama Amacı (Gy)
CTV _{HR}	EQD ₂₁₀ D ₉₀	≥ 85 (>90 - <95)
CTV _{HR}	EQD ₂₁₀ D ₉₈	>75
GTV	EQD ₂₁₀ D ₉₈	≥ 90 (>95)
CTV _{IR}	EQD ₂₁₀ D ₉₈	>60
A Noktası	EQD ₂₁₀	>60

OPTİMİZASYON TEKNİKLERİ

Doz optimizasyon yöntemleri:

- Manuel doz optimizasyonu
- Grafik optimizasyonu
- Invers planlama

Optimizasyon yöntemlerinden öncelikle standart planlamanın ardından gerekli durumlarda (hedef hacim ve risk altındaki organların doz limitleri sağlanmadığı koşullarda) manuel olarak optimizasyon yapılmalıdır. Grafik optimizasyonla sadece küçük değişikliklere izin verilmelidir.

DVH ANALİZİ

Denklem 1'de verildiği üzere Homojenite İndeksi hesaplanmalıdır.

$$\text{Homojenite İndeksi } (>0,75) \quad \text{HI} = (\text{CTV}(100\%) - \text{CTV}(150\%)) / (\text{CTV}(100\%)) \quad (1)$$

REFERANSLAR

- Review: Lee HI, et al. JNM 2015;56(3).
- Harry VN. Gynecol Oncol 2010.
- Dimopoulos JCA et al. Radiother Oncol 2012;103:113-22.
- Viswanathan et al. IJROBP 2007.
- Chandramouli S, et al. Doha - Heidelberg Research Conference 2018.
- Dimopoulos JCA et al. MRI Recmm...Radiother Oncol 2012
- Petric P, et al. Axial vs Para-axial...Radiother Oncol 2006.
- Viswanathan AN, et al. Radiother Oncol 2007.
- Int J Radiation Oncol Biol Phys, Vol. 90, No. 2, pp. 320-328, 2014.
- ICRU/GEC ESTRO Report 89, 2016.
- ICRU Report 89, 2016; pp 106.



19. ULUSAL MEDİKAL FİZİK KONGRESİ
02-05 KASIM 2023



KONUŞMA ÖZETLERİ

Kalite Kontrolde Nereye Gidiyoruz? Cihaz Qa Tek Başına Yeterlidir / İsmail Faruk Durmuş

Kalite temini (QA; Quality Assurance) bir ürünün/sistemin veya servisin kalite gerekliliklerini güvenilir bir şekilde sağlamak için gerekli olan planlı ve sistematik eylemlerdir. Kalite teminini veya güvenilirliğini sağlamak için kalite kontroller yapılmaktadır. Kalite kontrol, ölçülebilir standartlarla karşılaştırma yapan gerçek kalite performansıdır. QA sürecinin bir parçasıdır ve kullanılan tüm teknik ve işlemleri kapsar. Bir cihazın veya sistemin gerçek çalışma performansı özelliklerinin değerlendirilmesini, istenen hedeflerle karşılaştırılmasını ve farka göre hareket edilmesini gerektirir. Radyoterapi (RT) de kalite standartları WHO, ASTRO, ESTRO, AAPM, IPEM, vs. gibi kurum ve kuruluşların yayınlarını takip ederek sağlamaktayız. Kalite temininin gerekliliği ise tedavinin doğru ve olası riskleri en aza indirerek uygulanmasını sağlar. Ayrıca cihazın/sistemin zamanla değişkenliğinin belirlenmesini sağlar. Uygulanacak tedavilerin hassasiyeti ve kompleks derecesinin belirlenmesine de olanak tanır.

Cihaz bazlı QA ile lineer hızlandırıcının günlük, haftalık, aylık ve yıllık kontrolleri yapılarak sistemin güvenilirliğini sağlamaktayız. Bu yaptığımız testler sayesinde cihazın optimum standartlarından herhangi bir sapma veya farklılık olduğunda bunu tespit edip gerekli kalibrasyon veya ayarlamaları yapabilmekteyiz. Bu sayede güvenli ve doğru bir tedaviyi uygulama şansımız olmaktadır. Özellikle AAPM TG-142 ve 198 raporları cihaz QA kapsamında bizlere büyük yol göstermektedir.

Hasta bazlı QA ise kısaca tedavi planlama sisteminde hazırlanan planın verifikasyonu olarak tanımlayabiliriz. Hasta bazlı QA rutinde yoğunluk ayarlı tedavilerin doğruluğunu veya cihazın planı uygulanabilirliğini test etmektedir. Fakat kullanılan hasta QA ekipmanlarının bu amaca yönelik verifikasyon sağlamasında bazı belirsizlikleri vardır. İdeal olarak MLC pozisyon ve hızı, MU, akı, DVH, absolute doz, linak'ın plana göre mekanik doğruluğu ve data transferi gibi bilgilerinin tamamını hasta bazlı QA sistemleri ile analiz etmemiz mümkün olmamaktadır. Hem ekipman hem de gama analiz metodundan kaynaklı belirsizlikler ve eksiklikler bu analizlerin tamamını veya bir kısmını yapmamıza imkan vermemektedir.

Gamma knife, intra-operatif RT ve online adaptif RT sistemlerinde tedavi öncesi ölçüm tabanlı hasta QA yapma imkanı yoktur. Bu sistemlerde cihaz bazlı QA'yi doğru, eksiksiz bir şekilde yapıldığında tedavilerin güvenli olarak uygulanmasında sorun veya belirsizlik olduğu bildirilmemiştir.

RT radyasyon hatalarına ve kazalarına karşı sıfır tolerans ve reçeteden sıfır sapma ile birlikte düşünülerek uygulanmalıdır. Cihaz QA her ne kadar uzun zaman alsada, tedavilerin doğru ve en az belirsizlikle uygulanması için vazgeçilmez bir argümandır. Fakat kliniklerde olası hataları önlemek için cihaz QA'in yanında hasta QA ve sıkı iş takibi ile yüksek hassasiyette güvenilir tedaviler uygulanabilir.



KONUŞMA ÖZETLERİ

Abdominal Bölgede Adaptif Radyoterapi / Hüseyin Kıvanç / Gökhan Özyiğit

Abdominal bölgede adaptif radyoterapi (ART) uygulamalarının ne zaman ve nasıl yapılması gerektiği, gerçekten gerekli olup olmadığı ve klinik fayda konularını özetlemeye çalışacağız. Offline(çevrimiçi) ve online(çevrimdışı) olarak uygulanabilen ART stratejileri, başta kilo kaybı olmak üzere tümör hacim değişiklikleri ve kritik organ (OAR) hareketleri sebebiyle uygulanmaktadır. Özellikle Jinekolojik vakalarda rektum, mesane ve barsak hacimleri ve konumları tedaviler için ve arası ART gerektirebilir. Prostat için rektum ve mesane doluluğu/boşluğu standart olsa dahi, birbiri arasındaki ilişki sebebiyle ve pankreas tedavilerinde ise barsak, mide ve duodenum konum ve hareketi ART gerektirebilir. Nasıl uygulanması gerektiğine bakacak olursak; öncelikle diğer anatomik bölgelerin aksine, abdominal ve pelvik bölgelerde, fraksiyonlar arası ve içi hedef ve OAR hareketleri sebebiyle daha sık ve özellikle online ART (oART) yapılması önerilmektedir. Offline ART öncelikle kilo kaybında, prostat, serviks ve mesane kanseri için, ilk birkaç tedavi fraksiyonundaki anatomik değişiklikler ölçülüp, ortalama bir anatomik model belirlenerek veya önceden belirlenen bir günde çekilen BT ile geleneksel yöntemler ve önemli bir altyapı değişikliği olmadan daha seçici olarak uygulanabilir. Online ART, özellikle serviks ile prostat ve pankreas bölgesindeki, tahmin edilemeyen değişiklikler sebebiyle günlük yeniden optimizasyon yapılarak veya birkaç farklı anatomik durum için (örn. mesanenin farklı doluluk oranları için) yapılan planlamalar ve tedavi günü uygun planın seçilmesiyle uygulanmaktadır (Günün planı (Plan of the day)).

Online ART için özellikle günlük iş akışını zorlayıcı; yüksek kalite görüntüleme, yeniden konturlama, planlama ve kalite kontrol (QA) sebepleriyle gereklilik ve klinik fayda konusu dikkate alınmalıdır.

Abdominal ve pelvik bölge için sıklıkla karşımıza çıkan birkaç kanser özelinde konuyu değerlendireceğiz. İlk olarak prostat kanserindeki anatomik değişikliklere bakacak olursak; bir çalışmada 10 hastanın 102 günlük BT verisiyle prostat, rektum ve mesane Dice coefficient (DSC) değerlerinin sırasıyla $86.6\% \pm 5.1\%$, $77.3\% \pm 7.4\%$ ve $75.4\% \pm 11.2\%$ olduğu görülmüş ve bir diğesinde ise 20 hastanın 486 günlük BT verisiyle ortalama prostat DSC, $69.7\% \pm 13.8\%$ olarak belirlenmiştir (1,2). Retrospektif olarak, 20 hastanın 40Gy/5 frx tedavisi üzerinden farklı ART stratejilerinin (online, offline ve kombinasyonları) incelendiği bir çalışmada her gün yerine gün aşırı oART önerilmiştir (3). Serviks kanseri özelinde, değişken mesane dolumu ile uterus ucunun, 65 mm ye kadar çıkabildiği, ortalama fraksiyonlar arası servikal hareketin 0,3-16 mm arasında olduğu raporlanmıştır (4,5). MR-linak üzerindeki MRI ile ortalama fraksiyonel hareketin rektal gaz geçişine bağlı olarak maksimum 9 mm ye kadar çıkabildiği görülmüştür (6). Online ART, MRI ve CBCT kılavuzluğunda sistemler ile uygulanabilmektedir. MRI tabanlı sistemler her ne kadar yumuşak doku hassasiyetini artırsa da klostrifobik veya metalik implant olan hastalar için dezavantajlı ve ekstra olarak özel bir MR sistemi gereğiyle de pahalı sistemlerdir. Serviks bölgesinde oART, günün planı yaklaşımıyla da uygulanabilmektedir. Bu yöntem, rektumu boşaltılan hastaya mesanenin farklı doluluk oranları için plan yapıp tedavi günü uygun planın seçilmesiyle uygulanmaktadır. Bu yaklaşımı içeren bir çalışmada uterus hareketi 2,5 cm'den büyük olan hastalarda mesane ve rektum V95% hacimlerinde düşüş, PTV V95% hacminde azalma görülmüştür (7). Ayrıca otomatik yazılımlar ile zaman tasarrufu sağlanacağı da gösterilmiştir. Abdomen bölgesinde sık karşılaştığımız mesane kanserinde, büyük organ hareketi ve mesane dolumunda farklılıklar, tedavi planlaması ve uygulaması iş akışında su içme protokolleri ve Foley kateterleri kullanıldığında bile 2 cm'ye kadar planlama marjları gerekirken ve bununla birlikte PTV hacmi büyümektedir. Burada offline ART stratejisi olarak, çekilen CBCTler ve planlama BT ile hastaya özgü PTV marjlarının belirlenebildiği gibi, farklı günün planı stratejileri de kullanılmaktadır (8,9). Ayrıca CBCT veya MRI tabanlı sistemler ile günlük yeniden optimizasyon oART yapılmaktadır. OAR hareketlerinden en çok etkilenen bölgelerden biri de pankreas. Pankreas kanserinde, pozisyonel olarak günlük değişimlerin, her yönde 2 cm, solunumla ilişkili 2,3 cm ye kadar, mide için ise 3,5 cm her yönde ve 4 boyutlu bir MRI çalışmasında, pankreas ve duodenumun solunumla ilişkili 7 mm'ye kadar hareket olabileceği bildirilmiştir (10,11). Bunların yanı sıra bağırsak hareketleri de dikkate alınır, oldukça hareketli bir bölgedir. Yumuşak doku hassasiyeti sebebiyle, özellikle MR kılavuzluğunda oART sistemleri önerilmektedir. MR kılavuzluğunda oART'nin incelendiği bir çalışmada, lokal ileri pankreas tanılı, 40Gy/5 frx verilen hastalarda, hedef için GTV V95% de artış, duodenum V33Gy de 0,3 cc koruma elde edilerek oART nin gerekliliği gösterilmiş ve işlem süresini kısaltmak için Plan predict yöntemi ortaya koyulmuştur (12). Özet olarak, pankreas gibi bölgelerde her zaman, prostat, serviks ve mesane gibi bölgelerde gerektiğinde ve hastaya özgü fizyolojik ve/veya anatomik değişimler gözlemlendiği zaman ART yapılmalıdır. Pankreas için MR kılavuzluğunda yeniden optimizasyon oART, prostat, serviks ve mesane gibi bölgeler için bölgeye ve hastaya özgü stratejiler kullanılabilir. Gereklilik ve klinik fayda konusunda, özellikle oART ile hedef marjların azaltılması ve OAR koruması açısından oldukça anlamlı sonuçlar elde etsek dahi, yapay zekâ gibi otomatik sistemlerin geliştirilmesi ile daha hızlı, görüntüleme kalitesindeki artış ile daha hassas, hızlı, hassas ve zamandan tasarruf sağlayan QA sistemleri ile daha doğru tedaviler ile bu konu anlamını yitirebilir.

Kaynakça

1. Liu ve arkadaşları. Med Phys, 41 (2014).
2. Cheng ve arkadaşları. Int J Radiat Oncol Biol Phys 79 (2011).
3. Siciarz ve arkadaşları. J Appl Clin Med Phys. 2021 22(12).
4. Ahmad ve arkadaşları. Radiother Oncol, 98 (2011).
5. Jadon ve arkadaşları. Clin Oncol, 26 (2014).
6. Cree ve arkadaşları. Int J Radiat Oncol Biol Phys, 105 (2019).
7. Buschmann ve arkadaşları. Z Med Phys. 28 (2018).
8. J Med Imag Radiat Sci, 49 (4) (2018)
9. V.Kong ve arkadaşları. Clinical Oncology, 33(6) (2021)
10. Axen Li ve arkadaşları. Radiotherapy and Oncology, 100 (2011)
11. Bjorn ve arkadaşları. Int J Radiat Oncol Biol Phys, 91 (2015)
12. Bohoudi ve arkadaşları. Radiother Oncol. 132 (2019)



KONUŞMA ÖZETLERİ

Bilgisayarlı Tomografide Kalite Kontrol / İsmail Fındıklı

Bilgisayarlı Tomografi (BT) incelemelerinin yüksek doz prosedürlerine sahip olması ve yaygın kullanımı, toplum dozuna katkısı önemli ölçüde artırmaktadır. Özellikle hamile hastalar veya çocuklar söz konusu olduğunda daha da önemlidir. BT Ekipmanlarının tasarımı, çalışma performansı ve optimal kullanımı, dozu büyük ölçüde etkiler. Cihaz performansı, kliniğe ilk kurulduğunda kabul testleri ve kullanım ömrü boyunca rutin periyotlarla yapılması gereken kalite kontrol testleri ile takip edilmektedir.

BT kabul ve kalite kontrol testleri aşağıda sıralanan birçok önemli kuruluş tarafından yayınlanan standart, talimat ve klavuzda yer almaktadır.

- International Atomic Energy Agency Human Health Series (IAEA HHS No:19)
- American College of Radiology (ACR), Computed Tomography Quality Control Manuel
- European Commission (EC) Radiation Protection No:162
- American Association of Physicists in Medicine (AAPM) Report No:233
- European Guidelines On Quality Criteria For Computed Tomography (EUR 16262)
- Institute of Physics and Engineering in Medicine (IPEM) Report 91
- Diagnostik Radyoloji, Nükleer Tıp Ve Radyoterapi Grubu Tıbbi Cihazların Kalite Uygunluk Ve Kalite Kontrol Testleri Hakkında Yönetmelik Hükümlerinin Uygulanmasına İlişkin Kılavuz (Türkiye İlaç ve Tıbbi Cihaz Kurumu (TİTCK).

Tablo 1) Bilgisayarlı Tomografi Kalite Kontrol Testleri

Test Adı	Kabul Aralığı	Referans Standart/Klavuz /Talimat	Gerekli Donanım
Lazer Hizalama Doğruluğu	±5mm,	EC 162, IAEA HHS No:19	Çapı 1 mm den küçük radyopak işaret veya BT görüntü kalitesi fantomu
	±2mm	ACR	
Masa Uzaklık Göstergesi Doğruluğu	±2mm	AAPM 233, EC 162, IPEM 91	Şerit metre
Tarama Projeksiyon Radyogramı (SPR) Doğruluğu		AAPM 233, EC 162, IAEA HHS-19, ACR	Radyopak işaret içerek düzlem fantom ya da BT görüntü kalitesi fantomu
Görüntülenmiş Kesit Genişliği(t) Doğruluğu	≤1 mm, ±0,5 mm 1<t≤2, ±%50*t mm 2<t, ±1 mm	AAPM 233, EC 162, IAEA HHS-19	BT de kesit kalınlığı ölçümüne uygun sabit açılı tel veya levha içeren fantom veya fantom bölümü
	±1,5 mm	ACR	
Gantry Eğim Doğruluğu	±1°	AAPM 233, IAEA HHS-19	CR kaset veya Gafchromic film ve açölçer. Ya da BT'de kesit kalınlığı ölçümüne uygun sabit açılı tel veya levha içeren fantom
Havadaki BTDI	±%20	EC 162, IAEA HHS-19	100 mm uzunluğunda silindirik iyon odası
Tarama Projeksiyon Radyografisi Dozu	Üretici verileri ile karşılaştırılabilir	AAPM 233	
Doz göstergesi doğruluğu (BTDI _{vol})	±%20	AAPM 233, EC 162, IAEA HHS-19	BTDI fantomu (vücut+kafa), 100 mm uzunluğunda silindirik iyon odası
Klinik Protokol Dozları (BTDI _{vol})	Yetişkin kafa<80 mGy Yetişkin abdomen<30 mGy Pediatrik kafa<40 mGy Pediatrik Abdomen<20 mGy	EC 162, ACR	
Işınlanan Demet Genişliği	1 mm ya da ±%20	EC 162, IPEM 91	CR kaset veya Gafchromic film, cetvel
	3 mm ya da ±%30	ACR	
BT Numarası Doğruluğu	Su ±20 HU, Diğer materyaller ±30 HU ya da fantom spesifikasyonu	EC 162, IPEM 91, Fantom Manuel	Su ve hava dahil olmak üzere 3'ten fazla farklı BT numarası sağlayan fantom.
BT Numarası Homojenitesi	±20 HU	EC 162, IPEM 91, IAEA HHS-19	Su ya da su eşdeğeri homojen fantom
	±7 HU	ACR	
	±10 HU	IAEA HHS-19	
Gürültü	±15	EC 162	
	±25	IAEA HHS-19	
Artefakt	Artefakt olmamalı	AAPM 233	
Yüksek Kontrast A.G. ve MTF	Yumuşak Doku Filtre≥6 çç/cm	ACR	BT görüntü kalitesi fantomu
	Kemik Filtre≥10 çç/cm	EC 162	
Düşük Kontrast A.G.	≥6 mm çap		
CNR	Yetişkin kafa ve Abdomen≥1.0, Pediatrik kafa≥0.7, Pediatrik Abdomen≥0.5	ACR	



19. ULUSAL MEDİKAL FİZİK KONGRESİ
02-05 KASIM 2023



KONUŞMA ÖZETLERİ

BT'de Yeni Teknolojiler ve Uygulamalara Getirdikleri / Ayşegül YURT

1950'lerde fizikçi Allan Cormack, bir maddenin transmisyon ölçümleri bilgisinden yola çıkarak bir fantom aracılığıyla yaptığı transmisyon ölçümlerinden ahşap ve alüminyumun zayıflatma katsayılarını hesapladı. Bu çalışmaları referans alan Godfrey N. Hounsfield 1971 yılında birlikte çalıştığı Radyolog James Ambrose ile bilgisayarlı aksiyel tomografik taramayı gerçekleştirdi. Bu çalışmadan 8 yıl sonra Cormack ve Hounsfield 1979 yılında Nobel ödülünü paylaştılar.

Ambrose ve Hounsfield tarafından gerçekleştirilen ilk hasta taraması, yalnızca beyin değil tüm vücut volümetrik taramanın da yolunu açtı. X ışını tüpü ile dedektörünün 180° rotasyonla bir kesiti 5 dk. tarama zamanından 360° rotasyonda 0.24 saniyeye...BT teknolojisi kendini yeniden keşfetmeye devam etmektedir. Daha hızlı taramalar ve daha iyi bir uzaysal çözünürlük arayışı elektron demeti BT (EBCT) ve Çift kaynaklı BT (DSCT) gibi yeni geometriler geliştirildi. BT cihazlarındaki bu hız, tarama sürelerini de kısaltmasından dolayı daha fazla hastada tanıyı desteklemek amacıyla daha geniş tarama alanlarını kullanma olanağı sağladı.

Bu da son 20 yıldır radyasyon dozunun optimizasyonu ve yönetiminin nasıl yapılacağı konusunda yani tüp akımı (mA) ve tüp potansiyeli (kV) ışınlama parametrelerinin nasıl belirleneceğine dair yeni bazı teknolojileri ortaya koydu. Günümüzün en son teknik yeniliği olan foton sayım bilgisayarlı tomografi (Photon Counting CT, PCCT), çoklu enerji CT olmasının yanı sıra 125 µm'ye varan uzaysal çözünürlük sunması en büyük inovasyon olarak tanımlanmaktadır.

Tek bir dizi BT teknolojisinin 320 dedektörlü BT teknolojilerine ulaşması tarama hızının yanısıra görüntüde uzaysal çözünürlüğün iyi olmasını sağlamada X ışını tüpü ve slip ring gantry teknolojilerinin desteği de büyüktü. Tek bir nefes tutma işleminde izotropik uzaysal çözünürlükle bir yetişkinin tamamını tepeden tırnağa taramak veya geniş dedektör kapsamına sahip tek bir portal dönüşüyle bir organın tamamının taranabilmesi mümkün olabilmektedir. Tüm bu teknolojik gelişmeler sonucunda; BT'de uzaysal çözünürlük, aksiyel bir görüntüyü oluşturmak için yeterli verinin elde edilmesi için geçen sürenin kısaltılması söz konusudur. Ancak 0,25s >> 125 ms zamansal çözünürlükle sonuçlanan gantry dönüş süreleri, aşırı derecede artan merkezkaç kuvvetlerinin neden olduğu mekanik zorluklar nedeniyle elde edilemedi. Tüm teknolojik gelişmeler bir araya gelerek kardiyak BT'nin kalitesini ve sağlamlığını artırırken ilgili radyasyon dozunun da azaltmıştır. Örneğin 20 mSv'lik etkili bir dozdan 1 mSv'in altındaki dozların uygulanması mümkündür.

BT teknolojilerindeki gelişmelere paralel olarak PCCT veya yapay zeka uygulamaları BT klinik uygulamalarına girmesini beklediğimiz teknolojilerdir. Azaltılmış elektronik gürültü, iyotlu kontrast maddeyle artırılmış kontrast-gürültü oranı, radyasyon dozu verimliliği, azaltılmış ışın sertleşmesi ve metal artefaktları, son derece yüksek uzaysal çözünürlük (33 lp/mm), eş zamanlı çok enerjili veri toplama, tek bir taramayla kontrast maddeleri ve doku türlerini ayırt etme olanağı sağlaması özellikleriyle foton sayma dedektörü (PCD) CT, son on yılda muazzam ilerleme gösteren, yeni ortaya çıkan bir teknolojidir. Son dönemlerde radyolojiye hızlı bir şekilde giren yapay zeka, BT görüntülerinin hem hesaplanması hem de post-processing işlevleri etkilemesinin yanısıra niceliksel uygulamalarda daha fazla doğruluk ve tekrarlanabilirlik sağlamak için birçok görevi otomatikleştirmeye hazırlanıyor.

1970'den bu yana BT, tıp pratiğinin vazgeçilmez bir aracı haline getiren çok sayıda teknolojik gelişme ve yenilik geçirmiştir. Her yeni nesil teknoloji, BT'nin hızını ve uzaysal çözünürlüğünü arttırmakla kalmıyor, aynı zamanda yeni klinik uygulamalara ve radyasyon ve kontrast dozunun azaltılmasına da olanak sağlıyor.



KONUŞMA ÖZETLERİ

Radyolojide Medikal Fizik Eğitimi / Ayşegül Yurt

Avrupa Medikal Fizik Federasyonu (EFOMP) ve Avrupa Radyoloji Topluluğu (ESR); tıbbi görüntüleme alanında tıbbi fizikçilerin eğitimi ve öğretimi için yönergeler/kılavuzlar sağlayıp, hızla gelişen tıp alanındaki bilgi ve yeterlilik ihtiyaçlarına yönelik çağdaş gereksinimleri karşılamaktadır. EFOMP tavsiyeleri doğrultusunda her AB üyesi ülkesi ulusal düzeyde eğitim ve öğretim programlarının oluşturulmaktadır. Radyolojideki medikal fizikçiler de dahil olmak üzere tüm Medikal Fizikçiler için Ulusal Kayıt Programlarının resmi olarak EFOMP'da tanımlanmasına yönelik ilk kılavuzlar 1995 yılında oluşturulmuştur. Medikal Fizik Uzmanı (MFU) ifadesi uygun uzmanlık derecesine sahip bir fizikçiyi ifade eder ve tıbbi işlemlerle ilişkili iyonlaştırıcı radyasyonun tehlikelerine karşı bireylerin sağlığını korumada 1997 yılında Avrupa Birliği Direktifleri 97/43 Euratom'da ortaya kondu. Böylece MFU tanımı, tüm Avrupa Birliği üyelerinin ulusal mevzuatlarına girdi. «Tıbbi işlemlere uygulanan radyasyon fiziği ile ilgili konularda rol alma veya tavsiye verme konusunda bilgi, eğitim ve deneyime sahip olan ve yeterliliği yetkili makamlar tarafından tanınan kişi» olarak tanımlanmaktadır. Avrupa Birliği Euratom kararlarına göre Medikal Fizik Uzmanı olarak Radyoloji'de Medikal Fizikçiler;

- Radyoloji; radyografi, mamografi, bilgisayarlı tomografi, röntgen eşliğinde müdahaleler ve pediatrik radyolojinin yanı sıra manyetik rezonans görüntüleme (MRG) ve ultrason görüntüleme gibi birçok alt uzmanlığı içerir.
- Bir Medikal Fizik Uzmanı olarak tanınan radyolojideki medikal fizikçinin, X-ışını görüntüleme ve yerel koşullara bağlı olarak, MRG, ultrason görüntüleme ve nükleer tıp konularında belirli bir düzeyde uzmanlık kazanması da istenebilir veya hatta gerekli olabilir.
- Radyoloji'de güvenli, en son teknolojiye sahip tıbbi görüntülemenin uygulanmasını sağlamanın yanısıra hastalara radyoloji hizmetlerinden sorumlu olan multidisipliner klinik ekibin üyelerinden biridir.
- Görevleri, tüm radyoloji hizmetinin temelini oluşturan fiziksel süreçler ve teknoloji hakkında kritik bilimsel verileri sağlamaktır.
- Tıbbi görüntüleme, görüntü işleme, görüntü dağıtım, görüntü depolama, radyasyon dozimetrisi, görüntüleme ekipmanının kalite güvencesi, görüntüleme sürecinin bilgi ve iletişim teknolojisi (BİT) yönleri ve hastanın ve çalışanın radyasyon korunması çerçevesini tasarlamak ve geliştirmektir.
- Görüntüleme teknikleri ve süreçlerinin geliştirilmesi, uygulanması ve iyileştirilmesi konusunda uzman tavsiyesi sağlamaktır.
- Radyoloji departmanı dışındaki tıbbi görüntüleme uygulamaları için uzman olarak destek verimdir. (Örn: ameliyathane, endoskopi, kardiyojoloji birimleri)
- Tıbbi görüntüleme teknolojileri ve tekniklerindeki ilerlemelerin stratejik planlanması, test edilmesi, güvenli kullanımı ve optimizasyonunda öncü bir role sahiptir.
- Yeterli bilgi ve uygun düzeyde yeterlilik elde etmek ve sürdürmek için hem başlangıç hem de sürekli eğitim ve öğretim gereklidir. EFOMP ve ESR birlikte temel müfredatı açıklamaktadır.

Bu nitelikleri sağlamak için dünyadaki pekçok ülkede 2 yıl lisans üstü eğitim olarak medikal fizik eğitimi verilmektedir. Bu eğitimde radyoloji fiziği ve dozimetri, radyasyondan korunma ve güvenlik, tıbbi görüntülemenin temelleri, radyobiyojoloji, tıbbi anatomi ve fizyoloji, radyoterapi fiziği ve profesyonellik ve etik başlıkları önem kazanmaktadır. Bununla birlikte lisans üstü eğitimde seminer ve tez çalışması da eğitim planlarının içinde olmalıdır.

Ülkemizde Radyoloji'de Medikal Fizik eğitiminin ne yazık ki, çekirdek bir eğitimi yoktur, akredite bir eğitim değildir ve 3 üniversitede bu eğitim verilmektedir; Ankara Üniversitesi (Nükleer Bilimler Enstitüsü, Sağlık Fiziği), Dokuz Eylül Üniversitesi (Sağlık Bilimleri Enstitüsü, Medikal Fizik AD.) ve Yeditepe Üniversitesi (Sağlık Bilimleri Enstitüsü, Sağlık Fiziği).

Bununla birlikte ülkemizdeki son gelişmelerden Sağlık Bakanlığı Tıbbi Cihaz ve Tıbbi İlaç Kurumunun yayınladığı "DİAGNOSTİK RADYOLOJİ, NÜKLEER TIP VE RADYOTERAPİ GRUBU TIBBİ CİHAZLARIN KALİTE UYGUNLUK VE KALİTE KONTROL TESTLERİ HAKKINDA YÖNETMELİK HÜKÜMLERİNİN UYGULANMASINA İLİŞKİN KILAVUZ (TCS-KLVZ-06)" yönetmelik ile birlikte hastanelerin Radyoloji birimleri, Tıbbi Cihaz Firmaları, Kalite Kontrol (Muayene) firmalarının Radyoloji eğitimi almış Medikal Fizikçilere sektör beklentileri artmıştır. Eğitim de bu doğrultuda güncellenmeli ve akredite olmalıdır.



KONUŞMA ÖZETLERİ

Küçük Alan Dozimetresinde Dedektör Seçimi / Gülbin Kavak

Stereotaktik Radyoterapi (SRS) ve Stereotaktik Body Radyoterapi (SBRT) gibi tedavilerde küçük alan dozimetresi oldukça önemlidir. Eksternal bir foton demetinin küçük alan olarak nitelendirilebilmesi için merkezi ekseninde lateral yüklü parçacık dengesinin kaybolması, merkezi ekseninde birincil foton kaynağının kolimasyon tarafından kısmi olarak bloklanması ve dedektör boyutunun, alan boyutuna eşit ya da alan boyutundan büyük olması gerekmektedir. İyi bir küçük alan dozimetresi; hassas ve doğru ölçüm alabilmeli, doza karşı lineer cevap verebilmeli, su veya su eşdeğeri olmalı, hızlı yanıt vermeli, yüksek duyarlılıkta ve doz hızından bağımsız olmalıdır. İyon odaları, silikon diyot dedektörler, diamond dedektörler, radyokromik film dozimetreler, plastik ve organik sintilatörler, mosfet dedektörler, termoluminesans dedektörler (TLD), radyofotoluminesans cam dedektörler ve alanine küçük alan dozimetresinde kullanılan dedektörlerdir. İyon odaları hem foton hemde elektron ölçümlerinde kullanılan silindirik tipte ya da paralel plaka şeklindedir. Yüksek doz hassasiyetleri vardır ve doz oranına bağımlıdır. Silikon diyot dedektörlerin açı bağımlılıkları homojen değildir. Demet eksenine paralel ekseninde kullanılmalıdır. Küçük alanlarda rölatif doz ölçümlerinde kullanılmaktadır. Silikon diyot dedektörler kısa cevap süresine sahip olup, uzaysal çözünürlükleri yüksektir. Diamond dedektörler yüksek doz hassasiyetine sahiptirler. Doz cevapları enerjiden bağımsız olup radyasyon dozlarına karşın lineer bir cevap gösterirler. Diamond dedektörler uzun ömürlüdürler ve ısıya dayanıklıdır. Yöne bağımlılıkları homojendir. Radyokromik film dozimetreler görünür ışığa duyarlı değildirler. Işınlandıktan sonra kimyasal işlem gerektirmez. Geniş doz ve geniş enerji aralığında kullanılabilir. Radyofotoluminesans (RPL) cam dozimetreler, katı hal dedektörüdür. Materyal gümüş ile aktive edilmiş fosfat camdan oluşmaktadır. Küçük alan dozimetresi için uygun olan yüksek absorbe doz modunda çap 1.5 mm uzunluk 0.6 mm kadardır.

Yeterli sayıda tekrarlanabilir ve yeniden değerlendirilebilir. TLD'ler doku eşdeğeri dozimetrelerdir. Toz, mikroçip, çubuklar gibi farklı formlardadır. Belli bir absorbe doz aralığında lineerdir.

Küçük alan dozimetrisi ölçümünde International Atomic Energy Agency (IAEA) tarafından yayınlanan Technical Reports Series 483 kullanılması tavsiye edilmektedir. Bu protokole göre ölçümler SRS, SBRT yapabilen cihazlara özgü spesifik alanlar belirlenerek yapılmalıdır. Cihaza özgü alan dozimetrisi için iyon odası dedektörün dış sınırlarının en azından lateral yüklü parçacık alanından uzakta olduğu bir alanda bulunması gereklidir. Eşdeğer kare alan boyutu 6 cm × 6 cm veya daha büyük olan küçük alanlar için, Farmer tipi odalar, eşdeğer kare alan boyutu 6 cm × 6 cm'den küçük olan küçük alanlar için ise daha küçük hacimli iyonizasyon odaları kullanılması önerilmektedir. Alan boyutları 4 cm x 4 cm'ten küçük olan yerlerde doz ölçümleri, yüksek uzamsal çözünürlüğe sahip dedektörlerle yapılmalıdır. Bu tip dedektörler küçük boyutlu iyonizasyon odaları, silikon diyotlar veya diamond dedektörleri içermektedir. Unshielded diyot, 1x1 cm²'den büyük alanlar için uygun olup, 1x1 cm²'den küçük alanlar için düzeltme faktörü %1 ile %4 arasında değişmektedir. Plastik sintilatörler için optik fiberde meydana gelen çerenkov düzeltilmesi yapılması gerekmektedir. Stereotaktik alan diyotu, 0.6x0.6 cm²'lik alanlar için uygundur. Bu diyotlar için düzeltme faktörü yaklaşık olarak %2 civarında değişmektedir. TLD'ler ve radyokromik film gibi dedektörler, nokta dozu ölçümleri için daha uygun bulunmaktadır.

Sonuç olarak küçük alanlarda yapılan ölçümler için sabit bir yanıtı sahip ideal bir dedektör yoktur. Küçük alan dozimetresinde uygun dedektör seçimi çok önemli olup en az iki farklı kabul edilebilir dedektör kullanılmalıdır.



19. ULUSAL MEDİKAL FİZİK KONGRESİ

Hilton Dalaman / Sarıgerme
02-05 KASIM 2023

SÖZLÜ BİLDİRİLER



19. ULUSAL MEDİKAL FİZİK KONGRESİ

02-05 KASIM 2023



SÖZLÜ BİLDİRİLER

İÇİNDEKİLER

SÖZLÜ BİLDİRİLER

- Hastaya Özgü Kalite Güvencesi (PSQA) için Fantom Tasarımı, Üretimi ve Dozimetrik Stabilitesinin Değerlendirilmesi / TAHA ERDOĞAN [44](#)
- Tiroid Oftalmopatisi Tanısı Alan Olguların 3BKRT-VMAT ve Tomoterapi Radyoterapi Yöntemleri Kullanılarak Elde Edilen Planların Dozimetrik Karşılaştırılması / ÖZLEM DİLDAN [42](#)
- Leksell Gamma Knife Radyocerrahisi Tedavi Planlamasında Kullanılan TMR10 ve Convolution Algoritmalarının Dozimetrik Olarak Karşılaştırılması / ECE TEK [44](#)
- Tüm Vücut Işınlamasında Kullanılan Helikal Tomoterapi, Volümetrik Ark Terapi ve Genişletilmiş SSD Tekniğinin Dozimetrik Olarak Karşılaştırılması Üzerine Çok Merkezli Bir Çalışma / SERAP ÇATLI DİNÇ [45](#)
- Tek İzomerkezli Çoklu Beyin Metastazı için VMAT ve HyperArc Tekniklerinin Dozimetrik Karşılaştırılması / ZEYNEP ÖZEN [46](#)
- Görüntü Kılavuzluğunda Radyoterapi Uygulanan Prostat Kanseri Hastalarda Inter-fraksiyonel Değişimlerin Dozimetrik Etkisinin Doz Takibi ile Değerlendirilmesi / GİZEM BAKICIERLER [47](#)
- Gafchromic EBT4 Film Kalibrasyonu: Tarama Yönü ve Pozisyonu Hala Önemli Mi? / YÜCEL AKDENİZ [49](#)
- Farklı Kolimasyon Yapısındaki Lineer Hızlandırıcı Cihazlarının Geniş Alan Sol Meme Yoğunluk Ayarlı Radyoterapisinde Karşılaştırılması / MELİH ULUER [51](#)
- Sol Meme Kanseri Hastaları için Derin İspirasyon Fazında Oluşturulan VMAT Tedavi Planlarının Serbest Solunumda Oluşturulan Helikal Tomoterapi Tedavi Planlarıyla Dozimetrik Karşılaştırılması / EVREN OZAN GÖKSEL [52](#)
- Türkiye’de Uygulanmakta Olan Kranyospinal Işınlama Tekniklerinin Dozimetrik Olarak Karşılaştırılması / ÖZNUR ŞENKESEN [53](#)
- Hyperion Optik Uyarımlı Kişisel Personel Dozimetre Cihazının Geliştirilmesi ve Üretilmesi / HASAN UYSAL [55](#)
- Jinekolojik Kanserlerin Radyoterapisinde Pelvik Organların Hacimsel Değişimlerinin Dozimetrik Etkilerinin Değerlendirilmesi / YILMAZ BİLEK [57](#)
- Metal Artefakt Azaltma Algoritmasının Radyoterapide Doz Hesaplama Doğruluğu Üzerine Etkisinin Araştırılması / OSMAN VEFA GÜL [59](#)
- Deat Tekniği İle Hazırlanan Srs/Srt Ve Akciğer Sbrt Planlarının Myqa Srs Ve Matrixx Fantomlarla Verifikasyonu ve Karşılaştırılması / ZEYNEL ŞENOL [60](#)
- Meme Kanseri Olguların Radyoterapi Doz Hesaplamasında Farklı Fantomlardan Elde Edilen Elektron Yoğunluğu Kalibrasyon Eğrilerinin Dozimetrik Etkisinin Karşılaştırılması / BURCU GÖKÇE [61](#)
- MRI-Linak Tabanlı IMRT, Akciğer SABR için Konvansiyonel VMAT Tedavi Planlarına Göre Düşük Doz Hacimlerini Azaltabilir mi? / YÜCEL SAĞLAM [63](#)
- Prostat Kanseri Stereotaktik Vücut Radyoterapisinde Gerçek Zamanlı Adaptif Radyoterapi Özelliğine Sahip Lineer Hızlandırıcıların Dozimetrik Olarak Karşılaştırılması / ANATOLİA SERKİZYAN [65](#)
- Radyonüklid Tedavi Lezyon Dozimetresinde Hacim Belirleme Parametrelerinin Optimizasyonu / EDA MUTLU [66](#)
- İntrensek Homojenite Değişikliğine Neden Olan Ring Kablo Sorunu ve Giderilmesi: Tüm Vücut Kemik Sintigrafisi Çalışmasında Gözlenen Değişken Homojenite Vakası / SERDAR SEDAT IŞIK [67](#)
- Hipertiroidi Tedavisinde Radyoiodot (I-131) Dozimetrisinin Etkinliği / GAMZE BERK [69](#)
- Tiroid Kanseri Radyoaktif İyot Tedavisi Sonrası Tüm Vücut Görüntülemesinde İdeal Çekim Zamanının Belirlenmesi Üzerine Bir Çalışma / SERDAR SEDAT IŞIK [70](#)
- Pediyatrik Bilgisayarlı Tomografi Taramalarında CNR, Gürültü ve IQFinv Ölçümlerinin Farklı Kesit Elde Etme Algoritmalarında Değerlendirilmesi / AHMET ÖZGÜR KASAPGİL [72](#)
- Bilgisayarlı Tomografi (BT)’de İteratif Kesit Elde Etme (Iterative Reconstruction, IR) Algoritmalarının TTF (Task Transfer Function) ve NPS (Noise Power Spectrum) Üzerindeki Etkisi / İSMAİL FINDIKLI [73](#)

Hastaya Özgü Kalite Güvencesi (PSQA) için Fantom Tasarımı, Üretimi ve Dozimetrik Stabilitésinin Değerlendirilmesi /

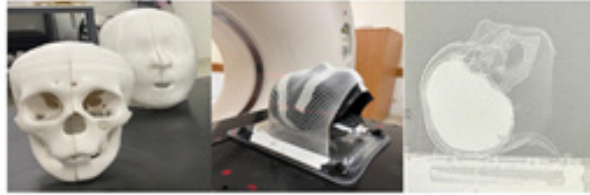
Taha ERDOĞAN¹

¹Afyonkarahisar Sağlık Bilimleri Üniversitesi Tıp Fakültesi Hastanesi
Taha ERDOĞAN / Afyonkarahisar Sağlık Bilimleri Üniversitesi Tıp Fakültesi Hastanesi

Amaç: Standart döküm teknikleriyle üretilen QA fantomlarının aksine, 3B yazıcı teknolojisi kullanılarak PSQA testlerinde hastaya özel kraniyal fantom (PSCP) tasarımı, üretimi ve klinik rutine uyarlanabilirliğinin araştırılması amaçlanmıştır.

Yöntem: Çalışma için, çoklu beyin metastazı (BM) endikasyonu olan hastaların Tıpta Dijital Görüntüleme ve İletişim (DICOM) dosyaları verileri kullanılmıştır. Nisan 2020 tarihinde Afyonkarahisar Sağlık Bilimleri Üniversitesi Tıp Fakültesi Radyasyon Onkolojisi bölümünde daha önce tedavi görmüş üç beyin metastazı (≤ 4 cm çapında) olan hasta bu çalışmaya dahil edilmiştir. Hastaya özgü kraniyal fantom tasarımı, tedavi planı için daha önce 1 mm dilim kalınlığında çekilmiş BT simülasyon verileri kullanılarak oluşturuldu. PSCP anatomik baskı için seçilen BM endikasyonuna sahip hastanın BT kullanılarak elde edilen DICOM görüntüleri analiz edildi ve DICOM verileri kullanılarak fantom modeli oluşturuldu. PSCP'nin yapısal bileşenleri RTV2 silikon malzemeden yapılan beyin dokusu ve nörokranium kemiğın yerleştirileceği gövde kabuğudur. Beyin, RTV2 silikon malzemenin hazırlanması ve nörokranium kemik kalıbına dökülmesiyle oluşturuldu (Şekil 1). Son olarak hastaya ait tedavi planları olan tek izomerkezli VMAT (M-VMAT) ve çok izomerkezli VMAT (Ç-VMAT) planları fantoma uygulanarak PSQA testlerindeki dozimetrik başarıları BeO ve MOSFET dozimetreler kullanılarak değerlendirildi. Tedavi planlarına reçete edilen dozların MOSFET dozimetrelerin ömürlerinin sınırlı olması nedeniyle %20'si reçete edilerek ölçümler tamamlanmıştır. PTV1 için 250cGy, PTV2 için 300 cGy ve PTV3 için 400cGy doz reçete edilmiştir.

Şekil 1. PSCP Tasarımı ve Klinik protokoller kullanılarak PSCP'nin BT görüntülemesi.



Şekil 1. PSCP Tasarımı ve Klinik protokoller kullanılarak PSCP'nin BT görüntülemesi.

Bulgu: PSCP'nin uygulanabilirliğine ait dozimetrik ölçüm sonuçlarımız Şekil 2'de verilmiştir.

Şekil 2. Beyin dokusu olarak silikon kullanılarak PSCP'in S-VMAT ve M-VMAT SRS ışınlanmasından sonra elde edilen BeO ve MOSFET dozimetri sonuçları.

Şekil 2. Beyin dokusu olarak silikon kullanılarak PSCP'in S-VMAT ve M-VMAT SRS ışınlanmasından sonra elde edilen BeO ve MOSFET dozimetri sonuçları.

PSCP (Beyin Dokusu: Silikon)	PTV 1 (RD: 250 cGy)	PTV 2 (RD: 300 cGy)	PTV 3 (RD: 400 cGy)
S-VMAT (TD)	269,35	313,15	415,05
BeO (Ortalama Doz \pm SS)	289,08 \pm 7,52	336,77 \pm 11,04	424,87 \pm 8,04
MOSFET (Ortalama Doz \pm SS)	283,97 \pm 1,02	326,22 \pm 3,12	418,77 \pm 2,86
M-VMAT (TD)	277,80	319,40	422,25
BeO (Ortalama Doz \pm SS)	287,49 \pm 4,55	330,14 \pm 6,62	444,24 \pm 7,34
MOSFET (Ortalama Doz \pm SS)	279,87 \pm 0,92	324,36 \pm 1,30	433,14 \pm 0,80

TD: Tedavi Planı Maksimum Doz, RD: Reçete Dozu

Sonuç: Hastaya ait beyin dokusu HU değeri $22,8 \pm 4,4$ RTV2 silikon HU değeri $33 \pm 6,4$ olarak elde edilmiştir. Kamomae ve arkadaşları, antropomorfik kafa fantomu ile 3B baskılı fantom arasındaki maksimum doz farklarının %3,9 olduğunu bildirmişlerdir. Çalışmamızda benzer sonuçlar elde edilmiştir ve Şekil 3 'de verilmiştir. Planlama verileriyle BeO dozimetri sonuçlarındaki en yüksek yüzde farkı %7,54 ve MOSFET dozimetri sonuçlarında ise %5,43 olarak elde edilmiştir. Ölçümlerimizde dikkat çeken bir nokta, her iki dozimetrik sistemde de minimum dozların S-VMAT planlarından, maksimum dozların ise M-VMAT planlarından elde edilmiş olmasıdır. Bu sonuçlar, radyoterapi QA'sinde yapay in vivo dozimetri için PSCP'nin uygulanabilirliğini göstermektedir.

Şekil 3. Beyin dokusu olarak silikon kullanılarak PSCP'den elde edilen tedavi planlama dozları ile BeO ve MOSFET dozimetri sonuçları arasındaki yüzde farkı.

Şekil 3. Beyin dokusu olarak silikon kullanılarak PSCP'den elde edilen tedavi planlama dozları ile BeO ve MOSFET dozimetri sonuçları arasındaki yüzde farkı.

PSCP 1 (Beyin Dokusu: Silikon)	PTV 1 (RD: 250 cGy)	PTV 2 (RD: 300 cGy)	PTV 3 (RD: 400 cGy)
S-VMAT			
BeO (Ortalama Doz)	7,33%	7,54 %	2,36%
MOSFET (Ortalama Doz)	5,43%	4,17%	0,90%
M-VMAT			
BeO Ort(Ortalama Doz)	3,48%	3,36%	5,21%
MOSFET (Ortalama Doz)	0,75%	1,55%	2,58%

TD: Tedavi Planı Maksimum Doz, RD: Reçete Dozu



SÖZLÜ BİLDİRİLER

Tiroid Oftalmopatisi Tanısı Alan Olguların 3BKRT-VMAT ve Tomoterapi Radyoterapi Yöntemleri Kullanılarak Elde Edilen Planların Dozimetrik Karşılaştırılması

Özlem Dildan¹, E. Serra Kamer¹, Nezahat Olacak¹, Sinan Hoca¹

¹Ege Üniversitesi Tıp Fakültesi, Radyasyon Onkolojisi Ana Bilim Dalı, İzmir

Özlem Dildan / Ege Üniversitesi Tıp Fakültesi, Radyasyon Onkolojisi Ana Bilim Dalı, İzmir

Amaç: Çalışmamızda Tiroid Oftalmopatisi tanılı ve tedavi yöntemi radyoterapi planlaması olarak belirlenmiş 10 hastanın Bilgisayarlı Tomografi görüntülerinden faydalanarak 3BKRT (Üç Boyutlu Konformal Radyoterapi), VMAT (Volumetrik Ayarlı Ark Terapi) ve HT (Helikal Tomoterapi) tedavi planlama tekniklerinin uygulanması sonucunda hedef hacim ve normal dokuların aldığı dozların dozimetrik olarak elde edilen verilerinin karşılaştırılması amaçlanmıştır.

Yöntem: Çalışmamıza 2012-2019 yılları arasında Ege Üniversitesi Tıp Fakültesi Radyasyon Onkolojisi Anabilim Dalı'nda Tiroid Oftalmopatisi tedavisi almış 10 hastanın, 10 fraksiyonda 20 Gy reçete dozu verilecek şekilde geriye yönelik planları yapılmıştır. Üç Boyutlu Konformal Radyoterapi planında lens dozlarını minimuma indirebilmek amacıyla 80°-90°lik ve 270°-280°lik karşılıklı lateral açılar belirlenmiştir. Volumetrik Ayarlı Ark Terapi yönteminde saat yönüne hareket eden gantri açısı seçilerek 210°'den başlayıp 150°'de sonlanan 300°lik kısmı iki ark kullanılmıştır. Helikal Tomoterapi planlamasında alan genişliği 2,5 cm, pitch faktörü 0,100 ve modülasyon faktörü 3.000 seçilerek tedaviler planlandı.

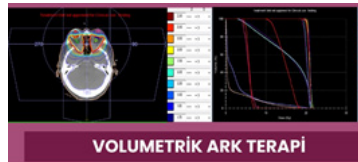
Bulgu: Çalışmalarımız Volumetrik Ayarlı Ark Terapi ve Helikal Tomoterapi tekniklerinin PTV'ye (planlanan hedef hacim) ait hem HI (homojenite indeksi) hem de CI (konformite indeksi) açısından Üç Boyutlu Konformal Radyoterapiye kıyasla istatistiksel olarak daha iyi sonuçlar verdiğini göstermiştir (HI: p=0,005-p=0,011; CI: p=0,007-p=0,004). İstatistiksel olarak en başarısız MU (monitör unit) değeri Helikal Tomoterapide görülmüştür. Burada en iyi değerleri Üç Boyutlu Konformal Radyoterapi tekniği vermiştir (p=0,000-p=0,000-p=0,000). Planlamamızda riskli organlar olan sağ ve sol gözyaşı bezlerinde Volumetrik Ayarlı Ark Terapi tekniğinin Helikal Tomoterapi tekniğine göre istatistiksel olarak anlamlı olarak daha iyi bir koruma sağladığı (sağ: p=0,042; sol: p=0,023) görülmüştür. Sağ gözde üç teknik arasında istatistiksel olarak anlamlı bir farklılık bulunmazken, sol gözde Volumetrik Ayarlı Ark Terapi tekniği, Üç Boyutlu Konformal Radyoterapi tekniğine nazaran istatistiksel olarak daha iyi bir koruma sağlamıştır (p=0,003).

Sağ ve sol lensler ile kiazmaya dair maksimum dozlarda Üç teknik arasında sonuç istatistiksel olarak anlamlı ve Helikal Tomoterapi lehinedir (sağ lens: p=0,025-p=0,000; sol lens: p=0,005-p=0,000; kiazma: p=0,007-p=0,001). Sağ ve sol optik sinirler ile sağ ve sol retina maksimum dozlar açısından değerlendirildiğinde Volumetrik Ayarlı Ark Terapi ve Helikal Tomoterapi tekniklerinin Üç Boyutlu Konformal Radyoterapiye göre daha düşük dozlarla koruma sağlamasına rağmen istatistiksel açıdan anlamlı fark bulunmadığı görülmüştür (sağ retina: p=0,036-p=0,003; sol retina: p=0,014-p=0,003).

3BKRT DVH

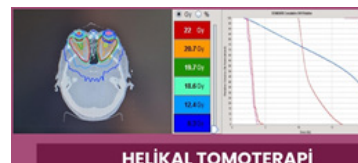


VMAT DVH



VOLUMETRİK ARK TERAPİ

Helikal Tomoterapi DVH



HELİKAL TOMOTERAPİ

İzodozların Karşılaştırılması





19. ULUSAL MEDİKAL FİZİK KONGRESİ

02-05 KASIM 2023



SÖZLÜ BİLDİRİLER

Sonuç: Bu çalışmadaki hedefimiz Tiroid Oftalmopatisi tedavisinde üzerine az çalışma yapılmış olan Helikal Tomoterapi planlama tekniğinin etkinliğini diğer planlama tekniği olan Üç Boyutlu Konformal Radyoterapi ve Volumetrik Ayarlı Ark Terapi açısından karşılaştırarak literatürde yer almasını sağlamaktır. PTV'nin (planlanan hedef hacim), konformite indeksi ve homojenite indeksi değerlendirildiğinde Volumetrik Ayarlı Ark Terapi ile birlikte Helikal Tomoterapi tekniğinin Üç Boyutlu Konformal Radyoterapiye göre hedef hacmi daha iyi sardığı belirlenmiştir. Helikal Tomoterapinin monitör unit değeri diğer tekniklere göre yüksek olmasına rağmen kritik organlar olan lensler ve optik kiazmada daha iyi sonuçlar verdiği net bir şekilde görülmüştür. Volumetrik Ayarlı Ark Terapi tekniği ise göz yaşı bezlerinde Helikal Tomoterapiye göre daha düşük sonuçlar vermiştir. Diğer riskli organlar olan gözler, optik sinirler ve retinalarda da Helikal Tomoterapi ve Volumetrik Ayarlı Ark Terapi tekniklerinin Üç Boyutlu Konformal Radyoterapiye nazaran daha iyi sonuçlar verdiği çalışmada gözlenmiştir.

Anahtar Kelimeler: Tiroid Oftalmopatisi, Radyoterapi, Helikal Tomoterapi



SÖZLÜ BİLDİRİLER

Leksell Gamma Knife Radyocerrahisi Tedavi Planlamasında Kullanılan TMR10 ve Convolution Algoritmalarının Dozimetrik Olarak Karşılaştırılması

Ece Tek¹, Osman Artunç Türe¹, Evren Ozan Göksel²

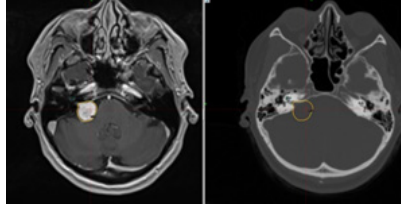
¹Acibadem Altunizade Hastanesi, Radyasyon Onkolojisi

²Acibadem MAA Üniversitesi SHMYO Radyoterapi Programı

Ece Tek / Acibadem Altunizade Hastanesi, Radyasyon Onkolojisi

Amaç: Radyocerrahi, intrakraniyal patolojilerin tedavisinde hassas ve etkili bir yöntem olarak kabul edilir. Bu tedavi yöntemi, hedef bölgeye yüksek dozda radyasyon verirken, çevresel sağlıklı dokulara minimal doz ulaşmasını hedefler. Dozimetrik hesaplamalar, gamma knife radyocerrahisinin (GKR) başarısını etkileyen temel faktörlerden biridir. Leksell Gamma Knife tedavi planlama sistemi Leksell Gamma Plan (LGP versiyon 10 ve üzeri) kullanıcıya iki farklı hesaplama algoritması sunar: TMR10 ve Convolution. TMR10 algoritması, tedavi planlaması sırasında hızlı izodoz hesaplamasını mümkün kılmak için ortamı su eşdeğeri kabul edip heterojenite farklılıklarını gözardı eder. Convolution algoritması ise dozu birim kütle başına primer fotonların bıraktığı enerji miktarını (TERMA) kerneller ile tanımlayarak hesaplar. Ortamdaki doku farklılıklarını hesaba katmak için TERMA ve kernel'ler BT'den elde edilen Hounsfield unit değerlerini kullanarak farklı materyal yoğunluklarına göre derecelendirilir. Bu çalışmanın amacı iki algoritmanın dozimetrik farklılıklarını araştırmaktır.

Yöntem: Bu çalışma için hava, kemik ve yumuşak dokunun birlikte bulunduğu heterojen bir ortamda görülen vestibuler schwannom tanılı 52 hasta seçildi (Şekil 1). Hastalara rutin MR görüntülemesinin yanında BT de çekildi. BT kalibrasyon eğrisi elde etmek için The Catphan® 503 ile BT'de çekim yapıp kalibrasyon eğrisi LGP'ye girildi. TMR10 algoritması ile yapılan tedavi planları BT görüntüleri yardımıyla Convolution algoritması ile yeniden hesaplandı. Coverage, selectivity, gradient index, beam on time, koklea maksimum dozu ve koklea ortalama dozları için her iki algoritma arasındaki farklar değerlendirildi.



Bulgu: GKR için kullanılan tedavi dozları, TMR10 gibi heterojeniteyi hesaba katmayan algoritmalar kullanılarak yıllardır yapılan tedavilerin zaman içerisinde optimize edilip günümüze kadar gelmesiyle elde edilmiştir. Bu dozların zaman içinde, en düşük morbidite ile maksimum klinik etkinliği sağladığı yapılan klinik çalışmalar ile kanıtlanmıştır. Dolayısıyla yoğunluk farkını hesaba katan bir algoritma fiziksel olarak gerçeğe daha yakın bir sonuç veriyor olsa da, bunu klinik uygulamaya almak için tedavi dozlarının klinik sonuçlara göre yeniden ayarlanması gerekliliği doğabileceğinden bu algoritmalar henüz klinik olarak kullanılmamaktadır.

Sonuç: Convolution algoritması kullanılarak hesaplanan GKR tedavi planlarının, Beam on time'de TMR10 ile hesaplanan planlardan ortalama %6,03 (3,25-11,44) daha uzun olduğu saptanmıştır. TMR 10 algoritmasıyla hesaplanan koklea'nın maksimum ve ortalama dozlarının Convolution algoritmasıyla hesaplatıldığında sırasıyla %10,50 (4,88-21,54) ve %9,92(0,0-20,0) daha düşük olduğu gözlemlenmiştir. Bu fark, koklea'nın bulunduğu temporal kemiğin yüksek yoğunluğu ve TMR 10'un bu yoğunluk farkını hesaba katmamasından ötürü görülmektedir. Yine yoğunluk farkı nedeniyle coverage, selectivity ve gradient index için de 2 algoritma arasında fark vardır ancak bu farkın klinik olarak anlamlı olmadığı düşünülmüştür.

	TMR10		Convolution		%Fark
	Ortalama (min-max)	Ortalama (min-max)	Ortalama (min-max)	Ortalama (min-max)	
Coverage	0,99 (0,95-1,00)	0,98 (0,93-1,00)	%1,91 (0,0-3,35)		
Selectivity	0,78 (0,48-0,96)	0,80 (0,51-0,97)	%2,89 (2,6-9,17)		
Gradient Index	2,77 (2,40-3,72)	2,75 (2,38-3,69)	%0,94 (0,91-3,58)		
Beam on Time(dk)	84,98 (25,70-127,9)	90,27 (27,8-133,2)	%6,03 (3,25-11,44)		
Koklea Max(Gy)	3,66 (2,70-4,0)	3,30 (2,40-3,80)	%10,50 (4,88-21,54)		
Koklea Ortalama(Gy)	1,87 (0,90-2,80)	1,70 (0,80-2,60)	%9,92 (0,0-20,0)		



Tüm Vücut Işınlamasında Kullanılan Helikal Tomoterapi, Volümetrik Ark Terapi Ve Genişletilmiş Ssd Tekniğinin Dozimetrik Olarak Karşılaştırılması Üzerine Çok Merkezli Bir Çalışma

SERAP ÇATLI DİNÇ¹, NADİR KÜÇÜK², ÖZNUR ŞENKESEN³, HANDE BAŞ AYATA⁴

¹Gazi Üniversitesi Tıp Fakültesi, Radyasyon Onkolojisi Anabilim Dalı

²Anadolu Sağlık Merkezi, Radyasyon Onkolojisi Anabilim Dalı

³Acıbadem Mehmet Ali Aydınlar Üniversitesi, Radyasyon Onkolojisi Anabilim Dalı

⁴Medikal Park Hastanesi, Radyasyon Onkolojisi Anabilim Dalı

SERAP ÇATLI DİNÇ / Gazi Üniversitesi Tıp Fakültesi, Radyasyon Onkolojisi Anabilim Dalı

Amaç: Günümüzde gelişen teknolojik altyapı ve yeni linaklarla birlikte tüm vücut radyoterapi (TBI) planlamasında uygulanabilecek genişletilmiş SSD (kaynak cilt mesafesi), HT (helikal tomoterapi) ve VMAT tabanlı gibi çeşitli yöntemler kullanılmaya başlanmıştır. Bu çalışmada, daha yüksek plan kalitesi elde etmek ve TBI planlarını merkezler arası uyumlaştırmak için genişletilmiş SSD tekniği, VMAT tabanlı ve Helikal tomoterapi planlarının doz hacim histogramlarının (DVH) çoklu kurumsal bağlamda dozimetrik olarak değerlendirilmesi amaçlandı.

Yöntem: Çalışmaya dört farklı merkez katılmıştır. Çalışmada, TBI sonrası allojenik kök hücre nakli yapılan AML veya ALL'li 10 hastanın (5 erkek, 5 kadın) BT görüntüleri kullanıldı. Çalışmanın ilk aşamasında, BT görüntüleri gönderilen 10 hastanın planları birden fazla merkez tarafından ortak bir protokole göre planlandı. Reçetelendirilen tedavi dozu 6 fraksiyonda 12 Gy idi. Çalışmanın ikinci aşamasında tüm merkezler yaptıkları planlarının DVH'lerini paylaştı. Tedavi planları kritik organ dozu limitlerine göre değerlendirildi. SPSS (versiyon 22.0) programı kullanılarak istatistiksel analizleri yapıldı ($p<0.001$).

Bulgu: 4 merkezden gelen 40 TBI planı değerlendirildi. Çalışma, dört teknik arasında PTV'nin dozu kapsamı açısından istatistiksel olarak anlamlı bir fark olduğunu göstermiştir ($p<0.001$). Dört merkezin ortalama akciğer dozları 10 Gy'nin altında idi. Planlar arasında maksimum karaciğer dozları açısından anlamlı bir fark bulunamadı. Lenslere ilişkin sonuçlar, planlar arasında istatistiksel olarak anlamlı ve dikkate değer bir fark olduğunu gösterdi. İstatistiksel analiz, radyoterapide dört teknikten kaynaklanan böbrekler için de doz farklılıklarının önemini göstermektedir. Ayrıca, çalışma dört teknik arasında tedavi süresi ve MU açısından istatistiksel olarak anlamlı ve dikkate değer bir fark olduğunu gösterdi ($p<0.001$).

Sonuç: Sonuç olarak, TBI tedavisi için dört tedavi tekniğinin de uygun olduğu görülmesine rağmen, Helikal tomoterapi ile daha homojen doz dağılımı ve daha düşük kritik organ dozları elde edilmiştir. Ancak akciğer için doz hızının yüksek olması, MU değerinin fazla olması tekniğin dezavantajlarıydı. TBI tedavi yöntemine karar verirken bazı önemli noktaların gözden geçirilmesi gerekmektedir. Kabul edilebilir bir tedavi ve planlama süresi, tedavinin tekrarlanabilirliği, doz hızı, hem hasta hem de ekibin rahat olması diğer önemli noktalardır. TBI gelişmeye devam eden ve hematopoietik kök hücre nakli için hazırlık rejiminin bir parçası olarak köklü bir role sahip, ancak ideal teknik ve optimal dozlar konusunda fikir birliğine varılmayan bir tedavi tekniğidir. TBI tekniklerinin merkezler arasında standardize edilebilmesi için uzun dönem sonuçlarına ilişkin yeterli veriye ihtiyaç vardır.

Anahtar Kelimeler: Helikal tomoterapi, VMAT, X-SSD



**Tek İzomerkezli Çoklu Beyin Metastazı için VMAT ve HyperArc Tekniklerinin
Dozimetrik Karşılaştırılması**

Zeynep Özen¹, Burçin İspir², Öznur Şenkesen³, İrem Aydın², Sedenay Oskeroğlu Kaplan²,
Evrin Tezcanlı¹, Ufuk Abacıoğlu³

¹Acıbadem Altunizade Hastanesi

²Acıbadem Ataşehir Hastanesi

³Acıbadem Mehmet Ali Aydınlar Üniversitesi

Zeynep Özen / Acıbadem Altunizade Hastanesi

Amaç: Bu çalışmanın amacı, çoklu beyin metastazı olan hastalarda tek izomerkezli volümetrik ark ve HyperArc tedavi planlama tekniklerinin dozimetrik olarak karşılaştırılmasıdır.

Yöntem: Çalışmaya kliniğimizde tedavi edilen çoklu beyin metastazı olan (ortalama metastaz sayısı 15, en az 10-en çok 23) 10 hasta dahil edildi. Volümetrik ark tedavi (VMAT) planları tek izomerkezli non-coplanar alanlar kullanılarak oluşturuldu. Tedavi planlamasında kullanılan 1 mm kesit kalınlığına sahip bilgisayarlı tomografi (BT) görüntüleri, rijit çakıştırma kullanılarak 1 veya daha fazla manyetik rezonans (MR) görüntü setine kaydedildi. Her hedef, Eclipse planlama sistemindeki konturlama çalışma alanında yüksek çözünürlük kullanılarak radyasyon onkoloğu tarafından tanımlandı. Gros tümör hacmi (GTV) 10 mm'den büyük lezyonlar için planlama hedef hacmine (PTV) eşit kabul edilirken, 10 mm'den küçük lezyonlar için PTV oluşturmak için GTV'ye 1 mm marj verildi. Reçetelendirilen doz, 3-5 fraksiyonda hedef yapıların %98'lik bir hacmi için 20-30 Gy tanımlandı. Hyper Arc (HA) tedavi planları, TrueBeam Stx ile HyperArcTM sistemi kullanılarak her hasta için retrospektif olarak oluşturuldu. HA plan optimizasyonundan önce, hasta BT görüntülerine sanal Encompass (QFix, Avondale, PA, ABD) immobilizasyon sistemi eklendi. VMAT planları önceki platformda Eclipse sürüm 13.6 kullanılarak yapıldı. HA tekniğinde optimizasyon sürecine hiçbir aşamada manuel olarak müdahale edilmedi. İzomerkezi otomatik olarak hedef yapıların merkezine konumlandırılan HA planları Eclipse versiyon 16.1 kullanılarak oluşturuldu. Her iki tekniğe ait dozimetrik parametreler, hedef hacim konformite indeksi [CI]; gradyan indeksi [GI] ve risk altındaki organların (RAO) korunması açısından karşılaştırıldı.

Bulgu: Çalışmada VMAT ve HA planlarının PTV ve GTV doz kapsama açısından istatistiksel olarak karşılaştırıldığında CI (p=0.721) ve GI (p=0.241) değerleri arasında anlamlı fark bulunmamıştır. HA tekniğinde 10 Gy alan sağlıklı beyin hacmi VMAT tekniğine kıyasla %36 oranında düşük bulunmuştur. Beyin (p=0.037), beyin sapı (p=0,009) ve kiazmanın (p=0.013) maksimum doz değerleri arasında HA tekniği lehine anlamlı bir fark bulunmuştur. Ayrıca, HA planları VMAT planlarına göre %65 (p=0,007) daha az monitör ünit (MU) ile sonuçlanmıştır.

Sonuç: Bu çalışmada, 10 ve daha fazla beyin metastazı olan hastalarda HA tekniğinin kullanılması, sağlıklı beyin dokusu ve RAO dozlarının düştüğünü göstermiştir. Buna ek olarak tedavi süresi anlamlı oranda azalmıştır. HA tekniği yazılımı sayesinde tecrübe ve zaman gerektirmeden VMAT tekniğinden daha üstün planlar oluşturabilmektedir. Çoklu beyin metastazlarının optimizasyon aşaması ve ışınlanmasında HA tekniğinin kullanılması tercih edilebilir.



Görüntü Kılavuzluğunda Radyoterapi Uygulanan Prostat Kanseri Hastalarda Inter-fraksiyonel Değişimlerin Dozimetrik Etkisinin Doz Takibi ile Değerlendirilmesi

Gizem Bakıcıerler¹, Ömür Karakoyun Çelik¹, Ufuk Beyaztaş², Merve Erduğan¹, Bora Sındır¹, Kadir Akgüngör³

¹Celal Bayar Üniversitesi, Tıp Fakültesi, Radyasyon Onkolojisi AD

²Marmara Üniversitesi, Fen Fakültesi, İstatistik Bölümü

³Dokuz Eylül Üniversitesi, Fen Fakültesi, Fizik Bölümü

Gizem Bakıcıerler / Celal Bayar Üniversitesi, Tıp Fakültesi, Radyasyon Onkolojisi AD

Amaç: Prostat kanserli hastalarda hacimsel ayarlı ark terapi (VMAT) tekniği, yüksek konformal doz dağılımına izin verdiği için yaygın olarak kullanılmaktadır. Bu modern radyoterapi tekniğinin, planlandığı şekilde her bir tedavi fraksiyonunda uygulanmasında görüntü kılavuzluğunda radyoterapi (IGRT) güvenilir bir araç olarak kabul edilmektedir. Buna rağmen, hedef hacimlerin ve/veya risk altındaki organların hareketi ve geometrik farklılıklar önemli dozimetrik değişikliklere neden olabilir. Bu çalışmada amaç; prostat kanseri tanısı ile radyoterapi uyguladığımız hastalarda inter-fraksiyonel değişimleri içeren kümülatif dozların günlük cone-beam CT (CBCT) görüntüleri üzerinden yeniden hesaplanması ve planlanan dozlar ile karşılaştırılmasıdır.

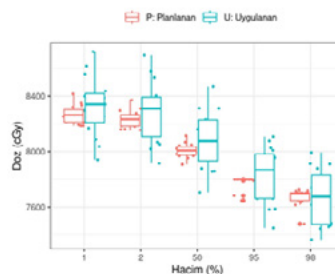
Yöntem: Bu çalışmaya sadece prostata yönelik radyoterapi alan düşük ve orta risk prostat kanseri tanılı 15 hasta dahil edilmiştir. Tedavi planları, VMAT tekniği ile Monte Carlo algoritması kullanılarak RayStation 11B (RaySearch Laboratories AB Stockholm, Sweden) tedavi planlama sisteminde optimize edilmiş ve hesaplanmıştır. IGRT uygulamak için her tedavi öncesinde günlük olarak alınan toplam 585 CBCT görüntüsü (pre-treatment CBCT-pCBCT), tedavi planlama sistemine aktarılmıştır. Düzeltilmiş bir CBCT (corrected-cCBCT) oluşturmak için CT planlaması ile pCBCT arasında deforme edilen görüntü eşleştirmesi (Deformable Image Registration) yapılmıştır. Planlanan hedef hacim (PTV), mesane ve rektum gibi riskli organ konturları deforme bir şekilde cCBCT'ye kopyalanmış ve radyasyon onkologları tarafından değerlendirilmiştir. Her bir fraksiyon için günlük olarak uygulanan dozlar, cCBCT görüntülerine göre deforme edilerek yeniden hesaplanmıştır. Daha sonra tüm fraksiyonlar birleştirilerek kümülatif dozlar oluşturulmuştur. PTV, mesane ve rektum için doz-hacim histogramı (DVH) kesme noktaları kullanılarak, planlanan ve uygulanan kümülatif dozlar karşılaştırılmıştır.

Bulgu: PTV'ye ait D98, D95, D50, D2, D1, mesaneye ait Dort, D2, V80, V75, V70, V65 ve rektuma ait Dort, D2, V75, V70, V65, V60, V50 planlanan ve uygulanan kümülatif doz-hacim parametrelerinin ortalama değerleri Tablo 1'de verilmiştir. Ayrıca, PTV için planlanan ve uygulanan doz-hacim ilişkisi kutu grafiği ile Şekil 1'de gösterilmiştir. Hedef hacim ve riskli organlara ait bu parametrelere normal dağılıma uygunluk varsayımını sağlayıp sağlamama durumlarına göre Eşleştirilmiş t-testi veya Wilcoxon işaret testi uygulanmıştır. PTV ve mesanede planlanan ve kümülatif parametreler arasında istatistiksel olarak anlamlı bir fark bulunamamıştır. Rektuma ait Dort ve V50 için gerçekleştirilen karşılaştırma testlerinde p-değeri < 0.05 olarak elde edilmiş, dolayısı ile Dort ve V50 için planlanan ve uygulanan dozlar arasında istatistiksel olarak anlamlı bir fark olduğu sonucuna ulaşılmıştır. Rektumdaki doz farklarının 39 gün boyunca takip edilen hastalardaki hacim değişimlerine göre ilişkisi fonksiyonel lineer regresyon analizi ile incelenmiştir. Elde edilen bulgular, hastalardaki doz farklılıklarının ilk 20 gün boyunca artış eğiliminde olduğunu, sonrasında 5 gün boyunca azalış eğiliminde olduğunu ve daha sonrasında doz farklılıklarının sabitlendiğini göstermiştir.

Tablo 1: Hedef hacim ve riskli organlara ait doz-hacim parametreleri.

Parametre	Planlanan	Uygulanan	P
PTV			
D ₉₈ (cGy)	7679	7679	0.994
D ₉₅ (cGy)	7762	7615	0.531
D ₅₀ (cGy)	4888	4888	0.977
D ₂ (cGy)	4231	4231	0.528
D ₁ (cGy)	4204	4207	0.289
Mesane			
D _{ort} (cGy)	2406	2403	0.236
D ₂ (cGy)	4602	4602	0.977
V ₈₀ (%)	417	448	0.248
V ₇₅ (%)	548	534	0.639*
V ₇₀ (%)	1679	1676	0.640
V ₆₅ (%)	1236	1244	0.646
Rektum			
D _{ort} (cGy)	2776	2623	0.012
D ₂ (cGy)	4611	4611	0.998
V ₇₅ (%)	431	446	0.117
V ₇₀ (%)	1636	1636	0.946
V ₆₅ (%)	1237	1237	0.996
V ₆₀ (%)	1030	1167	0.046
V ₅₀ (%)	2632	2145	0.003

Şekil 1: Hedef hacim için planlanan ve uygulanan dozun hacim ilişkisi kutu grafiği.





19. ULUSAL MEDİKAL FİZİK KONGRESİ

02-05 KASIM 2023

SÖZLÜ BİLDİRİLER



Sonuç: Bu çalışma kliniğimizde tedavi edilen prostat kanserli hastalarda planlanan ve uygulanan dozun, hedef ve riskli organ dozları açısından doğrulamasının başarılı bir iş akışı ile yapıldığını göstermiştir. CBCT'ye günlük olarak aktarılan doz, online ve offline değerlendirmeye yardımcı olmak için klinik olarak kullanılabilir. Genitoüriner toksisiteyi önlemek için organ hazırlama protokollerine önem verilmeli, yüksek doz gradyentine yakın mesane ve rektum gibi organlar için kümülatif doz dikkatli bir şekilde analiz edilmelidir.

Anahtar Kelimeler: Cone-beam CT, Doz Takibi, Prostat Kanseri



SÖZLÜ BİLDİRİLER

Gafchromic EBT4 Film Kalibrasyonu: Tarama Yönü ve Pozisyonu Hala Önemli Mi?

Yücel Akdeniz¹

¹Acıbadem Adana Hastanesi

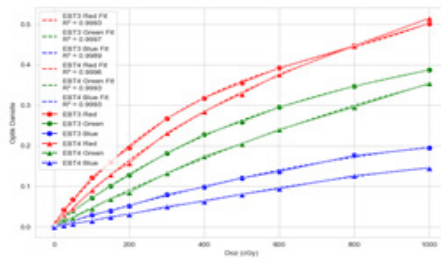
Yücel Akdeniz / Acıbadem Adana Hastanesi

Amaç: Bu çalışmanın amacı, yeni nesil Gafchromic EBT4 filmlerin tarama yönü ve pozisyonunun doz yanıtı üzerine etkisini incelemek ve bu etkiyi EBT3 filmlerle karşılaştırmaktır.

Yöntem: EBT3 ve EBT4 filmler 2×2 inçlik parçalara bölündü ve her film parçası yönleri izlemek için işaretlendi. Toplamda 11 farklı doz seviyesinde (25, 50, 100, 150, 200, 300, 400, 500, 600, 800 ve 1000 cGy) ışınlamak için EBT3 ve EBT4 film parçaları kullanıldı. Bir film çifti background radyasyonu kaydetmek için ışınlanmadı. Kalibrasyon ışınlamaları su eşdeğeri bir fantom (PTW-RW3) içerisinde, merkezi ekseninde, 10 cm derinlikte Varian TrueBeam STx lineer hızlandırıcı ile üretilen 6 MV ışınla gerçekleştirildi. EBT3 ve EBT4 filmlerinin dikey ve yatay yönelimlerde taranarak tarama yöneliminin etkisi incelendi. Kalibrasyon filmleri, ışınlamadan 24 saat sonra Epson 10000 XL tarayıcı ile tarandı. Görüntüleri taramadan önce tarayıcı 30 dakika boyunca açık tutuldu ve 10 kez boş ısıtma taraması yapıldı. Görüntüler, 72 dpi tarama çözünürlüğünde, 48-bit kırmızı-yeşil-mavi (RGB) TIFF dosya formatında kaydedildi. Tüm film parçaları tarayıcı yatağında merkezi konumda tarandı. Her bir film parçasının optik dansitesi (OD), doz-cevap eğrisi oluşturmak için 50 × 50 piksel boyutundaki bir ilgi alanındaki ortalama piksel değerleri ImageJ programı kullanılarak ölçüldü. Python programlama dilinde scipy ve sklearn kütüphaneleri kullanarak piksel değerleri OD değerlerine çevrildi ve kalibrasyon eğrileri oluşturuldu. Lateral Cevap Artefakt (LCA) etkisini incelemek için 10×10 cm² alanda 6 MV foton enerjisi ve 200 cGy ile ışınlanmış EBT3 ve EBT4 filmler, alan kenarı tarayıcının merkezinden 4,5 cm lateral mesafeden başlayacak şekilde tarandı.

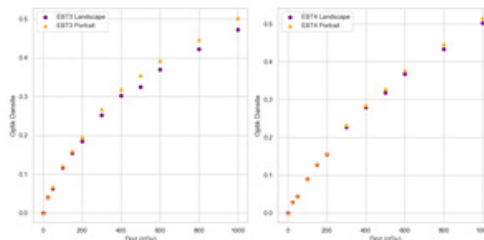
Bulgular: Şekil 1, dikey yönelimde 0-1000 cGy doz aralığı için üç renk kanalında doz-yanıt eğrilerini göstermektedir. EBT4 filmde de EBT3'de olduğu gibi kırmızı kanalın en hassas olduğu grafikten görülmektedir. Mavi kanalda, OD değerlerinde EBT4 filmlerde EBT3 filmlere göre 0-1000 cGy dozları arasında düşük hassasiyet gözlemlendi. Şekil 2, EBT3 ve EBT4 filmleri için kırmızı kanalda dikey ve yatay yönelimlerinde doz-yanıt eğrilerini göstermektedir. Dikey yönelimdeki OD her zaman yatay yöneliminden daha yüksekti. EBT3 ve EBT4 filmleri için farklı tarama yönelimlerinde ortalama OD farkları, EBT3 için %5,67±1,50 EBT4 için %2,30±0,80 olarak gözlemlendi. Şekil 3, EBT3 ve EBT4 filmlerin, 10×10 cm² açık alanla ışınlanan filmlerin tarayıcı yatağının lateralinde tarandığında ölçülen cross-plane doz profillerini göstermektedir. Off-center pozisyonlarda EBT3 ve EBT4 filmlerinin ölçüm dozları, TPS hesaplamalarına göre farklılık gösterdi. Tarayıcı merkezinden 8 ila 14 cm mesafedeki doz değerleri TPS hesaplamalarından LCA nedeniyle EBT3 için ortalama %6,40±1,52 ve EBT4 için %5,12±0,92 fark göstermiştir.

Şekil1 - EBT3 ve EBT4 filmlerin kalibrasyon eğrileri



Şekil1 EBT3 ve EBT4 filmlerin kırmızı, yeşil ve mavi kanalda kalibrasyon eğrilerini göstermektedir. Yuvarlak noktalar EBT3, üçgen noktalar EBT4'e ait veri noktalarıdır.

Şekil2 - Tarama yönünün kalibrasyona etkisi

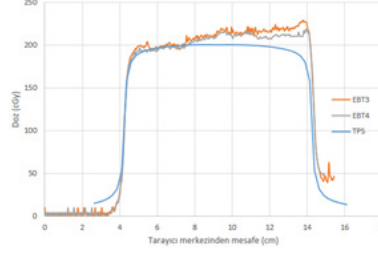




SÖZLÜ BİLDİRİLER

Şekil2 EBT3 ve EBT4 filmlerin kalibrasyonunda tarama yönünün kalibrasyon eğrisine olan etkisini göstermektedir. Soldaki grafikte EBT3 filmi için yuvarlak noktalar yatay tarama ile elde edilen OD verileri üçgen noktalar ise dikey tarama ile elde edilen OD verileridir. Sağdaki grafik ise EBT4 filmi için oluşturulmuştur.

Şekil3 - EBT3 ve EBT4 filmlerde Lateral Cevap Artifactsı etkisi



Şekil3 EBT3 ve EBT4 filmlerde Lateral Cevap Artifactsı (LCA) etkisini göstermektedir. Tarayıcı merkezinden lateral olarak uzaklaştırılmış taramada LCA etkisi tarayıcı kenarlarına yaklaştıkça artmaktadır. Mavi çizgi TPS verisi, turuncu çizgi EBT3 film ile elde edilen ve gri çizgi EBT4 ile elde edilen cross-plane profil verileridir.

Sonuç: Bu çalışmada EBT3 ve EBT4 filmlerinin doz-cevap, tarama yönelimi ve LCA üzerindeki etkilerini incelendi. Bulgular, EBT4 filminin mavi kanalındaki doz-yanıtın daha az hassas olduğunu ve EBT4 filmde tarama yönü ve LCA etkilerinin EBT3 filmlere göre azaldığını göstermektedir. Ancak, hala tarama yönü ve LCA, çalışmadaki doz aralıklarında ölçüm doğruluğunu etkileyen önemli faktörlerdir ve doğru ölçümler için gerekli uygulamalar ve düzeltmeler yapılmalıdır.

Anahtar Kelimeler: Radyokromik Film Dozimetre, EBT4, Gafchromic Film



Farklı Kolimasyon Yapısındaki Lineer Hızlandırıcı Cihazlarının Geniş Alan Sol Meme Yoğunluk Ayarlı Radyoterapisinde Karşılaştırılması

Melih Uluer¹, Gökhan Aydın¹, Görkem Güngör¹, Bülent Yapıcı¹, Banu Atalar¹, Enis Özyar¹, Nuran Beşe¹

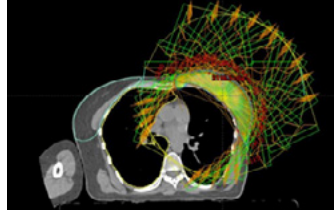
¹Acıbadem Maslak Hastanesi, Radyasyon Onkolojisi Bölümü, İstanbul

Melih Uluer / Acıbadem Maslak Hastanesi, Radyasyon Onkolojisi Bölümü, İstanbul

Amaç: Radyoterapi cihazları kolimasyon ve geometrik özelliklerine göre çeşitlilik gösterir. Bunun neticesinde planlama ve tedavi uygulama şekillerinde farklılık oluşmaktadır. Bu çalışmada geniş alan sol meme kanserli hastalarda klasik ve ring tipi cihazlar için yoğunluk ayarlı radyoterapi (IMRT) tedavi planlamaları dozimetrik parametreler ve tedavi uygulama pratikliği açısından karşılaştırılmıştır.

Yöntem: Çalışmada Varian marka TrueBeam ve Ethos model cihazlar yer almaktadır. Planlamalar Eclipse TPS’te oluşturulmuştur. Çalışmada tedavisi tamamlanmış 12 hasta verisi kullanılmıştır. Hastalar 2mm kesitli ve derin nefes tutmalı olarak simüle edilmiştir. CT çekiminde Varian RGSC solunum yönetim sistemi kullanılmıştır. Planlama için klasik tanjansiyel geometri içerisine 17 alan yerleştirilerek IMRT planları oluşturulmuştur. Hacimsel yoğunluk ayarlı ark tekniği düşük doz hacmi açısından dezavantajlıdır. Planlar Ethos cihazında 6FFF enerji için, TrueBeam cihazında ise 6X ve 6FFF modalitelerinde hazırlanmıştır. Planlarda reçete edilen doz 2Gy/fr için toplam 50Gy şeklindedir. Hedefler için CTV, SCF, axilla ve MI kontrolü yapılmıştır. Planlarda hedef doz sarımı için tüm hedefler toplanarak tek bir hedef (OPT) oluşturulmuş ve %95’lik hacmin %95’lik reçete dozu alması sağlanmıştır. Kritik organlar tüm akciğer, ipsilateral akciğer, kontralateral akciğer, kalp, LAD ve karşı meme şeklindedir. Doz hesabında AcurosXB ve optimizasyonda PO algoritmaları kullanılmıştır. Planların kalite kontrolleri ArcCheck fantomda yapılmıştır. Klinik karşılaştırma parametreleri toplam akciğer için 20Gy ve 5Gy’lik doz alan hacimlerin yüzdesi (%), 20Gy doz alan ipsilateral akciğer hacmi yüzdesi(%), kontralateral akciğerin ortalama dozu (cGy), kalp, LAD ve karşı meme ortalama dozları (cGy), hedefteki maksimum doz değeri (cGy) şeklindedir. Ek olarak toplam MU verileri ve planların cihazda ışınlama süreleri (dk) değerlendirilmiştir.

Klasik Tanjansiyel 17 Alan Geometrisi



Bulgu: Karşılaştırmalarda SPSS Wilcoxon testi uygulanmıştır. TrueBeam’de hedef maksimum dozu ve MU parametresinde 6X, FFF’ten düşüktür. FFF’in ışınlama süresi doz hızı avantajı ile daha kısadır. TrueBeam 6x ve FFF için klinik parametrelerin sonuçları benzerdir. FFF Modalitelerinde V5 toplam akciğer ve ortalama karşı akciğer dozları dışındaki tüm parametrelerde Ethos, TrueBeam’den düşüktür. Benzer şekilde Ethos kalp, LAD, karşı meme ortalama dozu ve ışınlama süresinde TrueBeam 6X’den düşüktür ve farklar istatistiksel olarak anlamlıdır.

Toplam akciğer, ipsilateral ve kontralateral akciğerler açısından elde edilen bulgular

Kalp, LAD ve karşı meme ortalama dozları karşılaştırması

Parametre	TR 6X	TR 6X	Ethos 6FFF	TR 6X	TR 6X	Ethos 6FFF	TR 6X	TR 6X	Ethos 6FFF
Hedef Maksimumu(cGy)	1948,3	1948,4	1948,8	1948,8	2079,0	2080,8	18,4	14,7	8,8

Hedefteki maksimum doz değeri, toplam MU ve ışınlama süresi karşılaştırması

Parametre	TR 6X	TR 6X	Ethos 6FFF	TR 6X	TR 6X	Ethos 6FFF	TR 6X	TR 6X	Ethos 6FFF
Hedef Maksimumu(cGy)	1948,3	1948,4	1948,8	1948,8	2079,0	2080,8	18,4	14,7	8,8

Sonuç: Geniş alan meme radyoterapisinde karmaşık hedef ve kritik organ geometrisi nedeniyle IMRT’nin kullanımı yaygınlaşmaktadır. Ayrıca kalp, LAD’nin etkili korunması için nefes tutmalı yöntemler avantajlıdır. IMRT ve nefes tutmanın birlikte kullanımı tedavi süresi ve nefes tutma sayısını arttırmaktadır. Bu nedenle kabul edilebilir doz dağılımı kadar tedavi uygulama hızı da cihaz seçiminde etkilidir. TrueBeam’de 6X ve FFF karşılaştırılmasında sonuçlar benzerdir. Kabul edilebilir klinik verilerle Ethos cihazı gantri ve MLC hızı avantajı sayesinde tedavi uygulamada TrueBeam’den hızlı görülmüştür.



Sol Meme Kanseri Hastaları için Derin İspirasyon Fazında Oluşturulan VMAT Tedavi Planlarının Serbest Solunumda Oluşturulan Helikal Tomoterapi Tedavi Planlarıyla Dozimetrik Karşılaştırılması

Evren Ozan Göksel¹, Okan Kuru³, Volkan Demircan², Meriç Şengöz²

¹Acıbadem MAA Üniversitesi SHMYO Radyoterapi Programı

²Acıbadem Altunizade Hastanesi Radyasyon Onkolojisi Bölümü

³Doğu Akdeniz Üniversitesi SHMYO Radyoterapi Önlisans Programı

Evren Ozan Göksel / Acıbadem MAA Üniversitesi SHMYO Radyoterapi Programı

Amaç: Bu çalışmada, sol meme kanserli hastaların derin inspiryum fazında (DIBH) VMAT tekniği ile yapılan tedavi planları, solunum kontrol sistemi bulunmayan Tomotherapy HDA cihazı için serbest solunumda (SS) Helikal Tomoterapi (HT) tekniği ile yapılan tedavi planlarıyla dozimetrik olarak karşılaştırılması amaçlanmıştır.

Yöntem: Bu amaçla, 20 sol meme kanserli hastanın hem SS hem de DIBH fazında alınmış olan Bilgisayarlı Tomografi (BT) görüntüleri kullanılmıştır. İki teknik için de planlar 50,4Gy (1,8Gy/28fr) doz reçete edilerek ve 6 MV FFF foton enerjisi seçilerek oluşturulmuştur. Sol meme dokusu (CTV) hedef hacim olarak; kalp, LAD (left descending artery), ipsilateral ve kontralateral akciğer ve kontralateral meme ise risk altındaki organlar olarak hem DIBH hem de SS'te alınan BT görüntüleri üzerinde konturlanmıştır. DIBH fazında alınan BT'de VMAT tekniğiyle planlama yapılırken (Varian VitalBeam), SS'te alınan BT üzerinde HT tekniği ile planlama yapılmıştır. Daha sonra planlar hedef kapsamı ve normal dokuların korunması açısından dozimetrik olarak karşılaştırılmıştır. Çalışmada ikili karşılaştırmalar için paired-samples t testi (IBM, SPSS version 23) kullanılmıştır.

Bulgular: Derin inspiryum fazında tedaviye uygun olmayan sol meme kanseri hastalarının serbest solunumda HT tekniği ile tedavi edilmelerinin hedef kapsamından ödün vermeden VMAT tekniği ile benzer kalp, daha iyi LAD ve ipsilateral akciğer korunması sağladığı görülmüştür. Ancak SS'te HT tekniği kullanıldığında kontralateral akciğer ve kontralateral meme dozları dikkatle değerlendirilmelidir. Sonuç: Her iki teknikle de istenen hedef kapsamı sağlanmıştır, ancak hedefte Dmax, Dört değerleri ve CN (Conformity Number) ve HI (Homogeneity Index) parametreleri açısından HT tekniği üstün bulunmuştur (Tablo1). Kalp dozları her iki teknik için de benzer bulunurken, LAD, sol akciğer, özofagus ve spinal kord dozları karşılaştırıldığında SS'te yapılmasına rağmen HT tekniği ile oluşturulan planlar DIBH'te VMAT tekniği ile yapılan planlardan üstün bulunmuştur (Tablo2). Kontralateral meme ve sağ akciğer dozları ise VMAT tekniğinde daha düşük bulunmuştur.

Hedef yapı için doz-hacim verileri ve p değerleri.

Metric	HT Ort±SS	VMAT Ort±SS	HT vs. VMAT P Değeri
V ₁₀₅ (%)	2,95±2,544	2,81±2,031	0,086
D _{95,2}	5291,10 ± 75,25	5294,43±32,04	0,000*
V _{Prescription} (%)	85,86±13,46	64,04±5,22	0,000*
D _{47,88} (%)	4961,10±57,59	4818,05±52,26	0,000*
CN	0,856±0,138	0,630±0,075	0,000*
HI	0,982±0,013	0,963±0,01	0,001*

Kritik organlar için doz-hacim verileri ve p değerleri.

Metric	HT Ort±SS	VMAT Ort±SS	HT vs. VMAT P Değeri
Kalp Dmax (Gy)	2542,02±85,85	2094,09±97,05	0,000*
Kalp Dmean (Gy)	396,95±97,47	354,31±97,55	0,000*
Kalp V ₅₀ (%)	98,59±6,25	92,89±6,83	0,079
Lung V ₅₀ (%)	92,29±9,84	62,35±5,08	0,000*
Lung V ₁₀₀ (%)	5,67±3,08	14,55±2,85	0,000*
Lung V ₁₀₀ (Gy)	4,39±1,87	5,51±1,65	0,002
Lung V ₁₀₀ (Gy)	3,35±0,89	3,39±0,82	0,000*
LAD Dmax (Gy)	358,15±94,63	188,34±62,78	0,000*
LAD Dmean (Gy)	586,90±293,92	797,23±354,38	0,002*
LAD Lung Dmax (Gy)	2398,05±316,74	1800,39±393,59	0,000*
Lung Dmax (Gy)	463,95±108,60	296,70±63,63	0,000*
Lung V ₅₀ (%)	81,38±10,62	57,09±9,28	0,000*
Kalp Meme Dmax (Gy)	3197,60±378,20	3368,81±406,89	0,000*
Kalp Meme Dmean (Gy)	762,70±180,91	615,90±114,28	0,000*
Kalp Meme V ₅₀ (%)	76,48±18,30	75,66±13,77	0,000*
Kalp Meme V ₁₀₀ (%)	23,62±13,38	5,03±4,59	0,000*
Özofagus Dmax (Gy)	994,20±2376,78	1073,28±3848,81	0,000*
Özofagus Dmean (Gy)	484,00±578,23	933,86±295,38	0,000*



19. ULUSAL MEDİKAL FİZİK KONGRESİ
02-05 KASIM 2023



SÖZLÜ BİLDİRİLER

Türkiye’de Uygulanmakta Olan Kranyospinal Işınlama Tekniklerinin Dozimetrik Olarak Karşılaştırılması

Öznr Şenkesen¹, Evrim Tezcanlı¹, Fadime Alkaya², Burçin İspir³, Serap Çatlı⁴, Abdullah Yeşil⁵, Ebrar Bezirganoglu⁶, Sezgi Turan⁷, Canan Köksal⁸, Gülay Güray⁹, Emel Hacıslamoğlu¹⁰, Faruk Durmuş¹¹, Şeyma Çavdar¹², Telat Aksu¹³, Nurten Çolak¹⁴, Esra Küçükorkoç¹⁵, Mustafa Doğan¹⁶, Tülay Ercan¹⁷, Fatih Karaköse¹⁸, Vildan Alpan¹⁹, Cemile Ceylan²⁰, Gökhan Poyraz²¹, Nilgül Nalbant²², Şeyda Kınay²³, Servet İpek²⁴, Namık Kayalılar²⁵, Hamza Tatlı²⁶, Mingyao Zhu²⁷

¹Acıbadem Mehmet Ali Aydınlar Üniversitesi, İstanbul

²İstanbul Medipol Üniversitesi, Sağlık Bilimleri Enstitüsü, İstanbul

³Acıbadem Adana Hastanesi, Adana

⁴Gazi Üniversitesi

⁵Medicana Bursa Hastanesi, Bursa

⁶Kolan Hastanesi, İstanbul

⁷Neolife Tıp Merkezi

⁸İstanbul Üniversitesi, Onkoloji Enstitüsü, İstanbul

⁹Medikal park Bahçelievler Hastanesi, İstanbul

¹⁰Karadeniz Teknik Üniversitesi Farabi Hastanesi, Trabzon

¹¹Yeni Yüzyıl Üniversitesi Gaziosmanpaşa Hastanesi, İstanbul

¹²Medicana Ankara Hastanesi, Ankara

¹³Ondokuz Mayıs Üniversitesi, Samsun

¹⁴Kartal Dr. Lutfi Kırdar Şehir Hastanesi, İstanbul

¹⁵Anadolu Sağlık Merkezi, İstanbul

¹⁶Trakya Üniversitesi, Edirne

¹⁷Gayrettepe Florence Nightingale Hastanesi, İstanbul

¹⁸Koc Üniversitesi Hastanesi, İstanbul

¹⁹Amerikan Hastanesi, İstanbul

²⁰İstanbul Onkoloji Hastanesi, İstanbul

²¹Medipol Üniversitesi Hastanesi, İstanbul

²²Basaksehir Cam ve Sakura Şehir Hastanesi, İstanbul

²³Dokuz Eylül University, İzmir

²⁴İstanbul Üniversitesi-Cerrahpaşa, İstanbul

²⁵Acıbadem Maslak Hastanesi, İstanbul

²⁶Elekta Instrument AB, Barbaros Mah. Begonya Sok. Nidakule Ataşehir, İstanbul

²⁷Emory University School of Medicine, Atlanta, Georgia, USA

Öznr Şenkesen / Acıbadem Mehmet Ali Aydınlar Üniversitesi, İstanbul

Amaç: Bu çalışmada, halen ülkemizde kullanılmakta olan kraniospinal ışınlama tekniklerini (CSI) dozimetrik olarak karşılaştırarak, birbirlerine göre avantajları, dezavantajları ve üstünlüklerinin belirlenmesi amaçlanmıştır. Aynı tekniği kullanan merkezler arasında kullanıcı bazlı değişimin etkisinin azaltılması ve merkezlerin ellerindeki olanaklarla elde edebilecekleri doz dağılımının iyileştirilmesi yönünde öneriler sunulması amaçlanmaktadır.

Yöntem: Çalışmamızda bir yetişkin ve bir pediatrik hastaya ait Bilgisayarlı Tomografi (BT)’de hedef hacim ve risk altındaki organlar (RAO) belirlenmiştir. BT ve konturlanan veri seti anonimleştirildikten 25 radyoterapi merkezi ile paylaşılmıştır. Her bir merkezin PTV’nin %95’inin reçetelendirilen dozu alması ve RAO dozlarının olabildiğince düşük olacak şekilde uyguladıkları tekniği kullanarak kendi kliniklerinde kabul ettikleri en optimum planı oluşturmaları istenmiştir. Aynı BT ve veri seti Emory Proton merkezi ile paylaşılmış ve proton tedavi planlamasının doz dağılımı elde edilmiştir. Merkezler konformal, IMRT, Helikal IMRT (Tomoterapi/ Radixact), VMAT olmak üzere farklı tedavi planlama sistemleri kullanarak farklı özelliklere sahip linak cihazları için tedavi planları oluşturmuşlardır. Tüm merkezlere ait doz dağılımlarına ait doz hacim histogramları (DVH) Elekta Proknow sistemi kullanılarak analiz edilmiştir. Her bir teknik için doz dağılımlarındaki değişimler incelenerek hedef hacim ve RAO ların DVH parametreleri analiz edilmiştir. Ayrıca hedef hacim konformalite indeksi (CI), homojenite indeksi (HI) ve her bir tekniğin proton tedavisi ile olan farklılıkları incelenmiştir.

Bulgu: Kullanılan tekniklerde PTV_beyin, PTV_spinal ve PTV_toplam için V95 değerleri yetişkin ve pediatrik hastalar için benzer şekilde %98’in üzerinde bulunmuştur. Tüm PTV hedef hacimleri için ideal Dmean dozuna en yakın sonuca Tomoterapi/Radixact ile ulaşıldığı görülmüştür. CI, Tomoterapi/Radixact ile yetişkin ve pediatrik hastalarda PTV_beyin ve PTV_spinal için ideal değerlere en yakın bulunmuştur. HI açısından Tomoterapi/Radixact ile yetişkin ve pediatrik hastalarda PTV_beyin, PTV_spinal ve PTV_toplam için üstün sonuçlar bulunmuştur. Pediatrik hastalar için IMRT tekniği, kalp, sol ve sağ böbrekler, sol parotis, sol ve sağ gözler ve mercerler için ideal değere en yakın ortalama dozları verirken.



19. ULUSAL MEDİKAL FİZİK KONGRESİ

02-05 KASIM 2023



SÖZLÜ BİLDİRİLER

Tomoterapi/Radixact tekniği tiroit bezi, sol ve sağ akciğerler ve sağ parotis için en düşük Dmean dozlarını sağlamıştır, bunu VMAT tekniği takip etmiştir. Yetişkin hastalarda konformal teknik ile sol ve sağ akciğerler ile toplam akciğer için en düşük Dmean dozları, Tomoterapi/Radixact ile sol böbrek ve tiroit bezi için proton tekniğine en yakın Dmean dozları olduğu bulunmuştur. Kalp, sağ böbrek, sol ve sağ parotisler, özefagus, gözler ve lensler için en düşük dozlar IMRT tekniği ile elde edilmiştir. Pediatrik ve yetişkin hasta için 10Gy alan normal doku hacimlerinin ışınlama tekniğine göre değişimi sırasıyla şekil 1 ve 2 de gösterilmektedir. PTV_Spinal ve PTV_Toplam için hedefi kapsama, CI,HI ve PTV dışında kalan sağlıklı beden dokusu (Body-PTV) dozlarına ait değerler pediatrik ve yetişkin hastalar için sırasıyla tablo 1 ve 2 de gösterilmektedir.

Şekil 1



Pediatric hastada ışınlama tekniğine göre 10Gy alan normal doku hacimlerinin değişimi

Şekil 2



Yetişkin hastada ışınlama tekniğine göre 10Gy alan normal doku hacimlerinin değişimi

Tablo 1

Parametre	VMAT	Tomoterapi/Radixact	IMRT	Proton
PTV_Beyin	95.000000	95.000000	95.000000	95.000000
PTV_Spinal	95.000000	95.000000	95.000000	95.000000
PTV_Toplam	95.000000	95.000000	95.000000	95.000000
CI	95.000000	95.000000	95.000000	95.000000
HI	95.000000	95.000000	95.000000	95.000000
Body-PTV	95.000000	95.000000	95.000000	95.000000

Pediatric hastada PTV_Beyin, PTV_Spinal ve PTV_Toplam için hedefi kapsama, CI,HI ve PTV dışında kalan sağlıklı beden dokusu (Body-PTV) dozu sonuçları

Tablo 2

Parametre	VMAT	Tomoterapi/Radixact	IMRT	Proton
PTV_Beyin	95.000000	95.000000	95.000000	95.000000
PTV_Spinal	95.000000	95.000000	95.000000	95.000000
PTV_Toplam	95.000000	95.000000	95.000000	95.000000
CI	95.000000	95.000000	95.000000	95.000000
HI	95.000000	95.000000	95.000000	95.000000
Body-PTV	95.000000	95.000000	95.000000	95.000000

Yetişkin hastada PTV_Beyin, PTV_Spinal ve PTV_Toplam için hedefi kapsama, CI,HI ve PTV dışında kalan sağlıklı beden dokusu (Body-PTV) dozu sonuçları

Sonuç: Çalışmamızda elde edilen veriler, IMRT/Helikol IMRT, VMAT ve proton tedavisi gibi ileri tekniklerin, konformal tekniğe kıyasla üstün hedef kapsamı ve doz homojenliği sunduğunu göstermektedir. Bu nedenle, gelişmiş teknolojiye sahip olan merkezlerin alan örtüşme düzenlenmesindeki zorlukların üstesinden gelmek ve RAO dozlarını azaltmak için konformal teknik yerine ileri teknolojiden yararlanmasını öneririz. Ayrıca ülkemizde bir proton merkezinin kurulması, özellikle çocuk hastalar için son derece değerli olup, RAO'larda dozun düşürülmesi için değerli fırsatlar sağlayacaktır. Özellikle radyoterapi gören pediatrik hastalar için radyasyon tedavisi hizmetlerinin ileri tekniklerin kullanıldığı, merkezlere yönlendirilmesi düşünülmelidir.



Hyperion Optik Uyarımlı Kişisel Personel Dozimetre Cihazının Geliştirilmesi ve Üretilmesi

Hasan UYSAL¹, Mehmet Fazıl ENKAVİ², İsmail Burak KORKUT³, Ferhat YEŞİL⁴, Bekir IŞIK⁵, Sametcan VENEDİK⁶

¹Medicana International Ankara Hastanesi, Radyasyon Onkolojisi Bölümü, Ankara

²Medicana International Ankara Hastanesi, Radyasyon Onkolojisi Bölümü, Ankara

³Radontek Medikal, Ankara

⁴ODTÜ MEMS Merkezi, Ankara

⁵PhySMART Solutions Radyasyondan Korunma, Lokman Hekim Üniversitesi LHUSTEK, Ankara

⁶PhySMART Solutions Radyasyondan Korunma, Lokman Hekim Üniversitesi LHUSTEK, Ankara

Hasan UYSAL / Medicana International Ankara Hastanesi, Radyasyon Onkolojisi Bölümü, Ankara

Amaç: Çalışmamızda Optik uyarımlı lüminesans (OSL) dozimetrelerde uyarım sonrasında ortaya çıkan fotonların fotoçoğaltıcı (FÇT) tüp ile sayılması, verilen dozla orantılı olarak doz-sayım (kalibrasyon) eğrisi oluşturulması, OSL okuyucu cihazı ve personel dozimetresi üretilmesi ve kullanım için gerekli testlerin yapılması amaçlanmıştır.

Hyperion OSL Okuyucu ve Yaka-Bilek-Yüzük Dozimetresi



Hyperion OSL Okuyucusu ve cihazla uyumlu olarak üretilen Yaka-Bilek-Yüzük Dozimetreleri görülmektedir

Yöntem: Kişisel dozimetrelerin okumasını yapmak üzere OSL dozimetre okuyucu cihaz geliştirildi. Okuyucu içerisinde mavi led, istenmeyen dalga boylarını soğuran filtreler, optik lensler ve FÇT kullanıldı. Bu parçalar bir kutu içerisine uygun geometride yerleştirilerek ortam ışıklarından dozimetrenin etkilenmemesi sağlandı. Step motorlar vasıtasıyla dozimetrenin kutu içerisine alınması ve yalnızca kapalı karanlık kutu içerisinde açılması sağlandı. Okuma esnasında FÇT'den elde edilen veriler önceden tasarlanan PCB kart üzerinden bilgisayara aktarıldı. Özel olarak tasarlanan bilgisayar ara yüzü ile sistemin kontrolü sağlandı. Ayrıca sonuçların sayım değerlerini ve önceden elde edilen kalibrasyon faktörleriyle çarpılarak ekrana yazdırılması sağlandı. Bunun dışında kişisel personel dozimetresinde kullanılmak üzere; yaka, yüzük, göz ve bilek dozimetresi okuyucuya uygun şekilde üretildi. Üretilen dozimetrelerin kalibrasyon ışınlamaları Cs-137 ile yapıldı ve ürettiğimiz OSL okuyucu cihazda ışınlama miktarına bağlı sayım değerleri elde edilerek kalibrasyon grafikleri oluşturuldu. Ardından üretilen dozimetrelerde TENMAK tarafından Hp(10) ve Hp(0,07) için; Lineerite testi, enerji ve açı testleri, çevresel performans testleri, mekanik performans ve blind test yapıldı. OSL Dozimetre ile tüm vücut için kişisel doz eşdeğeri Hp(10) ve cilt için kişisel doz eşdeğeri Hp(0,07)'nin uygunluğu EN IEC 62387 ve EN ISO/IEC 17025 standartları kapsamında değerlendirildi. Hp(10) ve Hp(0,07) için test ışınlamaları; 0,05mSv-10.0Sv dozlarında, 16keV-6,7MeV aralığındaki enerjilerde ve de ortalama beta enerjisi: $\approx 0.8\text{MeV}$ 'de ($E_{\beta\text{-max}}=2,28\text{ MeV}$) yapılmıştır.

Testlerdeki ışınlamalar 0° , $\pm 45^\circ$, $\pm 60^\circ$ ve $\pm 75^\circ$ açılarda toplam 1000 adet dozimetre ile yapılmıştır. LINAC'larda üretilen foton enerji testleri 6MV-10MV-15MV-18MV enerjileri kullanılarak gerçekleştirilmiştir. Dozimetre okumalarında yaşanabilecek olası hatalar nedeniyle aynı dozimetrenin tekrar okuma hatasının $\leq \pm 5\%$ olacak şekilde okuması istenmektedir. Bunu sağlamak için OSL okuyucu cihazında led, FÇT ve okuma süreleri farklılaştırılarak istenilen tekrarlamaya aralığının altında ölçüm alabilen bir okuma metodu geliştirilmiştir. Bulgu: Toplam 1000 adet dozimetre için değerlendirme yapılmıştır. Lineerite testinde farklı doz aralığında ölçülen değerlerde oluşturulan $y=x$ fonksiyonunda Hp10 için $R^2=0,99$ ve Hp0,07 için $R^2=1$ olarak bulundu. Düşük ve yüksek dozlardaki cevap hassasiyetini belirlemek amacıyla değişim katsayısı hesaplandı. Hp(10) için düşük ve yüksek dozlardaki değişim katsayısı sırasıyla 8,2 ile 1,1 aralığında iken; Hp(0,07) için değişim katsayısı 8,3 ile 0,8 aralığında değişmektedir. Hp(10) için belirsizlik 1,11 ile 0,90 arasında iken; Hp(0,07) için belirsizlik 1,11 ile 0,89 aralığında değişmektedir. TENMAK tarafından farklı enerjiler ve açı (0° , $\pm 45^\circ$, $\pm 60^\circ$) aralığında yapılan blind testte 22 adet dozimetrede Response Rate; 0,87 ile 1,12 arasında değişmekle beraber 6 adet dozimetrenin oranı 1 olarak bulunmuştur. Ayrıca ikinci okumadaki tekrarlanabilirlik $\leq \pm 3,1\%$ olarak bulunmuştur.



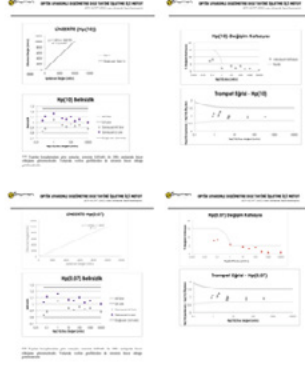
19. ULUSAL MEDİKAL FİZİK KONGRESİ

02-05 KASIM 2023



SÖZLÜ BİLDİRİLER

Hp10 ve Hp0,07 için Lineerite, Değişim Katsayısı, Belirsizlik ve Trompet Eğrisi



Elde edilen sonuçlarla Hp10 ve Hp0,07 için; Lineerite, Değişim Katsayısı, Belirsizlik ve Trompet Eğrisi 62387 standardını sağladığını göstermektedir.

Sonuç: OSL okuyucu cihazı ve personel dozimetresi başarıyla üretilmiştir. TENMAK tarafından yapılan testlerde dozimetrelere testleri başarıyla geçmiştir.



Jinekolojik Kanserlerin Radyoterapisinde Pelvik Organların Hacimsel Değişimlerinin Dozimetrik Etkilerinin Değerlendirilmesi

Yılmaz Bilek², Timur Koca¹, Atıl Aksoy¹, Ece Atak¹, Mehmet Kızılkaya¹, Nina Tunçel¹, İsmail Hakkı Sarpün¹, Aylin Fidan Korcum Şahin¹

¹Akdeniz Üniversitesi Tıp Fakültesi Radyasyon Onkolojisi A.D.

²Akdeniz Üniversitesi Sağlık Hizmetleri Meslek Yüksek Okulu Radyoterapi Programı

Yılmaz Bilek / Akdeniz Üniversitesi Sağlık Hizmetleri Meslek Yüksek Okulu Radyoterapi Programı

Amaç: Bu çalışmada jinekolojik kanserlerde adjuvan radyoterapi sırasında rektum ve mesanenin hacimsel değişimlerinin CTV (Klinik Hedef Hacim) ve OAR (Riskli Organ) dozlarına etkisinin değerlendirilmesi amaçlanmaktadır.

Yöntem: Çalışmaya Accuray Tomoterapi cihazında postoperatif radyoterapi almış 16 Endometrium ve 3 Serviks kanseri hastası dahil edilmiştir. BT (Bilgisayarlı Tomografi) görüntüleri GE Discovery RT cihazında elde edilmiştir. Planlar Accuray Tomoterapi Precision tedavi planlama sisteminde oluşturulmuştur. Hastaların tedavi öncesi hazırlığı, planlama BT'si ile uyumlu olacak şekilde yapılmış ve her fraksiyonda 3 boyutlu MV (Mega Voltaj) BT görüntüleme ile hasta pozisyonu, rektum ve mesane dolulukları değerlendirilmiştir. Uygun bulunması halinde hastaların tedaviye girişleri onaylanmış ya da uyumsuzluğun giderilmesi için hastanın hazırlık süreci yenilenmiştir. Çalışmada toplam 190 BT (19 simülasyon BT ve 171 MVBT) görüntüsü değerlendirilmiştir. Hastaların tedavilerinin 1. gününden itibaren 3'er gün arayla tedaviden önce elde edilen MVBT görüntüleri (1-4-7-10-13-16-19-22 ve 25. fraksiyonlar) MIM yazılımına aktarılarak simülasyon BT görüntüsü ile füzyonları yapılmıştır. Tüm MVBT görüntülerinde CTV, mesane ve rektum yeniden konturlanmıştır. Bu görüntülerin üzerine referans planlar yüklenerek tüm yapılar için doz volüm histogramlar elde edilmiştir. Çalışmada, CTV'nin yanı sıra mesane ve rektumdaki hacimsel ve boyutsal değişimler ve dozimetrik etkileri istatistiksel olarak değerlendirilmiştir.

Bulgular: CTV dozlarının planlama ve tedavi ile uyumlu olmasının sebebi klinik protokolümüzde yer alan günlük 3 boyutlu IGRT (Görüntü Kılavuzluğunda Radyoterapi) tekniğidir. Hastaların simülasyon BT'lerinde mesane hacminin 300 cc'nin üzerinde olması varyasyonları artırarak tedavide mesane dozlarının artmasına yol açarken, 150 cc'nin altında olması ise bağırsakların daha aşağıda yer almasına sebep olmaktadır. Bu sonuca dayanarak Simülasyon BT'de hastanın ön hazırlığının, mesane hacminin 300 cc civarında olacak şekilde yapılmasını önermekteyiz. Çalışmamızda rektumun CTV hareketine etkisi daha az olmasına rağmen planlama ve tedavi sırasında boş rektum tercih edilmelidir. Üç boyutlu IGRT, hedeflerin ve OAR'lerin yer değişimlerini ve hacimsel farklılıklarını görmek için güçlü bir araçtır ve günlük kullanımı, tedavi dozlarının planlanan dozlarla uyumunu arttırmaktadır.

Sonuç: MVBT görüntülerine dayalı dozların ilk analizinde mesane hacmi, ortalama doz ve V40 açısından istatistiksel olarak anlamlı bir fark olmadığı ortaya çıktı (sırasıyla p=0,16, p=0,51 ve p=0,79). Ancak; ileri analizler, planlama sırasında mesane hacmi ≥ 300 cc olan hastaların tedavi sırasında mesane hacimlerinin daha düşük (%95 CI 7,35-162,01, p=0,03) ve ortalama mesane dozlarının daha yüksek (%95 CI 0,03-2,06, p=0,04) olduğunu gösterdi. Özellikle, planlama sırasında mesane hacmi ≥ 300 cc olan hastalarda mesane hacmi sapması anlamlı derecede yüksekti (%95 GA 45,10-161,40, p=0,002) (Tablo1). Tüm hastalar analize dahil edildiğinde rektum AP çapı ve V40 açısından planlama ve tedavi arasında istatistiksel olarak anlamlı bir fark bulunamadı (Tablo2). Planlama sırasında rektum AP çapı $< 4,20$ cm olan hastaların tedavi sırasında rektum AP çapı planlamaya göre daha yüksekti (%95 GA 0,05-0,78, p=0,02). Planlama sırasında rektum AP çapı $\geq 4,20$ cm olan hastaların tedavi sırasında rektum V40'ı planlamaya göre daha düşüktü (%95 GA 1,51-8,52, p=0,01). MVBT görüntülerine dayalı dozlar değerlendirildiğinde tedavi fraksiyonları arasında rektum AP çapı ve V40 açısından istatistiksel olarak anlamlı bir fark olmadığı ortaya çıktı (sırasıyla p=0,75, p=0,24). Planlama ve tedavi sırasında tüm hastalar için ortalama CTV V%95 değeri sırasıyla %100 ve %98,4 idi (%95 GA 1,02-2,07, p=0,001). Mesane hacmi < 150 cc, 150-300 cc ve ≥ 300 cc olan hastaların ortalama tedavi CTV V%95 değerleri ise sırasıyla %97,2, %98,7 ve %98,9 bulundu (p=0,005).

Tablo1: Planlama ve tedavi arasında mesane için hacim, ortalama doz ve V40 değerlerinin karşılaştırılması.

Hasta Grupları	Planlama	Mesane Hacmi (cc)		Mesane Ortalama Doz (Gy)		Mesane V40 (%)	
		Ortalama ± s.d.	p değeri	Ortalama ± s.d.	p değeri	Ortalama ± s.d.	p değeri
Tüm Hastalar	Planlama	333-232,84		30,46-3,35		28,83-6,23	
	Tedavi	302-210,61	p=0,29	30,70-3,66	p=0,53	29,61-6,98	p=0,50
Mesane hacmi <300cc olan hastalar	Planlama	145-53,66		30,03-3,08		29,07-5,47	
	Tedavi	182-71,29	p=0,11	29,26-3,44	p=0,37	28,22-5,54	p=0,61
Mesane hacmi ≥ 300 cc olan hastalar	Planlama	520-188,72		30,93-3,76		28,27-7,31	
	Tedavi	436-235,76	p=0,03	31,98-3,60	p=0,04	31,25-8,27	p=0,09



19. ULUSAL MEDİKAL FİZİK KONGRESİ

02-05 KASIM 2023



SÖZLÜ BİLDİRİLER

Tablo2: Planlama ve tedavi arasında rektum için AP çapı ve V40 değerlerinin karşılaştırması.

Hasta Grupları		Rektum AP Çapı (cm)		Rektum V40	
		Ortalama ± p değeri	p değeri	Ortalama ± p değeri	p değeri
Tüm Hastalar	Planlama	4,20±0,88	p=0,80	29,15±19,27	p=0,87
	Tedavi	4,24±0,69		29,51±18,04	
Planlama sırasında rektum AP çapı < 4,2 cm olan hastalar	Planlama	3,46±0,43	p=0,02	22,91±10,67	p=0,12
	Tedavi	3,88±0,68		29,24±12,51	
Planlama sırasında rektum AP çapı ≥ 4,2 cm olan hastalar	Planlama	4,88±0,59	p=0,15	34,77±23,82	p=0,01
	Tedavi	4,57±0,55		29,75±22,62	



SÖZLÜ BİLDİRİLER

Metal Artefakt Azaltma Algoritmasının Radyoterapide Doz Hesaplama Doğruluğu Üzerine Etkisinin Araştırılması

Osman Vefa Gül¹

¹Selçuk Üniversitesi Tıp Fakültesi, Radyasyon Onkolojisi Anabilim Dalı

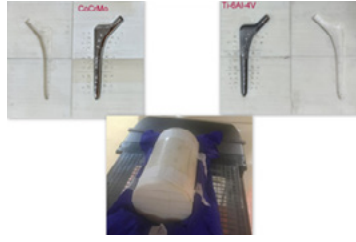
Osman Vefa Gül / Selçuk Üniversitesi Tıp Fakültesi, Radyasyon Onkolojisi Anabilim Dalı

Amaç: Radyoterapide planlama süreci, görüntü kalitesine ve bilgisayarlı tomografi (BT) görüntülerinin hounsfield biriminin (HU) doğruluğuna bağlıdır. Görüntü kalitesini artırmak için metal artefakt azaltma (MAR) algoritmaları kullanılır. Bu çalışmanın amacı, kalça protezinde yaygın olarak kullanılan CoCrMo ve Ti-6Al-4V alaşımların hedef hacimde bulunması durumunda MAR algoritmasının performansını değerlendirmek ve doz hesaplama doğruluğu üzerindeki etkilerini araştırmaktır.

Yöntem: 3B yazıcı kullanarak bacağı taklit eden, doku eşdeğeri silindirik bir fantom üretilmiştir. Fantomun merkezine sırasıyla CoCrMo alaşımı ve Ti-6Al-4V alaşımı protezler yerleştirildi. Ayrıca protezlerin yüzeyine ve 1 cm uzaklığına termolüminesans dozimetreler (TLD) yerleştirilerek ölçüm noktaları belirlendi. BT görüntüleri 1 mm kesit kalınlığında elde edildi. Her protez için MAR'lı ve MAR'sız veri setleri oluşturuldu.

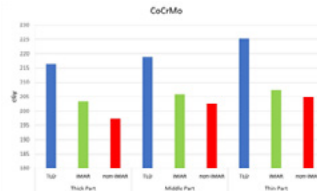
Hedef hacim, üç boyutlu konformal radyoterapi (3BKRT) tekniği ile 2 Gy doz alacak şekilde planlandı. Her iki protez için fantom Varian DHX cihazında ışınlandı. Nokta doz ölçümü için her ışınlamada toplam 27 TLD kullanıldı. Tedavi planlama sisteminden (TPS) hesaplanan ve TLD ile ölçülen dozlar karşılaştırıldı.

Protezler ve Silindirik Fantom

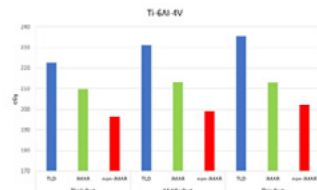


Bulgular: CoCrMo ve Ti-6Al-4V alaşımların ortalama HU değerleri MAR' sız görüntüler için sırasıyla 21000 ve 8600 iken MAR'lı görüntüler için sırasıyla 10412 ve 3071 olarak bulundu. Fantom merkezinde CoCrMo bulunması halinde TPS ve TLD dozları arasındaki fark MAR'lı ve MAR'sız görüntüler için sırasıyla %7.12 ve %9.20 bulundu. Ti-6Al-4V protezi için ise bu farkın MAR'lı ve MAR'sız görüntüler için sırasıyla %8.61 ve %15.27 olduğu görüldü. Ayrıca protez kalınlığı TPS ve TLD doz dağılımlarını doğrudan etkilemektedir.

CoCrMo için MAR'lı ve MAR'sız doz dağılımı



Ti-6Al-4V için MAR'lı ve MAR'sız doz dağılımı



Sonuç: MAR algoritması TPS'nin doz hesaplama doğruluğunu olumlu yönde etkilemektedir. Radyoterapide hedef hacimde protez bulunması durumunda, optimum doğruluğun sağlanması için MAR algoritmasının kullanılması önerilmektedir.

Anahtar Kelimeler: MAR, protez, radyoterapi



DCAT Tekniği İle Hazırlanan Srs/Srt Ve Akciğer Sbirt Planlarının Myqa Srs Ve Matrixx Fantomlarla Verifikasyonu Ve Karşılaştırılması

Zeynel Şenol¹, İsmail Faruk Durmuş¹, Yaprak Erözmen¹, Dursun Eşitmez²

¹İstanbul Yeni Yüzyıl Üniversitesi Tıp Fakültesi Özel Gaziosmanpaşa Hastanesi

²Medipol Üniversitesi Sağlık Hizmetleri Meslek Yüksek Okulu Tıbbi Hizmetler ve Teknikler Bölümü

Zeynel Şenol / İstanbul Yeni Yüzyıl Üniversitesi Tıp Fakültesi Özel Gaziosmanpaşa Hastanesi

Amaç: Çalışmamızda dinamik konformal ark tekniği (DCAT) ile hazırlanan SRS/SRT/SBRT hastalarının myQA SRS ve MatriXX fantomları plan verifikasyonlarının karşılaştırılması amaçlandı.

Yöntem: DCAT ile 10 beyin SRS/SRT ve 10 akciğer SBRT hastalarına non-koplanar düzlemde planlar hazırlandı. Planlar hesaplanırken, Monaco planlama sisteminde 6MV-FFF enerjisi kullanıldı. Planlarda hedef dışında yüksek doz gradiyenti sağlanarak planlar hazırlandı. Planların myQA ve MatriXX fantomu ile verifikasyonu sağlandı ve sonuçların iki QA fantomuna bağlı farklılıkları karşılaştırıldı. QA sonuçlarında %3 doz farklılığı (DD)- 3 mm mesafe uyumu (DTA), %2 DD-2 mm DTA ve %3 DD- 1 mm DTA gama analiz kriterlerine göre değerlendirildi. QA sonuçlarında gama indeksi ve ortalama gama değerleri karşılaştırıldı.

Bulgu: SRS/SRT/SBRT planlarda homojen olmayan ve yüksek gradiyente doz dağılımlarının verifikasyonunda MatriXX fantomu yeterli kalmaktadır. Yüksek çözünürlüğe sahip myQA SRS fantomu ile, küçük alanlarda daha doğru doz ölçümleri alınabilmektedir. Ayrıca özellikle yüksek doz gradiyente sahip SRS/SRT/SBRT planları için QA verimliliğini de artırdığı ve daha az belirsizliğe sahip sonuçlar elde edebilmektedir.

Tablo 1 SRS/SRT ve Akciğer SBRT Planlarının Dozimetrik Sonuçları

Tablo 1 SRS/SRT ve Akciğer SBRT Planlarının Dozimetrik Sonuçları

	Beyin SRS/SRT	Akciğer SBRT
GI	4,17±0,83	4,58±0,73
CI	0,99±0,09	0,99±0,08
HI	1,50±0,05	1,35±0,08
MU	4367±2249	3542±2542
Beam on Time (sn)	370±170	260±139

Tablo 1 SRS/SRT ve Akciğer SBRT Planlarının Dozimetrik Sonuçları

Tablo 2 MyQA ve MatriXX Fantom QA Sonuçları

Tablo 2 MyQA ve MatriXX Fantom QA Sonuçları

	MyQA SRS		MatriXX		
	Gama	Ortalama	Gama	Ortalama	
%2 DD-3mm	Beyin SRS/SRT	93,38±7,03	0,44±0,16	85,32±16,86	0,54±0,14
	Akciğer SBRT	87,63±6,9	0,53±0,06	88,4±10	0,48±0,12
%3 DD-3mm	Beyin SRS/SRT	99,32±1,28	0,29±0,1	98,12±4,04	0,33±0,09
	Akciğer SBRT	98,72±1,90	0,36±0,04	98,84±2,52	0,32±0,08
%3 DD-1mm	Beyin SRS/SRT	72,13±7,04	0,72±0,06	66,84±13,32	0,75±0,12
	Akciğer SBRT	66,06±8,77	0,79±0,11	71,46±12,63	0,75±0,17

Tablo 2 MyQA ve MatriXX Fantom QA Sonuçları

Sonuç: Planlarda gradiyent indeksi değeri SRS/SRT hastalarında 4,17±0,83, akciğer SBRT hastalarında 4,58±0,73 olarak bulundu. Özellikle DCAT planlama sayesinde tedavi uygulama süreleri SRS/SRT de 370±170 sn, akciğer SBRT de ise 260±139 sn olarak bulundu. QA sonuçları değerlendirildiğinde, MyQA fantom ile %9,3 daha yüksek gama indeksi değerleri elde edildi. Ortalama gama değerlerinde ise benzer sonuçlar elde edilmesine rağmen myQA SRS fantom ile daha düşük sonuçlar elde edildi.



Meme Kanserli Olguların Radyoterapi Doz Hesaplamasında Farklı Fantomlardan Elde Edilen Elektron Yoğunluğu Kalibrasyon Eğrilerinin Dozimetrik Etkisinin Karşılaştırılması

Burcu Gökçe¹, Nazlı Bilici Güven¹, Sercan Alkaya¹, Özlem Özkaya¹, Alaattin Özen¹, Görkem Türkan¹

¹Hisar Hospital Intercontinental, Bütünleşik Onkoloji Merkezi, Radyasyon Onkolojisi Kliniği, İstanbul

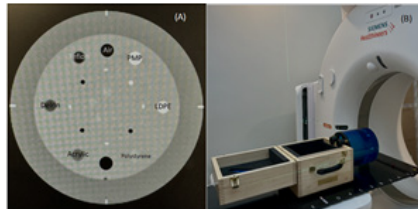
Burcu Gökçe / Hisar Hospital Intercontinental, Bütünleşik Onkoloji Merkezi, Radyasyon Onkolojisi Kliniği, İstanbul

Amaç: CIRS (Computerized Imaging Reference Systems) fantomunda yüksek yoğunluklu malzeme, inhomojen ortamlarda büyük sapmalar gözlemlendiği için ve insan doku yoğunluğuna benzeyen daha geniş bir yoğunluk aralığı bulunduğundan CATPHAN'a göre kalibrasyon eğrisi radyoterapi doz hesabı için daha uygundur. Çünkü CIRS farklı enerjilerin farklı yoğunluklar üzerindeki etkisini CATPHAN'a göre daha doğru göstermektedir. Çalışmamızın amacı, bu iki fantomda (CIRS-062M ve CATPHAN-503) değişen CT-ED (computed tomography-electron density) kalibrasyon eğrileri kullanılarak meme kanseri hastalarında hedef ve risk altındaki organlar için Monaco Tedavi Planlama Sistemi'nde (TPS, Version 6.1.1.0) dozimetrik etkinin karşılaştırılmasıdır.

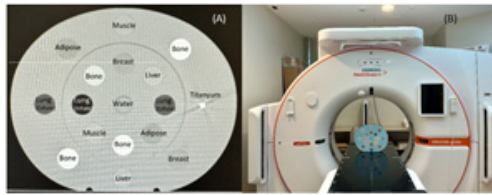
Yöntem: Adjuvan radyoterapi uygulanan 10 kadın meme kanseri hastasının doz-volum parametreleri değerlendirildi. Doz hesapları CIRS fantomla 120kVp'de planlanan hastaların ipsilateral meme PTV95 (cGy), PTV-Boost95 (cGy), kalp-Dmean (cGy), kalp-V8 (%), karşı meme-Dmean (cGy), ipsilateral akciğer-V16 (%) ve kontralateral akciğer-V4 (%) değerleri 6 MV foton enerjisi kullanılarak Monaco TPS'den elde edildi. Aynı parametreler sonrasında çevrimdışı olarak CATPHAN fantom 120kVp'de hesaplatıldı. Parametrelerin mean değerleri hesaplandı. Her iki fantomla elde edilen değerler arasında fark olup olmadığı SPSS'te Paired-Samples T testi ile karşılaştırıldı. $p < 0,05$ değeri anlamlı kabul edildi.

Bulgu: Hastaların medyan yaşı 52 (34-66)'dir. Hastaların 5'i sağ, 5'i sol meme kanseriydi. Tüm hastalara meme koruyucu cerrahi sonrası eksternal radyoterapi planlanmış olup 5 hastaya (%50) 40Gy/15fr ipsilateral meme (PTV) radyoterapisi sonrası tümör yatağına 10Gy/5fr boost (PTV-Boost), radyoterapisi, diğer 5 hastaya ise (%50) 40Gy/15fr ipsilateral meme ve periferik lenfatik (level1-3, supra, MI) (PTV) radyoterapisi sonrası 10Gy/5fr tümör yatağı boost (PTV-Boost) radyoterapisi uygulanmıştır. CIRS ve CATPHAN'dan elde edilen doz ölçümleri arasında İpsilateral meme PTV95, İpsilateral meme PTV-Boost95, Kalp-Dmean, Kalp-V8, Karşı meme-Dmean, İpsilateral akciğer-V16 ve Kontralateral akciğer-V4 parametreleri mean değerleri açısından anlamlı fark gözlemlendi. CIRS ve CATPHAN fantomlarında 120kVp'de planlanan hastaların doz-volum değerleri Tablo 1'de verilmektedir. Şekil 1'de CATPHAN-503 fantomdaki doku eşdeğerlerinin yerini ve dağılımını gösteren kesit dilimi ve bilgisayarlı tomografi (BT)'de fantomun kurulumu, şekil 2'de ise CIRS-062M fantomdaki doku eşdeğerlerinin yerini ve dağılımını gösteren kesit dilimi ve BT'de fantomun kurulumu gösterilmektedir.

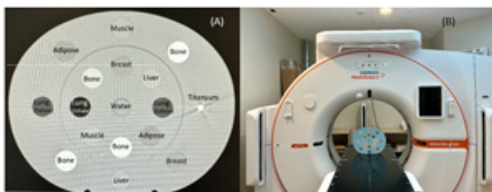
Şekil 1. (A) CATPHAN-503 fantomdaki doku eşdeğerlerinin yerini ve dağılımını gösteren kesit dilimi, ve (B) BT'de fantomun kurulumu.



Şekil 2. (A) CIRS-062M fantomdaki doku eşdeğerlerinin yerini ve dağılımını gösteren kesit dilimi, ve (B) BT'de fantomun kurulumu.



Şekil 2. (A) CIRS-062M fantomdaki doku eşdeğerlerinin yerini ve dağılımını gösteren kesit dilimi, ve (B) BT'de fantomun kurulumu.





19. ULUSAL MEDİKAL FİZİK KONGRESİ

02-05 KASIM 2023



SÖZLÜ BİLDİRİLER

Tablo 1. Hasta planlamasında CIRS ve CATPHAN ile elde edilen doz-volum değerleri

Parametre (mean)	CIRS Fantom 120kVp (mean)	CATPHAN Fantom 120kVp (mean)	Fark (%)	P değeri
İpsilateral meme PTV95 (cGy)	3706	3688	0,48	0,008
İpsilateral meme PTV-Boost95 (cGy)	4935	4921	0,28	0,00003
Kalp-Dmean(cGy)	354	352	0,56	0,001
Kalp-V81(%)	3,84	3,79	1,3	0,011
Karşı meme-Dmean(cGy)	225	222	1,33	0,002
İpsilateral akciğer-V16(%)	18,48	18,29	1,03	0,012
Kontralateral akciğer-V4(%)	15,10	12,83	2,06	0,003

Sonuç: Hem hedef hem de risk altındaki organların CIRS ve CATPHAN fantomlarından elde edilen mean değerleri arasında anlamlı fark gözlemlendi. En anlamlı fark sırasıyla PTV-Boost95 ve Kalp-Dmean değerleri için gözlemlendi. Bu sonuçların klinik pratiğe olan etkisinin ortaya konulması için ileri çalışmalara ihtiyaç vardır.

Anahtar Kelimeler: bilgisayarlı tomografi, fantomlar, elektron yoğunluğu



MRI-Linac Tabanlı IMRT, Akciğer SABR için Konvansiyonel VMAT Tedavi Planlarına Göre Düşük Doz Hacimlerini Azaltabilir mi?

Yücel Sağlam¹, Yasemin Bölükbaşı¹, Uğur Selekt¹

¹Koç Üniversitesi Tıp Fakültesi Radyasyon Onkolojisi Anabilim Dalı

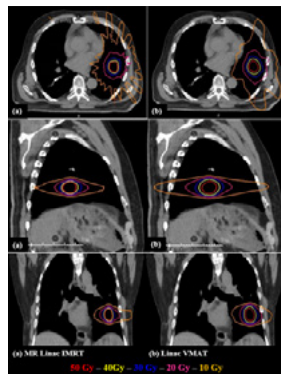
Yücel Sağlam / Koç Üniversitesi Tıp Fakültesi Radyasyon Onkolojisi Anabilim Dalı

Amaç: Küçük hücreli dışı akciğer kanseri (KHDAK) stereotaktik ablatif radyoterapi (SABR) tedavisi, farklı tedavi cihazlarında farklı tedavi teknikleri kullanılarak çeşitli doz şeması protokolleriyle yapılabilmektedir [1-2]. Günümüzde akciğer SABR tedavisinde en yaygın yaklaşım, hasta etrafından belirli aralıklarla oluşturulan segmentlere sahip gantri dönüşüyle tedavi dozunu çok yapraklı kolimatör (ÇYK) modülasyon hızının senkronizasyonu ile gerçekleştiren hacimsel modülasyonlu ark (VMAT) tekniğidir [1]. Elekta Versa Linac sistemi, 6 MV düzleştirici filtresiz (FFF) ışını kullanarak 160 adet 5 mm ÇYK ile SABRT tedavisini VMAT tekniği ile yapabilmektedir [3]. Normal linac sistemlerinden çok daha farklı kafa yapısına sahip Viewray MRIdian Linac sistemi 6 MV FFF ışını, daha küçük penumbraya sahip double-stacked and double-focused ÇYK sistemiyle step and shoot IMRT tekniği ile verebilmektedir [2, 4-6]. Versa ve MRIdian Linac sistemleri aynı tedavi dozunu aynı ışın kalitesiyle verebilmelerine rağmen SABR tedavisi için normal linaklardan çok daha farklı çalışma ve fiziksel özellikleri olan ışın şekillendirme yapılarına sahip MR-Linac sistemindeki IMRT tedavi tekniği VMAT'a alternatif bir teknik olarak düşünülebilir. Bu çalışma, plan kalitesinden ödün vermeden MRIdian Linac sistemi kullanarak akciğer SABR tedavisinin 4D-CT elde edilen aynı PTV marjı için sağlıklı doku üzerinde düşük doz azaltılıp azaltılamayacağını değerlendirmektedir.

Yöntem: Versa Linac 6 MV FFF ışını kullanılarak, 4 yarım ark VMAT tekniğiyle 12,5 Gy günden 4 fraksiyonda 50 Gy doz şeması ile tedavi edilen 31 hasta çalışmaya dahil edildi. Planlar, MR-Linac IMRT tedavi tekniği ile hedef hacimler ve tüm kritik organlar aynı olacak şekilde yeniden planlandı. Plan kaliteleri, Radyasyon Tedavisi Onkoloji Grubu Protokolü kullanılarak tüm kritik organ dozları, konformalite indeksi (CI), gradyant indeksi (GI), sağlıklı dokunun 40Gy, 30Gy, 20Gy, 10Gy, 5Gy, aldığı doz hacimleri (V40Gy, V30Gy, V20Gy, V10Gy, V5Gy), monitör unit (MU) ve ışınlama süresi (Beam on Time =BOT) değerleri her iki tedavi tekniği için tüm planlarda karşılaştırıldı.

Bulgu: Tüm planlar, dozimetrik ve klinik anlamda protokollere uygun gereksinimleri karşıladı. MR-Linac IMRT, VMAT'dan istatistiksel anlamlı daha yüksek BOT'lara sahip (BOTMR-IMRT 9.80 vs BOTVMAT 3.81; $p < 0.05$), olmasına rağmen MU değerleri daha düşük bulunmuştur (MUMR-IMRT 4860 vs MUVMAT 4910; $p = 0.429$). VMAT'a göre MR-Linac IMRT planlarında sağlıklı doku dozunun aldığı hacimsel değerler istatistiksel anlamlı olarak daha düşük bulunmuştur (V40Gy; 26.60 vs 13.57 cm³, $p < 0.01$, V30Gy; 46.27 vs 24.54 cm³, $p < 0.01$, V20Gy; 91.02 vs 59.83 cm³, $p < 0.01$, V10Gy; 361.07 vs 285.61 cm³, $p < 0.01$, V5Gy; 905.30 vs 712.18 cm³, $p < 0.01$). Ayrıca, MR-Linac IMRT planları için VMAT planlarına göre istatistiksel olarak anlamlı daha düşük GI değerlerine sahipken CI değeri açısından iki tedavi tekniği arasında istatistiksel fark bulunamamıştır. (GIMR-IMRT 3.75 vs GIVMAT 4.44, $p < 0.01$, CIMR-IMRT 0.95 vs CIVMAT 0.97, $p = 0.310$).

Doz Dağılımı



Resim 1. (a) MR-Linac IMRT tedavi için (b) Linac VMAT planları için aynı hasta hastanın CT görüntüsüne normale aralık cizdeleri ile doz dağılımı aksiyel, saptal ve koronal kesit

MR-Linac ve VMAT-Linac'a göre İndeks Karşılaştırmaları

MR LINAC	x ± s	Median	VMAT LINAC	x ± s	Median	p-value
BODY						
MR _{V05cm³}	13.10±2.18	13.57	VMAT _{V05cm³}	27.12±5.23	26.60	<01
MR _{V10cm³}	25.67±10.87	24.54	VMAT _{V10cm³}	47.19±11.27	46.27	<01
MR _{V20cm³}	58.85±16.41	59.83	VMAT _{V20cm³}	91.82±17.71	91.02	<01
MR _{V30cm³}	287.32±32.91	285.61	VMAT _{V30cm³}	361.79±50.11	361.07	<01
MR _{V40cm³}	713.45±88.80	712.18	VMAT _{V40cm³}	895.44±101.32	905.30	<01
MR _{CI}	0.96±0.11	0.95	VMAT _{CI}	0.97±0.20	0.97	0.310
MR _{GI}	3.75±0.44	3.75	VMAT _{GI}	4.31±1.05	4.44	<05
MR _{BOT}	4794±874	4860	VMAT _{BOT}	4978±933	4910	0.429
MR _{MU}	9.62±1.92	9.80	VMAT _{MU}	3.75±1.24	3.81	<05



19. ULUSAL MEDİKAL FİZİK KONGRESİ

02-05 KASIM 2023



SÖZLÜ BİLDİRİLER

Sonuç: MRIdian Linak sistemindeki farklı ışın şekillendirici kafa yapısıyla uygulanan MR-Linak IMRT tedavi tekniği, farklı lokalizasyona sahip akciğer SABR tedavisi için VMAT'a kıyasla tüm vücuda verilen düşük doz hacimlerini azaltabilir. Ayrıca MR-Linak IMRT planlarında daha küçük PTV marjlarını kullanma yeteneğinin olması, diğer konvansiyonel linak tedavi yöntemlerine göre MR rehberliği ile daha fazla potansiyel dozimetrik fayda sağlayabilir.

Anahtar Kelimeler: "MRIdian-linac", "IMRT", "VMAT"



Prostat Kanseri Stereotaktik Vücut Radyoterapisinde Gerçek Zamanlı Adaptif Radyoterapi Özelliğine Sahip Lineer Hızlandırıcıların Dozimetrik Olarak Karşılaştırılması

Anatolia Serkizyan¹, Melih Uluer¹, Görkem Güngör¹, Gökhan Aydın¹, Bülent Yapıcı¹, Banu Atalar¹, Enis Özyar¹

¹Acıbadem Maslak Hastanesi

Anatolia Serkizyan / Acıbadem Maslak Hastanesi

Amaç: Hedef hacim ve kritik organların (OAR) günlük değişimi, ışınlanan normal doku miktarını ve dolayısıyla yan etkileri artırabilir. Bu çalışmada MR-Linac ve Ethos cihazlarında prostat hastaları için tedavi planları dozimetrik ve ışınlama süreleri açısından karşılaştırılmış ve iki farklı adaptif tedavi yaklaşımı ve görüntüleme sistemine sahip olan bu cihazların klinik süreçlere katacağı avantajlar ve dezavantajların gözlenmesi amaçlanmıştır.

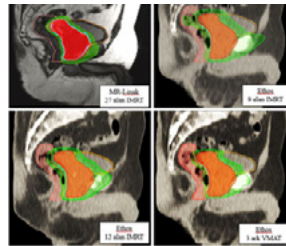
Yöntem: Radyasyon Onkolojisi Bölümünde tedavisi bitmiş 20 prostat hastasına ViewRay MR-Linac ve Varian Ethos cihazlarında planlama yapılmıştır. MR-Linac planlamalarının tümü 27 alan IMRT, Ethos planlamaları ise ağ üzerinden 9 ve 12 alan IMRT ile 3 ark VMAT planları yapılmıştır. MR-Linac ve Ethos planlama sistemlerinde hazırlanan tedavi planlarında optimizasyon sırasında aynı yardımcı yapılar ve parametreleri kullanılmıştır. Tedavi planları, 5 fraksiyonda toplam 36,25 Gy olacak şekilde PTV için D95% = 36,25Gy reçete dozunu alması sağlanmıştır. Tedavi planları OAR'ların doz kabul kriter analizi için RTOG0938 ve PACE-B protokollerinde belirtilen, Rektum; D 35%<18 Gy, D20cc<25 Gy, D5%<32 Gy, D10cc<32,62 Gy, D5cc<34,43 Gy, D1cc<36,25 Gy, D0,1cc<38,06 Gy, Mesane; D43%<17,5 Gy, D15cc<32,62 Gy, D1cc<36,25 Gy, D0,1 cc<38,06 Gy, Penil Bulb; D3cc<14 Gy ve Dmax<34Gy değerleri kullanılmıştır. Son olarak, her iki planın tedavi ışınlama süreleri de ayrıca analiz edilmiştir. Kantitatif karşılaştırma analizi için Wilcoxon-Rank anlamlılık testi uygulanmıştır. Ayrıca Ethos sisteminden elde edilen 3 farklı planın kendi içerisinde istatistiksel olarak anlamlı farkın olup olmadığı Kruskal-Wallis H testi kullanılarak analiz edilmiştir.

Bulgu: Rektum ve mesane doz toleransları açısından, MR-Linac tedavi planları, Ethos 9, 12 alan IMRT ve 3 ark VMAT planlarına göre istatistiksel olarak anlamlı fark yaratmıştır. MR-Linac 27 alan IMRT, Ethos 9, 12 alan IMRT ve Ethos 3 ark VMAT tedavi planlarının ortalama ışınlama süreleri sırasıyla 16 dk, 5,5 dk, 6 dk ve 5 dk olarak bulunmuştur. Ethos planlarının ışınlama süresi MR-Linac ışınlama süresinden düşüktür ve farklar istatistiksel olarak anlamlıdır. MR-Linac ve Ethos planlarındaki PTV'lerin V%50 doz hacimleri karşılaştırıldığında MR-Linac 27 alan planları, Ethos 9, 12 alan IMRT planlarına göre istatistiksel olarak anlamlı bulunmuştur, Ethos 3 ark VMAT planları ile benzerlik göstermiştir. Ethos'un 3 farklı tedavi planları, tüm karşılaştırma parametrelerine göre değerlendirildiğinde 3 ark VMAT planları V%50 doz hacimlerinde 9 ve 12 alan IMRT planlarına göre istatistiksel olarak anlamlı fark elde etmiştir. Ethos planlama sisteminde optimizasyon yeterince kontrol edilemediği için rektum, mesane dozları istenildiği kadar şekillendirilememektedir, bunun sonucunda Ethos planlarındaki PTV'lerin CI değerleri daha yüksek elde edilmiştir.

MR-Linac ve Ethos planlama sistemlerinde elde edilen planların; PTV, mesane ve rektum değerlendirme kriterleri arasında içlerinde anlamlı fark olan (p < 0,05) kabul kriterleri aşağıdaki gibidir:

Kriter	MR-Linac		Ethos		MR-Linac		Ethos		MR-Linac		Ethos	
	27 alan IMRT	9 alan IMRT	27 alan IMRT	9 alan IMRT	27 alan IMRT	12 alan IMRT	27 alan IMRT	9 alan IMRT	27 alan IMRT	3 ark VMAT	27 alan IMRT	9 alan IMRT
CI	0,889	1,039	p<0,000	0,849	1,033	p<0,000	0,849	1,034	p<0,000	0,849	1,034	p<0,000
V<50% Rektum	2,222	4,000	p<0,000	2,222	4,000	p<0,000	2,222	4,000	p<0,000	2,222	4,000	p<0,000
MESANE												
V<50%	15,483	15,472	p=0,000	15,483	15,479	p=0,000	15,483	15,472	p=0,000	15,483	15,472	p=0,000
D<35% Rektum	12,250	20,344	p<0,000	12,250	19,250	p<0,000	12,250	17,250	p<0,000	12,250	17,250	p<0,000
D<20% Mesane	20,250	20,000	p=0,000	20,250	20,0	p=0,000	20,250	20,000	p=0,000	20,250	20,000	p=0,000
D<15% Mesane	19,250	19,000	p=0,000	19,250	19,000	p=0,000	19,250	19,000	p=0,000	19,250	19,000	p=0,000
D<10% Mesane	18,250	18,000	p=0,000	18,250	18,000	p=0,000	18,250	18,000	p=0,000	18,250	18,000	p=0,000
D<5% Mesane	16,250	16,132	p<0,001	16,250	16,132	p<0,001	16,250	16,132	p<0,001	16,250	16,132	p<0,001
PENİL BULB												
D<35%	21,000	21,000	p=0,000	21,000	21,000	p=0,000	21,000	21,000	p=0,000	21,000	21,000	p=0,000
D<20%	21,000	20,000	p<0,000	21,000	20,000	p<0,000	21,000	20,000	p<0,000	21,000	20,000	p<0,000
D<15%	21,000	20,000	p<0,000	21,000	20,000	p<0,000	21,000	20,000	p<0,000	21,000	20,000	p<0,000
D<10%	20,000	20,000	p=0,000	20,000	20,000	p=0,000	20,000	20,000	p=0,000	20,000	20,000	p=0,000

MR-Linac ve Ethos planlama sistemlerinde elde edilen planların V%50 doz hacimleri şekildeki gibidir:



Sonuç: Prostat kanseri tedavisinde stereotaktik yaklaşım son dönemde yaygınlaşmış olup, gelişen teknoloji ile adaptif radyoterapi kullanımı ön plana çıkmıştır. Kritik organlar ve hedef hacim kabul kriterleri bakımından iki cihaz için yapılan planlamalar kabul değerleri içindedir. Ancak MR-Linac cihazının yüksek ve orta doz bölgesinde keskin doz düşüşü sağlaması avantaj sağlamaktadır. MR-Linac cihazı görüntüleme ve gerçek zamanlı takip, Ethos cihazı ise hızlı tedavi süresi açısından ön plana çıkmaktadır.



Radyonüklid Tedavi Lezyon Dozimetresinde Hacim Belirleme Parametrelerinin Optimizasyonu

Eda Mutlu¹, Bilal Kovan², Bayram Demir³, Serkan Kuyumcu²

¹Altınbaş Üniversitesi, Sağlık Hizmetleri Meslek Yüksekokulu, Radyoterapi Programı

²İstanbul Üniversitesi, İstanbul Tıp Fakültesi, Nükleer Tıp Ana Bilim Dalı

³İstanbul Üniversitesi, Fen Fakültesi, Fizik Bölümü

Eda Mutlu / Altınbaş Üniversitesi, Sağlık Hizmetleri Meslek Yüksekokulu, Radyoterapi Programı

Amaç: Radyonüklid tedavilerde Medical Internal Radiation Dose metodu ile lezyon dozimetrisi birim küre modeli ile hesaplanmaktadır. Lezyonlar küre şeklinde kabul edilir ve kendi içerisindeki aktivitenin aktardığı enerji hesaplanır. Hesaplamanın doğruluğu için kürenin doğru ölçülmesi önemlidir. Bazı lezyonlar bilgisayarlı tomografide görüntülenememektedir, bu durumda aktivite tutan lezyonların kütleleri SPECT görüntüleri yardımıyla hesaplanır. Aktivite tutulumu olan bölgenin sınırlarının belirlenmesinde threshold değeri %40 yaygın kullanılmaktadır. Fakat doğru lezyon hacim tanımlamasını sağlayan tek bir eşik değeri yoktur. Bu çalışmanın amacı; lezyon hacimlerini bildiğimiz fantom yardımıyla, lezyon boyutu ile threshold değerleri arasındaki bağlantıyı incelemek, doğru hacimleri verecek threshold değerlerini belirlemektir.

Yöntem: Görüntüleme altı farklı hacimde (26,5 cm³, 11,5 cm³, 5,57 cm³, 2,57 cm³, 1,15 cm³, 0,52 cm³) doldurulabilir küreye sahip NEMA PET fantomu kullanıldı. 1250 ml su içerisine 20 mCi ¹⁷⁷Lu konuldu ve homojen karışımı sağlandı. Küreler bu aktivite karışımı ile dolduruldu. Fantomun geri kalanı 1/8 oranında background/lezyon aktivitesi olacak şekilde aktivite ile dolduruldu. Hazırlanan fantomun farklı frame ve sürelerde SPECT/CT görüntülemesi yapıldı. Görüntü prosesleri farklı iterasyon, subset ve power değerleri ile yapıldı. Elde edilen görüntülerde her lezyon için threshold özelliği kullanılarak Region of Interest (ROI)'ler çizildi. Gerçek hacimlerini bildiğimiz lezyonların hacimlerini veren threshold değerleri ve bu değerdeki sayımlar ölçüldü. Elde edilen veriler doğrultusunda en uygun proses değerleri ve threshold değerleri saptandı.

Bulgu: 0,52 cm³ hacimli küre görüntüsü elde edilememiştir. Kliniğimizde rutin olarak kullanılan parametreler olan 60 frame ve 20 s görüntüsü için, 2 iterasyon, 10 subset ve 10 powerda %40 threshold değeri ile sırasıyla küre hacimleri 26,9 cm³, 14,3 cm³, 26 cm³, 15,2 cm³, 10,8 cm³ olarak ölçüldü. Aynı parametrelerde doğru hacimleri sırasıyla, %39, %51, %54, %60, %77' threshold değerleri kullanarak saptadık. İterasyon değeri artışı ile hacim ilişkisine baktığımızda, büyük lezyonlarda bu artış gerçek hacimden uzaklaştırırken, küçük lezyonlarda gerçek hacim değerine yaklaştırarak hata payı azalmaktadır. Subset değeri artışı ile hacim arasındaki ilişkide 60 frame çekimlerinde, 10 ve 20 subset için küçük lezyonlar görüntülenebilirken, 30 subset için görüntülenememektedir. 90 frame çekimlerinde sayım artışıyla küçük lezyonların görülebilirliği artmıştır. Power parametresi değişiminde, 20 ve 10 saniyelik görüntülemelerde power artışında küçük lezyonların görülebilirliği azalmaktadır. 20 sn'de 2. lezyon (1,15 cm³) görüntülenirken, 10 sn'de sayımın azalması ile de birlikte 2. lezyon görüntülenememektedir. 60 frame 20 s ve 10 s için, gerçek hacim ve threshold %40 hacimlerine göre lezyonların sayımlarını incelediğimiz bir örnek sette, 20 s için sonuçların daha uyum içinde olduğu görülmüştür.

Sonuç: Elde ettiğimiz sonuçları değerlendirdiğimizde, hacim belirleme parametrelerinin tüm kombinasyonlarında lezyon hacmi küçüldükçe threshold değeri artmaktadır. Bu nedenle, her lezyon için threshold %40 değerini kullanmak lezyon hacmini yanlış hesaplamamıza ve dozimetrik hesaplamalarda hataya neden olacaktır. Küçük hacimlerde, sabit subset ve power değerinde iterasyon sayısının artırılması doğru hacmi elde etmemiz için uygun bir yaklaşım olmaktadır. Kısa süreli çekimlerde lezyon görünürlüğünü arttırmak ve doğru hacim için yüksek power değeri kullanılması gerekir. Ayrıca dozimetri yapan klinikler kendi çekim parametrelerine göre lezyon boyutuna uygun threshold değerlerini tespit etmesi dozimetrisinin doğruluğu açısından önem taşımaktadır.

Anahtar Kelimeler: Lezyon Dozimetrisi, SPECT/CT, Threshold



Tiroid Kanseri Radyoaktif İyot Tedavisi Sonrası Tüm Vücut Görüntülemesinde İdeal Çekim Zamanının Belirlenmesi Üzerine Bir Çalışma

Serdar Sedat Işık¹

¹T.C. Demiroğlu Bilim Üniversitesi Sağlık Hizmetleri Meslek Yüksek Okulu Tıbbi Hizmetler ve Teknikler Bölümü Nükleer Tıp Teknikleri Önlisans Programı, 34394, Şişli/İstanbul

²İstanbul Florence Nightingale Hastanesi Nükleer Tıp Bölümü, 34381, Şişli/İstanbul

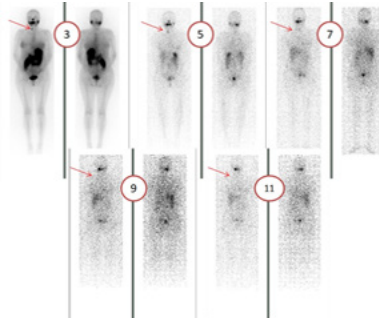
Serdar Sedat Işık / T.C. Demiroğlu Bilim Üniversitesi Sağlık Hizmetleri Meslek Yüksek Okulu Tıbbi Hizmetler ve Teknikler Bölümü Nükleer Tıp Teknikleri Önlisans Programı, 34394, Şişli/İstanbul

Amaç: Nükleer tıp görüntüleme sistemlerinde görüntü kalitesi ve lezyon deteksiyonu oldukça önemli bir husustur. Bu çalışmada, diferansiye tiroid kanseri tanımlı hastalarda radyoaktif iyot tedavisini takiben farklı günlerde gama kamera ile yapılan görüntülemelerde görüntü kalitesinin en yüksek olduğu ve lezyonların en iyi ayırt edilebildiği; gürültü değerinin düşük, lezyon kontrastının (C) ve kontrast-gürültü oranının (CNR) en yüksek olduğu çekim zamanının belirlenmesi amaçlanmaktadır.

Yöntem: Çalışmada, diferansiye tiroid kanseri tanısı konmuş, cerrahi operasyon geçirmiş ve sonrasında radyoaktif iyot tedavisi alan 40 hastada, radyoaktif iyot tedavisini takip eden 3. günden 12. güne kadar 2'şer gün aralıklarla 5 kez gama kamera ile görüntüleme yapılmıştır. Farklı günlerde alınan görüntüler için elde edilen gürültü, kontrast ve kontrast-gürültü oranı gibi parametrelere ilişkin sonuçlar karşılaştırılarak analiz edilmiştir. Böylece hastalarda kalan bakiye tiroid dokularının ve eğer varsa lenf ve uzak organ metastazlarının en iyi görüntülenebildiği zamanın belirlenmesi amaçlanmıştır. Görüntüleme işlemi HEGP kolimatörü kullanılarak I131 için 364 keV tepe noktası ve %15 pencere genişliği ile tüm vücut görüntülemesinde ise yatak hızı 6 cm/dk olacak şekilde gerçekleştirilmiştir.

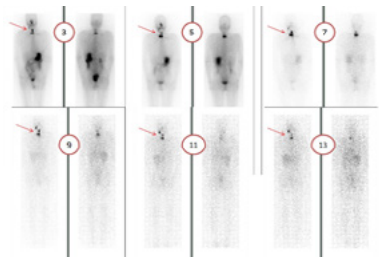
Bulgular: Elde edilen görüntüler değerlendirilerek lezyonların en iyi ayırt edilebildiği, en iyi görünümü veren, en yüksek kontrastta, en yüksek kontrast-gürültü oranında ve gürültüsü en düşük olan ideal çekim zamanının belirlenmesi için bulgular analiz edilmiştir. Radyoaktif iyot tedavisini takip eden 3.günde yapılan çekimlerde gürültü değerinin en düşük olduğu, küçük bakiye tiroid dokusunun daha iyi görüntülenebildiği tespit edilmiştir. Olası lenf ve uzak organ metastazlarının bazı hastalarda erken ya da geç günlerde yapılan görüntülemelerde tespit edilebildiği bazı hastalarda ise tedaviden sonraki geç günlerde (7., 9. ve 11.günlerde) yapılan çekimlerde dahi kontrast-gürültü oranının yüksek olduğu ve iyi görüntülenebildiği bulunmuştur. Tedaviden sonraki geç günlerde ise gürültünün artması nedeniyle bakiye tiroid dokusunda kontrastın, kontrast-gürültü oranının düştüğü ve bu dokuların görüntülenemez hale gelebildiği, bunun yanında lenf ve uzak organ metastazlarının ise daha iyi detekte edilebildiği görülmektedir (Fotoğraf 1, Fotoğraf 2 ve Fotoğraf 3).

Fotoğraf 1



100 mCi radyoaktif iyot tedavisi gören bir hastanın tedaviden sonraki sırasıyla 3., 5., 7., 9. ve 11.günlerdeki anterior-posterior tüm vücut görüntülemesi. Geç günlerde yapılan görüntülemelerde kalıntı tiroid dokunun 5. gün görüntülemeden sonra detekte edilemez hale geldiği görülüyor.

Fotoğraf 2





19. ULUSAL MEDİKAL FİZİK KONGRESİ

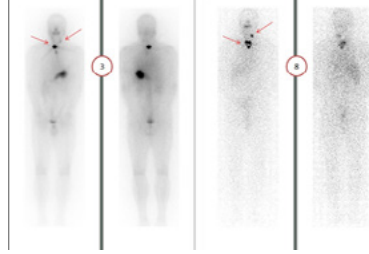
02-05 KASIM 2023



SÖZLÜ BİLDİRİLER

150 mCi radyoaktif iyot tedavisi gören bir hastanın tedaviden sonraki sırasıyla 3., 5., 7., 9., 11. ve 13.günlerdeki anterior-posterior tüm vücut görüntülemesi. Geç günlerde yapılan görüntülemelerde kalıntı tiroid dokuların deteksiyonunun azaldığı, boyun sağ tarafta bulunan lenf metastazını düşündüren lezyonun ise daha iyi detekte edilebilir hale geldiği görülmüştür.

Fotoğraf 3



150 mCi radyoaktif iyot tedavisi gören bir hastanın tedaviden sonraki sırasıyla 3. ve 8.günlerdeki anterior-posterior tüm vücut görüntülemesi. 3.günde yapılan görüntülemelerde mediastende tek lezyon gibi detekte edilen lezyonun 8.günde yapılan görüntülemelerde yakın mesafede bulunan üç ayrı lezyon olduğu görülmüştür. Boyun sol tarafta lenf metastazını düşündüren bir lezyonun erken görüntülemelerde detekte edilemezken geç görüntülemelerde detekte edilebilir hale geldiği görülmüştür.

Sonuç: Literatürde tiroid kanserinin radyoaktif iyot tedavisini takiben farklı günlerde sintigrafik görüntüleme yapılması tavsiye edilmiş olsa da, ideal çekim gününün belirlenmesi için kontrast, kontrast-gürültü oranı ve gürültü parametrelerini göz önüne alarak değerlendiren ayrıntılı çalışmaların eksikliği görülmektedir. Farklı uygulama kılavuzlarında ve araştırmalarda tedavi sonrasında görüntülemenin yapılabileceği zaman aralığının belirtildiği, ancak genel kabul görmüş belirli bir çekim gününün ve yöntemin önerilmediği görülmektedir. Bu çalışmada, tiroid kanserinin radyoaktif iyot tedavisi sonrasında ideal çekim gününün belirlenmesi hedeflenmiştir. Sonuç olarak, 3.günde yapılan çekimlerde gürültünün düşük olduğu ve küçük bakiye tiroid dokusunun daha iyi görüntülenebildiği görülmektedir. Tedaviden sonraki geç günlerde (7., 9. ve 11.günlerde) yapılan çekimlerde olası lenf ve uzak organ metastazlarının iyi görüntülenebildiği ancak bakiye tiroid dokusunun görüntülenemez hale gelebildiği görülmüştür. Özellikle orta ve yüksek risk grubundaki hastalarda farklı günlerde görüntüleme yapmanın hastalardaki ek bulguların tespit edilmesinde yararlı olacağı görüşüne varılmıştır.



Hipertiroidi Tedavisinde Radyoyot (I-131) Dozimetrisinin Etkinliği

Gamze Berk¹, Muhammed Medyenoğlu², Mustafa Demir²

¹Şişli Hamidiye Etfal Eğitim ve Araştırma Hastanesi, Nükleer Tıp Bölümü, İstanbul

²İstanbul Üniversitesi- Cerrahpaşa, Cerrahpaşa Tıp Fakültesi, Nükleer Tıp Ana Bilim Dalı, İstanbul

Gamze Berk / Şişli Hamidiye Etfal Eğitim ve Araştırma Hastanesi, Nükleer Tıp Bölümü, İstanbul

Amaç: Hipertiroidi tedavisinde radyoyot (I-131) tedavisinin etkinliği araştırmak ve diğer yöntemlerle karşılaştırmaktır.

Yöntem: Bu çalışma İÜ-C, Cerrahpaşa Tıp Fakültesi Nükleer Tıp Anabilim Dalında yapıldı. Dozimetri çalışmasına 30 Graves hastası (K: 22 yaş: 49±21, E: 89 yaş 54±17), 15 toksik adenom (K:9 yaş 53±16, E: 6 yaş 56±18) hastası alındı. Hastalara aç olarak 10 µCi I-131 oral yolla uygulandı. 24, 48, 72, 96, 120 saatlerde alınan uptake sayım ölçümleri yarı logaritmik kağıda çizilerek efektif yarılanma süreleri bulundu. Ultrasonla tiroit kütleleri belirlendi. Kalış süreleri hesaplandı. Graves hastalarına 200 Gy, toksik adenom hastalarına 300 Gy doz verecek I-131 aktiviteleri MIRD formülü kullanılarak hesaplandı ve hastalara uygulandı.

Bulgu: Graves hastalarının tedavi öncesi ortalama±SD değerleri T3:6.73±3.6pg/ml, T4: 3.7±2ng/ml ve TSH: 0.1±0.01mIU/ml bulundu. Toksik adenom hastalarının tedavi öncesi ortalama±SD değerleri T3:7.72±3pg/ml, T4: 4.1±2ng/ml ve TSH: 0.1±0.001mIU/ml bulundu. Tüm hastaların tedavi sonrası ortalama±SDdeğerleri T3:3.2±1.2pg/ml, T4: 1.7±0.4ng/ml ve TSH: 0.34±0.1mIU/ml bulundu. Tiroit kütleleri, efektif yarılanma süresi, rezidens süresi, uygulanan aktivite miktarları Tablo 1 de verildi.

Tablo.1: Hastalarımızın; tiroit kütleleri, efektif yarılanma süresi, rezidens süresi, uygulanan aktivite miktarları

Parametre	Graves (n=30) (Ort ± SD)	Toksik Adenom (n=15) (Ort ± SD)
Tiroid Kütleli (g)	28214	37231
Effektif Yarı Ömür (sa)	138±41	110±48
Kalış Süresi (saat)	125±55	93±52
Aktivite (MBq)	326±119M Bq (14.7±5.0 mCi)	307±244M Bq (14.4±10.6 mCi)
SONUÇLAR (3-6 ay sonra ölçüldü) (n=27)	29/30 hasta (%97)	15/15 (%100)

Sonuç: Hipertiroidi tedavisinde dozimetrisinin başarısı 44/45 (%98) olarak belirlendi.



SÖZLÜ BİLDİRİLER

İntrensek Homojenite Değişikliğine Neden Olan Ring Kablo Sorunu ve Giderilmesi: Tüm Vücut Kemik Sintigrafisi Çalışmasında Gözlenen Değişken Homojenite Vakası

Serdar Sedat Işık¹

¹T.C. Demiroğlu Bilim Üniversitesi Sağlık Hizmetleri Meslek Yüksek Okulu Tıbbi Hizmetler ve Teknikler Bölümü Nükleer Tıp Teknikleri Önlisans Programı, 34394, Şişli/İstanbul

²İstanbul Florence Nightingale Hastanesi Nükleer Tıp Bölümü, 34381, Şişli/İstanbul

Serdar Sedat Işık / T.C. Demiroğlu Bilim Üniversitesi Sağlık Hizmetleri Meslek Yüksek Okulu Tıbbi Hizmetler ve Teknikler Bölümü Nükleer Tıp Teknikleri Önlisans Programı, 34394, Şişli/İstanbul

Amaç: Gama kamera sistemlerinin görüntü kalitesinin bozulmasına neden olan sistemin yapısından ve dışarıdan kaynaklanan birçok etken vardır. Bu çalışmada, bir hastanenin nükleer tıp bölümünde kullanılan çift başlı SPECT gama kameranın tüm vücut kemik sintigrafisi çalışmasında anterior-posterior tüm vücut taramasında 1.detektörde elde edilen görüntüde baş-boyun bölgesinde yer alan, yapılan anterior-posterior planar görüntülemelerde de hastanın vücut hatları ile uyumlu olmayan artefakt ile bu artefakta neden olup kameranın intrinsek homojenitesinde değişikliğe yol açan ring kablo sorununu örnek göstererek görüntü kalitesi açısından önemini vurgulamayı amaçladık.

Yöntem: Bir hastanenin nükleer tıp anabilim dalında günlük çalışma öncesi çift başlı SPECT gama kamerada yapılan peaking/tuning testleri ile intrinsek homojenite testinin görsel ve kantitatif olarak normal olduğu bir çalışma gününde tüm vücut kemik sintigrafisi tetkikleri yapıldı. Hastalara 20 mCi Tc99m metilen difosfonat (MDP) intravenöz olarak verildikten yaklaşık 3-4 saat sonra her hastanın anterior-posterior tüm vücut tarama ve ilgili bölgelerinden anterior-posterior planar görüntülemesi yapıldı. Görüntülemeler ise; yatak hızı 10 cm/dakika olacak şekilde tüm vücut tarama, 500.000'er foton toplayacak şekilde planar görüntüleme şeklinde yapıldı.

Bulgular: Bir hastanın tüm vücut anterior-posterior taramasında 1.detektör ile elde edilen anterior görüntüsünde hastanın baş-boyun bölgesine karşılık gelen kısımda vücut hatları ile uyumlu olmayan artefaktlı görünüm ve veri kayıpları mevcuttu (Fotoğraf 1). Benzer şekilde hastanın toraks ve pelvis bölgesinden yapılan planar görüntülemesinde 1.detektör ile elde edilen görüntüde ilgili artefaktın yer aldığı ve görüntü kalitesinin oldukça kötü olduğu görüldü (Fotoğraf 2). Kameranın intrinsek homojenitesinin değiştiği düşünülerek kalite kontrol testlerinin yapılması planlandı. Testlere geçilmeden önce kamera detektörü 180° çevrilerek (1.detektör posteriordan, 2.detektör anteriordan foton toplayacak şekilde ayarlanarak) ilgili bölgelerin planar görüntüleri tekrardan alındı. Yapılan baş-boyun, toraks ve pelvis bölgesi planar görüntülerinde daha önceden 1.detektör ile elde edilen anterior görüntülerde gözlenen artefaktların kaybolduğu görüldü (Fotoğraf 3). Detektörlerin pozisyonuna göre 1.detektör ile elde edilen görüntüde artefaktın kaybolması ve değişen görüntü kalitesi nedeniyle bu duruma neden olabilecek problemler araştırıldı. Servis mühendisleri ile yapılan görüşme neticesinde ilgili problemin kart arızasına bağlı olabileceği düşünüldü. Gama kameranın 1.detektöründe yapılan incelemede, detektörün üst kısmını örten aparatlar söküldüğünde detektörü besleyen ring kabloda hasarın olduğu, kabloda yer alan iletkenlerin de hasarlı olduğu görüldü (Fotoğraf 4). Bu nedenle bu detektörde elde edilen görüntülerdeki artefaktın nedeninin; detektörlerin değişen pozisyonu ile birlikte hasar gören bu kablonun çevredeki yapılarla temas ederek kısa devre olması ile kablodan geçen akımın voltajındaki değişikliğe bağlı olarak (ilgili foton çoğaltıcı tüplerin voltajının değişmesi ile) kameranın intrinsek homojenitesinde değişikliğe neden olması şeklinde düşünüldü. İlgili kablo onarılarak, kalite kontrol testleri yapılarak deneme görüntülemeleri yapıldı. Bunun sonucunda homojen ve kaliteli görüntüler elde edildi ve ilgili artefaktın tamamen kaybolduğu görüldü.

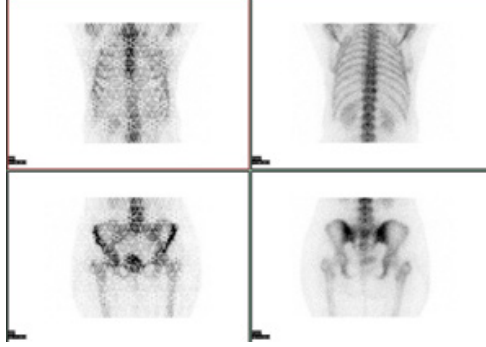
Fotoğraf 1



Bir hastanın tüm vücut anterior-posterior görüntüsü. 1.detektör ile elde edilen anterior görüntüsünde hastanın baş boyun bölgesine karşılık gelen kısımda vücut hatları ile uyumlu olmayan artefaktlı görünüm ve veri kayıpları mevcut.

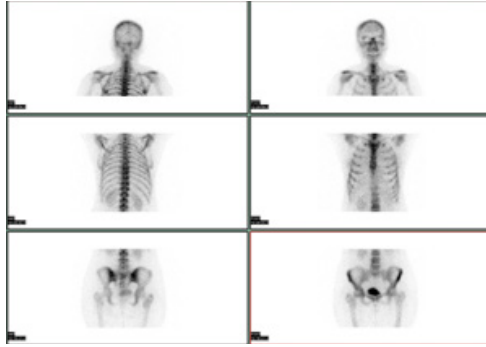
SÖZLÜ BİLDİRİLER

Fotoğraf 2



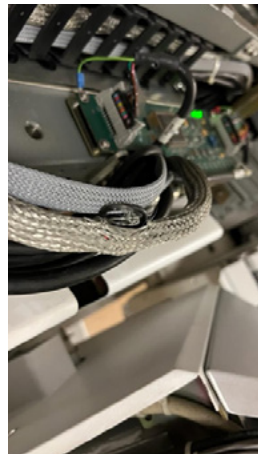
Hastanın toraks ve pelvis bölgesinden yapılan anterior-posterior planar görüntülemesinde 1.detektör ile elde edilen anterior görüntüde ilgili artefaktın yer aldığı ve görüntü kalitesinin oldukça kötü olduğu görülmektedir.

Fotoğraf 3



Gama kamera detektörleri 180° çevrilerek (1.detektör posteriordan, 2.detektör anteriordan foton toplayacak şekilde ayarlanarak) yapılan baş-boyun, toraks ve pelvis bölgesi planar görüntülerinde daha önceden 1.detektör ile elde edilen anterior görüntülerde gözlenen veri kayıplarının ve artefaktların kaybolduğu görülmüştür.

Fotoğraf 4



Gama kameranın 1.detektöründe detektörün üst kısmını örten aparatlar söküldüğünde ilgili kapağın detektörü besleyen ring kabloda hasara neden olduğu, kablo içerisinde yer alan iletkenlerin de hasarlı olduğu görülmüştür.

Sonuç: Hastalıkların tanısına yönelik olarak doğru klinik bilgilerin elde edilmesi için görüntüleme sisteminin performansındaki değişimlerin hasta görüntülemesinden önce ortaya çıkartılması ve gerekli düzenlemelerin yapılması büyük önem taşımaktadır. Gama kamera sistemlerinin görüntü kalitesinin bozulmasına neden olan gerek sistemin yapısından gerekse çevreden kaynaklanan oldukça fazla etken vardır. Bu olgu sunumunda da çift başlı SPECT gama kameranın 1.detektöründe meydana gelen ve kameranın intrinsek homojenitesinde değişikliğe yol açan, kart arızasına bağlı olduğu düşünülen ancak yapılan fiziksel kontrollerde ring kablo defektinin olduğu ve değişken intrinsek homojenite sorunu ile sonuçlandığı, ilgili kablonun onarılmasıyla sorunun giderilmesi örnek gösterilerek fiziksel kontrollerin önemli bir husus olduğu ve akılda tutulması önerilmektedir.



SÖZLÜ BİLDİRİLER

Pediyatrik Bilgisayarlı Tomografi Taramalarında CNR, Gürültü ve IQFinv Ölçümlerinin Farklı Kesit Elde Etme Algoritmalarında Değerlendirilmesi

Ahmet Özgür Kasapgil¹, Berfin Yıldırım¹, Asena Yalçın¹, İsmail Fındıklı², Ömer Suat Fitoz³, Gökçe Kaan Ataç⁴, Mehmet Ruhi Onur⁵, Öznur Leman Boyunağa⁶, İbrahim Tanzer Sancak⁷, Turan Olğar⁸

¹Ankara Üniversitesi Nükleer Bilimler Enstitüsü Medikal Fizik ABD

²Ankara Yıldırım Beyazıt Üniversitesi Sağlık Hizmetleri MYO

³Ankara Üniversitesi Tıp Fakültesi Cebeci Eğitim ve Araştırma Hastanesi, Radyoloji ABD

⁴Ufuk Üniversitesi Tıp Fakültesi Dr. Rıdvan Ege Hastanesi, Radyoloji ABD

⁵Hacettepe Üniversitesi Tıp Fakültesi Radyoloji ABD

⁶Gazi Üniversitesi Tıp Fakültesi Radyoloji ABD

⁷TOBB ETÜ Hastanesi Radyoloji ABD

⁸Ankara Üniversitesi Mühendislik Fakültesi Fizik Mühendisliği Bölümü

Ahmet Özgür Kasapgil / Ankara Üniversitesi Nükleer Bilimler Enstitüsü Medikal Fizik ABD

Amaç: Bilgisayarlı Tomografi (BT) kısa tarama süresi, yüksek teşhis doğruluğu ve düşük kontrast ayırma gücünün yüksek olması sebebiyle görüntüleme yöntemleri arasında önemli bir yere sahiptir. Bu avantajların yanı sıra diğer x-ışın görüntüleme sistemlerine kıyasla BT'de hastaların maruz kaldığı radyasyon doz seviyesi çok daha yüksektir. Özellikle çocuk hastalarda radyasyona bağlı kanser hastalığının ortaya çıkması, beklenen uzun yaşam süreleri nedeniyle yetişkinlere göre birkaç kat daha fazladır. Bu nedenle çocuk BT incelemelerinde görüntü kalitesi-doz optimizasyonu kritik önem taşımaktadır. Bu çalışmada BT cihazlarının mevcut protokollerinde görüntü kalitesi değerlendirilmesi yapılmış ve ileride yapılacak görüntü kalitesi radyasyon dozu korelasyonu çalışmalarına zemin hazırlaması amaçlanmıştır. Çalışma kapsamında 4-6 yaş çocuk hastaların abdomen, toraks ve kafa protokollerinde filtre geriye projeksiyon (FGP) ve iteratif kesit elde etme algoritmasının (IR) her seviyesinde ölçümler alınarak kesit elde etme algoritmalarındaki değişimin görüntü kalitesine etkisi araştırılmıştır.

Yöntem: Görüntü kalitesinin değerlendirilmesi amacıyla CNR, gürültü ve IQFinv parametreleri beş hastanede altı farklı BT sisteminde abdomen, toraks ve kafa incelemeleri için klinikte kullanılan mevcut protokoller kullanılarak hesaplanmıştır. Ortalama mAs değeri, çalışma kapsamına giren yaş ve inceleme grubundaki hastaların ortalaması alınarak belirlenmiştir. Belirlenen klinik protokoller ile alınan ölçümlerde her cihazın kendine özel IR'nin tüm iterasyon seviyeleri ve FGP tekniği için değerlendirme yapılmıştır. CNR ve gürültü hesabı için çocuk abdomen ve toraks inceleme klinik protokollerinde taranan QRM çocuk fantomuna entegre edilen düşük kontrast modülünde yer alan 10 mm çapındaki disk görüntüleri kullanılmıştır. Kafa incelemeleri için CNR ve gürültü değerlendirmelerinde Catphan 600 fantomu kullanılmıştır. Fizikofiziksel değerlendirme için Catphan 600 fantomunun düşük kontrast modülü kullanılarak IQFinv hesaplanmıştır. IQFinv hesabı üç farklı gözlemci değerlendirmelerinin ortalaması alınarak gerçekleştirilmiştir.

Bulgu: Ankara Üniversitesi Tıp Fakültesi Philips BT Sisteminde, Toraks protokolündeki ölçümlerde FGP için CNR, gürültü ve IQFinv değerleri sırasıyla 3,40; 6,23; 5,87 'dir. IR algoritmasında artan iterasyon seviyeleri için CNR 3,78-5,86 , gürültü 5,53-3,45 , IQFinv 5,94-6,78 aralığında değişim göstermiştir. Abdomen protokolündeki ölçümlerde FGP için CNR, gürültü ve IQFinv değerleri sırasıyla 5,71; 4,48; 5,44 'dir. IR algoritmasında artan iterasyon seviyeleri için CNR 6,42-10,66 , gürültü 3,96-2,35 , IQFinv 6,49-7,31 aralığında değişim göstermiştir. Kafa protokolündeki ölçümlerde FGP için CNR, gürültü ve IQFinv değerleri sırasıyla 4,08; 2,28; 11,91 'dir. IR algoritmasında artan iterasyon seviyeleri için CNR 4,27-6,49 , gürültü 2,19-1,44 , IQFinv 12,61-13,53 aralığında değişim göstermiştir. Değerlendirilmesi yapılan diğer cihazlarda da benzer sonuçlar gözlenmiştir. Burada örnek olarak tek cihaza ait bulgular verilmiştir.

Sonuç: FGP tekniği ile ölçülen gürültü seviyesi iteratif tekniklere göre daha yüksek çıkmıştır. Artan iterasyon seviyesiyle gürültü azalırken CNR ve IQFinv değeri artmaktadır. FGP için elde edilen IQFinv değerleri IR sonuçlarına göre daha düşüktür. Bu çalışma 122F015 kodlu "Pediyatrik Bilgisayarlı Tomografi İncelemelerinde Görüntü Kalitesinin Farklı Yöntemlerle Ölçülmesi, Yöntemler Arasındaki Korelasyonun Belirlenmesi ve Radyasyon Dozu ile İlişkinin Araştırılması" başlıklı TÜBİTAK 1001 projesi kapsamında gerçekleştirilmiştir. Anahtar Kelimeler: Bilgisayarlı Tomografi, Görüntü Kalitesi, Pediyatri



19. ULUSAL MEDİKAL FİZİK KONGRESİ
02-05 KASIM 2023



SÖZLÜ BİLDİRİLER

Bilgisayarlı Tomografi (BT)'de İteratif Kesit Elde Etme (Iterative Reconstruction, IR) Algoritmalarının TTF (Task Transfer Function) ve NPS (Noise Power Spectrum) Üzerindeki Etkisi

İsmail Fındıklı¹, Ahmet Özgür Kasapgil², Berfin Yıldırım², Asena Yalçın², Ömer Suat Fitöz³, İbrahim Tanzer Sancak⁴, Öznur Leman Boyunaga⁵, Mehmet Ruhi Onur⁶, Kaan Gökçe Ataç⁷, Turan Olğar⁸

¹Ankara Yıldırım Beyazıt Üniversitesi Sağlık Hizmetleri MYO, Ankara.

²Ankara Üniversitesi Nükleer Bilimler Enstitüsü Medikal Fizik ABD, Ankara.

³Ankara Üniversitesi Tıp Fakültesi Cebeci Eğitim ve Araştırma Hastanesi Radyoloji ABD, Ankara.

⁴TOBB ETÜ Hastanesi Radyoloji ABD, Ankara.

⁵Gazi Üniversitesi Tıp Fakültesi Radyoloji ABD, Ankara.

⁶Hacettepe Üniversitesi Tıp Fakültesi Radyoloji ABD, Ankara.

⁷Ufuk Üniversitesi Dr. Rıdvan Ege Hastanesi, Radyoloji ABD, Ankara.

⁸Ankara Üniversitesi Mühendislik Fakültesi Fizik Mühendisliği Bölümü, Ankara.

İsmail Fındıklı / Ankara Yıldırım Beyazıt Üniversitesi Sağlık Hizmetleri MYO, Ankara.

Amaç: Yüksek teşhis doğruluğu, erişilebilirlik ve kısa tarama süreleri nedeniyle BT'nin klinikteki kullanımını hızla arttırmıştır. BT'nin iki boyutlu x-ışın ile görüntülemeye göre en büyük avantajı, tomografik görüntü sağlaması nedeniyle düşük kontrastlı lezyonların görüntülenmesini sağlamasıdır. BT'nin artan kullanımı hastalıkların teşhisinde büyük ilerlemelere yol açsa da diğer diagnostik görüntüleme sistemlerine göre daha yüksek radyasyon dozları vermesi nedeniyle hasta güvenliği açısından artan endişeleri de getirmiştir. BT'den kaynaklı radyasyon dozu, dünya genelinde tıbbi kaynaklı radyasyon dozunun neredeyse %50'sini oluşturmaktadır. Son yıllardaki çalışmalar, BT sistemlerinde kullanılan iteratif görüntü elde etme algoritmalarının (IR) görüntü kalitesi ve radyasyon dozu üzerindeki etkisine yoğunlaşmaktadır. Bu çalışma kapsamında farklı marka model BT sistemlerinde kullanılan IR algoritmalarının çözünürlük ve gürültü üzerindeki etkisi araştırılacaktır. IR algoritmaları potansiyel olarak doğrusal değildir. Sistem gürültüsü ve çözünürlüğü, gürültü büyüklüğü ve nesne kontrastına göre değişebilir. IR'nin doğrusal olmama özelliğini dikkate almak için, sistem çözünürlüğünün bir göstergesi olan Modülasyon Transfer Fonksiyonu (MTF) yerine, kontrast ve gürültüye bağlı TTF tanımlanmıştır. Sistem gürültüsünün bir göstergesi olarak da NPS tanımlanmıştır. İdeal olarak, CT veri seti üç boyutlu (3B) olduğundan, gürültü ve çözünürlük karakterizasyonları da doğası gereği 3B olmalıdır.

Yöntem: Çalışma çeşitli hastanelerde bulunan 4 farklı marka model BT sisteminde gerçekleştirilmiştir. Her bir BT sisteminde farklı doz değerlerinde, farklı IR seviyeleri için Catphan600 fantom görüntüleri alınmıştır. TTF, Catphan600 fantom CTP404 modülündeki farklı kontrast yapıya çizilen dairesel ilgi alanları ile elde edilen kenar görüntülerinden hesaplanmaktadır. NPS hesaplamaları Catphan600 fantomun homojen modülünden (CTP486) elde edilen görüntülerden hesaplanmaktadır. Hem TTF hem de NPS hesaplamaları için MATLAB tabanlı programlar kullanılmıştır.

Bulgu: Sabit bir doz değeri için her bir BT sisteminde artan IR seviyesi ile NPS'in azaldığı görülmüştür. Ancak gerek farklı BT sistemlerinde kullanılan IR algoritmalarının davranışındaki farklılık, gerekse farklı kontrast yapı ve doz değerlerindeki TTF davranış farklılıkları göz önüne alındığında, IR seviyelerinin hem cihaz bazlı hem de klinik uygulama ve amaca yönelik olarak optimize edilmesi gerektiği ortaya çıkmaktadır. Bu çalışma 122F015 kodlu "Pediyatrik Bilgisayarlı Tomografi İncelemelerinde Görüntü Kalitesinin Farklı Yöntemlerle Ölçülmesi, Yöntemler Arasındaki Korelasyonun Belirlenmesi ve Radyasyon Dozu ile İlişkisinin Araştırılması" başlıklı TÜBİTAK 1001 projesi kapsamında gerçekleştirilmiştir.

Sonuç: Siemens BT sistemi için, Catphan600 fantom CTP404 modülündeki Teflon (yüksek kontrast yapı) ve Polystrene (düşük kontrast yapı) yapıdan hesaplanan %50 ve %10 TTF değerlerinin artan IR seviyesi ile arttığı gözlemlenmiştir. Siemens Marka BT sisteminde Admire1, Admire3 ve Admire5 IR seviyelerinde %10TTF değerleri sırası 0,59; 0,63 ve 0,75 olarak ölçülmüştür. GE marka BT sisteminde elde edilen verilerde, Teflon yapıdan hesaplanan TTF değerleri artan IR seviyesi ile artarken, Polystrene yapıda artan IR seviyesi ile azalmıştır. Asir10, Asir50 ve Asir100 IR seviyelerinde %10TTF değerleri sırası 0,71; 0,85 ve 0,97 olarak ölçülmüştür. Ayrıca bu değişimlerin düşük doz değerlerinde daha belirgin olduğu gözlemlenmiştir. NPS ölçümlerinde Admire1, Admire3 ve Admire5 IR seviyelerinde NPS değerleri sırası ile 895, 601 ve 386 olarak ölçülmüştür.

Anahtar Kelimeler: Bilgisayarlı Tomografi (BT), TTF NPS, Iterative Reconsruction (IR)



19. ULUSAL MEDİKAL FİZİK KONGRESİ

Hilton Dalaman / Sarıgerme
02-05 KASIM 2023

POSTER BİLDİRİLER



19. ULUSAL MEDİKAL FİZİK KONGRESİ

02-05 KASIM 2023



POSTERLER

POSTER BİLDİRİLER

Filtresiz Işınlarda Farklı Tedavi Planlama Sistemlerinde Stereotaktik Beden Radyoterapisi İçin Akciğer Tümörlerinde Filtreli Işınlara İle Karşılaştırılması / EBRU DEMİR [77](#)

TCP Ve NTCP Radyobiolojik Modeller: Prostat Radyoterapisinde Konvansiyonel Ve Ultra Hipofraksiyone Tedaviler / AYŞEGÜL ÜNAL KARABEY [79](#)

Periferik Yerleşimli Akciğer Kanserinde VMAT-SBRT Tekniği için Enerji Modülasyonu ile Tedavi Plan Optimizasyonu / GÖRKEM ÇEVİKBAŞ [80](#)

Dört Farklı SunNuclear Edge Diyot Dozimetrelerin Küçük Alan Ölçümlerindenki Dozimetrik Sonuçlarının Karşılaştırılması / BURAK BAŞLANGIÇ [81](#)

Çoklu Beyin Metastazı Tedavisinde Tek İzomer Stereotaktik Radyoterapi: Hyper Arc Volumetrik Ark tedavisi ve manuel Volumetrik Ark Tedavisinin Dozimetrik Karşılaştırması / ZERRİN GANİ [83](#)

Fantom Çalışması: Tüm Meme Radyoterapisinde Farklı Foton Enerji Düzeylerinin ve Meme Hacminin Alan İçi Alan Tekniğine Etkisinin Araştırılması / HANDE ÜNAL [84](#)

MR-Linak Cihazında kullanılan Hasta Sabitleme Gereçlerinin MR Görüntü Kalitesine ve Geometrik Doğruluğuna Olan Etkilerinin Araştırılması / EVREN OZAN GÖKSEL [86](#)

Sol Akciğer Kanserinde Farklı Radyoterapi Tekniklerinin Sol Ön İnen Koroner Arter Dozuna Etkisi / AYKUT OĞUZ KONUK [87](#)

Farklı Radyoterapi Dozlarının Sıçanların Kardiyovasküler Sistem Üzerindeki Kronik Etkilerinin Empedans Kardiyografisi Kullanılarak Belirlenmesi / SONGÜL BARLAZ US [89](#)

Geometric Biasing Yöntemi Kullanarak Monte Carlo Hesaplamalarının Optimizasyonu / RECEP KANDEMİR [90](#)

Kullanıcı Tarafından Su Geçirmez Hale Getirilmiş PTW Farmer İyon Odasının Klinik Beam İçin Suda Absorblanan Doz Kararında Kullanılabilirliğinin Tayini / HİKMET YALÇINKAYA [91](#)

Meme Kanserinin Nefes Takipli Radyoterapisinde Vcd Ekran Kullanımı Günlük Tedavi Süresini Kısaltır: İki Merkez Deneyimi / ESRA SERİN [92](#)

Tomotherapy Cihazında Farklı Görüntüleme Protokollerinde Dozimetrik Karşılaştırma / İSMAİL KARAKUŞ [93](#)

Tüm Vücut Foton Işınlanmasında Radixact Tomoterapi Klinik Deneyim / SEZEN EMEK [94](#)

Sağ Meme Işınlanmalarında Radixact Synchrony SolunumTakip Sistemi / DAMLA POYRAZ [95](#)

Nazofarenks Kanseri Radyoterapisinde Bilateral Parotis Glandının Hacimsel Değişiminin İncelenmesi / SEVTAP GİRİTOĞLU [96](#)

Sol Meme Radyoterapisinde Yüzeysel Takip Sistemi Eşliğinde Nefes Tutma Tekniğinin Kritik Organ Dozlarına Etkisi / MÜMİN ERAY ERGEN [97](#)

Meme Kanseri Radyoterapisinde VMAT ile Oluşturulan Hibrit Tekniklerin Plan Kalitesine Etkisinin Araştırılması / SULTAN ÇİT [98](#)

Prostat Kanserinin Hacimsel Modülasyonlu Ark ile Radyoterapisinde Bilgi Tabanlı Planlama Yönteminin Kullanıldığı Klinik Bir Modelin Elde Edilmesi ve Değerlendirilmesi / ŞEYDA KINAY [99](#)

Tc-99m MİBİ İle Paratiroid Sintigrafisinde Organ Dozları / MERVE GÜRE [101](#)

Sağ Meme Radyoterapide Karaciğer Dozlarının İki Farklı Planlama Sisteminde Karşılaştırılması / EBRU DEMİR [103](#)

İntrakraniyal Radyocerrahi Uygulamalarında Kullanılan Mr Görüntülerindeki Distorsiyonun Geometrik Belirsizliğe Olan Etkisinin Belirlenmesi / OSMAN ARTUNÇ TÜRE [104](#)

Meme Kanseri Tanısı Almış Hastalarda Sağ Göğüs Duvarı ve Tüm Lenfatiklerin Işınlanmasında Derin İspirasyon Nefes Tutmanın (DİBH) Akciğer ve Kalp Dozuna Etkisinin Araştırılması / TUĞBA ATAKUL [105](#)



19. ULUSAL MEDİKAL FİZİK KONGRESİ

02-05 KASIM 2023



POSTERLER

Hastaya Özel Kalite Kontrolde Mobius 3d Sisteminin Kullanılabilirliği / İrem Aydın [109](#)

Larenks Kanseri Radyoterapisinde Ff Ve Fff Işınlarnın Histopatolojik Ve Ki-67 Parametrelerine Etkisinin İncelenmesi / SERHAT ARAS [110](#)

Craniospinal Işınlamalarda Radiact Tomoterapi ve C-Kollu Lineer Hızlandırıcı Planlamalarının Doz Karşılaştırması / SEZEN EMEK [111](#)

Klinik Protokoller için ELEKTA XVI Sisteminin Görüntü Kalitesi ve CBCT (Cone-Beam CT) Dozu Optimizasyonu / EZGİ KİRAZ ERGEN [112](#)

Filtresiz Işınlarnın Farklı Tedavi Planlama Sistemlerinde Stereotaktik Beden Radyoterapisi İçin Akciğer Tümörlerinde Filtreli Işınlarn İle Karşılaştırılması / EBRU DEMİR [113](#)

Alan Boyutu Modülasyonlu Helikal Tomotherapy Simülasyonu / SEÇKİN GÜNDÜZ [115](#)

X-Işınlarnı İle Elde Edilen Görüntülerin Derin Öğrenme Yöntemleri Kullanılarak Analizi ve Yapay Zeka İle Tamı Koyma Çalışmaları / ÇAĞDAŞ ŞİMŞEK [116](#)

Karaciğer Sbrt Planlamada Vmat Ve Dcat Tekniklerinin Karşılaştırılması / YAPRAK ERÖZMEN [118](#)

Radyasyondan Korunmada Mesafe ve Zırlamanın Çalışanların Aldığı Radyasyon Dozu Üzerinde Etkisi / GAMZE BERK [119](#)

Nazofarenks Kanserinde AAA ve Acuros XB Algoritmalarının Foton Optimizer ve Progressive Resoluition Optimizer Kullanılarak Dozimetrik Olarak Karşılaştırılması / BURAK BAŞLANGIÇ [121](#)

HDR Vajinal Brakiterapi Hastalarında Çok Kanallı Aplikatör İle Tek Kanallı Aplikatör'ün Forward Optimizasyon Ve İnvers Optimizasyon IPSA (Inverse Planning Simulated Annealing) Tekniklerinin Dozimetrik Karşılaştırılması / SEVECEN SEYHUN NASIR CAN [123](#)

Akciğer Adaptif Planların Dozimetrik Değerlendirilmesi / YAPRAK ERÖZMEN [124](#)

Akciğer Kanseri Hastalarda Stereotaktik Vücut Radyoterapisinde Adaptif Marj Uygulanarak Farklı Tedavi Tekniklerinin Karşılaştırılması / OSMAN ÖZTÜRK [125](#)

Sol Meme Kanseri Radyoterapisinde LAD ve LV Kardiyak Altyapılarının Plan Optimizasyonuna Dahil Edilmesinin Araştırılması / AYKUT OĞUZ KONUK [126](#)

Tüm Meme Radyoterapisinde Farklı Foton Enerji Düzeylerinin Alan İçi Alan Tekniğine Etkisinin Araştırılması: Hasta Çalışması / HANDE ÜNAL [127](#)

Küçük Alanların Dozimetrik Parametrelerinin Gafkromik Film İle Ölçülmesi / GÜL TAŞKIN [128](#)

Cheesefantom Hu(Hounsfield Unit) Değerinin Hu Değeri-Mass Density Tablosunaeklenmesinin Tomotherapy Absolute Doz Ölçümüne Etkisi / NAZAN DEDE KARAKOÇ [129](#)

Prostat Kanseri Tedavisi Gören Hastaların Mesane Hacimlerinin İncelenmesi / ASLI SABAH [130](#)

Gamma Plan Doz Optimizasyon Aracı Yeterince Verimli Mi? / MEHMET ORBAY ASKEROĞLU [131](#)

Çoklu Beyin Metastazlarının Stereotaktik Radyocerrahi (SRS) Tedavi Planları İçin "Progressive Resolution Optimizer" (Pro) Ve "Photon Optimizer" (Po) Algoritmalarının Karşılaştırılması / GÜLHAN ÇAVDAR [133](#)

Prostat Radyoterapisinde Gantry Dönüş Hızının Ve Doz Hızının Mesane Hacmine Etkisinin Araştırılması / ESRA SERİN [134](#)

Yeni Bir Normoksik Polimer Jel Dozimetre Geliştirilmesi / TÜRKAN ALKAN [135](#)

Beyin Metastazlı Hastaların Tedavi Planlarının Gamma Knife ve Linac Tabanlı Radyocerrahi Teknikleri İle Dozimetrik Karşılaştırılması / ÖZLEM DAĞLI [136](#)

Cbct Tabanlı Adaptif Radyoterapi Deneyimlerimiz / İREM AYDIN [138](#)

3D Yüzey Tarayıcı İle Düzleştirici Filtrenin Modellenmesi ve Monte Carlo Simülasyonu İle Geometrisinin Doğrulanması / RECEP KANDEMİR [139](#)



POSTERLER

Filtresiz Işınlarda Farklı Tedavi Planlama Sistemlerinde Stereotaktik Beden Radyoterapisi İçin Akciğer Tümörlerinde Filtreli Işınlara İle Karşılaştırılması

EBRU DEMİR¹, NAZMIYE DENİZ ARSLAN¹, ERSAN YILMAZ², AYKUT AKSOY²

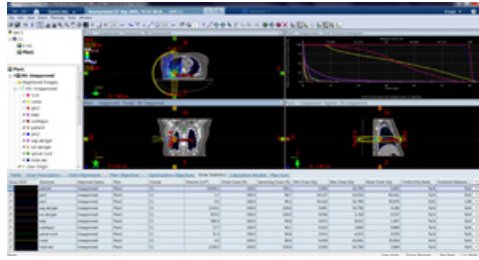
¹¹. İ.A.Ü. VM Medical Park Floya Hastanesi, Radyasyon Onkolojisi Bölümü
22. Kars Kafkas Üniversitesi Radyasyon Onkolojisi Bölümü

EBRU DEMİR / 1. İ.A.Ü. VM Medical Park Floya Hastanesi, Radyasyon Onkolojisi Bölümü

Amaç: İki farklı tedavi planlama sistemi(TPS) ve filtreli-filtresiz ışınlar kullanarak akciğer kanseri Stereotaktik Beden Radyoterapisi(SBRT) hastalarının tedavi planlarının tüm yönleriyle değerlendirilip karşılaştırılmasıdır.

Yöntem: Kars Kafkas Üniversitesi Hastanesi Radyasyon Onkolojisi bünyesinde bulunan Eclipse 13.6-AAA(TPS1) ve İ.A.Ü. VM Medical Park Florya Hastanesi bünyesinde bulunan RayStation 12A-CC(TPS2) verileri kullanılmıştır. Eclipse Analitik Anizotropik Algoritmayı (AAA) kullanırken, RayStation ise daraltılmış koni (CC) algoritması ile planları hesaplamıştır. 10 farklı akciğer SBRT hastasının bilgisayarlı tomografi (BT) görüntüleri retrospektif olarak seçilmiştir. Elde edilen BT görüntüleri Raystation 12A ve Eclipse 13.6 planlama bilgisayarına yüklenerek her hasta için tedavi alanı ve kritik yapılar radyasyon onkoloğu tarafından konturlanmıştır. 2 farklı TPS verileri kullanılarak 10 farklı hasta için 750 cGy/gün toplamda 8 fraksiyon tedavinin doz hesaplaması yapılmıştır. 6 MV Filtreli(6FF) ve 6 MV Filtresiz(6FFF) kullanarak tedavi planları hazırlanmıştır. Hedef hacim ve kritik organlar açısından birbirine yakın planlar elde edilmiş ve planların kritik organ, V95 dozlarının, konformalite index(CI) değerinin karşılaştırılması amaçlanmıştır.

ECLIPSE PLANLAMA



ECLIPSE örnek planlama

RAYSTATION PLANLAMA



RAYSTATION ORNEK PLANLAMA

Bulgu: Eclipse verileri kullanılarak yapılan doz hesaplamasında PTV'nin 6FF ışınlamada V95 ortalama dozu 57.03 Gy'dir. Kritik organ dozları akciğer için V5, V10, V20 ve ortalama dozları sırasıyla 17.2, 9.49, 3.83, ve 3.8 Gy; medulla için ortalama Dmax, 12.8 Gy'dir. Kalp ve özefagus için ortalama doz değerleri ise ortalama olarak sırasıyla 2.5 ve 2.2'dir. Ayrıca CI değeri ise ortalama olarak 0.92 bulunmuştur. Eclipse verileri kullanılarak yapılan doz hesaplamasında PTV'nin 6FFF ışınlamada V95 ortalama dozu 57.99 Gy'dir. Kritik organ dozları akciğer için V5, V10, V20 ve ortalama dozları sırasıyla 16.74, 9.58, 3.69, ve 3.7 Gy; medulla için ortalama Dmax, 14 Gy'dir. Kalp ve özefagus için ortalama doz değerleri ise sırasıyla ortalama 2.6 ve 2.6'dir. Ayrıca CI değeri ise ortalama olarak 0.94 bulunmuştur. RayStation verileri kullanılarak yapılan doz hesaplamasında PTV'nin 6FF ışınlamada V95 ortalama dozu 56.95 Gy'dir. Kritik organ dozları akciğer için V5, V10, V20 ve ortalama dozları sırasıyla 16, 8.25, 2.02, ve 2.55 Gy; medulla için ortalama Dmax, 4.63 Gy'dir. Kalp ve özefagus için ortalama doz değerleri ise sırasıyla ortalama 1.52 ve 1.3'dir. Ayrıca CI değeri ise ortalama olarak 0.92 bulunmuştur. RayStation verileri kullanılarak yapılan doz hesaplamasında PTV'nin 6FFF ışınlamada V95 ortalama dozu 57.46 Gy'dir. Kritik organ dozları akciğer için V5, V10, V20 ve ortalama dozları sırasıyla 16.1, 8, 3.5, ve 2.46 Gy; medulla için ortalama Dmax, 4.68 Gy'dir. Kalp ve özefagus için ortalama doz değerleri ise sırasıyla ortalama 1.45 ve 1.3'dir. Ayrıca CI değeri ise ortalama olarak 0.975 bulunmuştur. Farklı TPS verileri ile elde edilen bu veriler karşılaştırıldığında PTV için CI ve V95 değerleri ayrıca akciğer için V5, V20 değerleri istatistiksel olarak anlamlı bulunmuş (p>0,05). Bunlara ek olarak kalp, özefagus ve medulla dozlarında istatistiksel olarak anlamlı bulunmuştur (p>0.05).



19. ULUSAL MEDİKAL FİZİK KONGRESİ

02-05 KASIM 2023

POSTERLER



DEĞERLER

ff ecip		<%60	<%50	<%30	<20 Gy	<44 Gy	<26 Gy	<34 Gy		
HAFTA	başta	TOT AKC	TOT AKC	TOT AKC	TOT AKC	MEDUL	BEAKT	OZEFAO		
	no	Y5 (%)	V10 (%)	V20 (%)	MEAN [cGy]	LA MAX [cGy]	MEAN [cGy]	MEAN [cGy]	Y95	CI
	AKC1	14	8	4	3.5	13	2.3	2.1	56.8	0.91
	AKC2	15.5	9.8	3.7	3.9	12.5	2.7	2.3	57.2	0.94
	AKC3	17.8	10.2	3.9	3.7	12.7	2.1	2	56.9	0.9
	AKC4	18.3	8.5	3.5	4	12.9	2.8	2.4	57.4	0.93
	AKC5	17	9.6	3.8	3.8	12.6	2.2	2.2	57.1	0.92
	AKC6	16.7	9.7	4.2	3.6	13.2	2.6	2.5	57	0.95
	AKC7	18.7	9.3	3.4	3.9	12.4	2.4	2.1	57.3	0.91
	AKC8	14.2	8.9	4.1	4.1	13.1	2.9	2.3	57.2	0.94
	AKC9	16.9	10.1	3.6	3.5	12.8	2	2	57.5	0.89
	AKC10	19.4	9.4	3.9	3.9	12.7	2.5	2.2	56.7	0.93
		17.2	9.49	3.83	3.8	12.8	2.5	2.2	57.03	0.92

Örnek bir değerler tablosu

Sonuç: İki farklı TPS ve ışın modalitesi kullanılarak yapılan tedavi planlarının sayısal değerlerinin analizi sonucunda dozimetrik olarak anlamlı bir fark elde edilmiştir. Özellikle FFF mod ile ışınlanmanın akciğer gibi inhomojen bir ortamda yüksek CI değeri vermesi hem Eclipse hem de RayStation'da görülmüştür. Ayrıca RayStation CC algoritması sayesinde inhomojen ortamda belirsizliği daha da azaltarak kritik organ dozlarının daha fazla düşmesini sağlamıştır. Bu çalışma dozimetrik olarak ölçümlerle de mutlaka desteklenmelidir.

Anahtar Kelimeler: SBRT, FF-FFF, ECLIPSE-RAYSTATION



TCP Ve NTCP Radyobiolojik Modeller: Prostat Radyoterapisinde Konvansiyonel Ve Ultra Hipofraksiyone Tedaviler

Ayşegül Ünal Karabey¹, Özcan Gündoğdu², Berna Tırpancı¹, Aykut Konuk¹, Gülşah Özkan¹, Umut Diremsizoğlu¹, Görkem Aksu¹

¹Kocaeli Üniversitesi Araştırma ve Uygulama Hastanesi

²Kocaeli Üniversitesi

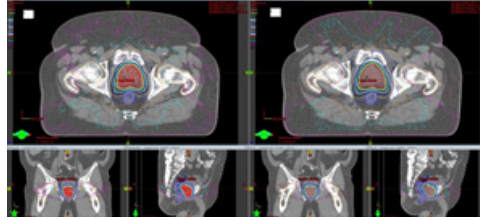
Ayşegül Ünal Karabey / Kocaeli Üniversitesi Araştırma ve Uygulama Hastanesi

Amaç: Bu çalışmada, prostat kanserinde ultra hipofraksiyone ve konvansiyonel radyoterapi dozu uygulanan tedavi planları, tümör kontrol olasılığı ve normal doku komplikasyon olasılığı radyobiolojik model kullanarak karşılaştırılmıştır.

Yöntem: 2009-2021 yılları arasında radyoterapi görmüş 50 prostat kanseri hastası retrospektif olarak belirlendi. Seçilen prostat hastalarına 200cGy/gün 39 fraksiyonda konvansiyonel, 670cGy/gün toplamda 5 fraksiyon ultra hipofraksiyone hacim ayarlı ark planları hesaplandı. Matlab programında, tümör kontrol olasılığı(TCP)/ normal doku komplikasyon olasılığı(NTCP) radyobiolojik modelleme için matematiksel formülasyonlar oluşturuldu. Elde edilen planların doz hacim histogramı(DVH) verileri ascii formatında matlab programına aktarıldı.

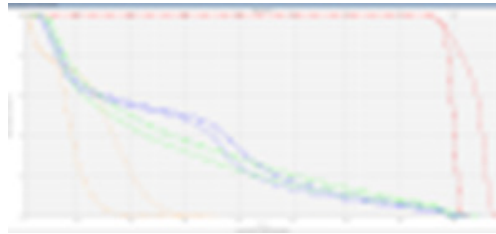
Bulgu: Prostat kanserinde ultra hipofraksiyone ve konvansiyonel tedavilerde femur başları için eşdeğer tekdüze doz(EUD)($p=7,545E-10$) ultra hipofraksiyone tedavide anlamlı fazla olsa da her iki tedavi tekniğinin normal doku komplikasyon olasılığı($p=0,317$) aynıdır. Mesane EUD ve NTCP değerleri ultra hipofraksiyone tedavi tekniğinde konvansiyonel tedavi tekniğine göre anlamlı derecede düşük bulunmuştur($0,000, 2,370E-7$). Rektum EUD değerleri her iki tedavi tekniğinde benzer doz olsa da NTCP değeri ultra hipofraksiyone tedavi tekniğinde daha düşük hesaplanmıştır($0,0180$). Prostat planlanan hedef hacim(PTV) EUD ve TCP değerleri ultra hipofraksiyone doz alan tedavi tekniğinde anlamlı derecede fazla çıkmıştır($7,490E-10, 3,660E-10$).

HF ve KF planlarının izodoz karşılaştırması



a) HF ve b) KF tedavi planlarının transvers, sagittal ve koronal kesit karşılaştırması.

HF ve KF Planlarının DVH Üzerinde Karşılaştırması



HF ve KF planlarının EQD2 dozlarının karşılaştırılması. Kare indis KF üçgen indis HF planı temsil etmektedir. Femur başları turuncu, rectum mavi, mesane yeşil ve PTV kırmızı renk ile temsil edilmektedir

Sonuç: Tedavi tekniklerinin karşılaştırılması sonucu ultra hipofraksiyone tedavi tekniği ile daha yüksek TCP ve EUD değeri elde edilmiş, normal dokuların da daha az doz aldığı görülmüştür. Toplam tedavi süresinin kısalığı ve kritik organların daha az doz alması sebebi ile ultra hipofraksiyone tedavi prostat kanserinde tercih edilebilir. Radyoterapi planlarında tedavi şemalarını karşılaştırmak için radyobiolojik modeller oldukça yol göstericidir. Oluşturduğumuz MATLAB programı, radyasyon onkoloğu ve medikal fizikçi için plan değerlendirmede oldukça yardımcı bir araçtır.



Periferik Yerleşimli Akciğer Kanserinde VMAT-SBRT Tekniği için Enerji Modülasyonu ile Tedavi Plan Optimizasyonu

Görkem Çevikbaş¹, Murat Okutan², Aydın Çakır³, Ümmühan Kalafat¹, Aysel Ahmadova¹, Züleyha Akgün⁴, Esra Kaytan Sağlam⁵, Bayram Demir⁶

¹Memorial Şişli Hastanesi, İstanbul

²İstanbul Üniversitesi Onkoloji Enstitüsü

³İstanbul Bilgi Üniversitesi

⁴Üsküdar Üniversitesi Tıp Fakültesi, İstanbul

⁵Biruni Üniversitesi Tıp Fakültesi, İstanbul

⁶İstanbul Üniversitesi Fen Fakültesi

Görkem Çevikbaş / Memorial Şişli Hastanesi, İstanbul

Amaç: Radyoterapide temel amaç, belirlenen tümör hacmine maksimum dozu verirken çevre kritik organların mümkün mertebe minimum doz almasını sağlamaktır. Teknolojinin gelişmesiyle beraber lineer hızlandırıcılar ve dolayısıyla tedavi teknikleri de gelişim göstermiştir. Küçük hacimli tümörlerin tedavisinde kullanılan ışınlama tekniği olan Stereotaktik Vücut Radyoterapisi (SBRT) bunların başında gelmektedir. Bu çalışmada, akciğer kanseri tanılı 20 hastanın tedavi planlamaları Volümetrik Arc Terapi (VMAT) tekniği ile i) tek enerji (6 MV) ve ii) kombine enerjiler ile (6 MV – 10 MV – 15 MV) kullanılarak Enerji Modülasyon Tekniği (EMT) elde edildi. Bu çalışmada bu iki tedavi planlama tekniğinin hedef hacim ve kritik organların dozları üzerindeki etkilerinin karşılaştırılması amaçlanmıştır.

Yöntem: Çalışmada seçilen hastaların tümör yerleşimlerinin akciğer periferinde olmasına dikkat edilmiştir. Tedavi dozu olarak 3 fraksiyon, 20 Gy fraksiyon dozu olacak şekilde toplam 60 Gy tedavi dozu tanımlanmıştır. Karşılaştırılacak ilk grupta hastaların tedavi planları VMAT tekniği ile yarım ark 1800 ve 6 MV foton ışınları kullanılarak hazırlanmıştır. Diğer grupta ise yine 1800 yarım arc VMAT tedavi açıları fakat enerji olarak ışınlama açılarının tümör yerleşimine uzaklığına göre parsiyel üç eşit (600 'lik eşit Modülasyon arc) parçaya ayrılarak 6 MV, 10 MV ve 15 MV foton ışınları olacak şekilde enerji modülasyonu sağlanarak hazırlanmıştır. Her planın Doz Volüm Histogramları üzerinden PTV ve kritik organların aldığı dozlar karşılaştırılmıştır.

Bulgu: Tedavi planı yapılan, 20 hastanın PTVmean dozları değerlendirildiğinde PTVmean (6 MV) = 6344 ± 159 cGy, PTVmean (EMT) = 6439 ± 195 cGy olarak tespit edilmiştir. İki teknik arasında fark %1.5 olarak elde edildi. Öte yandan karşılaştırma parametresi olarak spinal kord dozları incelendiğinde Dmax(6 MV) = 1261.40 ± 571 cGy, Dmax(EMT) = 1125.26 ± 599 cGy olarak tespit edilmiştir. Enerji Modülasyon Tekniğinde (EMT) %11 daha düşük doz elde edildi. Özefagus dozları incelendiğinde Dmax(6 MV) = 1244.48 ± 710 cGy, Dmax(EMT) = 1069.56 ± 739 cGy olarak tespit edilmiştir. EMT tekniğinde %16 daha düşük değer elde edildi. Ayrıca Akciğer V20 dozları karşılaştırıldığında DV20(%) (6 MV) = 2.56 ± 1.17, DV20(%) (EMT) = 2.96 ± 1.37 olarak tespit edilmiştir.

Sonuç: Değerlendirme sonucunda Enerji Modülasyon Tekniği (EMT) tekniği kullanılarak kritik organlarda kayda değer doz düşüşleri gözlenmiştir. PTVmean dozları açısından da benzer değerler elde edilirken, özellikle kritik organ yakınlığı olan hastalarda (spinal kord ve özefagus), EMT tekniği tek foton enerjili planlara iyi bir alternatif olarak kullanılabilir.



Dört Farklı SunNuclear Edge Diyot Dozimetrelerin Küçük Alan Ölçümlerindenki Dozimetrik Sonuçlarının Karşılaştırılması

Burak BAŞLANGIÇ¹, BURCU GERÇEK KALYONCU¹, VOLKAN YÖNETMEN¹, Sezen EMEK³

¹Acıbadem Eskişehir Hastanesi

²Medko Sağlık Hizmetleri

³ACIBADEM ATAKENT HASTANESİ

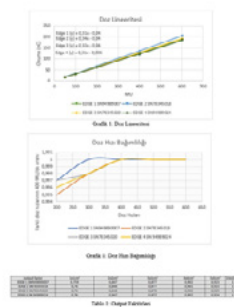
Burak BAŞLANGIÇ / Acıbadem Eskişehir Hastanesi

Amaç: VMAT,IMRT gibi tedavi tekniklerinin gelişmesine ve mlc hareketine bağlı oluşan küçük alanlar, SBRT,SRS gibi planlarda çok daha küçük hacimlerin tedavi edilmeye başlanması ile küçük alanlarda oluşan dozimetrik belirsizlikler önem kazanmaya ve bu belirsizliklerin giderilmesi için dedektörler geliştirilmeye başlanmıştır. Bu çalışmada farklı 4 adet Sunnuclear diyot dedektörün kullanıma bağlı ve fabrikasyon üretimlerinin 6MV enerji ile küçük alan ölçümlerinin kendi içlerinde verdiği sonuçların dozimetrik olarak karşılaştırılması ve fabrikasyon süreçlerine bağlı olarak dedektörlerin cevaplarının araştırılması amaçlanmıştır.

Yöntem: Çalışmada Varian Vitalbeam cihazında 6MV kullanılmıştır. SunNuclear 3D scanner su fantomunda 4 farklı edge diyot dedektörler kendi içlerinde; 200,300,400,500,600,1000MU/dk olacak şekilde 200MU verilerek ve 400MU/dk'ya oranı ile doz hızı bağımlılığı, 300MU/dk'da 50,100,200,400,600 MU'ya karşılık alınan okumalar ile doz lineeritesi, 1x1,2x2,3x3,4x4,5x5 ve 10x10cm² 'lik alanlarda 200MU verilerek output faktörleri, 1x1,2x2,3x3,4x4,5x5 ve 10x10cm² 'lik alanlarda PDD dmaks., D5cm%, D10cm% değerleri, 1x1,2x2,3x3,4x4,5x5 ve 10x10cm² 'lik alanlarda 1.5,5,10 ve 20 cm derinliklerde profil ölçümleri alınarak flatness ve symmetry, sağ ve sol penumbra değerleri karşılaştırılmıştır. Ölçümler öncesinde doz ve alanların kalibrasyonları yapılmıştır. Kullanılan su fantomu tek voltaj değeri ile çalıştığı için voltaj 0 olarak ayarlanarak referans dozimetre olmadan ölçümler alınmıştır.

Bulgu: İncelenen parametrelerden doz lineeritesi için dozimetreler lineer sonuçlar vermiş olup, kendi aralarında doz okumalarına bağlı olarak küçük farklılıklar göstermiştir. (Grafik 1) Diyotların doz hızlarında okuma olarak benzer bulunmuş olup 400MU/dk ile oranlandığında rölatif değerleri düşük doz hızlarında %1'in altında farklı bulunmuştur. (Grafik 2) Output faktörleri ise dedektörlerin10x10cm² alan okumalarına oranlandığında bütün alanlar için benzer çıkmıştır.(Tablo1)PDD değerleri ise bütün alanlarda dmaks., D5cm%, D10cm% değerleri benzer sonuçlar vermiştir. Alan merkezinde alınan ölçümler için edge dedektör kullanımı kendi içlerindeki sonuçlar ile tatmin edici düzeydedir. İncelenen bütün diyot dedektörler bütün alan boyutlarında ve farklı derinliklerde crossline ve inline profillerde benzer sağ ve sol penumbra, flatness değerleri ortaya koymuştur. Özellikle 4x4cm²'lik alandan küçük alanlar için 6MV enerjinin FFF gibi davranarak flatness değerlerini yükeltmesi küçük alanlarda dikkat edilmesi gereken bir durumdur. (Tablo3,4,5,6) Symmetry değerleri, alanlar ve farklı derinliklerde dedektörler arasında 1x1,2x2,3x3,cm² 'lik alanlarda farklı sonuçlar ortaya koymakla birlikte %2'lik değerlerin üzerine çıkmıştır. Buna bağlı olarak su fantomu yazılımındaki beam center uygulanarak merkezlelendikten sonra bütün değerler %1'in altına düşmüştür. 5x5 ve 10x10cm² 'lik alanlarda ise değerler %1'in altında bulunarak benzer sonuçlar ortaya koymuştur. (Tablo 7)

Doz Lineeritesi,Doz hızı bağımlılığı ve Output faktörleri



Doz Lineeritesi,Doz hızı bağımlılığı ve Output faktörleri

Inline Crossline Profil Flatness Değerleri

Alan	Doz	Flatness	Symmetry
1x1cm ²	200	0.98	1.02
	300	0.99	1.01
	400	1.00	1.00
	500	1.01	0.99
2x2cm ²	200	0.99	1.01
	300	1.00	1.00
	400	1.01	0.99
	500	1.02	0.98
3x3cm ²	200	1.00	1.00
	300	1.01	0.99
	400	1.02	0.98
	500	1.03	0.97
4x4cm ²	200	1.01	0.99
	300	1.02	0.98
	400	1.03	0.97
	500	1.04	0.96
5x5cm ²	200	1.02	0.98
	300	1.03	0.97
	400	1.04	0.96
	500	1.05	0.95
10x10cm ²	200	1.03	0.97
	300	1.04	0.96
	400	1.05	0.95
	500	1.06	0.94



19. ULUSAL MEDİKAL FİZİK KONGRESİ

02-05 KASIM 2023

POSTERLER



Inline Crossline Profil Flatness Değerleri 6MV Inline Profil Symmetry

Eğilim	6MV Inline Profil				
	[X]	[Y]	[X]	[Y]	[X][Y]
EDGE 1 ENERJİSİZ	0.7	1.0	1.0	1.0	1.0
EDGE 1 ENERJİLİ (MAXI/AZ)	-0.030e+012	-0.017e+012	-0.017e+012	-0.017e+012	-0.017e+012
EDGE 2 ENERJİSİZ	0.7	1.0	1.0	1.0	1.0
EDGE 2 ENERJİLİ (MAXI/AZ)	-0.030e+012	-0.017e+012	-0.017e+012	-0.017e+012	-0.017e+012
EDGE 3 ENERJİSİZ	0.7	1.0	1.0	1.0	1.0
EDGE 3 ENERJİLİ (MAXI/AZ)	-0.030e+012	-0.017e+012	-0.017e+012	-0.017e+012	-0.017e+012
EDGE 4 ENERJİSİZ	0.7	1.0	1.0	1.0	1.0
EDGE 4 ENERJİLİ (MAXI/AZ)	-0.030e+012	-0.017e+012	-0.017e+012	-0.017e+012	-0.017e+012
Beam center [X][Y] symmetry	0.000e+000	0.000e+000	0.000e+000	0.000e+000	0.000e+000

6MV Inline Profil Symmetry

6Mv Inline Profil Penumbra

Eğilim	6MV Inline Profil									
	[X]	[Y]	[X]	[Y]	[X]	[Y]	[X]	[Y]	[X]	[Y]
EDGE 1 ENERJİSİZ	0.7	1.0	1.0	1.0	1.0	1.0	1.0	1.0	1.0	1.0
EDGE 1 ENERJİLİ (MAXI/AZ)	-0.030e+012	-0.017e+012	-0.017e+012	-0.017e+012	-0.017e+012	-0.017e+012	-0.017e+012	-0.017e+012	-0.017e+012	-0.017e+012
EDGE 2 ENERJİSİZ	0.7	1.0	1.0	1.0	1.0	1.0	1.0	1.0	1.0	1.0
EDGE 2 ENERJİLİ (MAXI/AZ)	-0.030e+012	-0.017e+012	-0.017e+012	-0.017e+012	-0.017e+012	-0.017e+012	-0.017e+012	-0.017e+012	-0.017e+012	-0.017e+012
EDGE 3 ENERJİSİZ	0.7	1.0	1.0	1.0	1.0	1.0	1.0	1.0	1.0	1.0
EDGE 3 ENERJİLİ (MAXI/AZ)	-0.030e+012	-0.017e+012	-0.017e+012	-0.017e+012	-0.017e+012	-0.017e+012	-0.017e+012	-0.017e+012	-0.017e+012	-0.017e+012
EDGE 4 ENERJİSİZ	0.7	1.0	1.0	1.0	1.0	1.0	1.0	1.0	1.0	1.0
EDGE 4 ENERJİLİ (MAXI/AZ)	-0.030e+012	-0.017e+012	-0.017e+012	-0.017e+012	-0.017e+012	-0.017e+012	-0.017e+012	-0.017e+012	-0.017e+012	-0.017e+012
Beam center [X][Y] symmetry	0.000e+000	0.000e+000	0.000e+000	0.000e+000	0.000e+000	0.000e+000	0.000e+000	0.000e+000	0.000e+000	0.000e+000

6Mv Inline Profil Penumbra

Sonuç: Monte Carlo simülasyonları ile uyumlu sonuçlar ortaya koyan edge diyot dedektörler, kendi aralarında verdikleri PDD, output faktörü, doz lineeritesi, penumbra ve flatness ölçümleri uyumludur. Özellikle alan merkezindeki ölçümler kendi içlerinde son derece tutarlıdır. Symmetry sonuçları ise çok küçük alanlarda milimetreden küçük beam center hatalarına çok büyük değerler vermekte olup yazılım ile düzeltildiğinde dedektörlerin yine benzer sonuçlar verdiğini ortaya koymuştur. Su fantomu kurulumu elde edilen her set veriden sonra kontrol edilmiş olup merkezde ve tarama alanları boyunca gözle görünür bir hata bulunamamıştır. Bu farklar küçük alanlarda dedektör seçiminin doğru ve su fantomu set up hatalarının minimum olarak yapılması gerektiğini ortaya koymakla beraber bu sonuçlar edge dedektör üretim sürecinin standart olduğunu ortaya koymaktadır.

Anahtar Kelimeler: Küçük alan dozimetrisi, Edge dedektör, Dedektör seçimi



Çoklu Beyin Metastazı Tedavisinde Tek İzomerkez Stereotaktik Radyoterapi: Hyper Arc Volumetrik Ark Tedavisi Ve Manuel Volumetrik Ark Tedavisinin Dozimetrik Karşılaştırması

Zerrin GANI¹, Taylan YILDIRIM¹, Dilem ERGUN¹, Elif ARPACI¹

¹Ankara Sehir Hastanesi

Zerrin GANI / Ankara Sehir Hastanesi

Amaç: Bu çalışmada çoklu beyin metastazının tek izomerkezli stereotaktik radyoterapisinde HA-VMAT(HyperArc) ve mVMAT (non-coplaner VMAT) tekniklerinin dozimetrik karşılaştırılması amaçlanmıştır.

Yöntem: Değerlendirme amacıyla kliniğimizde dört ve üzeri beyin metastazı nedeniyle 27 Gy /3 fraksiyonda stereotaktik radyoterapi almış hastalar analiz edilmiş ve karşılaştırma için yeni planları oluşturulmuştur. Yeni planlar aynı fizik mühendisi tarafından aynı sayıda ark ve açı kullanılarak oluşturulmuştur. Karşılaştırma parametresi olarak her plan için konformite, gradient, homojenite indeksleri hesaplanmış ve kritik organ dozlarına bakılmıştır.

Bulgu: Belirlenen kriterleri sağlayan 17 hastanın görüntülemeleri üzerinden yeni planları oluşturulmuştur. Tedavi uygulanan toplam lezyon sayı 87'dir. Plan parametrelerine bakıldığında mVMAT planlarında median CI=1,16, GI=8,19 ve HI=0,12' dir. Bu değerler HA-VMAT planlarında sırasıyla CI=1, GI=4.09 ve HI=0.15 olarak hesaplanmıştır. İstatistiksel olarak bakıldığında HA-VMAT için, CI ($p<0.001$) ve GI değerleri daha düşük ($p <0.001$) ve optimal değerlere yakınken HI ($p <0.001$) değeri daha yüksektir.

Sonuç: Beyin metastazlarının tedavisinde çoklu hedeflerin tek izomerkezle stereotaktik ışınlamasında HA-VMAT tekniği kullanıldığında kritik organ dozlarında belirgin dusus ve dozimetrik avantaj sağlandığı görülmüştür.



POSTERLER

Fantom Çalışması: Tüm Meme Radyoterapisinde Farklı Foton Enerji Düzeylerinin ve Meme Hacminin Alan İçi Alan Tekniğine Etkisinin Araştırılması

Hande Ünal¹, Nina Tunçel¹, Timur Koca¹, Aylin Fidan Korcum Şahin¹

¹Akdeniz Üniversitesi Tıp Fakültesi Radyasyon Onkolojisi Anabilim Dalı

Hande Ünal / Akdeniz Üniversitesi Tıp Fakültesi Radyasyon Onkolojisi Anabilim Dalı

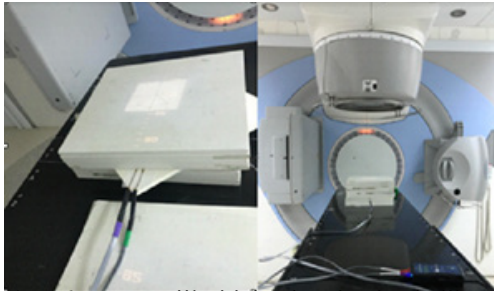
Amaç: Bu çalışmanın amacı tüm meme radyoterapisinde kullanılan alan-içi-alan (FIF) tekniğine farklı foton enerji düzeylerinin ve meme hacminin etkisinin araştırılmasıdır.

Yöntem: Kadın Rando fantomun orijinal meme yapısına ek olarak parafin malzemesinden (HU (Hounsfield Unit) değeri ortalama 110) büyük meme yapısı oluşturuldu. Parafin meme yapısı uygun yerleşimli hale getirildi. Rando fantomun farklı meme hacimli bilgisayarlı tomografi görüntüleri alındı. Planlanan hedef hacim (PTV) ve risk altındaki organ (OAR)'lar konturlandı. Meme yapılarının PTV hacimleri sırasıyla 432 cc ve 966 cc' dir. İki farklı meme hacmi için 4 ve 6 MV foton enerji düzeyleri ile tanjansiyel alan içi alan (tFIF) tekniği kullanılarak, 200 cGy fraksiyon dozuyla 25 fraksiyonluk tedavi planları tedavi planlama sistemi (TPS)'de tasarlandı. Tedavi planları, PTV ve OAR'ler dozimetrik parametreler açısından karşılaştırıldı. Ayrıca tedavi planlarına ait homojenite indeks (HI) ve konformite indeks (CI) verileri hesaplanıp değerlendirildi. MOSFET dozimetre sistemi ile doz ölçümü yapmak için 5mm derinlikte olmak üzere medial alan merkezinde PTV ve medial alandan 2cm uzaklıkta karşı meme için noktasal konumlar tespit edilerek doz değerleri bulundu. MOSFET problemlerinin absorbe doz kalibrasyonu her bir enerji için yapıldı. Problemlerin üzerinde 5mm bolus kullanılarak fantomun ilgili noktalarında doz ölçümleri yapıldı. Üç kez tekrarlanan ölçümlerin ortalaması alındı. Her iki enerji düzeyinde farklı meme boyutları için PTV ve karşı meme dozunu temsil eden noktaların TPS dozları ölçüm sonuçlarıyla karşılaştırıldı.

İnsan benzeri fantomun BT görüntülemesi



Rando fantomun farklı meme hacimli bilgisayarlı tomografi görüntülerinin alınması
MOSFET dozimetre sisteminin kalibrasyonu



MOSFET dozimetre sisteminin 4 ve 6 MV enerjileri için absorbe doz kalibrasyon düzeneği Ölçüm düzeneği

MOSFET problemlerinin fantoma yerleştirilmesi (5mm bolus materyali kullanılmıştır)

Bulgu: PTV' ye verilen dozu doğrulamak amacıyla gerçekleştirilen ölçümler ile TPS hesaplamaları arasında 4 MV-tFIF ve 6 MV-tFIF planlarında 432 cc' lik PTV hacmi için sırasıyla %2,7 ve %1,5 fark bulundu. Aynı doğrulama 966 cc' lik PTV hacmi için yapıldığında bu fark sırasıyla %0,1 ve %0,6 idi. TPS hesaplamaları ile ölçüm sonuçları arasında hesaplanan doz farklarının %2,7'nin içinde olduğu görüldü. Her iki hacimde de 6 MV enerjili tFIF planlarında 4 MV'ye kıyasla daha yüksek karşı meme dozları ölçüldü. Bunlar 432 ve 966 cc' lik PTV için 4 MV-tFIF planlarında sırasıyla 56,80 cGy ve 32,02 cGy iken 6 MV-tFIF planlarında sırasıyla 92,78 cGy ve 37,06 cGy idi. Her iki enerjide de karşı meme dozuna iç tanjansiyel alanın daha yüksek oranla katkıda bulunduğu belirlendi. Her iki enerji için büyük boyuttaki meme planında karşı meme dozu TPS ve ölçümlerde daha düşük bulundu. TPS hesaplamalarında büyük ve küçük boyuttaki meme için fark 4MV-tFIF de %35,80 iken 6 MV-tFIF de %47,86'dır. Ölçümlerde ise bu fark sırasıyla %43,59 ve %60,0 olarak tespit edildi. Her iki enerji düzeyinde de karşı meme dozunun TPS hesaplamaları ölçüme göre %16,4 ila %35,9 arasında düşük bulundu.

Sonuç: Meme radyoterapisinde enerji seçilirken karşı meme dozu dikkate alınmalıdır. Alan dışı organ dozlarında, TPS' in hesaplama verisinin düşük olabileceği göz önünde bulundurularak enerji seçimi yapılmalıdır.



19. ULUSAL MEDİKAL FİZİK KONGRESİ

02-05 KASIM 2023



POSTERLER





MR-Linak Cihazında kullanılan Hasta Sabitleme Gereçlerinin MR Görüntü Kalitesine ve Geometrik Doğruluğuna Olan Etkilerinin Araştırılması

Evren Ozan Göksel¹, Özlem Göksel¹, Volkan Demircan²

¹Acıbadem MAA Üniversitesi SHMYO Radyoterapi Programı

²Acıbadem Altunizade Hastanesi Radyasyon Onkolojisi Bölümü

Evren Ozan Göksel / Acıbadem MAA Üniversitesi SHMYO Radyoterapi Programı

Amaç: MR-Linaklar (Manyetik Rezonans-Lineer Hızlandırıcı) yüksek yumuşak doku kontrastı sayesinde, hasta tedavi masasında yatar-ken o günkü anatomisine uygun adaptif planlama yapabilme olanağı tanıyan tedavi cihazlarıdır. Ayrıca Cine-MR görüntüleme sayesinde hastaya ek radyasyon dozu verilmeden hedef tedavi sırasında takip edilebilir. MR-Linak cihazında günlük adaptif RT planlamalarının ve hedef takibinin doğruluğu MR görüntüsünün kalitesine doğrudan bağlıdır. Tedavi odasında bulunan veya tedavi sırasında kullanılan farklı gereçler MR görüntü kalitesini bozabilir. Bu nedenle, bu gereçlerin görüntüye olan etkileri araştırılmalıdır. Biz de bu çalışmada MR-Linak cihazında kullanılan MR uyumlu sabitleme gereçlerinin MR görüntüsüne olan etkilerini araştırdık.

Yöntem: ViewRay MR-Linak cihazında MR görüntülerinin sinyal gürültü oranları (Signal to Noise Ratio, SNR) ve tekdüzeliği (Uniformity); distorsiyonu ve geometrik doğruluğu belirlemek amacıyla uzaysal bütünlük (Spatial Integrity, SI) testleri rutin olarak yapılmaktadır. SNR ve Uniformity ölçümleri için 24 cm'lik küresel fantom kullanılırken, SI'yi ölçmek için ViewRay 2 boyutlu MR fantomu kullanılmaktadır. MR-Linak cihazında tedavi planı hastanın günlük pozisyonel ve anatomik değişikliklerine her gün adapte edilse de hastanın tedavi pozisyonunun tekrarlanabilirliğini ve tedavi süresince konforunu sağlamak amacıyla sabitleme gereçleri kullanılmaktadır. Kliniğimizde baş-boyun hastalarının sabitlenmesinde MR uyumlu maske tutucu (Civco, MRI Overlay, Types-S Narrow) ve Toraks hastalarının sabitlenmesinde MR uyumlu wingboard (Civco, Monarch™ Overhead Arm Positioner) kullanılmaktadır. Bu sabitleme gereçlerinin MR görüntü kalitesine ve geometrik doğruluğuna etkisini araştırmak amacıyla SNR, Uniformity ve SI ölçümleri sabitleme gereçlerinin varlığında ve yokluğunda tekrarlanarak sonuçlar karşılaştırılmıştır.

Bulgu: Yapılan karşılaştırmalı SNR, uniformity ve SI ölçümlerine göre kliniğimizde MR-Linak cihazında kullanılan sabitleme gereçlerinin MR görüntü kalitesini ve geometrik doğruluğunu etkilemediği görülmüştür.

Sonuç: Sabitleme gereçlerinin kullanıldığı ve kullanılmadığı setuplar için ölçülen SNR ve uniformity değerleri Tablo1'de verilmiştir. Benzer şekilde SI değerleri karşılaştırmalı olarak Tablo2'de verilmiştir. Hem SNR ve uniformity hem de SI için sabitleme gereçleriyle birlikte yapılan ölçümlerde bulunan değerler kabul sınırlarının içerisindeydi.

Tablo1

	SNR (>30 olmalı)			Uniformity (>50 olmalı)		
	Transvers	Sagittal	Coronal	Transvers	Sagittal	Coronal
Torso coil	51,7	46,5	38,2	89,9	88,5	90,1
Wingboard	52,3	47,1	38,3	82,1	86,9	83
HnN Coil	55,5	48,9	39	71,5	69,2	71
Maske tutucu	61,1	60,3	46,6	82,8	78,4	83,2

Tablo2

	SI Ort(Max-SD)		
	Transvers (mm)	Sagittal (mm)	Coronal (mm)
Body Coil			
İmmob. Yok	0,19 (0,88-0,13)	0,3(0,93-0,17)	0,43 (1,35-0,30)
Wingboard	0,23 (0,90-0,16)	0,28 (0,90-0,15)	0,40 (1,40-0,28)
Maske tutucu	0,22 (0,92-0,15)	0,27 (0,91-0,16)	0,43 (1,5-0,30)



Sol Akciğer Kanserinde Farklı Radyoterapi Tekniklerinin Sol Ön İnen Koroner Arter Dozuna Etkisi

AYKUT OĞUZ KONUK¹, İBRAHİM HALİL SUYUSAL¹, AYŞEGÜL ÜNAL KARABEY¹, GÜLŞAH ÖZKAN¹, BERNA TIRPANCICI¹, UMUT DİREMSİZÖĞLU¹, AYŞEGÜL ÜCÜNCÜ KEFELİ¹, BİNNAZ SARPER¹, M. GÖRKEM AKSU¹

¹KOCAELİ ÜNİVERSİTESİ HASTANESİ RADYASYON ONKOLOJİSİ

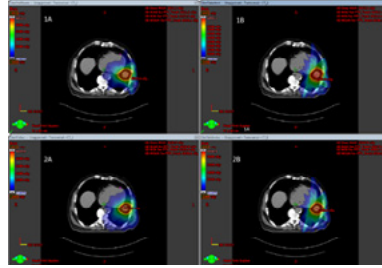
AYKUT OĞUZ KONUK / KOCAELİ ÜNİVERSİTESİ HASTANESİ RADYASYON ONKOLOJİSİ

Amaç: Bu çalışmanın amacı sol akciğer kanseri tedavisinde volümetrik ayarlı ark terapi (VMAT) ve yoğunluk ayarlı radyoterapi (IMRT) teknikleri kullanılarak kalp ve sol ön inen arter (LAD) dozlarının karşılaştırılmasıdır.

Yöntem: Yeniden planlama için 29 evre III akciğer kanseri hastasını seçtik. Step and shoot IMRT (S&S-IMRT), dinamik IMRT (D-IMRT), tam ark VMAT (FA-VMAT) ve iki kısmi ark VMAT (2PA-VMAT) teknikleri her hasta için oluşturuldu. Kalp ve LAD dozları arasındaki fark, doz hacim histogramı kullanılarak araştırıldı.

Bulgu: Sonuç olarak, VMAT teknikleri sol taraflı akciğer kanseri hastalarında LAD ve kalbi IMRT tekniklerinden daha iyi korumaktadır.

Planların Transvers Kesit Görüntüleri



1A- two partial arc VMAT (2PA-VMAT), 1B- dynamic IMRT (D-IMRT), 2A- full arc VMAT (FA-VMAT), 2B- Step and shoot IMRT (S&S-IMRT) techniques.

Hastaların demografik ve klinik özellikleri

Characteristics	N=29	%
GENEL		
Yaş	25	86,21
Yazın	3	10,34
AGE SİGARET (Range)	0 (0-40)	
TİPİ		
T1N1	4	13,79
T1N2	4	13,79
T2N1	3	10,34
T2N2	3	10,34
T3N1	4	13,79
T3N2	4	13,79
STAJ		
IA	11	37,93
IB	14	48,28
LDH		
LAD Levne	18	62,07
Cal Levne	18	62,07
PPV VOLUMSİ MEAN (cc) Range	412 (3-1016)	
TOTAL LUNG VOLUMSİ MEAN (cc) Range	3441 (240-4940)	
LAD VOLUMSİ MEAN (cc) Range	1371 (24-131)	
HEART VOLUMSİ MEAN (cc) Range	1653 (404)	

Tablo 1 Hastaların demografik ve klinik özellikleri

Sonuç: FA-VMAT tekniği ile, LAD ortalama dozunu (Dmean) (1712,43 cGy, p<0,001), LAD %2 (%D2) (3527,33 cGy, p=0,003) ve LAD 0,1cc (D0,1cc) (3473,12 cGy, p=0,006) dozlarını ve 15Gy (V15) alan LAD yüzdesini (%43,69, p<0,001) diğer tekniklere göre daha koruyucu planlama tekniği olarak bulundu ve LAD dozlarında 2PA-VMAT ve FA-VMAT teknikleri arasında istatistiksel bir fark gözlenmedi. Kalp V10 (10 Gy alan kalp yüzdesi), V15 (15 Gy alan kalp yüzdesi) ve MHD (kalp ortalama dozu) karşılaştırıldığında 2PA-VMAT tekniği, FA-VMAT, S&S IMRT ve D-IMRT'den daha iyi organ koruması sağladığı gözlemlendi. 2PA-VMAT ve FA-VMAT kardiyak V5, V20, V25, V30, V40 ve V45 değerlerinde benzer sonuçlar gözlemlendi. Ortanca kalp hacmi (567 cc) eşik olarak kullanıldığında, kalp hacmi 567 cc'den küçük olanlarda LAD ve kalp dozları arasında 2PA-VMAT lehine istatistiksel olarak anlamlı farklılık vardı (p<0,005).



Farklı Radyoterapi Dozlarının Sıçanların Kardiyovasküler Sistem Üzerindeki Kronik Etkilerinin Empedans Kardiyografisi Kullanılarak Belirlenmesi

Songül Barlaz Us¹, Belgin Büyükkakılı², Ebru Ballı³, Çağatay Han Türkseven², Gülsen Bayrak⁴

¹Mersin Üniversitesi Tıp Fakültesi Radyasyon Onkolojisi Anabilim Dalı , Mersin

²Mersin Üniversitesi Tıp Fakültesi Biyofizik Anabilim Dalı, Mersin

³Mersin Üniversitesi Tıp Fakültesi Histoloji-Embriyoloji Anabilim Dalı, Mersin

⁴Uşak Üniversitesi Tıp Fakültesi Histoloji-Embriyoloji Anabilim Dalı, Uşak

Songül Barlaz Us / Mersin Üniversitesi Tıp Fakültesi Radyasyon Onkolojisi Anabilim Dalı , Mersin

Amaç: Yoğunluk Ayarlı Radyoterapi (IMRT) ve Görüntü Rehberliğinde Radyoterapi (IGRT) gibi ileri düzey RT teknikleri, klasik ışınlanma tekniklerine göre normal doku ve organ dozlarını önemli ölçüde azaltmasına rağmen RT sonrası kalpte komplikasyonlar meydana getirmektedir. Her ne kadar kardiyak mortalite riski alınan dozla lineer olarak artsa da ortalama kalp dozunun 5 Gy'den daha düşük olduğu durumlarda ortaya çıkan etkilerle ilgili belirsizlikler vardır.

Bu çalışmada kronik dönemde farklı radyasyon dozlarının kalpte oluşturduğu hasarın impedans kardiyografi (ICG) yöntemi kullanılarak hemodinamik parametrelerin tespit edilmesi ve sonuçların immünohistokimya ve histopatolojik analizlerle birlikte değerlendirilmesi amaçlanmıştır.

Yöntem: Çalışmada, Tomoterapi HDA cihazı ile kalbe farklı radyasyon dozları uygulanmıştır. Deneyde kullanılan sıçanlar dört gruba ayrılmıştır. 1. Grup kontrol grubudur. Bu gruptaki sıçanlara herhangi bir uygulama yapılmamıştır. 2. Grup, sıçanlara 5 Gy, 3. Grup sıçanlara 10 Gy ve 4. grup sıçanlara 20 Gy RT uygulanmıştır. Tüm grupların RT uygulanmadan önce ve RT'den 180 gün sonra empedans kardiyografi (ICG) kaydı alınarak hemodinamik parametreler ve indeksler belirlenmiştir. Daha sonra tüm grupların interlökin-1 β , interlökin-10, TNF- α , apoptozları istatistiksel olarak, kalp ve aortadaki histolojik değişiklikler ise mikroskopik olarak değerlendirilmiştir.

Bulgu: Çalışmada alınan radyasyona bağlı olarak kardiyak output indekste (kalp debisi indeksi-CI) ve kontraktilite indeksinde (IC) artış gözlenmiştir. RT öncesine göre bu artış 5 Gy'de istatistiksel olarak anlamlı olmasa da 10 Gy ve 20 Gy ışınlanan gruplarda anlamlıdır. Çalışmada RT sonrası kalp atım hızında da artış gözlenmiştir. Bunun sonucunda kalp indeksi ve atım hacmi indeksi artmıştır. Sol ventrikül ejeksiyon süresi (LVET) kontraktiliteden etkilenir ve atım hacmiyle doğrudan ilişkilidir. Aorttaki kan akış hızı ve kardiyak ejeksiyon süresindeki değişiklikler de torasik sıvı içeriğini (TFCI) etkilemektedir. Çalışmamızda LVET ve TFCI değerlerinde azalma görülmüştür. Bu azalma TFCI'da istatistiksel olarak anlamlıyken LVET'de anlamlı değildir. Histopatolojik ve immünohistokimyasal bulgular da hemodinamik parametreleri desteklemiştir.

Sonuç: ICG noninvaziv, düşük maliyetli, geniş hasta gruplarında kullanılabilen, yüksek hassasiyetle ölçüm yapabilen ve ekokardiyografi ile hemodinamik olarak saptanamayan parametreleri tespit edebilen bir yöntemdir. Bu nedenle RT'nin neden olduğu kalp hastalıklarının ICG yöntemiyle tespit edilebilmesi diğer yöntemlere alternatif ve destekleyici bir yöntem olması açısından önemlidir.

Bilgi: Bu çalışma, Mersin Üniversitesi Bilimsel Araştırma Projeleri Birimi tarafından desteklenmiştir (Proje No: 2019-1-AP4-3414).



Geometric Biasing Yöntemi Kullanarak Monte Carlo Hesaplamalarının Optimizasyonu

Recep Kandemir^{1,2}, Oğuzhan Ayrancıoğlu², Hakan Epik³, Kadir Akgüngör³

¹Dokuz Eylül Üniversitesi, Sağlık Hizmetleri Meslek Yüksek Okulu, Radyoterapi Programı, İzmir

²Dokuz Eylül Üniversitesi, Sağlık Bilimleri Enstitüsü, Medikal Fizik Anabilim Dalı, İzmir

³Dokuz Eylül Üniversitesi, Fen Fakültesi, Fizik Bölümü, İzmir

Recep Kandemir / Dokuz Eylül Üniversitesi, Sağlık Hizmetleri Meslek Yüksek Okulu, Radyoterapi Programı, İzmir

Amaç: Monte Carlo metodu olasılık dağılım fonksiyonu kullanan bir matematiksel hesaplama yöntemidir. Bu hesaplamalarda oluşan istatistiksel hata payını düşürmek ve simülasyonları optimize etmek için farklı tip varyans azaltım yöntemleri kullanılır. Bu çalışma ile, varyans azaltım yöntemlerinden birisi olan Geometric Biasing metodu kullanılarak Monte Carlo simülasyonlarında hesaplama süresinden kazanç sağlamak amaçlanmıştır.

Yöntem: Elekta Synergy lineer hızlandırıcısı GAMOS (6.2.0) Monte Carlo Simülasyon yazılımı ile modellendi. Hesaplama sürelerinin kısaltılması amacıyla faz-uzayı veri seti kullanımı tercih edildi. Bu nedenle, GAMOS lineer hızlandırıcı modelinde düzeltirici filtreden sonra faz-uzayı oluşturuldu.

Oluşturulan faz-uzayında toplanan parçacıklar MLC ve diyaframlara (jaws) yönlendirildi. SSD 90 cm'de konumlandırılmış 3x3x3 mm³ voksel boyutlarına sahip sanal su fantomunda 3x3, 10x10 ve 30x30 cm² alan boyutlarında profil ve yüzde derin doz eğrisi hesaplamaları Geometric Biasing varlığında ve yokluğunda gerçekleştirildi. Bias ile yapılan hesaplamalarda, kolimasyon açıklığının 1,2 kat dışında kalan bölgeye ulaşan parçacıklar hesaplama süresini ve istatistiksel hata payını azaltmak üzere takip edilmedi.

Bulgu: Farklı alan boyutlarında Bias varken ve yokken elde edilen hesaplama süreleri ve süredeki değişim oranları Tablo 1'de sunuldu.

Tablo 1

Alan Boyutları	Bias Varken (saniye)	Bias Yokken (saniye)	Süredeki Değişim (%)
3x3	1653	5337	72,77
10x10	1654	5937	72,14
30x30	10777	11540	1,07

Sonuç: Geometric Biasing varlığında ve yokluğunda yapılan hesaplamalar karşılaştırıldığında, bu metodun alan boyutu küçüldükçe hesaplama süresine olan katkısının arttığı bulundu. Buna ek olarak, hesaplamalardan gelen istatistiksel hata oranlarının değişmediği görüldü. Geometric Biasing yönteminin Monte Carlo simülasyonlarında kullanılmasının hesaplama sürelerini önemli ölçüde azaltabileceği ortaya konuldu.

Anahtar Kelimeler: Monte Carlo Simülasyonu, Geometric Biasing, Optimizasyon



19. ULUSAL MEDİKAL FİZİK KONGRESİ

02-05 KASIM 2023



POSTERLER

Kullanıcı Tarafından Su Geçirmez Hale Getirilmiş PTW Farmer İyon Odasının Klinik Beam İçin Suda Absorblanan Doz Kararında Kullanılabilirliğinin Tayini

Hikmet Yalçınkaya¹

¹Denizli Özel Sağlık Hastanesi

Hikmet Yalçınkaya / Denizli Özel Sağlık Hastanesi

Amaç: PTW markasının Farmer iyon odası (Tip 30010) katı fantomla output kontrolü için radyasyon onkolojisi kliniklerinde sıklıkla kullanılır. İkincil standart dozimetri laboratuvarlarına gönderilerek suda absorblanan doz kalibrasyon katsayısı genellikle bu iyon odaları için talep edilir ve klinikteki beam için absöüt doz hesabı bu katsayıya göre yapılır. Her ne kadar günlük kontrollerde katı fantomla output kontrolü yapılabilir olsa da TRS 398'de absöüt doz kararının suda yapılması zorunluluk kılınmıştır. Fakat bu iyon odası su geçirmez değildir dolayısıyla suya daldırarak suda absöüt doz ölçümü yapmak için uygun olmadığı marka tarafından ilan edilmiştir. Bu çalışmada hali hazırda kliniklerde fazlasıyla mevcut ve kullanımda olan bu iyon odasının su sızdırmazlığını teflon bant ile sağladıktan sonra suda absöüt doz ölçümü yaparak sonuçlarını su geçirmez bir iyon odasının sonuçlarıyla karşılaştırma amaçlanmıştır.

Yöntem: Denizli Özel Sağlık Hastanesi Radyasyon Onkolojisi Bölümü'nde bulunan Varian Trilogy 2300IX lineer hızlandırıcının 6 MV enerjisinin absöüt doz kararı ölçümleri için PTW MP3 su fantomu ve PTW Farmer 0.6cc iyon odası (Tip 30010) ile PTW Semiflex 0.125cc iyon odası (Tip 31010) bu çalışmaya dahil edildi. Marka tarafından su geçirmez olduğu ilan edilen Farmer iyon odası bağlantı yerlerinden ayrıldı ve teflon bant ile su geçirme ihtimali olan tüm yerler için su geçirmezlik sağlandıktan sonra tekrar birleştirildi. Su fantomunda TRS 398'de belirtilen referans koşullar sağlandıktan sonra 100 MU ile ışınlanıp toplanan yük miktarı PTW Unidose E elektrometrede okundu. Aynı ölçüm aynı standart koşullar altında PTW Semiflex iyon odası ve PTW Tandem elektrometre ile de okunarak karşılaştırma değerleri elde edilmiş oldu.

Bulgu: Farmer iyon odası 100 MU'ya karşılık 12.07 nC (± 0.1 nC) yük oluştururken PTW Semiflex iyon odası 2.197 nC (± 0.004 nC) yük oluşturmuştur. İki iyon odasının suda absorblanan doz kalibrasyon katsayısı ve diğer katsayılarla birlikte hesap yapıldığında referans derinlikte 1 Gy olmasını beklediğimiz absorblanan doz sırasıyla 0.992 ile 0.993 Gy'dir.

Sonuç: Farmer iyon odası su geçirmezliği sağlandıktan sonra suda absöüt doz kararı için kullanılabilir. Fakat TRS 398'de absöüt doz kararında kullanılacak iyon odaları için saydığı kriterlerden biri de iyon odasının hassas volümünün dış ortamla sürekli hava ve sıcaklık alışverişi için atmosfere açık olmasıdır.



**Meme Kanserinin Nefes Takipli Radyoterapisinde Vcd Ekran Kullanımı Günlük Tedavi Süresini Kısaltır:
İki Merkez Deneyimi**

Esra Serin¹, Oğuzhan Ayrancıoğlu², Şevval Sağlam¹, Şerife Ceren Arıkan², Mustafa Çağlar⁴, Zümre Arıcan Alıcık², Evrim Metcalfe³

¹Medipol Bahçelievler Hastanesi Radyasyon Onkolojisi Kliniği

²Tınaztepe Üniversitesi Galen Hastanesi Radyasyon Onkolojisi Kliniği

³İstanbul Medipol Üniversitesi Tıp Fakültesi Radyasyon Onkolojisi Anabilim Dalı

⁴İstanbul Medipol Üniversitesi Sağlık Bilimleri Enstitüsü Sağlık Fiziği Anabilim Dalı

Esra Serin / Medipol Bahçelievler Hastanesi Radyasyon Onkolojisi Kliniği

Amaç: Meme kanseri tanısıyla RT uygulanan hastanın kendi nefesini görsel izlediği VCD ekranı rehberliğinin DIBH ile RT günlük set-up ve fraksiyon süresine olan etkisinin değerlendirilmesi.

Yöntem: Meme kanseri radyoterapisinde (RT) derin nefes tutma (Deep Inspiration Breath Hold/ DIBH) tekniğinin kullanılması, komşu kritik organ (akciğer, kalp, LAD) dozlarında istatistiksel olumlu farka yol açmaktadır. Ancak DIBH ile RT uygulanması, yaşlı, anksiyöz, işitme güçlüğü yaşayan veya yabancı dil engeli bulunan meme kanserli hastalarda tedavi masasında kalınan süreyi uzatabileceğinden hasta ve radyoterapi teknikerleri (RTT) açısından zorlayıcı olmaktadır. Günlük tedavi süresini kısaltmak ve RT set-up kalitesini arttırmak üzere, farklı yardımcı ekipmanlarla hastaya nefes rehberliği gereklidir. Bunlardan biri VCD (Visual Coaching Device), yani görsel rehber eşliğinde nefes tutmadır. Ağustos 2022 – Aralık 2022 arasında meme kanseri tanısıyla, İstanbul Medipol Bahçelievler Hastanesi ve İzmir Tınaztepe Üniversitesi Galen Hastanesi Radyasyon Onkolojisi kliniklerinde RT uygulanan 30 kadın hasta değerlendirilmiştir. Meme tahtası (board) kullanılarak supin pozisyonda kollar yukarıda, baş karşı memeye dönük şekilde nefes tutturularak 2 mm kalınlıkla planlama bilgisayarlı tomografisi (BT) çekilmiştir. Eclipse® versiyon 16.0'da riskli organ ve tedavi hacimleri tanımlanıp Varian Truebeam® aygıtında HD ve Millennium MLC kolimatör yapıları ile 6MVX ve 10MVX-15 MVX ek foton ışını kombinasyonları ile planlanmış, alan içi alan (FiF) veya yoğunluk ayarlı radyoterapi (YART) teknikleri kullanılmıştır. VCD ekran, hastanın tedavi masasında yatarken tablet ekrandan kendi nefes aralığını izlediği yeni nesil bir sistemdir (Resim-1). RT'nin ilk beş gününde sadece oda içi haberleşme sistemi (intercom) aracılığıyla sesli komut verilmiş, sonraki beş gününde ise sesli komutla birlikte Varian RGSC® (Respiratory Gating for Scanners) nefes takip sistemine entegre VCD (Visual Coaching Device) ekran eşliğinde nefes tutturularak RT verilmiştir. Tedavinin geri kalan fraksiyonlarında, Varian RPM Gating solunum kontrol ve VCD sistemi kullanılarak solunum görselleştirme eşliğinde RT uygulanmıştır. Hastaların DIBH tekniği sırasındaki VCD'li ve VCD'siz performanslarındaki ortalama CBCT ve tedavi süreleri arasındaki farklar hesaplanarak Student's t paired istatistiksel test yöntemi ile SPSS v18 uygulaması kullanılarak karşılaştırılmıştır.

Meme kanseri DIBH RT'sinde VCD ekran ekipmanı görünümü



Bulgu: Meme kanseri tanısıyla DIBH tekniği kullanılarak RT uygulanan 30 hastanın CBCT için VCD'siz ve VCD'li görüntüleme süreleri sırasıyla 155,2 saniye (SD: ±78) ve 101,8 saniye (SD: ±17) olup istatistiksel anlamlı bulunmuştur ($p < 0,05$). RT fraksiyonu için ise VCD'siz ve VCD'li süreler sırasıyla 360,1 saniye (SD: ±172) ve 285,6 saniye (SD: ±174) olup bu fark da istatistiksel anlamlıdır ($p < 0,05$).

Sonuç: Meme kanserli hastalarda DIBH ile RT uygulamasında VCD ekran rehberliği, günlük tedavi süresini belirgin kısaltmaktadır. VCD kullanımının, hastanın tedavi masasında geçirdiği sürenin azalması ve nefes tutma gibi zorlayıcı bir tekniğin daha kolay uygulanmasına katkısı yanı sıra, RTT'nin RT öncesi görüntüleme (kV-kV, CBCT, vb) işlemine odaklanmasına, tedavi güvenilirliğinin artmasına ve randevu saatlerinin optimizasyonuna da yardımcı olduğu düşünülmektedir. Kısıtlı hasta sayısı ile yapılan bu çalışmanın prospektif randomize çok merkezli devamı planlanmıştır.



Tomotherapy Cihazında Farklı Görüntüleme Protokollerinde Dozimetrik Karşılaştırma

İsmail Karakuş¹, Nina Tunçel¹, Timur Koca¹, Aylin Fidan Korcum Şahin¹

¹Akdeniz Üniversitesi Tıp Fakültesi Radyasyon Onkolojisi Anabilim Dalı

İsmail Karakuş / Akdeniz Üniversitesi Tıp Fakültesi Radyasyon Onkolojisi Anabilim Dalı

Amaç: Tomotherapy Cihazında her tedavi öncesi görüntüleme alınmaktadır. Bu görüntüleme MV mertebesindedir. Tümör boyutu ve çekim protokollerine bağlı kesit sayısı değişmekte olup hastaya günlük tedavi dozuna ek görüntüleme dozu da verilmektedir. Bu çalışmada bir hacim model tasarımıyla farklı çekim protokollerine bağlı görüntüleme dozunun belirlenmesi amaçlanmaktadır.

Yöntem: Accuray marka Tomotherapy HDA cihazı ve Cheese fantom merkezinde yerleştirilen Exradin A1SL Thimble tipi iyon odası kullanıldı. Fantomun kesitsel görüntüleri 2.5 mm kalınlığıyla Discovery RT bilgisayarlı tomografi cihazında elde edildi. Accuray Precision tedavi planlama sisteminde (TPS) fantomun merkezinde konumlanan 82.73 mm uzunluğunda, 58.89 mm ve 83.56 mm kısa ve uzun çaplarında bir elipsoit silindir şeklinde sanal tümör hacmi oluşturuldu. TPS'de 6 MV foton enerjisinin dinamik modunda, 2.5 cm jaw genişliği, 0.287 Pitch ve 2.0 modülasyon faktörü ile sanal tümör hacminin %95'ine 200 cGy fraksiyon dozu sağlanmasıyla tedavi planı tasarlandı. İyon odasının konumu için ortalama doz TPS'den hesaplandı. Ayrıca tedavi cihazında tedavi dozu ölçüldü. Hesaplanan ile ölçülen doz karşılaştırıldı. 3.5 MV foton enerjisiyle farklı görüntüleme protokollerinin doz ölçümleri aynı tedavi set-up'i kullanarak gerçekleştirildi.

Fine, Normal ve Course olarak üç farklı görüntüleme protokolünde tasarlanan silindirin sabit uzunluğuna göre çekimler düzenlendi. Bunlar sırasıyla; Fine'da 1 mm interval ile 84 kesit ve 2 mm interval ile 42 kesit, Normal'da 2 mm interval 43 kesit ve 4 mm interval 21 kesit, Course'de 3 mm interval 28 kesit ve 6 mm interval 14 kesit şekilde olarak her birisi için ayrı ayrı ölçümler alındı. Tüm ölçümlerde basınç ve sıcaklık düzeltmeleri yapıldı. Bu enerji için 6 MV kalibrasyon faktörü kullanıldı.

Bulgu: Alınan ölçümler ve görüntülemeler değerlendirildiğinde, hastaya verilecek ek görüntüleme dozunu azaltmak, görüntüleme süresini azaltmak ve görüntü kalitesini artırmak için uygun protokolün seçilmesinde hastanın tanısı, tedavi tekniği, pTV'nin boyutu ve konumu, hastanın kalınlığı gibi etkenlerin göz önüne alınması ve bu doğrultuda hasta tedavisinde kullanılacak olan görüntüleme protokolünün seçilmesi önerilmektedir.

Sonuç: Tomotherapy cihazının 6 MV foton enerjisinde cheese fantom için tasarlanan tedavi planındaki 0.053 cc'lik iyon odasının hacminde ortalama doz 201.9 cGy olarak hesaplandı. Tedavi koşulunda ölçülen doz ise 200.4 cGy idi. Hesaplanan ve ölçülen tedavi dozlarında yüzde fark 0.7 olarak bulundu. Görüntüleme protokolleri arasında en yüksek doz değeri Fine protokolünde görüldü. Bu değerler 1 mm ve 2 mm interval için sırasıyla 2,25 cGy ve 2,22 cGy idi. Normal protokolünde ise 2 mm ve 4 mm interval için sırasıyla 1,14 cGy ve 1,17 cGy doz değeri bulunurken Course 3 mm ve 6 mm interval için en düşük doz değeri sırasıyla 0,78 cGy ve 0,81 cGy olarak elde edildi. Yine aynı şekilde görüntüleme protokolünde kesit aralığı arttıkça görüntüleme dozunun azaldığı, görüntü kalitesinin düştüğü ve görüntüleme süresinin azaldığı görüldü.



19. ULUSAL MEDİKAL FİZİK KONGRESİ

02-05 KASIM 2023

POSTERLER



Tüm Vücut Foton Işınlamasında Radixact Tomoterapi Klinik Deneyim

Sezen Emek¹, Damla Poyraz¹, Erhan Dişçi¹, Serap Yücel¹, Zeynep Güral¹, Fulya Ağaoğlu¹

¹Acıbadem Atakent Hastanesi

Sezen Emek / Acıbadem Atakent Hastanesi

Amaç: Bu çalışmada Radixact Tomoterapi cihazında tüm vücut foton ışınlaması (TBI) ile tedavi olan 8 hastamızın tedavi planları kritik organ doz değerleri ve dozimetrik değerler açısından analizleri yapılmıştır.

Yöntem: Çalışmada Accuray Radixact cihazında Precision tedavi planlama sisteminin yeni versiyonu VOLOULTRA modu ile tedavi planlamaları yapıldı. Her hastanın tomografi görüntüleri baş ve ayak gantry olacak şekilde çekildi. Tedavi kesişim noktası bacakta olacak şekilde marker ile işaretlendi. Her hasta için baş gantry ve ayak gantry görüntülerine planlama yapıldı. Yapılan planlamalar toplanarak (Plan Sum) tedavi planları elde edildi. Tedavi planlarının kesişim noktası kritik organların olmadığı bacak kısmında yapıldı. Hastaların tedavi dozu 8 fraksiyonda 12 Gy olarak ayarlandı. Planlamalar sonucunda kritik organ doz değerlendirmeleri yapıldı. Korunan organlar; lensler, akciğerler, kalp ve böbrekler idi. Geriye kalan tüm vücut hedef PTV hacmi olarak saptandı.

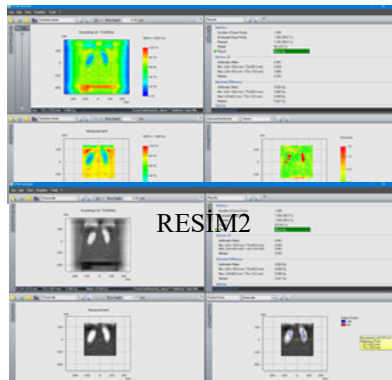


Bulgular: Tedavi planlamalarından elde edilen sonuçlarda, ortalama olarak PTV hacimlerinin %95'inin aldığı doz tedavi dozunun %95'i idi. Tüm vücuttaki maksimum doz noktası %115'i geçmedi. Ortalama lens mean dozu 1.98 Gy ve maksimum 2.21 Gy idi. Ortalama akciğer mean dozu 6.02 Gy ve ortalama böbrek mean dozları da 4.53 Gy olarak bulundu (Tablo1). Tedavi planmalarına PTW Octavius ile VeriSoft QA gamma analizleri (3 mm ve %3) yapıldı (Resim1) ve korunan kritik organlarda soğuk bölgeler de görüldü (Resim2).

Tablo1

Radixact Kritik Organ Doz Değerleri	
Lens mean (Gy)	1.98
Lens max (Gy)	2.21
Akciğer mean (Gy)	6.02
Böbrek mean (Gy)	4.53

RESİM1



RESİM2

Sonuç: Radixact Tomoterapi ile tedavi edilen TBI hastalarının kritik organ korumalarının limit değerlerin altında kaldığı görülmüştür. Bu, hastaların yan etkilerinin azaldığını ve tedavi sonuçlarının daha olumlu olduğunu işaret eder. Radixact Tomoterapi cihazı TBI tedavisinde etkili ve hedef odaklı bir seçenektir. Sonuç olarak, TBI hastalarının tedavisinde Radixact Tomoterapi cihazının kullanılmasını önermekteyiz. Bu sonuçlar, Radixact Tomoterapi cihazının TBI tedavisindeki etkinliğini vurgulamakta ve kritik organ koruma açısından avantajlar sunmaktadır. Ancak, her hasta benzersizdir ve tedavi seçimi her hasta için özelleştirilmelidir.



POSTERLER

Sağ Meme Işınlamalarında Radixact Synchrony SolunumTakip Sistemi

Damla Poyraz¹, Erhan Dişçi¹, Serap Yücel¹, Zeynep Gürol¹, Fulya Ağaoğlu¹

¹Acıbadem Atakent Hastanesi

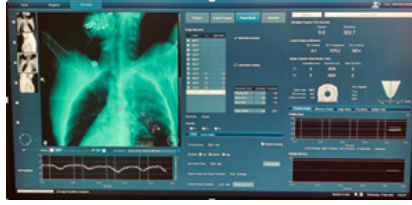
Damla Poyraz / Acıbadem Atakent Hastanesi

Amaç: Radixact tomoterapi cihazında Synchrony Fiducial ile sistemi nefes takibinin yapılmasını amaçlamaktır.

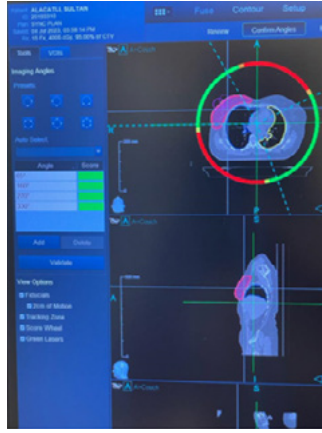
Yöntem: Hastanın planlama için çekilen tomografi görüntüsünde meme dokusu yüzeyine markerlar memenin anterior yönünde olacak şekilde yerleştirildi. Bu markerlar Precise tedavi planlama sisteminde fiducial olarak tanımlandı. Tedaviden önce simülasyon planı ile markerların görüntüleneceği en uygun açılar seçildi ve tedavi simülasyonu gerçekleştirildi (Resim1). Bu sayede tedavi boyunca floroskopik görüntüler ile markerlar takip edildi. Hedef bölgenin tedavi alanı içinde kalınması sağlandı.

Bulgu: Resim1,2

Resim1



Resim1



Sonuç: Gating yöntemlerine kıyasla tedaviye ara vermeden devam edilir ve tedavi süresi uzamaması en büyük avantajlarından biridir. Synchrony Solunum takip sistemi anlık tümör pozisyonu veya yakın gelecekteki pozisyon hakkında tahminler yapabilen model oluşturmayı amaçlar.



Nazofarenks Kanseri Radyoterapisinde Bilateral Parotis Glandının Hacimsel Değişiminin İncelenmesi

SEVTAP GİRİTOĞLU¹, AYSUN ÖZSOY ATA², DOĞAN TEMİZ¹, ÖZLEM MERMUT¹, BERRİN YALÇIN¹

¹İSTANBUL EĞİTİM VE ARAŞTIRMA HASTANESİ, RADYASYON ONKOLOJİSİ BÖLÜMÜ

²İSTANBUL EĞİTİM VE ARAŞTIRMA HASTANESİ, RADYASYON ONKOLOJİSİ BÖLÜMÜ, BİLİM SAĞLIK HİZMETLERİ A. Ş.

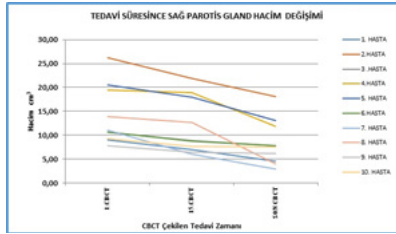
SEVTAP GİRİTOĞLU / İSTANBUL EĞİTİM VE ARAŞTIRMA HASTANESİ, RADYASYON ONKOLOJİSİ BÖLÜMÜ

Amaç: Adaptif radyoterapinin (ART) amacı hastanın tedavi sürecindeki değişimlerini farkederek, tedavi planının yeniden yapılmasıyla tedavinin kişiye özgü olmasını sağlamaktır. Baş-boyun bölgesi kanserleri doz cevabına bağlı organ deformasyonu ve hacim azalması, kilo kaybı, normal doku/glanddaki değişim, ameliyat sonrası değişiklikler ve ödemin gerilemesi nedeniyle; ART'nin mutlaka uygulanmasının gerektiği bir alandır.

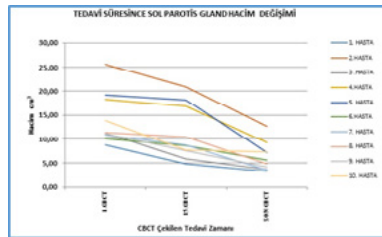
Yöntem: Çalışmamızda nazofarenks kanseri tanısıyla küratif amaçlı (70Gy), dinamik ARK radyoterapi uyguladığımız 10 hasta değerlendirilmiştir. (Varian Medical Systems, Eclips Planlama Sistemi, Palo Alto, CA, Versiyon10.0) Hastalara radyoterapinin ortalama 10. fraksiyonunda ve 26. fraksiyonda (range: 9-30) adaptif CT çekilerek planlama yapıldı. Hastalara cisplatin ile haftalık, konkomitan sistemik kemoterapi tedavisi de hastanemizde uygulanmıştır. Tedavinin 1.günü, tedavinin 15. günü ve son tedavi günü CBCT'lerinden, off-line bakılarak sağ ve sol parotis glandları kontrol edilmiştir.

Bulgu: Hastaların ilk tedavi gününe göre, 15.gün ve son tedavi günlerinde sağ ve sol parotis glandlarında hacim kaybı yaşandığı saptanmıştır. Hastaların İlk ve son tedavileri arasında sağ parotis hacminin % 57, sol parotis hacminin %39 azaldığı bulunmuştur. Aşağıdaki grafiklerde sağ ve sol parotis glandlarındaki hacim değişiklikleri gözlenmektedir (Şekil 1-2).

Şekil-1. Sağ parotis glanddaki hacim değişimi



Şekil-2. Sol parotis glanddaki hacim değişimi



Sonuç: Çalışmamızda bilateral parotis glandlarında hacimsel küçülme saptanmıştır. Baş-boyun kanseri hastaları için bu değişiklikler dozimetrik parametreleri etkileyebilir ve farklı klinik sonuçlara neden olabilir. ART; tedavi dozunun tam ve doğru biçimde verilebilmesini sağlar, böylelikle radyoterapinin etkinliği artırılmış olur. Verilen dozun, hedef hacim sarımının kabul edilen değerinin altına indiği ve risk altındaki organların tolerans dozunun üzerinde doz aldığı durumda yeni plan ihtiyacı doğmaktadır. ART ile risk altındaki organlara yönelik doz artışı önlenir, daha iyi hedef kapsanması sağlanabilir. Bu durum yan etkiler ve hastalık kontrolü açısından potansiyel faydalar sağlar.



19. ULUSAL MEDİKAL FİZİK KONGRESİ
02-05 KASIM 2023



POSTERLER

Sol Meme Radyoterapisinde Yüzey Takip Sistemi Eşliğinde Nefes Tutma Tekniğinin Kritik Organ Dozlarına Etkisi

Mümin Eray Ergen¹, Ezgi Kiraz Ergen¹, Aslı Saran İkizler¹, Lütfi Özkan¹

¹Bursa Acıbadem Hastanesi Radyasyon Onkolojisi

Mümin Eray Ergen / Bursa Acıbadem Hastanesi Radyasyon Onkolojisi

Amaç: Sol meme radyoterapisinde nefes tutma tekniği uygulanan hastalar ile serbest nefes alma tekniği uygulanan hastaların tedavisi sırasında alınan kritik organ dozları arasındaki farkların değerlendirilmesi amaçlanmıştır.

Yöntem: Çalışma Bursa Acıbadem Hastanesi Radyasyon Onkolojisi bölümüne yönlendirilen, meme koruyucu cerrahisi yapılmış 30 sol meme hastası üzerinde gerçekleştirildi. 15 hastaya nefes tutma tekniği, 15 hastaya ise serbest nefes alma tekniği kullanılarak BT (Bilgisayarlı Tomografi) çekildi. Daha sonra hedef volüm dozu 46 Gy (23x200 cGy) ve her hastada hedef volümün %95'i, dozun %95'ini alacak şekilde VMAT planlamaları yapıldı. (VMAT planlarında beam açıları ve IMRT constrainleri sabit tutulmuştur.) VMAT planlarına ait Kalp, LAD ve Akciğer dozları karşılaştırıldı. Align RT vücut yüzey takip sistemi eşliğinde tedavileri yapılarak hedef volüm ve kritik organ dozlarının aynı tutulması sağlandı.

Bulgu: Kalp, LAD ve Akciğer dozları karşılaştırıldığında nefes tutma tekniği ile uygulanan tedavilerde serbest nefes alma tekniği ile uygulanan tedavilere göre; ortalama maksimum Kalp dozunda ve ortalama Kalp dozunda %35, ortalama maksimum LAD dozunda %33, ortalama LAD dozunda %37, Sol Akciğerin; V20 dozunda %23, V10 dozunda %18 ve V5 dozunda %20 düşüş görüldü. Ayrıca nefes tutma tekniği uygulanan hastaların ortalama Sol Akciğer hacminde %60 oranında artış gözlemlendi.

Sonuç: Align RT yüzey takip sistemi takibinde nefes tutma tekniği ile uyguladığımız tedavilerde Kalp, LAD ve Akciğer dozlarında düşüş elde edildi. Sağ kalımı yüksek olan Sol Meme kanseri hastalarında ileride görülebilecek radyasyona bağlı kardiyak rahatsızlıkları minimuma indirmek için nefes tutma tekniği ile tedavi, elde edilen veriler doğrultusunda önerilmektedir. Burada dikkat çekilmesi gereken unsurlardan biri ise nefes tutma tekniği ile yapılan tedavilerin doğru olabilmesi adına eşlenik bir takip sistemi kullanılmasıdır.



Meme Kanseri Radyoterapisinde VMAT ile Oluşturulan Hibrit Tekniklerin Plan Kalitesine Etkisinin Araştırılması

Sultan Çit¹, Canan Köksal Akbaş¹, Kamuran İbiş², Hatice Bilge Becerir¹

¹İstanbul Üniversitesi, Onkoloji Enstitüsü, Sağlık Fiziği Bilim Dalı, İstanbul

²İstanbul Üniversitesi Tıp Fakültesi, Radyasyon Onkolojisi Anabilim Dalı, İstanbul

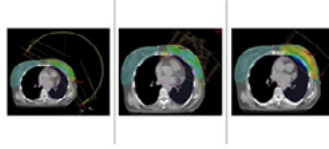
Sultan Çit / İstanbul Üniversitesi, Onkoloji Enstitüsü, Sağlık Fiziği Bilim Dalı, İstanbul

Amaç: Çalışmamızda meme ışınlamalarında radyoterapinin başarısını arttırmak için hibrit planlama teknikleri kullanılarak hem tümöre uygulanan dozu daha homojen hale getirmek; hem de çevredeki sağlıklı dokulara uygulanan dozu en aza indirerek lokal kontrolü arttırmak hedeflenmektedir. Tedavi plan kaliteleri değerlendirilirken; Doz Volüm Histogramı (DVH) bilgileri kullanılmıştır. Karşılaştırma parametreleri; Planlanan Hedef Volüm (PTV), Kritik Organ (OAR) dozları, Homojenite İndeks (HI), Konformite İndeks (CI)'dir.

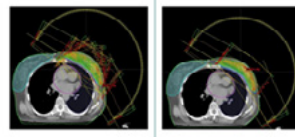
Yöntem: Hasta tomografileri RPM (Real-Time Position Management Systems) Varian Gerçek Zamanlı Pozisyon Yönetimi Sistemi kullanılarak elde edilmiştir. Bu teknikle ipsilateral akciğerin ve kalbin aldığı dozların azaltılması hedeflenmiştir. Nefes takibi ile elde edilen görüntüler Eclipse (Varian Medical Systems) 15.6 tedavi planlama sistemine aktarılmış; 10'u sağ ve 10'u sol olmak üzere 20 hastaya tedavi planları hazırlanmıştır. Üç Boyutlu Konformal Radyoterapi (3DCRT) tekniği ile hazırlanan planlarda, karşılıklı tanjansiyel 2 alan tekniği kullanılmıştır. Yoğunluk Ayarlı Radyoterapi (IMRT) tekniği ile hazırlanan planlar ise, karşı memenin alana girmediği iç tanjansiyel ve dış tanjansiyel açılar belirlenmesinin ardından, belirlenen açılara 15 ve 20'şer derecelik açılar eklenmesi ile toplamda 7 alan kullanılarak yapılmıştır. Volümetrik Ark Tedavi (VMAT) tekniği ile hazırlanan sol meme planları 300-160 CW / 160-300 CCW açıları kullanılarak 2 yarım arc şeklinde hazırlanmıştır. Sağ meme hastalarında yine benzer şekilde 2 yarım arc kullanılarak planlar hazırlanmıştır. Daha sonra her hastaya VMAT ile oluşturulan 3DCRT+VMAT, IMRT+VMAT hibrit planları hazırlanmış ve bu hibrit planlar %50-%50 ağırlıklı kombinasyonlar ile elde edilmiştir.

Tedavi dozları, günlük 200 cGy olmak üzere, 25 fraksiyon ve toplam doz 5000 cGy olarak tanımlanmıştır. Tedavi planları 6MV X-ışını kullanılarak, doz hızı 600 MU/dk ile ve PTV'lerde izosantr noktası aynı olacak şekilde hazırlanmıştır. PTV'nin Homojenite İndeksi (HI) ile Konformite İndeksi (CI) ve kritik organ dozları SPSS Wilcoxon testi kullanılarak değerlendirilmiştir.

VMAT, IMRT ve 3DCRT tedavi planlarının 4500 cGy'lik doz dağılımları



VMAT+IMRT ve VMAT+3DCRT hibrit planların 4500 cGy'lik doz dağılımları



Bulgu: Sağ ve sol meme ışınlamalarında VMAT, IMRT+VMAT ve 3D+VMAT hibrit planlarında CI değerleri sırayla; $0,901237 \pm 0,022$, $0,88035 \pm 0,025$ ve $0,846368 \pm 0,055$ bulunmuş ve en iyi sonuçlar VMAT planlarda elde edilmiştir. HI değerleri yukarıdaki sırasıyla; $0,1882 \pm 0,01$, $0,12587 \pm 0,04$, $0,13456 \pm 0,009$ bulunmuş ve en iyi sonuçlar IMRT+VMAT planlarda elde edilmiştir. Aynı taraf ve karşı taraf akciğer için V20(%) hacim değerleri en düşük $11,927 \pm 1,47$ ile IMRT+VMAT hibrit planlarında elde edilirken; V5(%) ve V10(%) hacim değerleri $22,428 \pm 3,12$ ile 3DCRT+VMAT planlarında elde edilmiştir. Karşı meme dozları ise $0,741 \pm 0,652$ ile 3DCRT+VMAT hibrit planlarında en düşük değere sahiptir. Sol meme ışınlamalarında V30(%) hacim değerlerinde en düşük sonuç $0,14906 \pm 0,25$ ile VMAT tekniği ile elde edilirken; V5(%) hacim değerleri için en düşük değer $8,223 \pm 4,33$ ile 3DCRT+VMAT hibrit planlarla elde edilmiştir.

Sonuç: VMAT+3DCRT ve VMAT+IMRT hibrit planlarının; aynı taraf akciğer dozunu, karşı taraf akciğer dozunu ve ışınlanan akciğer hacim değerlerini azalttıkları görülmüştür. Aynı zamanda karşı meme dozunu, ışınlanan meme hacmini ve ayrıca kalp dozunu da azaltarak plan kalitesini arttırdığı görülmüştür. Meme radyoterapisinde kritik organ dozlarının düşürülmesi için VMAT+3DCRT ve VMAT+IMRT hibrit planları seçenek olarak düşünülmelidir.



Prostat Kanserinin Hacimsel Modülasyonlu Ark ile Radyoterapisinde Bilgi Tabanlı Planlama Yönteminin Kullanıldığı Klinik Bir Modelin Elde Edilmesi ve Değerlendirilmesi

ŞEYDA KINAY¹, DOĞUKAN AKÇAY¹, AYŞE NUR DEMİRAL¹, AYŞE NUR DEMİRAL¹, KADİR AKGÜNGÖR², BARBAROS AYDIN¹, İLKNUR BİLKAY GÖRKEN¹

¹DOKUZ EYLÜL ÜNİVERSİTE HASTANESİ RADYASYON ONKOLOJİSİ

²DOKUZ EYLÜL ÜNİVERSİTESİ FEN FAKÜLTESİ FİZİK BÖLÜMÜ

³DOKUZ EYLÜL ÜNİVERSİTESİ SAĞLIK BİLİMLERİ ENSTİTÜSÜ

ŞEYDA KINAY / DOKUZ EYLÜL ÜNİVERSİTE HASTANESİ RADYASYON ONKOLOJİSİ

Amaç: Bu çalışmada prostat kanserinin VMAT tekniği ile tedavisinde Bilgi Tabanlı Planlama (“Knowledge Based Planning”-KBP)KBP tabanlı yöntemlerden biri olan RapidPlanTM algoritmasının kullanıldığı klinik bir modelinapılandırılması ve sonuçları incelendi.

Yöntem: Çalışmada; geriye dönük olarak 2015-2020 tarihleri arasında kliniğimizde VMAT tekniği kullanılarak tedavi edilen prostat kanserli hastaların Tedavi Planlama Sistemi (TPS) verilerini kullanarak RapidPlanTM (Version 15.6.04) ile güvenilir bir klinik model geliştirilip etkinliğini değerlendirebilmek için 75 Prostat Ca tanılı hastanın planları geriye dönük olarak incelendi. 6-10 MV-X ışını ve 2 tam arc kullanılarak planlanan ve hedef dozları Lenf nodu tutulumuna ve operasyon durumuna göre değişen hedef dozu tanımlanan bu hasta grubunda fraksiyon Dozları: 2.1 Gy/fx ile 1.5 Gy/fx arasında değişiklik gösteriyordu. RTOG protokollerindeki öneriler ışığında plan kalitesi değerlendirilen ve planların yüksek kalitede olduğu doğrulanan bu 75 klinik VMAT planları hiç bir müdahale olmaksızın ilk modeli eğitmek (“training”) üzere seçildi. (Model1: Ham model). Modele yüklenen planların kalite kriterleri belirlendi. Normal Dokular: Mesane, Rektum, Femur Başı, Barsak, Rektosigmoid, Anal Kanal ve Penil Bulb olarak girildi. Normal dokularda QUANTEC kriterleri arandı. Model 1’deki amaç, ulaşılabilir OAR DVH’lerini tahmin etmek için bir veri tabanında önceki planların geometrik ve dozimetrik özellikleri arasında bir korelasyon bulmaktı. Böylece her bir OAR için eğitim modelimizdeki geometrik ve dozimetrik aykırı değerler tespit ettik. Aykırı değerleri belirledikten sonra tamamen sağlam bir model oluşturmak üzere modeli bozan planları tekrar değerlendirdik. Bu değerlendirme sırasında öncelikle Geometrik uç değerleri tespit edip bu planları eğitim modelinden çıkartarak modeli kendi içinde tekrar çalıştırıp yeni bir model elde ettik (Model 2). Bir sonraki aşamada dozimetrik uç değerleri saptadık. Bu planlara yönelik iyileştirmeler yapılabiliriyorsa yeniden çalıştık, iyileştirme olmuyorsa modelden çıkartıp tekrar çalıştırarak Model 3’ü elde ettik. Model 1, Model 2, Model 3 arasında en iyi modeli seçebilmek için 20 hastadan oluşan bir grupta karşılaştırma yaptık. İstatistiksel analiz ile üstünlüğü ispatlanan Model 3 ile aynı hastalar üzerinde yeni planlar oluşturarak bu verileri en son modelimiz olan Model 4’ü eğitmek için girdi olarak kullandık. En son aşamada 20 adet tamamen model dışından seçilen hasta grubu ile Model 4’ü test ettik. Doğrulama (“validation”) adımı, çalışmaya dahil etme kriterlerine uygun olan ve tamamen model dışından seçilmiş 20 adet prostat planı ile model 4’ü test ettik. Optimizasyon sürecinde herhangi bir planlayıcı müdahalesi olmadan tek bir optimizasyon ile planlar oluşturuldu. Geliştirilen modelin doğrulaması için 20 olguda bağımsız değişkenlerin (RapidPlanTM yazılımının kullanılması ile geliştirilen modelden elde edilen plana ait doz-hacim verileri ve bu yazılım kullanılmaksızın tedavi planlayıcı tarafından TPS ’den elde edilen klinik plana ait doz-hacim verileri) bağımlı değişkenler (PTV ve OAR parametreleri) üzerine etkileri yönünden birbirleriyle karşılaştırıldı.

Bulgu: Model tarafından ifade edilen verilerdeki değişkenliği ölçerek regresyon modelinin eğitim planı verilerini ne kadar iyi temsil ettiğini açıklayan R2 parametresi; Model 4 te bütün normal dokular için artarak 1’ e yaklaşmıştır. Ayrıca orijinal DVH ile tahmini DVH'nin üst ve alt sınırlarının ortalaması arasındaki mesafeyi ölçerek modelin bir eğitim planında orijinal DVH'yi ne kadar iyi tahmin edebildiğini açıklayan MSE parametresi de en küçük değerleri Model 4 için almıştır.

Sonuç: KBP modeli, normal doku korumasından ödün vermeden plan kalitesini iyileştirir, plan tutarlılığını koruyarak planlayıcılar arası değişkenliği azaltır.



19. ULUSAL MEDİKAL FİZİK KONGRESİ

02-05 KASIM 2023

POSTERLER



Tc-99m MİBİ İle Paratiroid Sintigrafisinde Organ Dozları

MERVE GÜRE¹

¹Trakya Üniversitesi Tıp Fakültesi, Radyasyon Onkolojisi Anabilim Dalı, Edirne

MERVE GÜRE / Trakya Üniversitesi Tıp Fakültesi, Radyasyon Onkolojisi Anabilim Dalı, Edirne

Amaç: Nükleer tıpta yapılan işlemlerden biri paratiroid sintigrafisidir (PS). En yaygın paratiroid görüntüleme işlemi; Tc-99m MIBI (Methoxyisobutylisonitrile) radyofarmasötüğü ile planar ve SPECT (Single Photon Emission Tomography) yöntemidir. Zhao ve ark.'larının çalışmasında paratiroid sintigrafisinde yaklaşık 1/3 vakada MIBI'nin diffüz kemik iliği tutulumu sergilediği görülmüştür. Bu durum sıklıkla PTH yüksekliğine bağlanmış olup; MIBI'nin tutulum mekanizması çözülememiştir. Kanser tedavisi alıp iyileşen insanlar arasında erken ölümlerin başlıca sebebi sekonder malign neoplazmalar (SMN)'dir. Radyasyon tedavisi tedaviye bağlı miyeloid neoplazmalar (t-MN) ile bağdaştırılmıştır. Radyasyonun en yüksek t-MN riskini oluşturduğu yerler aktif kemik iliği bulunan yerlerdir. Bunlar pelvis (%34), omurlar (%35) ve göğüs kafesidir (%19). Birçok çalışmada tiroid kanseri tedavisinde verilen 100 ila 150 Ci üzerindeki kümülatif radyoaktif iyot ablasyonu (RAI) dozlarında lösemi riskinin arttığı gözlemlenmiştir. Tedavi amaçlı radyasyon uygulamalarındaki hastalarda olduğu gibi tanınasal amaçlı uygulamalarda da hastaların altta yatan hastalıkları nedeniyle kemik iliğine verilen radyasyon dozunun önemi ortadadır. Çalışmamızda hiperparatiroid nedeniyle Tc-99m MIBI ile paratiroid sintigrafisi çekilen hastalarda hedef organlardaki absorbe doz hesabı için MIRD yöntemi kullanılarak, tüm vücut dozimetrisi ile birlikte humerus, femur, sternum ve klavikuladaki kemik iliği dozlarının hesaplanması amaçlanmıştır.

Yöntem: Hastaya Tc-99m MIBI enjeksiyonu yapmak için 15-20 mCi aktivite çektiğimiz enjektörü önce doz kalibratöründe ölçüldü ve gamma kamerada 1 dk sayımı alındı. Hastaya çektiğimiz aktivite IV olarak uygulandı. Tc-99m MIBI enjeksiyonu ile eş zamanlı dinamik görüntü edinildi. Enjektörde kalan aktivite önce doz kalibratöründe daha sonra gamma kamerada 1 dk sayıldı. 5 dk dinamik görüntü çekiminden sonra 5 dk statik ile 5 dk statik zoom görüntüsü alındı. Hastadan 2 cc kan alındı. Bu kanın önce doz kalibratöründe sayımı, daha sonra gama kamerada 1 dk sayımı alındı. 1. saat çekimi için ekstra tüm vücut görüntüleme yapıldı. Daha sonra 360 derece görüntüleri ve BT (Computer Tomography) görüntüsü edinildi. 4. saat çekimi ile 24. saat çekimleri de aynı şekilde gerçekleştirildi. Daha sonra her hastaya özel uygulanan aktivite miktarının sistemde tek tek ROI'lerini çizip anterior ve posterior sayımlarını aldık ve geometrik ortalamalarını hesapladık. Bu sayımlardan background (arka plan) sayımlarını çıkarıp net sayımlar elde ettik. Bu işlemleri hastaya uyguladığımız aktiviteden kalan boş enjektör sayımlarına da uyguladık. Dolu enjektör sayım ve aktivite değerlerinden boş enjektör sayım ve aktivite değerlerini çıkardık. Tüm hastaların doz kalibratöründe ölçülen aktivite ile gama kamerada geometrik ortalamalarını aldığımız sayımları bölüp birim aktivitedeki sayımı belirledik ve tüm vücut, sternum, femur, klavikula ve humerus aktivitelerini sayım-aktivite hesabını bulduğumuz dönüşüm faktörü yardımıyla gerçekleştirdik. Bulduğumuz değerleri MIRD formüllerinde yerine koyduk.

Aktivite-sayım değerleri

Aktivite (mCi)	Geometrik Ortalama Alınan Sayımlar	1 mCi Başına Sayım
16,96	1897067	111855,366
15,7	1984888	126425,987
14,78	1844425	104494,249
14,01	1340354	95671,2348
14,05	1164508	82882,247
16,33	1908114	116847,152
17	2376683	139804,882
15,85	1898463	119776,845
16,9	2124144	125688,994
16,15	2184889	135287,245
16,89	2292595	135736,827
16,96	2409944	143923,585
16,63	2349498	141280,698
14,24	1967915	138196,278
15,9	2292744	144197,736
18,22	2278317	125044,841
13,78	1719743	124799,927
14,13	2066842	146273,719
13,56	1886542	139125,516

Tüm hastaların ilgili organ absorbe doz değerleri

Hasta No	Çekim saati	Tüm Vücut (Gy)	Humerus (Gy)	Femur (Gy)	Sternum (Gy)	Klavikula
1	1.	2,38	0,0068	0,0082	0,0051	0,0073
	4.	1,61	0,0042	0,0057	0,0019	0,004
	24.	0,13	0,0003	0,0005	0,0001	0,0002
2	1.	3,32	0,0085	0,0094	0,0072	0,0082
	4.	2,3	0,0064	0,0083	0,0021	0,0047
	24.	0,24	0,0007	0,0012	0,0005	0,0006
3	1.	2,69	0,0068	0,0075	0,0057	0,0068
	4.	1,59	0,0042	0,0042	0,0029	0,0034
	24.	0,13	0,0005	0,0005	0,0001	0,0003
4	1.	2,98	0,0072	0,0113	0,0087	0,0099
	4.	2	0,0038	0,0078	0,0047	0,0053
	24.	0,18	0,0003	0,0006	0,0002	0,0003
5	1.	2,63	0,0053	0,0056	0,0057	0,0061
	4.	1,89	0,0029	0,0038	0,0027	0,0038
	24.	0,13	0,0003	0,0003	0,0002	0,0003
6	1.	2	0,0025	0,0059	0,0022	0,0023
	4.	1,36	0,0015	0,0028	0,0011	0,0017
	24.	0,08	0,0002	0,0003	0,0001	0,0001
7	1.	2,71	0,0049	0,0104	0,0057	0,0057
	4.	2,28	0,0051	0,0069	0,0038	0,0027
	24.	0,13	0,0003	0,0005	0,0003	0,0002
8	1.	2,28	0,0057	0,008	0,0036	0,0057
	4.	1,57	0,004	0,0056	0,0024	0,0038
	24.	0,13	0,0004	0,0005	0,0001	0,0003



19. ULUSAL MEDİKAL FİZİK KONGRESİ

02-05 KASIM 2023



POSTERLER

Tüm hastaların ilgili organ absorbe doz değerleri

Hasta No	Çekim saati	Tüm Vücut (mCi)	Humerus (mCi)	Femur (mCi)	Sternum (mCi)	Klavikula
9	1.	2,41	0,0042	0,0049	0,0011	0,0037
	4.	1,51	0,0037	0,0026	0,0014	0,0025
	24.	0,23	0,0004	0,0006	0,0004	0,0003
10	1.	1,32	0,0021	0,0029	0,0010	0,0027
	4.	0,9	0,0017	0,0017	0,001	0,0016
	24.	0,05	0,0002	0,0002	0,0001	0,0001
11	1.	2,23	0,0069	0,0068	0,0041	0,0034
	4.	1,42	0,0044	0,0042	0,0028	0,0014
	24.	0,14	0,0004	0,0005	0,0002	0,0003
12	1.	2,54	0,0047	0,0071	0,0011	0,0048
	4.	1,6	0,0038	0,0059	0,0019	0,0031
	24.	0,17	0,0005	0,0005	0,0002	0,0003
13	1.	2,6	0,0079	0,0057	0,0019	0,005
	4.	2	0,0047	0,0045	0,0027	0,004
	24.	0,14	0,0003	0,0003	0,0001	0,0003
14	1.	2,44	0,01	0,0069	0,0004	0,0061
	4.	1,56	0,0059	0,0053	0,0021	0,0047
	24.	0,14	0,0006	0,0006	0,0001	0,0004
15	1.	2,47	0,0038	0,0056	0,0027	0,0036
	4.	1,55	0,0028	0,0039	0,0017	0,0027
	24.	0,13	0,0004	0,0005	0,0002	0,0004
16	1.	3,14	0,0054	0,0063	0,0032	0,0033
	4.	1,62	0,0039	0,0051	0,0019	0,0037
	24.	0,19	0,0004	0,0005	0,0002	0,0003
17	1.	2,13	0,0049	0,005	0,004	0,0065
	4.	1,32	0,0046	0,0043	0,0025	0,0044
	24.	0,12	0,0004	0,0004	0,0003	0,0004
18	1.	3,16	0,0065	0,0079	0,0034	0,0049
	4.	2	0,0044	0,0055	0,0026	0,0039
	24.	0,21	0,0007	0,0008	0,0003	0,0004
19	1.	1,95	0,0035	0,0032	0,0024	0,0028
	4.	1,17	0,0029	0,0023	0,0013	0,0021
	24.	0,13	0,0003	0,0003	0,0003	0,0003

Bulgu: Çalışmamızda 19 hastaya PS çekilmiştir. Tüm hastaların ortalama PTH değerleri 124,911±52,482 arasındadır. Çalışmaya katılan hastalara 13,56 mCi – 18,22 mCi değerleri arasında Tc-99m MIBI aktivitesi uygulanmıştır. 19 hasta ile yaptığımız tez çalışmamızda elde ettiğimiz verilerin analizi sonucunda p (anlamlılık) değerleri bulunmuştur. p<0,05 olduğunda istatistiksel olarak anlamlı değerlendirilmiştir. Elde edilen organ absorbe dozların hiç biri istatistiksel olarak anlamlı olarak bulunmamıştır (p>0,05).

Hastaların ilgili organlardaki absorbe doz değerlerinin PTH değerleriyle karşılaştırılması

İlgili Organ	p
Tüm vücut	
1.saat	0,244
4.saat	0,250
24.saat	0,569
Humerus	
1.saat	0,630
4.saat	0,927
24.saat	0,278
Femur	
1.saat	0,753
4.saat	0,752
24.saat	0,832
Sternum	
1.saat	0,086
4.saat	0,512
24.saat	0,564
Klavikula	
1.saat	0,166
4.saat	0,487
24.saat	0,349

Sonuç: Yapılan hesaplamalar sonucunda tüm vücut ve kemik iliği dozimetrisi hastanın PTH değeriyle ilgili değildir. MIBI dozu hastanın PTH değerine göre değiştirilmesine gerek yoktur.



Sağ Meme Radyoterapide Karaciğer Dozlarının İki Farklı Planlama Sisteminde Karşılaştırılması

Ebru Demir¹, Mert Cananoğlu², Nazmiye Deniz Arslan¹, Taylan Bükülmez²

¹İstanbul Aydın Üniversitesi VM Medical Park Florya Hastanesi

²İstinye Üniversite Hastanesi Liv Hastanesi

Ebru Demir / İstanbul Aydın Üniversitesi VM Medical Park Florya Hastanesi

Amaç: Erken evre meme kanserlerinde iyi bir tedavi planlama sistemi (TPS) ile riskli organ dozlarının tolerans değerleri altında tutulması hayat kalitesini arttırmaktadır. Özellikle karaciğer (KC), sistemik tedavilerden de etkileneceği için radyoterapi organ tolerans dozu önemsenmelidir. Bu sebeple, sağ meme radyoterapisinde, iki ayrı TPS’de planlanan hastaların karaciğer ortalama ve maksimum dozlarının değerlendirilmesi ve karşılaştırılması amaçlanmıştır.

Yöntem: Bu çalışmada sağ meme kanseri 10 hasta, Raystation(RayPlan) ve Monaco TPS’de VMAT tekniği kullanılarak planlandı. Planlama aşamasında karaciğer koruması amacıyla herhangi bir kısıtlama (constraint) uygulanmamıştır. 6 MV foton demetleri ile 25 fraksiyonda 50 Gy ve PTV Boost hacmine 5 fraksiyonda 10 Gy olmak üzere toplam 60 Gy tedavi uygulandı. RTOG ve QUANTEC doz-hacim sınırlama protokollerine göre kritik organ dozları sınırlandırıldı. Planların öncelik olarak karaciğer ortalama ve maksimum dozu t-test ile karşılaştırıldı. Ek olarak, sağ akciğer, kalp ve sol meme olmak üzere kritik organ dozları ile tüm planların MU değerleri de karşılaştırılmıştır.

Bulgular: Her iki planlama sistemi karşılaştırıldığında öncelikli olarak karaciğer ortalama dozu ($p < 0.001$) ve maksimum dozu ($p < 0.001$) arasında Raystation lehine istatistiksel olarak anlamlı fark bulundu. Raystation TPS’de planlanan hastaların ortalama karaciğer dozu 2.2 Gy (± 1.01) çıkarken; Monaco TPS’de ise 6.45 Gy (± 3.29) bulunmuştur. Sağ akciğer dozları karşılaştırıldığında ise Raystation ve Monaco TPS’leri için V20 değerleri sırasıyla %9.2 (± 2.97) ve %22 (± 2.54); V10 değerleri %17.15 (± 5.04) ve %32.25 (± 2.18); V5 değerleri ise %36.8 (± 9.63) ve %48.4 (± 3.24) bulunmuştur. Söz konusu değerler istatistiksel olarak anlamlıdır ($p < 0.001$). Karşılaştırmaya dahil edilen kritik organ dozları ve MU değerleri Tablo’da verilmiştir.

Tablo. Raystation ve Monaco TPS’lerin PTV D95 ve maksimum dozları, kritik organ doz-hacim değerleri ve MU’ları p-değerleri eşliğinde verilmiştir.

	Raystation		Monaco		P Değeri
	Ortalama	Std Sapma	Ortalama	Std Sapma	
PTV Sağ Meme (D95) (Gy)	48.11	±5.41	48.00	±6.69	<0.001
PTV Boost (D95) (Gy)	40.25	±5.53	39.75	±6.61	0.91
Sağ Akciğer (V20) (%)	9.20	±2.97	22.00	±2.54	<0.001
Sağ Akciğer (V10) (%)	17.15	±5.04	32.25	±2.18	<0.001
Sağ Akciğer (V5) (%)	36.80	±9.63	48.40	±3.24	<0.001
Organ Cost (Kardiyak) (Gy)	1.00	±0.97	1.76	±0.76	0.09
Kalp (D05) (Gy)	1.90	±0.89	3.93	±0.74	0.10
Östrogon (D05) (Gy)	1.90	±0.62	3.93	±0.80	0.41
Östrogon (D01) (Gy)	1.41	±0.57	3.90	±0.66	0.01
Sol Akciğer (D05) (Gy)	1.30	±0.43	2.30	±0.54	0.14
Sol Meme (D05) (Gy)	62.40	±5.02	22.00	±6.60	<0.001
Sol Meme (D01) (Gy)	2.30	±0.83	4.30	±0.83	0.02
Karaciğer (D05) (Gy)	2.20	±1.01	6.45	±3.29	<0.001
Karaciğer (D01) (Gy)	2.20	±1.01	6.45	±3.29	<0.001
DMax (Gy)	43.13	±6.33	62.00	±6.38	<0.001
Sağ Meme MU	103.00	±62.82	104.00	±15.74	<0.001
İstinye MU	100.00	±21.98	100.00	±16.70	<0.001

Sonuç: Yaptığımız çalışmada karaciğer ortalama ve maksimum dozları olmak üzere diğer kritik organ dozları da karşılaştırıldığında, Raystation TPS anlamlı olarak üstün bulunmuştur. Ayrıca iki farklı TPS için karşılaştırılan MU değerleri de, Raystation TPS için anlamlı olarak üstündür. Bu bağlamda yapılan planların, tedavi planlama süreleri de büyük fark göstermektedir. Fakat, Monaco TPS kadar yaygın kullanılan ve kullanıcı tecrübesi yüksek bir planlama sistemi olmadığı için daha çok klinik çalışmalara ihtiyaç vardır.



İntrakraniyal Radyocerrahi Uygulamalarında Kullanılan Mr Görüntülerindeki Distorsiyonun Geometrik Belirsizliğe Olan Etkisinin Belirlenmesi

OSMAN ARTUNÇ TÜRE¹, EVREN OZAN GÖKSEL¹, SEÇKİN GÜNDÜZ¹, LATİF KORKMAZ², VOLKAN DEMİRCAN¹

¹Acıbadem Altunizade Hastanesi

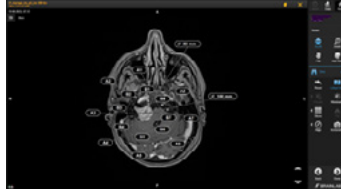
²Tetraon Medikal

OSMAN ARTUNÇ TÜRE / Acıbadem Altunizade Hastanesi

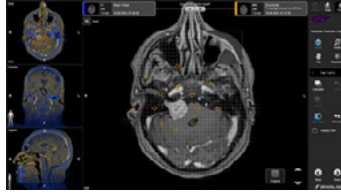
Amaç: Radyocerrahi tekniğinde hedefe tek seferde yüksek doz uygulandığından, hedef yapının ve çevre normal dokuların doğru belirlenmesi tedavinin başarısını doğrudan etkiler. Özellikle Vestibüler Schwannom (VS) radyocerrahi uygulamalarında hedef yapının belirlenmesi için MR görüntülemesinin kullanılması altın standarttır. Ancak, MR görüntüsündeki distorsiyona bağlı oluşacak geometrik bozulmalar hedef yapının belirlenmesinde belirsizliklere neden olabilir. Bu çalışmada, VS radyocerrahi planlamasında kullanılan MR görüntülerinde distorsiyon nedeniyle oluşan geometrik belirsizlikler araştırılmıştır.

Yöntem: Radyocerrahi tedavisi uygulanmış 10 Vestibüler Schwannom hastasının planlama amacıyla çekilen MR (Siemens Magnetom Prisma Fit) ve BT (Siemens Somatom go.Up) görüntüleri Brainlab Elements yazılımına aktarıldı. ImageFusion 4.5 programı ile MR görüntüsü BT görüntüsüne göre deforme edilerek MR görüntüsündeki distorsiyonlar düzeltildi. Daha sonra Viewer 5.3 programında lezyonlar merkez olacak şekilde 2 cm, 5 cm ve 10 cm çaplı küreler oluşturuldu ve bu kürelerin içerisinde düzeltilen geometrik bozulma miktarları 3B vektörler olarak belirlendi.

Lezyonun merkezinden oluşturular daireler



MR distorsiyonunun lezyona etkisini araştırmak için oluşturulan daireler
MR distorsiyon haritası



BT' ye göre deforme olmuş MR' ın matrisler üzerinden distorsiyon haritası

Bulgu: Hedef yapı ve 2cm'lik küre içerisinde düzeltilen distorsiyon değerlerinin maksimumlarının ortalaması $0,32 \pm 0,9$ mm ve maksimum $0,45$ mm olarak bulunmuştur. Ölçülen düzeltme miktarı 2-5cm çaplı küreler arasında kalan bölgede antero-lateral yönde maksimumların ortalaması $0,86 \pm 0,15$ ve maksimum $1,12$ olarak ölçülmüştür. 5-10 cm çaplı küreler arasında kalan bölgede düzeltilen distorsiyon miktarının yine antero-lateral yönde maksimumların ortalaması $1,09 \pm 0,46$ mm ve maksimum $2,12$ mm olacak şekilde arttığı görülmüştür.

Sonuç: VS radyocerrahi planlamalarında kullanılan MR görüntülerinde ölçülen distorsiyon değerleri hedef yapı ve çevresindeki 2 cm'lik küre için klinik olarak kabul edilebilir sınırlar içerisinde bulunurken, 5 ve 10 cm'lik kürelerde 1 mm'nin üzerinde değerler ölçülmüştür. MR görüntüsü kullanılan ve milimetrenin altında hassasiyet ile yapılan radyocerrahi tedavilerinde distorsiyona bağlı belirsizlikler uygun yazılımlar kullanılarak düzeltilmelidir.



19. ULUSAL MEDİKAL FİZİK KONGRESİ

02-05 KASIM 2023

POSTERLER



Meme Kanseri Tanısı Almış Hastalarda Sağ Göğüs Duvarı ve Tüm Lenfatiklerin Işınlamasında Derin İspirasyon Nefes Tutmanın (DIBH) Akciğer ve Kalp Dozuna Etkisinin Araştırılması

TUĞBA ATAĞUL¹, AYFER TEMÜR¹, YAKUP ARSLAN¹, SÜMERYA DURU BİRGİ¹, OĞUZHAN BAŞÇİK¹, YUNUS BABAYİ-ĞİT¹, SERAP AKYÜREK¹

¹Ankara Üniversitesi Tıp Fakültesi Radyasyon Onkolojisi Anabilim Dalı

TUĞBA ATAĞUL / Ankara Üniversitesi Tıp Fakültesi Radyasyon Onkolojisi Anabilim Dalı

Amaç: Derin inspirasyon nefes tutmanın (DIBH), sol meme göğüs duvarı ve tüm lenfatik ışınlamalarında akciğer ve kalp dozunu azalttığı bilinmektedir. Bu çalışmada amaç, sağ meme kanseri nedeni ile sağ göğüs duvarı ve tüm lenfatik ışınlama yapılan hastalarda DIBH'un akciğer ve kalp dozları üzerine etkisini araştırmaktır. Meme Kanseri Tanısı Almış Hastalarda Sağ Göğüs Duvarı ve Tüm Lenfatiklerin Işınlamasında Derin İspirasyon Nefes Tutmanın (DIBH) Akciğer ve Kalp Dozuna Etkisinin Araştırılması

AMAÇ: Derin inspirasyon nefes tutmanın (DIBH), sol meme göğüs duvarı ve tüm lenfatik ışınlamalarında akciğer ve kalp dozunu azalttığı bilinmektedir. Bu çalışmada amaç, sağ meme kanseri nedeni ile sağ göğüs duvarı ve tüm lenfatik ışınlama yapılan hastalarda DIBH'un akciğer ve kalp dozları üzerine etkisini araştırmaktır.

AMAÇ

Yöntem: Çalışmaya Ocak–Eylül 2023 tarihleri arasında meme kanseri nedeniyle sağ göğüs duvarı ve tüm lenfatik (aksilla + supraklavikuler + internal mamarian lenfatikler) alan radyoterapi (RT) uygulanan 11 DIBH uyumlu hasta dahil edildi. Hastaların hem DIBH hem de serbest solunumla (FB) 2,5 mm kalınlığında simülasyon tomografi görüntüleri alındı. Hedef hacimler ve risk altındaki organlar belirlenip hedef hacim ve diğer risk altındaki organ dozları optimal tutularak ECLIPSE V15.6 tedavi planlama sistemi ile 7-9 alanlı tanjansiyel yoğunluk ayarlı radyoterapi (YART) planlama veya konformal radyoterapi (KRT) ve 7-9 alanlı tanjansiyel YART şeklinde hibrit planlama yapılan hastalarda analizler hem FB hem de DIBH için yapıldı. Planlar arasındaki farklar doz volüm histogramları (DVH) üzerinden karşılaştırıldı.

Meme Kanseri Tanısı Almış Hastalarda Sağ Göğüs Duvarı ve Tüm Lenfatiklerin Işınlamasında Derin İspirasyon Nefes Tutmanın (DIBH) Akciğer ve Kalp Dozuna Etkisinin Araştırılması

YÖNTEM: Çalışmaya Ocak–Eylül 2023 tarihleri arasında meme kanseri nedeniyle sağ göğüs duvarı ve tüm lenfatik (aksilla + supraklavikuler + internal mamarian lenfatikler) alan radyoterapi (RT) uygulanan 11 DIBH uyumlu hasta dahil edildi. Hastaların hem DIBH hem de serbest solunumla (FB) 2,5 mm kalınlığında simülasyon tomografi görüntüleri alındı. Hedef hacimler ve risk altındaki organlar belirlenip hedef hacim ve diğer risk altındaki organ dozları optimal tutularak ECLIPSE V15.6 tedavi planlama sistemi ile 7-9 alanlı tanjansiyel yoğunluk ayarlı radyoterapi (YART) planlama veya konformal radyoterapi (KRT) ve 7-9 alanlı tanjansiyel YART şeklinde hibrit planlama yapılan hastalarda analizler hem FB hem de DIBH için yapıldı. Planlar arasındaki farklar doz volüm histogramları (DVH) üzerinden karşılaştırıldı.

YÖNTEM

Bulgu: Çalışmaya dahil edilen T2-4, N1-3 lokal ileri evre meme kanseri hastalarının ortalama yaşı 49 yıl (aralık: 36-61 yıl) olup tüm hastaların ECOG performans skoru 0-1 idi. Tüm hastalara 50 Gy/25 fraksiyon RT planlanmıştı. Hastaların PTV, CTV doz ve akciğer, kalp, karşı meme, sol ön inen koroner arter (LAD) gibi diğer riskli organların aldığı dozlar üzerinden DVH'ler her iki plan için değerlendirildi. Tüm hastaların ortalama DIBH-FB dozları sırası ile ipsilateral akciğer ortalama dozu(Gy) (14,6±0,8 ile 16,9±1,2, p<0,05), ipsilateral akciğer V5(Gy) (67,6±5,5 ile 74,4±3,8, p<0,05), ipsilateral akciğer V10(Gy) (44,5 ±3,2 ile 51,3±3,2, p<0,05), ipsilateral akciğer V20(-Gy) (29,3±3,8 ile 33,4± 4,5, p<0,05), ipsilateral akciğer V30(Gy) (18,1 ± 3,7 ile 22,5± 4,9, p<0,05), kontralateral akciğer mean dozu(Gy) (3,1 ±1,6 ile 2,8±1,3, p>0,05), kalp maksimum dozu(Gy) (18,1±7,4 ile 19,7 ±6,6, p>0,05), kalp ortalama dozu(Gy) (3,8 ±1,4 ile 4,9± 1,3, p>0,05), kalp V10 (Gy) (3,5 ±4,2 ile 5,7± 5,4, p>0,05), kalp V20(Gy) (0,1± 0,3 ile 0,1±0,2, p>0,05), LAD ortalama dozu(Gy) (2,8 ±1,6 ile 2,3 ±1,7, p>0,05), karşı meme ortalama dozu(Gy) (2,6± 1,3 ile 2,6±1,2, p>0,05) olarak bulundu. DIBH ile ipsilateral akciğer ortalama, ipsilateral akciğer V5, ipsilateral akciğer V10, ipsilateral akciğer V20, ipsilateral akciğer V30 dozlarında istatistiksel olarak anlamlı azalma saptandı.

Meme Kanseri Tanısı Almış Hastalarda Sağ Göğüs Duvarı ve Tüm Lenfatiklerin Işınlamasında Derin İspirasyon Nefes Tutmanın (DIBH) Akciğer ve Kalp Dozuna Etkisinin Araştırılması

BULGULAR: Çalışmaya dahil edilen T2-4, N1-3 lokal ileri evre meme kanseri hastalarının ortalama yaşı 49 yıl (aralık: 36-61 yıl) olup tüm hastaların ECOG performans skoru 0-1 idi. Tüm hastalara 50 Gy/25 fraksiyon RT planlanmıştı. Hastaların PTV, CTV doz ve akciğer, kalp, karşı meme, sol ön inen koroner arter (LAD) gibi diğer riskli organların aldığı dozlar üzerinden DVH'ler her iki plan için değerlendirildi. Tüm hastaların ortalama DIBH-FB dozları sırası ile ipsilateral akciğer ortalama dozu(Gy) (14,6±0,8 ile 16,9±1,2, p<0,05), ipsilateral akciğer V5(Gy) (67,6±5,5 ile 74,4±3,8, p<0,05), ipsilateral akciğer V10(Gy) (44,5 ±3,2 ile 51,3±3,2, p<0,05), ipsilateral akciğer V20(Gy) (29,3±3,8 ile 33,4± 4,5, p<0,05), ipsilateral akciğer V30(Gy) (18,1 ± 3,7 ile 22,5± 4,9, p<0,05), kontralateral akciğer mean dozu(Gy) (3,1 ±1,6 ile 2,8±1,3, p>0,05), kalp maksimum dozu(Gy) (18,1±7,4 ile 19,7 ±6,6, p>0,05), kalp ortalama dozu(Gy) (3,8 ±1,4 ile 4,9± 1,3, p>0,05), kalp V10(Gy) (3,5 ±4,2 ile 5,7± 5,4, p>0,05), kalp V20(Gy) (0,1± 0,3 ile 0,1±0,2, p>0,05), LAD ortalama dozu(Gy) (2,8 ±1,6 ile 2,3 ±1,7, p>0,05), karşı meme ortalama dozu(Gy) (2,6± 1,3 ile 2,6±1,2, p>0,05) olarak bulundu. DIBH ile ipsilateral akciğer ortalama, ipsilateral akciğer V5, ipsilateral akciğer V10, ipsilateral akciğer V20, ipsilateral akciğer V30 dozlarında istatistiksel olarak anlamlı azalma saptandı.



19. ULUSAL MEDİKAL FİZİK KONGRESİ

02-05 KASIM 2023

POSTERLER



Sonuç: Çalışmamızda sağ göğüs duvarı ve tüm lenfatiklere RT alan hastalarda hedef hacim-doza parametreleri ve diğer riskli organ dozları kabul edilebilir düzeyde tutularak yapılan planlar değerlendirildiğinde ipsilateral akciğer dozları için istatistiksel anlamlı bir azalma gözlenirken; karşı akciğer, kalp, LAD, karşı meme dozlarında anlamlı değişiklik saptanmadı. DIBH tekniği sol meme kanserinde olduğu gibi sağ göğüs duvarı ve lenfatik ışınlama yapılan hastalarda da kritik organ dozları açısından avantaj sağlamaktadır.

Meme Kanseri Tanısı Almış Hastalarda Sağ Göğüs Duvarı ve Tüm Lenfatiklerin Işınlanmasında Derin İspirasyon Nefes Tutmanın (DIBH) Akciğer ve Kalp Dozuna Etkisinin Araştırılması

SONUÇ: Çalışmamızda sağ göğüs duvarı ve tüm lenfatiklere RT alan hastalarda hedef hacim-doza parametreleri ve diğer riskli organ dozları kabul edilebilir düzeyde tutularak yapılan planlar değerlendirildiğinde ipsilateral akciğer dozları için istatistiksel anlamlı bir azalma gözlenirken; karşı akciğer, kalp, LAD, karşı meme dozlarında anlamlı değişiklik saptanmadı. DIBH tekniği sol meme kanserinde olduğu gibi sağ göğüs duvarı ve lenfatik ışınlama yapılan hastalarda da kritik organ dozları açısından avantaj sağlamaktadır.



Hastaya Özel Kalite Kontrolde Mobius 3d Sisteminin Kullanılabilirliği

İrem AYDIN¹, Burçin İSPİR¹, Öznur ŞENKESEN²

¹Acıbadem Ataşehir Hastanesi

²Acıbadem MAA Üniversitesi

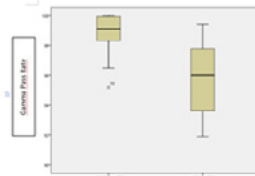
İrem AYDIN / Acıbadem Ataşehir Hastanesi

Amaç: Tedavi öncesi hastaya özel kalite kontrol için kullandığımız bağımsız hesaplama algoritmasına sahip Mobius 3D sistemi değerlerinin, Ethos tedavi planlama sistemi (TPS) ve ArcCHECK ölçüm sonuçları ile karşılaştırılarak kullanılabilirliğinin değerlendirilmesi amaçlanmıştır.

Yöntem: Çalışmaya kliniğimizde radyoterapi uygulanan 15 meme kanseri tanılı hasta dahil edilmiştir. Tedavi planlama amacıyla 3 mm kesit aralığı ile bilgisayarlı tomografi çekilerek görüntüler tedavi planlama sistemine (Eclipse v16.1) aktarılmıştır. Hedef hacim ve risk altındaki organlar konturlanmıştır. Eclipse TPS'nde Ethos (Varian) için 6 MV FFF enerjisi ile ileri radyoterapi teknikleri (IMRT veya VMAT) kullanılarak yapılan tedavi planları Ethos TPS'ne aktarılmıştır. Ethos TPS'nden tedavi öncesi plan doğrulama için oluşturulan kalite kontrol planları Mobius 3D ve ArcCHECK sistemlerine aktarıldı. Mobius 3D'nin verdiği gamma değeri (%3-3mm) ile ArcCHECK dozimetri sisteminde aldığımız ölçüm sonucunda elde edilen gama değerleriyle karşılaştırıldı. Ayrıca, Collapse Cone algoritmasını kullanan Mobius 3D yazılımı ile elde edilen hedef hacim ve kritik organların doz hacim histogramı (DVH) Ethos TPS ile karşılaştırıldı.

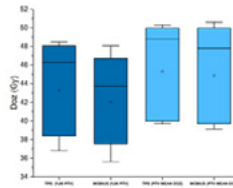
Bulgu: Mobius 3D'nin ArcCHECK ölçüm sistemine göre gama geçme oranları ortalama (min-maks) 3.17 (-0.91-7.16) daha düşük bulunmuştur. Şekil 1'de sonuçlar verilmiştir. Mobius 3D ile TPS de DVH karşılaştırıldığında hedef hacmin %95'inin aldığı dozlar arasındaki fark, ortalama (min-maks) % -2.56 [-4.75-(-0.78)], mean doz karşılaştırıldığında ise; ortalama (min-maks) % -0.82 (-2.62-1.01) Mobius 3D'de daha düşük bulunmuştur. Sonuçlar şekil 2'de sunulmaktadır. Risk altındaki organlar için Mobius 3D ile TPS karşılaştırması yapıldığında; ortalama (min-maks) karşı akciğer için fark, % -0.38 [-0.73-(-0.16)], kalp için, % -0.75 [-1.14-(-0.39)], taraf akciğer, % -1.84 [-2.35-(-1.02)], karşı meme, % -0.26 [-0.48-(-0.1)] Mobius 3D daha düşük bulunmuştur. Şekil 3'de sonuçlar verilmiştir.

Şekil 1



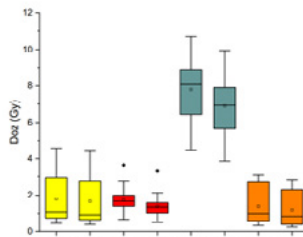
ArcCHECK ve Mobius 3D sisteminin TPS doz dağılımı ile karşılaştırıldığında elde edilen gama geçme oranları

Şekil 2



TPS ve Mobius 3D sisteminde hedef hacmin %95'inin aldığı dozlar ve mean doz karşılaştırması

Şekil 3



TPS ve Mobius 3D sisteminde risk altındaki organların mean doz karşılaştırması

Sonuç: Elde ettiğimiz sonuçlara göre Mobius 3D yazılımının tedavi öncesi kalite kontrol testlerinde kullanımının uygun olduğu bulunmuştur.



Larenks Kanseri Radyoterapisinde Ff Ve Fff Işınlarnın Histopatolojik Ve Ki-67 Parametrelerine Etkisinin İncelenmesi

Serhat Aras¹, Şilem Ertürk¹, Şeyma İnan Mahioğlu¹, Hatice Kübra Kölemen Tekten¹, Hatice Sevinç¹, Barış Kaplan¹

¹Sağlık Bilimleri Üniversitesi, Haydarpaşa Numune Eğitim ve Araştırma Hastanesi, Radyasyon Onkolojisi ABD, İstanbul Türkiye

Serhat Aras / Sağlık Bilimleri Üniversitesi, Haydarpaşa Numune Eğitim ve Araştırma Hastanesi, Radyasyon Onkolojisi ABD, İstanbul Türkiye

Amaç: Bu çalışmanın amacı, NOD SCID gama (NSG) fare modelleri üzerinde radyoterapi sonrası larenks kanserinin (LKa) altında yatan radyobiyojik mekanizmaları araştırmak için Flattening Filter (FF) ve Flattening Filter Free (FFF) ışınlarının histopatolojik değişiklikler ve Ki-67 ekspresyon seviyeleri üzerindeki etkisini analiz etmektir.

Yöntem: Kırk yetişkin NSG fare modelleri, sham kontrol, sadece LKa, FF ve FFF olmak üzere rastgele dört gruba ayrıldı. FF ve FFF gruplarındaki (LKa artı RT grupları) farelerin baş ve boyun bölgesine 400 MU/min ve 1400 MU/min doz hızlarında 18 Gy tek doz radyoterapi uygulandı. NSG farelerine tümör transplantasyonundan (Hep-2 kanser hücre hattı, 0.1 ml, 1 X10⁶ hücre/ml) 30 gün sonra radyoterapi uygulandı ve histopatoloji parametrelerinin ve Ki-67 ekspresyon seviyelerinin analizi için radyoterapiden 2 gün sonra sakrifiye edildi.

Bulgu: LKa, FF ve FFF grupları, sham grubu ile karşılaştırıldığında tümör dokusu ve doz hızına bağlı olarak histopatolojik parametrelerde istatistiksel olarak anlamlı farklılıklar gözlemlendi (p <0.05). FF ışınının LKa dokusu üzerindeki histopatolojik etkileri, FFF ışınıyla karşılaştırıldığında istatistiksel olarak anlamlı farklılıkların olduğu görüldü (p <0.05). LKa grubu, sham grubu ile karşılaştırıldığında Ki-67 düzeyinin kanser gelişimine bağlı olarak anlamlı düzeyde etkilendiği görüldü ve doz hızları arasında istatistiksel olarak anlamlı farklılıklar gözlemlendi (p <0.01).

Şekil 5. Deneysel NSG fare gruplarının kesitleri



Deneysel NSG fare gruplarının kesitleri

Sonuç: FF ve FFF ışınlarının histopatolojik parametrelerde ve Ki-67 ifade düzeylerinde önemli değişikliklere neden olduğu sonucuna varıldı. FFF ışınının Ki-67 seviyeleri, hücre çekirdeği ve sitoplazmik bulgular üzerindeki etkileri, FF ışınıyla karşılaştırıldığında önemli radyobiyojik farklılıklar gözlemlendi.



Craniospinal Işınlamalarda Radiact Tomoterapi ve C-Kollu Lineer Hızlandırıcı Planlamalarının Doz Karşılaştırması

Sezen Emek¹, Damla Poyraz¹, Erhan Dişçi¹, Zeynep Güral¹, Serap Yücel¹, Fulya Ağaoğlu¹

¹Acıbadem Atakent Hastanesi

Sezen Emek / Acıbadem Atakent Hastanesi

Amaç: Bu çalışmada 18 hastanın kraniyospinal aks ışınlamalarının (CSI) c-kollu lineer hızlandırıcı ve helikal tomoterapi tedavi planlama tekniklerinin karşılaştırılması amaçlandı. İki tedavi planlama sisteminde yapılan tedavi planları hedef hacim kapsama ve kritik organ doz tolerans değerleri kullanılarak karşılaştırma yapılmıştır.

Yöntem: Çalışmada 18 medullablastoma hastasının CSI tedavi planmaları baş-ganrtı olarak çekilen BT simülasyonu üzerine , Planlanan hedef hacim (PTV) verilen doz 23.4Gy/13fr olacak şekilde yapılmıştır. Eclipse V13,6 ile Varian Truebeam STx (HDMLC) cihazında 3 merkezli VMAT tedavi tekniği kullanılarak planlamalar yapılmıştır (Resim1). Aynı hastalara Precise VOLO Ultra (Dynamic Jaw) ile Radixact cihazında helikal tedavi tekniğinde planlamalar yapılmıştır (Resim2). Her iki tedavi planlamasının doz hacim histogramlarında (IDVH) kritik organ dozları ve PTV hedef hacim kapsama açısından karşılaştırıldı.

Resim1



Resim1



Bulgu: Tablo1

	Radixact	Truebeam	Fark
Lens max (Gy)	2.28	5.56	3.28
Akciger V5 (Gy)	37.99	37.72	-0.27
Bobrek mean (Gy)	1.68	3.75	2.07
Kalp mean (Gy)	2.06	5.87	3.81

Sonuç: Kritik organ doz değerlerini karşılaştırdığımızda Radixact'ın helikal ışınlama tekniğinden dolayı daha iyi doz kontrolü sağladığı görülmektedir. Radixact cihazında tek seferde 160 cm uzunluğunda tedaviler yapılabilir. Hasta IGRT'si Clear RT sayesinde tomografi kalitesinde tek seferde neredeyse tüm vücut olacak şekilde yapılabilir. Bu da C-kollu linaklardaki hem tedavi hem de IGRT alan sınırlamalarından gelen kesişim bölgelerinin belirsizliklerini ortadan kaldırıyor.



19. ULUSAL MEDİKAL FİZİK KONGRESİ
02-05 KASIM 2023



POSTERLER

Klinik Protokoller için ELEKTA XVI Sisteminin Görüntü Kalitesi ve CBCT (Cone-Beam CT) Dozu Optimizasyonu

Ezgi Kiraz Ergen¹, Mümin Eray Ergen¹

¹Bursa Acıbadem Hastanesi

Ezgi Kiraz Ergen / Bursa Acıbadem Hastanesi

Amaç: Görüntü kılavuzluğunda radyoterapinin (IGRT) birincil hedeflerinden biri Hedef Volüm marjlarını azaltmak ve bu sayede keskin doz gradyanları sağlayarak kritik organ dokuları (OAR) korumaktır. Bu hedefler doğrultusunda doğrulama CBCT' sinin radyoterapide kullanımı son zamanlarda önemli ölçüde artmış olup bu da beraberinde bazı hastalar için alınan doz miktarını yükseltmiştir. Elekta XVI sistemi ile gelen genel preset (ön ayar) protokolleri üreticiler tarafından belirli bir kliniğe göre optimize edilmezler. Bu çalışmanın amacı; Elekta XVI sistemi kullanılarak tüm tedavi bölgeleri için görüntü kalitesini bozmadan CBCT dozunu optimize etmektir.

Yöntem: Klinik protokolleri optimize etmek için fantom olarak CATPHAN503 (The Phantom Laboratory) kullanılmıştır. Optimizasyon, tüm tedavi bölgeleri için iki gereksinime dayandırılmıştır: birincisi 'Ne tür doku ışınlanıyor?', ikincisi ise 'Tedavi bölgesi için hangi bilgilerin daha önemli olduğu (Doğru görüntü incelemesi)'. Sistem ayarları ile gelen genel preset protokolleri ile yapılan çekimler referans görüntü olarak kabul edilmiştir. Bu genel preset protokollerinde bulunan kV, mA ve ms/frame değerleri CBCT dozunu düşürecek şekilde ayarlanmıştır. CBCT dozuna karşı, tüm tedavi bölgeleri için elde edilen görüntü kalitesi, referans görüntü kalitesi ile karşılaştırılmıştır.

Bulgu: Tüm tedavi bölgeleri için yapılan CBCT çekimlerinde görüntü kalitesi korunmuş olup CBCT dozları ise düşürülmüştür. Özellikle pelvis hastalarının diğer tedavi bölgelerine göre CBCT dozları daha yüksek olduğundan dolayı en fazla doz düşüşü pelvis hastalarında görülmüştür.

Sonuç: Optimizasyon süreci; tüm tedavi bölgeleri için CBCT dozunu yönetmemizi sağlamıştır. Yapılan değişiklikler sonucunda klinik olarak kabul edilebilir görüntü kalitesi sağlanmış ve CBCT dozu da azaltılmıştır. Şu an kliniğimizde oluşturduğumuz preset protokolleri kullanılmaktadır. Elekta XVI sisteminde CBCT doz parametrelerinin değiştirilebilir olması sayesinde fizikçi tarafından gerekli ölçümlerin yapılması koşuluyla her kliniğin kendi CBCT görüntü kalitesi ve dozunu optimize etmesi mümkün hale gelmiştir.



Filtresiz Işınlarda Farklı Tedavi Planlama Sistemlerinde Stereotaktik Beden Radyoterapisi İçin Akciğer Tümörlerinde Filtreli Işınlara İle Karşılaştırılması

EBRU DEMİR¹, NAZMİYE DENİZ ARSLAN¹, ERSAN YILMAZ², AYKUT AKSOY²

¹1. İ.A.Ü. VM Medical Park Floya Hastanesi, Radyasyon Onkolojisi Bölümü

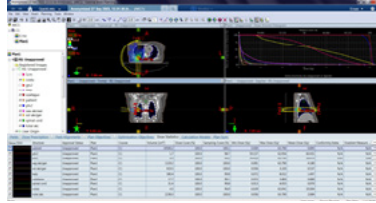
²2. Kars Kafkas Üniversitesi Radyasyon Onkolojisi Bölümü

EBRU DEMİR / 1. İ.A.Ü. VM Medical Park Floya Hastanesi, Radyasyon Onkolojisi Bölümü

Amaç: İki farklı tedavi planlama sistemi(TPS) ve filtreli-filtresiz ışınlar kullanarak akciğer kanseri Stereotaktik Beden Radyoterapisi(SBRT) hastalarının tedavi planlarının tüm yönleriyle değerlendirilip karşılaştırılmasıdır

Yöntem: Kars Kafkas Üniversitesi Hastanesi Radyasyon Onkolojisi bünyesinde bulunan Eclipse 13.6-AAA(TPS1) ve İ.A.Ü. VM Medical Park Florya Hastanesi bünyesinde bulunan RayStation 12A-CC(TPS2) verileri kullanılmıştır. Eclipse Analitik Anizotropik Algoritmayı (AAA) kullanırken, RayStation ise daraltılmış koni (CC) algoritması ile planları hesaplamıştır. 10 farklı akciğer SBRT hastasının bilgisayarlı tomografi (BT) görüntüleri retrospektif olarak seçilmiştir. Elde edilen BT görüntüleri Raystation 12A ve Eclipse 13.6 planlama bilgisayarına yüklenerek her hasta için tedavi alanı ve kritik yapılar radyasyon onkoloğu tarafından konturlanmıştır. 2 farklı TPS verileri kullanılarak 10 farklı hasta için 750 cGy/gün toplamda 8 fraksiyon tedavinin doz hesaplaması yapılmıştır. 6 MV Filtreli(6FF) ve 6 MV Filtresiz(6FFF) kullanarak tedavi planları hazırlanmıştır. Hedef hacim ve kritik organlar açısından birbirine yakın planlar elde edilmiş ve planların kritik organ, V95 dozlarının, konformalite index(CI) değerinin karşılaştırılması amaçlanmıştır.

ECLIPSE



ECLIPSE ÖRNEK PLANLAMA
RAYSTATION



RAYSTATION ÖRNEK PLANLAMA

Bulgu: Eclipse verileri kullanılarak yapılan doz hesaplamasında PTV'nin 6FF ışınlamada V95 ortalama dozu 57.03 Gy'dir. Kritik organ dozları akciğer için V5, V10, V20 ve ortalama dozları sırasıyla 17.2, 9.49, 3.83, ve 3.8 Gy; medulla için ortalama Dmax, 12.8 Gy'dir. Kalp ve özefagus için ortalama doz değerleri ise ortalama olarak sırasıyla 2.5 ve 2.2'dir. Ayrıca CI değeri ise ortalama olarak 0.92 bulunmuştur. Eclipse verileri kullanılarak yapılan doz hesaplamasında PTV'nin 6FFF ışınlamada V95 ortalama dozu 57.99 Gy'dir. Kritik organ dozları akciğer için V5, V10, V20 ve ortalama dozları sırasıyla 16.74, 9.58, 3.69, ve 3.7 Gy; medulla için ortalama Dmax, 14 Gy'dir. Kalp ve özefagus için ortalama doz değerleri ise sırasıyla ortalama 2.6 ve 2.6'dir. Ayrıca CI değeri ise ortalama olarak 0.94 bulunmuştur. RayStation verileri kullanılarak yapılan doz hesaplamasında PTV'nin 6FF ışınlamada V95 ortalama dozu 56.95 Gy'dir. Kritik organ dozları akciğer için V5, V10, V20 ve ortalama dozları sırasıyla 16, 8.25, 2.02, ve 2.55 Gy; medulla için ortalama Dmax, 4.63 Gy'dir. Kalp ve özefagus için ortalama doz değerleri ise sırasıyla ortalama 1.52 ve 1.3'dir. Ayrıca CI değeri ise ortalama olarak 0.92 bulunmuştur. RayStation verileri kullanılarak yapılan doz hesaplamasında PTV'nin 6FFF ışınlamada V95 ortalama dozu 57.46 Gy'dir. Kritik organ dozları akciğer için V5, V10, V20 ve ortalama dozları sırasıyla 16.1, 8, 3.5, ve 2.46 Gy; medulla için ortalama Dmax, 4.68 Gy'dir. Kalp ve özefagus için ortalama doz değerleri ise sırasıyla ortalama 1.45 ve 1.3'dir. Ayrıca CI değeri ise ortalama olarak 0.975 bulunmuştur. Farklı TPS verileri ile elde edilen bu veriler karşılaştırıldığında PTV için CI ve V95 değerleri ayrıca akciğer için V5, V20 değerleri istatistiksel olarak anlamlı bulunmuş (p>0,05). Bunlara ek olarak kalp, özefagus ve medulla dozlarında istatistiksel olarak anlamlı bulunmuştur (p>0.05).



19. ULUSAL MEDİKAL FİZİK KONGRESİ

02-05 KASIM 2023



POSTERLER

TABLO

#ff estp	<%60	<%50	<%30	<20 Gy	<44 Gy	<25 Gy	<34 Gy			
RASTA	Baanta no	TOT AKC V5 (%)	TOT AKC V10 (%)	TOT AKC V20 (%)	TOT AKC MEAN (cGy)	MEDUL LA MAX (cGy)	HEART MEAN (cGy)	OZEFAG US MEAN (cGy)	V95	CI
	AKC1	14	8	4	3.5	13	2.5	2.1	56.8	0.91
	AKC2	15.5	9.8	3.7	3.9	12.5	2.7	2.3	57.2	0.94
	AKC3	17.8	10.2	3.9	3.7	12.7	2.1	2	56.9	0.9
	AKC4	18.3	8.5	3.5	4	12.9	2.8	2.4	57.4	0.93
	AKC5	17	9.6	3.8	3.8	12.6	2.2	2.2	57.1	0.92
	AKC6	16.7	9.7	4.2	3.6	13.2	2.6	2.5	57	0.95
	AKC7	18.7	9.3	3.4	3.9	12.4	2.4	2.1	57.3	0.91
	AKC8	14.2	8.9	4.1	4.1	13.1	2.9	2.3	57.2	0.94
	AKC9	16.9	10.1	3.6	3.5	12.8	2	2	57.5	0.89
	AKC10	19.4	9.4	3.9	3.9	12.7	2.5	2.2	56.7	0.93
		17.2	9.49	3.83	3.8	12.8	2.5	2.2	57.03	0.92

DEĞER TABLOSU ÖRNEK

Sonuç: İki farklı TPS ve ışın modalitesi kullanılarak yapılan tedavi planlarının sayısal değerlerinin analizi sonucunda dozimetrik olarak anlamlı bir fark elde edilmiştir. Özellikle FFF mod ile ışınlanmanın akciğer gibi inhomojen bir ortamda yüksek CI değeri vermesi hem Eclipse hem de RayStation'da görülmüştür. Ayrıca RayStation CC algoritması sayesinde inhomojen ortamda belirsizliği daha da azaltarak kritik organ dozlarının daha fazla düşmesini sağlamıştır. Bu çalışma dozimetrik olarak ölçümlerle de mutlaka desteklenmelidir.



Alan Boyutu Modülasyonlu Helikal Tomotherapy Simülasyonu

Seçkin Gündüz¹, Evren Ozan Göksel¹, Osman Artunç Türe¹, Halil Küçüçük¹, Zeynep Özen¹, Ece Tek¹, Volkan Demircan¹, Alptekin Arifoğlu¹

¹Acıbadem Altunizade Hastanesi

²Acıbadem MAA Üniversitesi

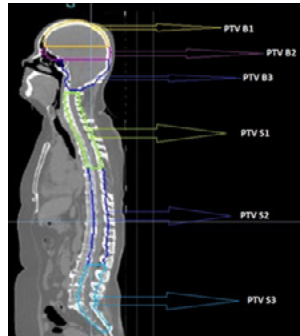
Seçkin Gündüz / Acıbadem Altunizade Hastanesi

Amaç: Günümüzde Tomotherapy ve Radixact cihazlarında longitudinal yönde üç adet alan boyutu seçeneği mevcuttur (1x40, 2.5x40 ve 5x40 cm) ve tedavi planlaması sırasında gantri dönüş hızı, pitch ve MLC hareketleri optimize edilirken alan boyutu sabit tutulur.

Fakat kraniospinal ışınlama gibi uzun segmentli vakalarda lensler gibi bazı kritik organlar alan boyutundan oldukça küçük olduğundan bu organların korunması zorlaşırken, daha küçük alan boyutu tercih edildiğinde tedavi süresi oldukça uzamaktadır. Bu çalışmada eğer tedavi planlaması sırasında alan boyutu da modüle edilebilseydi nasıl bir dozimetrik avantaj sağlardı konusu araştırıldı.

Yöntem: Daha önce Helikal Tomotherapy tekniği ile 5 cm'lik alan boyutu seçilerek (PTV Spinal + Beyin 5cm) kraniospinal ışınlama yapılmış 6 hasta çalışmaya dahil edildi. Planlamalar 12x3Gy fraksiyon şeması ile toplam 36 Gy olarak planlanmıştır. Hastaların 4 tanesi pediatrik, 2 tanesi yetişkin hastadır. Longitudinal ekseninde PTV uzunluğu median 66,3cm'dir (45, 81). Her hasta için PTV yeniden düzenlenerek; gözleri daha iyi koruyabilmek için PTV B2 hedef yapısı oluşturulmuş, abdomen ve thorax bölgelerindeki kalp, böbrekler ve karaciğer kritik yapılarının daha iyi korunabilmesi için PTV S2 yapısı oluşturulmuştur (Şekil 1). Oluşturulan bu hedefler; hedef yapı ile kritik yapının longitudinal ekseninde kesiştiği uzunluklarla sınırlandırılmıştır. Alan modülasyonu tekniğini simüle etmek amacıyla, önemli organların komşuluğunda bulunan PTV B2+S2 hedef yapıları için bölünmüş plan olarak 1cm'lik alan boyutu kullanılarak planlama yapılırken, korunacak önemli organların bulunmadığı bölgelerin komşuluğunda bulunan PTV B1+B3+S1+S3 hedefleri için tek plan içerisinde 2,5 ve 5 cm'lik alan boyutları ile iki ayrı planlamaya yapılmıştır. Ayrıca, bütün hedef yapı (PTV Spinal + Beyin) için 2,5 cm'lik alan boyutuyla bir planlama daha yapılmıştır. Toplamda her hasta için 4 farklı plan elde edilmiştir (Tablo 1). PTV'ler bölünerek alan boyutu modülasyonu yapılan planlardan elde edilen kritik organ ve hedef hacim doz değerleri, PTV bölünmeden 2,5cm ve 5cm alan boyutuyla yapılan planlara ait doz değerleriyle karşılaştırılmıştır. Alan modülasyonlu teknik için tedavi sürelerini simüle etmemiz mümkün olmadığından veya tedavi sürelerini doğrudan toplamak yanıltıcı sonuç vereceği için bu çalışmada tedavi süreleri karşılaştırılmamıştır.

Şekil 1



Ptv Beyin ve Ptv Spinal hedeflerinin bölümleri

Bulgu: Alan boyutu modülasyonunu simüle ettiğimiz planlardan elde ettiğimiz doz değerlerini, sabit alan boyutu ile yapılan planlar ile karşılaştırdığımızda; alan boyutu modülasyonu tekniği ile hedef kapsamı ve homojenite ile ilgili değerlerde iyileşmeler olduğu görülmüş, kritik organ dozlarında klinik olarak anlamlı olabilecek doz düşüşleri bulunmuştur (Tablo 1).

Tablo 1

Organ	Doz (Gy)
PTV B1	2,5
PTV B2	2,5
PTV B3	2,5
PTV S1	2,5
PTV S2	2,5
PTV S3	2,5

Sabit alan boyutlu planlar ve alan boyutu modülasyonlu planlar için elde edilen PTV ve kritik organ doz değerleri.

Sonuç: Helikal Tomotherapy tedavi planlaması sırasında alan boyutu da modüle edilebilseydi, kritik organ dozlarında klinik olarak anlamlı sayılabilecek doz düşüşleri elde edebiliriz. Özellikle çoğunlukta olan pediatrik vakalar için kritik organ dozlarının daha önemli olduğunu düşünürsek, bu dozların mümkün olduğu kadar çok düşürülmesi daha da önemli hale gelmektedir. Bununla birlikte, alan boyutları küçüldükçe tedavi sürelerinin artacağını da göz ardı etmemek gerekir.

X-Işınları ile Elde Edilen Görüntülerin Derin Öğrenme Yöntemleri Kullanılarak Analizi ve Yapay Zeka ile Tanı Koyma Çalışmaları

Çağdaş Şimşek¹, Mehmet Onur Demirkol¹, Metin Uysalol²

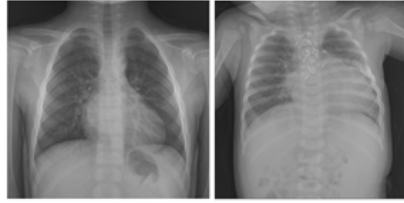
¹Koç Üniversitesi Hastanesi

²İstanbul Üniversitesi İstanbul Tıp Fakültesi

Çağdaş Şimşek / Koç Üniversitesi Hastanesi

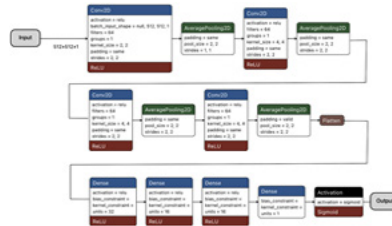
Amaç: Çocuklarda hastaneye başvuruların en sık nedeni solunum yolu enfeksiyonlarıdır. Bu hastalıklar arasında pnömoni dünya çapında önemli bir mortalite ve morbidite nedenidir. 2019 yılında beş yaş altı çocuk ölümlerinin yüzde 14'ü pnömoniden kaynaklandı. Yeni teşhis ile pnömoni tanısı alan çocukların çoğunun, tıbbi kaynakların az olduğu gelişmekte olan ülkelerde ortaya çıkması dikkat çekicidir. Bu nedenle doğru ve zamanında teşhis çok önemlidir. Göğüs röntgeni, düşük maliyeti, bulunabilirliği ve invaziv olmayan bir muayene yöntemi olması nedeniyle birçok akciğer hastalığının taranması ve teşhisinde kullanılan en yaygın radyolojik testlerden biridir. Bu görüntülerin tanımlanması öncelikle deneyimli hekimler gerektirir. Bu sorun tıbbi kaynakların sınırlı olduğu ve pnömoni çocuk ölümlerinin dünya ortalamasından yüksek olduğu bölgelerde daha da önem kazanmaktadır. Göğüs röntgenine dayanan otomatik yardımcı tanı araçlarının geliştirilmesinin radyologların verimliliğini artırabileceği, tıbbi maliyetleri azaltabileceği ve çocuklarda pnömoninin tanı ve tedavisini hızlandırabileceği düşünülmektedir. 18 yaş altı çocukların sınırlı sayıdaki göğüs röntgenlerine dayanarak pnömoniyi tespit edebilen evrişimli bir derin sinir ağı modeli geliştiriyoruz. Modelin sınıflandırma doğruluğunu artırmak için çeşitli görüntü ön işleme adımları kullandık. Oldukça yüksek bir doğrulama oranına ulaştık. Precision: 0,87 Recall: 0,95 F1 Score: 0,95 AUC Score: 0,94

Figure 1: Chest X-ray of a) Normal Child and b) Pneumonia Infected Child



Yöntem: Bu çalışmada kullanılan veri kümesinde 18 yaş altı çocuklara ait 288 göğüs röntgeni görüntüsü bulunmaktadır. Tüm bu görüntüler İstanbul Üniversitesi Tıp Fakültesi hastalarının rutin klinik bakımları için çekildi. Görüntüler "normal" ve "pnömoni" enfeksiyonlu olarak etiketlendi (Figure-1). Hem bakteriyel hem de viral pnömoni, enfekte pnömoni olarak kabul edilmiştir. Verilerin hazırlanması sırasında doğru etiketler uzman radyologlar tarafından belirlendi. CNN (Convolutional Neural Network) öğrenimi için hem normal hem de pnömoni ile enfekte örnekler eğitim ve test alt örneklerine bölündü ve ardından bu alt örnekler içindeki görüntüler rastgele karıştırıldı. Pnömoni tespiti için önerdiğimiz metodoloji, bir DNN (Deep Neural Network) modelinin tahminleridir (Figure-2).

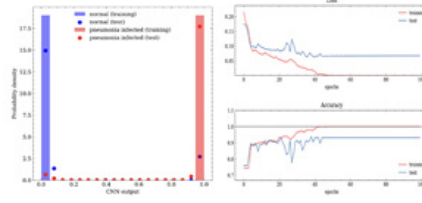
Figure 2: Layer Structure of Convolutional Neural Networks with Hyperparameters



Bulgu: Bizim olgumuzda pnömoni ile enfekte vaka sayısı normal vaka sayısının 3 katıdır, bu da sınıflar arasında ciddi bir dengesizlik demektir. Figure-4 sağ üst grafik, hem eğitim hem de test örnekleri için dönemler boyunca kayıp değerlerinin gelişimini göstermektedir. Figure-4 sağ alt grafikte hem eğitim hem de test numunelerinin doğrulukları tekrar görülebilmektedir. Modelimiz nispeten küçük olsa dahi eğitim örneğine uyup uymadığını kontrol etmek gerekiyor. Modelin aşırı uyumunu araştırmanın bir yolu, eğitim ve test örneklerindeki sınıf etiketleri için model çıktı dağılımlarına ayrı ayrı bakmaktır. Belirli bir sınıf etiketinin dağılımı, eğitimler arasında farklılık göstermesi ve test numuneleri arasındaki bu farklılık, aşırı uyum modelinin açık bir göstergesidir. Figure-4 sol üst grafikte eğitim ve test örneklerinde normal ve pnömoni bulaşmış görüntüler için normalleştirilmiş CNN çıktı dağılımlarını ayrı ayrı gösteriyoruz. Eğitim için kullanılan örnek sınıflar arasında mükemmel bir şekilde dengelenmişse, doğruluk ölçüsü aşırı uyum sağlamayan bir modelin başarısı hakkında konuşmak için yeterlidir.

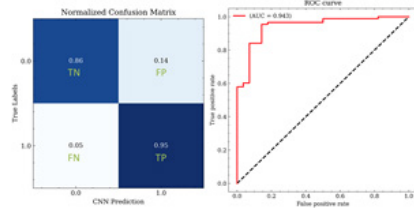
POSTERLER

Figure 4: Loss -Accuracy Curves for both Training and Validation Sets during 100 Epochs and CNN Output Distribution



Sonuç: Eğitim seti için doğruluk %100'e ulaşırken, test örneği için doğruluk %93,1 ile platoya ulaşıyor. Hem normal görüntüler hem de pnömöni görüntüleri için eğitim ve test örneklerinden elde edilen dağılımlar arasında anlamlı bir fark gözlemlenmiyor. Test örneği için elde edilen Karışıklık Matrisi: TN, TP, FN, FP sırasıyla Gerçek Negatif, Doğru Pozitif, Yanlış Negatif, Yanlış Pozitif anlamına gelir (Figure-3, sol). CNN (Convolutional Neural Network) modelinin ROC eğrisi ve bu eğrinin altındaki alan ise AUC puanını verir (Figure-3, sağ)

Figure 3: Normalized Confusion Matrix and ROC Curve





19. ULUSAL MEDİKAL FİZİK KONGRESİ

02-05 KASIM 2023

POSTERLER



Karaciğer Sbrt Planlamada Vmat Ve Dcat Tekniklerinin Karşılaştırılması

Yaprak Erözmen¹

¹Yeni Yüzyıl Üniversitesi Gaziosmanpaşa Hastanesi

Yaprak Erözmen / Yeni Yüzyıl Üniversitesi Gaziosmanpaşa Hastanesi

Amaç: Çalışmamızda karaciğer SBRT hastalarının DCAT ve VMAT tekniğine göre dozimetrik karşılaştırması amaçlandı..

Amaç

Çalışmamızda karaciğer SBRT hastalarının DCAT ve VMAT tekniğine göre dozimetrik karşılaştırması amaçlandı.

Yöntem: Kliniğimizde daha önce tedavi edilmiş 10 karaciğer SBRT hastasının tomografi görüntüleri kullanıldı. Her bir hastaya non-koplanar düzlemde 6MV-FFF veya 10MV-FFF enerjilerinden biri kullanılarak Monaco planlama sisteminde planlar hazırlandı. Hedefin bulunduğu segmente bağlı olarak tam ark veya yarım rotasyonel alanlar tek tur olarak kullanıldı.

Yöntem

Çalışmamızda daha önce tedavi edilmiş 10 karaciğer SBRT hastasının tomografi görüntüleri kullanıldı. Her bir hastaya non-koplanar düzlemde 6MV-FFF veya 10MV-FFF enerjilerinden biri kullanılarak Monaco planlama sisteminde planlar hazırlandı. Hedefin bulunduğu segmente bağlı olarak tam ark veya yarım rotasyonel alanlar tek tur olarak kullanıldı.

Bulgu: VMAT tekniği uzun süredir SBRT tedavilerinde kullanılmaktadır. DCAT tekniği Monaco planlama sisteminde segment shape optimizasyonu, değişken doz hızı sayesinde hedefi VMAT yakın kapsama sağlamaktadır. Ayrıca DCAT tekniği optimizasyon sayesinde kritik organları MLC ile blokaj ederek hedefe yakın kritik organlarının dozunu azaltılabilmektedir. VMAT yerine DCAT tekniği ile karaciğer SBRT de %50'nin üzerinde tedavi zamanı ve MU azaltılarak VMAT'a yakın doz dağılımları elde edilebilmektedir.

Bulgu

VMAT tekniği uzun süredir SBRT tedavilerinde kullanılmaktadır. DCAT tekniği Monaco planlama sisteminde segment shape optimizasyonu, değişken doz hızı sayesinde hedefi VMAT yakın kapsama sağlamaktadır. Ayrıca DCAT tekniği optimizasyon sayesinde kritik organları MLC ile blokaj ederek hedefe yakın kritik organlarının dozunu azaltılabilmektedir. VMAT yerine DCAT tekniği ile karaciğer SBRT de %50'nin üzerinde tedavi zamanı ve MU azaltılarak VMAT'a yakın doz dağılımları elde edilebilmektedir.

Tablo 1 GTV ve PTV Doz Değerleri

	VMAT (Gy)	DCAT (Gy)
GTV	100.0	100.0
V2	100.0	100.0
V5	100.0	100.0
V10	100.0	100.0
PTV	100.0	100.0
PTV	100.0	100.0
PTV	100.0	100.0
PTV	100.0	100.0
PTV	100.0	100.0
PTV	100.0	100.0

Tablo 2 Body ve Karaciğer-PTV Doz Değerleri

Sonuç: GTV de iki planlama tekniği ile benzer sonuçlar elde edildi. PTV de özellikle VMAT ile GI değerinde %5,4 daha düşük sonuçlar elde edildi (Tablo 1). Vücudun V2 doz yüzdesinde ile VMAT daha düşük değerler elde edilirken, V5 ve V10 doz yüzde değerlerinde benzer sonuçlar elde edildi (Tablo 2). PTV hariç karaciğer volümünün mean doz değerinde VMAT ile 371cGy elde edilirken, DCAT ile 389cGy elde edildi. 10Gy alan volümde ise benzer sonuçlar elde edildi (Tablo 2). DCAT planlama tekniği ile segment sayısında %46,8, tedavi uygulama zamanında %51,5 ve MU değerinde %57,9 oranında VMAT tekniğinden daha düşük değerler elde edildi.

Sonuç

GTV de iki planlama tekniği ile benzer sonuçlar elde edildi. PTV de özellikle VMAT ile GI değerinde %5,4 daha düşük sonuçlar elde edildi (Tablo 1). Vücudun V2 doz yüzdesinde ile VMAT daha düşük değerler elde edilirken, V5 ve V10 doz yüzde değerlerinde benzer sonuçlar elde edildi (Tablo 2). PTV hariç karaciğer volümünün mean doz değerinde VMAT ile 371cGy elde edilirken, DCAT ile 389cGy elde edildi. 10Gy alan volümde ise benzer sonuçlar elde edildi (Tablo 2). DCAT planlama tekniği ile segment sayısında %46,8, tedavi uygulama zamanında %51,5 ve MU değerinde %57,9 oranında VMAT tekniğinden daha düşük değerler elde edildi.



19. ULUSAL MEDİKAL FİZİK KONGRESİ

02-05 KASIM 2023

POSTERLER



Radyasyondan Korunmada Mesafe ve Zırhlamanın Çalışanların Aldığı Radyasyon Dozu Üzerinde Etkisi

Gamze Berk¹, Pelin Arıcan¹, Kenan Budak¹

¹Şişli Hamidiye Etfal Eğitim ve Araştırma Hastanesi, Nükleer Tıp Bölümü, İstanbul

Gamze Berk / Şişli Hamidiye Etfal Eğitim ve Araştırma Hastanesi, Nükleer Tıp Bölümü, İstanbul

Amaç: Hastaların radyofarmasötik enjeksiyonu ve sintigrafik görüntüleme sırasında SPECT/BT Ünitesi'nde çalışan hemşire ve teknikerlerin aldığı radyasyon dozuna zırhlama, zaman ve mesafenin etkisini kantitatif veriler ile göstermek ve radyasyondan korunmadaki önemini vurgulamaktır.

Yöntem: Çalışmamıza Tc99m ile işaretli radyofarmasötiklerin kullanıldığı miyokardperfüzyon sintigrafisi, kemik sintigrafisi, işaretli lökosit sintigrafileri için ünitemize gelen, 1-24 mCi arasında intravenöz radyofarmasötik enjeksiyonu yapılmış toplam 40 hastadan elde edilen 536 radyasyon ölçüm verileri dahil edildi. Enjeksiyon sonrası 0., 5., 60., 120. ve 180. dakikada, 0, 1 ve 4 metre uzaklıktan hastanın abdomen orta hizasından, önce koruyucusuz ve hemen ardından aynı mesafeden 2 mm kurşun koruyucu engel (tiroid koruyucu) konularak Geiger-Müller dahili dedektörlü radyasyon ölçer (TAEK marka NEB.250.D1 model) ile doz ölçümleri mikroSievert/saat olarak alındı. Elde edilen sayısal veriler Tc-99m'in fiziksel ve biyolojik yarılanma süreleri göz ardı edilerek değerlendirilmiştir. Radyasyondan korunmada temel prensip olan mesafe için ters kareler yasası ve zırhlama için HVL yöntemi formülleri ile elde edilen değerlerin kontrolü sağlanmıştır.

Bulgu: Hastalarımızdan alınan doz hızı ölçümlerinde, maruz kalınan radyasyon şiddetinde aynı zaman ve mesafede koruyucusuz/2 mm Pb koruyucu ile ölçüm sonuçları oranları ortalamasına göre radyasyon şiddeti $3,73 \pm 1,51$ kat azalma ve $70,33 \pm 9,22$ korunma sağlanmış olduğu görülmüştür. Koruyucusuz ve 2 mm Pb koruyucu ile farklı mesafelerde alınan ölçüm sonuçları oranları ortalamalarına göre; 0m-1m için; $12,87 \pm 6,72$ kat azalma ve $89,81 \pm 6,80$ korunma, 0m-4m için; $212,25 \pm 294,38$ kat azalma ve $99,1 \pm 0,88$ korunma, 1m-4m için; $12,41 \pm 16,62$ kat azalma ve $93,46 \pm 6,46$ korunma sağlandığı görülmüştür. (Resim 1. Hastalarımızdan alınan radyasyon doz hızı ölçümleri tablosu örneği)

Resim 1.a) Hastalarımızdan alınan radyasyon doz hızı ölçümleri tablosu örneği

1) hasta adı soyadı					
zaman		mesafe (m)		enjeksiyon yeri (übir)	
enjeksiyon anı	mesafe (m)	boş (übir)	2 mm kurşun (übir)	enjeksiyon yeri (übir)	220 (log el)
5. dk	0	101	31,2		
	1 m	7,4	3,14		
1. saat	0	207	15,7		75
	1 m	10,3	3,35		
2. saat	0	142	21,3		271
	1 m	5,77	2,3		
rest dozu yapı. Sonra	0	943	255		295
	1 m	43	13,8		
3. saat	0	1260	314		315
	1 m	60,6	21,3		
	4 m	4,56	1,31		

Resim 1.b) Hastalarımızdan alınan radyasyon doz hızı ölçümleri tablosu örneği

boş/pb	boş		pb		boş		pb	
	0 m/1 m	0 m/1 m	0 m/4 m	0 m/4 m	1 m/4 m	1 m/4 m	1 m/4 m	
3,24	13,65	5,94						
2,36								
4,00	20,10	15,43						
3,07								
6,67	24,61	9,26						
7,51								
3,70	21,93	18,48	130,97	139,34	5,97	7,34		
5,17								
3,93								
4,01	20,79	14,74	276,52	289,60	13,79	16,76		
2,85								
3,48								

Resim 1.c) Hastalarımızdan alınan radyasyon doz hızı ölçümleri tablosu örneği

% KORUYUCLUK	boş		pb		boş		pb	
	0 m/1 m	0 m/1 m	0 m/4 m	0 m/4 m	1 m/4 m	1 m/4 m	1 m/4 m	
68,11	92,67	89,84						
57,57								
75,02	95,02	93,52						
67,48								
85,00	95,94	89,20						
60,14								
72,96	95,44	94,59	99,24	99,38	83,26	99,38		
67,91								
74,58								
75,08	95,19	93,22	99,64	99,58	92,48	99,58		
64,85								
71,27								



19. ULUSAL MEDİKAL FİZİK KONGRESİ

02-05 KASIM 2023



POSTERLER

Sonuç: Çalışmamızda hastalardan elde edilen radyasyon doz hızı ölçüm sonuçları, hacimsel kaynak kullanılması ve randominasyonun tamamen sağlanamamasından dolayı, radyasyondan korunmada temel prensip yasalarına göre hesaplanan formalizasyon sonuçları ile tamamen uymasa da benzerlik göstermektedir. Nükleer Tıp Kliniği'nde özellikle hasta ile yakın temasta bulunan hemşire ve teknisyenler için zırlama, zaman ve mesafenin radyasyon güvenliğinde önemi sayısal veriler ve kantitatif sonuçlar ile tekrar vurgulanmıştır.(Resim 2. Ölçülen radyasyon doz hızı ölçümleri sonuçları)

Resim 2. Ölçülen radyasyon doz hızı ölçümleri sonuçları

RADYASYON ŞİDDETİNDEKİ AZALMA		% koruyuculuk
koruyucusuz/ kurşun 2mm	3,73±1,51 kat	%70,33±9,22
mesafe		
0m / 1m	12,87±6,72 kat	%89,81±6,80
0m / 4m	212,25±294,38 kat	%99,1±0,88
1m / 4m	12,41±16,62 kat	%93,46±6,46



19. ULUSAL MEDİKAL FİZİK KONGRESİ

02-05 KASIM 2023

POSTERLER



Nazofarenks Kanserinde AAA ve Acuros XB Algoritmalarının Foton Optimizer ve Progressive Resoluiton Optimizer Kullanılarak Dozimetrik Olarak Karşılaştırılması

Burak Başlangıç¹, Sezen Emek²

¹Acıbadem Eskişehir Hastanesi

²Acıbadem Atakent Hastanesi

Burak Başlangıç / Acıbadem Eskişehir Hastanesi

Amaç: Nazofarengeal karsinom (NPC), nazofarenks yüzeyini kaplayan epitel hücrelerinden köken alan bir tümördür. Nazofarenks, konumu nedeniyle medulla oblongata, omurilik, gözler, orta ve iç kulak, parotis bezi, dahil olmak üzere son derece radyosensitif olan bir dizi anatomik öge ile çevrilidir. NPC'nin iyi bilinen özelliği, komşu yapılara hızla yayılması ve bu nedenle hedef hacimlerin düzensiz yapıda olmalarıdır. Radyoduyarlılık, NPC ve komşuluğunda bulunan organlar için çok önemlidir. Gelişen VMAT gibi tekniklere ek olarak, AAA, AXB gibi algoritmalarda PRO ve PO gibi çözümleyiciler tedavilerin daha başarılı ve doğru olmasına katkı sağlamaktalar. Çalışma, NPC'nin radyoterapi planlamasında AXB, AAA algoritmalarının PRO, PO kullanılarak karşılaştırmasını amaçlamaktadır.

Yöntem: Çalışmada retrospektif olarak 15 nazofarenks hastası incelenmiş olup. Planlar 56/60/69,9 Gy, 212cGy/33frk doz şeması 10,350 ve 90 kolimatör açısı ile VMAT tekniği kullanılarak yapılmıştır. AAA ve PRO kullanılarak yapılan ilk plan daha sonra AAA-PO, AXB-PRO, AXB-PO ile hesaplanmış olup, oral kavite, parotis bezleri, larenks ve özefagus ortalama doz, spinal kord, beyin sapı toplam plan dozu doz maksimum olarak incelenmiştir. Toplam MU, hesaplama süresi ve V40,20Gy değerleride değerlendirilmiştir. Veriler, istatistiksel olarak Wilcoxon testi ile incelenmiştir.

Bulgu: AXB, PRO optimize edici ile AAA'ya kıyasla bazı farklılıklar ortaya çıkardı. Mandibula dmaks. (ort.%1,81) spinal kord maks. (ort.%0,91), larenks dort. (ort. %1,12), sağ ve sol parotisler (ort.%2,36, %1,48), V40Gy (ort. %1,8), hesaplama süresi (15'in 11'i, ort. %20) ve MU (%3,97). Beyin sapı dmaks (ortalama %0,44) ve plan dmaks. (11/15, ort.%0,5) için daha yüksek değerler gösterirken, Oral kavite, özefagus, V20Gy değerleri anlamlı değildir. Optimize edici olarak PO kullanıldığında AXB, AAA'e göre daha iyi sonuçlar ortaya koymuştur. Mandibula dmaks. (ort. %1,91) spinal kord dmaks. (ort. %1,4), larenks dort.(ort. 1,45), sağ ve sol parotis (ortalama %2,66 ila %2,33), Beyin sapı dmaks.(ort. %0,5), özefagus dort. (ort. %0,78), V20Gy (ort.a %0,83) ve MU (ort. %7,07) daha düşük değerlere sahipken. Oral Kavite dort. ve plan dmaks. daha yüksek değerler göstermiştir (ort. %1,15 ve %0,6). V40Gy doz dağılımı ve hesaplama süresi değerleri anlamlı değildir. AXB algoritması kullanılarak PO ve PRO optimize edicileri kıyaslandığında belirleyici farklar elde edilememiştir. PO, Larenks dort. (ort. %1,1), sağ parotis bezi dort. (ort. %1,44), MU (ort. %8,35) için daha düşük değerlere sahipken mandibula dmaks. (ort. %1,1) PRO için daha iyi sonuç vermiştir. Diğer parametreler çok benzer değerlere sahip olup anlamlı sonuçlara sahip değildir. AAA algoritması kullanıldığında ise PO, PRO'ya kıyasla daha iyi veriler sunmuştur. PO, Mandibula dmaks. (ort. %1), Oral kavite dort. (ort.%1), larenks dort. (ort.%0,87), özefagus dort. (ort.% 1), plan dmaks. (ort. %0,5), hesaplama süresi (ort.%7,6), MU (ort.% 6,15) için daha iyi değerler sunarken. Beyin sapı dmaks.(ort.%0,46), sol parotis (ort.%0,74), V40Gy (ort. %1) ise PRO lehinedir. Vertebra dmaks., sağ parotis, V20Gy ise benzer değerler göstermektedir.

PRO kullanılarak yapılan AAA ve AXB algoritmalarının istatistiksel değerleri

P< 0.05 Statistical significance	PRO / AAA-AXB
Mandible dmax.	P=0,001 (AXB)
Spinal cord dmax.	P=0,005 (AXB)
Oral cavity dmean dose	P=1,000 non statistical significance
Larynx dmean dose	P=0,001 (AXB)
Brain stem dmax.	P=0,020 (AAA)
esophagus dmean dose	P=0,124 non statistical significance
Right parotid gland	P=0,001 (AXB)
left parotid gland	P=0,002 (AXB)
Plan Dmax.	P=0,006 (AAA)
V20Gy	P=0,790 non statistical significance
V40Gy	P=0,013 (AXB)
Calculation time	P=0,001 (AXB)
MU	P=0,017 (AXB)

PO kullanılarak yapılan AAA ve AXB algoritmalarının istatistiksel değerleri

P< 0.05 Statistical significance	PO / AAA vs AXB
Mandible dmax.	P=0,001 (AXB)
Spinal cord dmax.	P=0,001 (AXB)
Oral cavity dmean dose	P=0,011 (AAA)
Larynx dmean dose	P=0,012 (AXB)
Brain stem dmax.	P=0,027 (AXB)
esophagus dmean dose	P=0,029 (AXB)
Right parotid gland	P=0,001 (AXB)
left parotid gland	P=0,001 (AXB)
Plan Dmax.	P=0,002 (AAA)
V20Gy	P=0,002 (AXB)
V40Gy	P=0,100 non statistical significance
Calculation time	P=0,125 non statistical significance
MU	P=0,001 (AXB)

Acuros XB algoritması kullanılarak yapılan PRO ve PO optimizer planlarının istatistiksel değerleri

P< 0.05 Statistical significance	AXB / PO-PRO
Mandible dmax.	P=0,001 (PRO)
Spinal cord dmax.	P=0,112 non significance
Oral cavity dmean dose	P=0,865 non significance
Larynx dmean dose	P=0,031 (PO)
Brain stem dmax.	P=0,065 non significance
esophagus dmean dose	P=0,158 non significance
Right parotid gland	P=0,001 (PRO)
left parotid gland	P=0,790 non significance
Plan Dmax.	P=0,109 non significance
V20Gy	P=0,100 non significance
V40Gy	P=0,112 non significance
Calculation time	P=0,391 non significance
MU	P=0,001 (PRO)



19. ULUSAL MEDİKAL FİZİK KONGRESİ

02-05 KASIM 2023



POSTERLER

AAA algoritması kullanılarak yapılan PRO ve PO optimizer planlarının istatistiksel değerleri

<i>P < 0.05 Statistical significance</i>	<i>AAA / PO-PRO</i>
<i>Mandible dmax.</i>	<i>P=0.0002(PO)</i>
<i>Spinal cord dmax.</i>	<i>P=0.191 non significance</i>
<i>Oral cavity dmean dose</i>	<i>P=0.023(PO)</i>
<i>Larynx dmean dose</i>	<i>P=0.011(PO)</i>
<i>Brain stem dmax.</i>	<i>P=0.001 (PRO)</i>
<i>esophagus dmean dose</i>	<i>P=0.41 (PO)</i>
<i>Right parotid gland</i>	<i>P=0.054non significance</i>
<i>left parotid gland</i>	<i>P=0.044 (PRO)</i>
<i>Plan Dmax.</i>	<i>P=0.0010 (PO)</i>
<i>V20Gy</i>	<i>P=0.755 non significance</i>
<i>V40Gy</i>	<i>P=0.004 (PRO)</i>
<i>Calculation time</i>	<i>P=0.0006 (PO)</i>
<i>MU</i>	<i>P=0.001 (PO)</i>

Sonuç: Çalışmada, algoritmalar ve optimize edicilerin olası klinik sonuçlarını araştırmaya çalıştık. DVH parametreleri, özellikle kemik yapılarda mandibula ve spinal kord gibi kemik yapılarda önemli farklılıklar ortaya koymuştur. Sonuç olarak, AXB algoritması hem PO hem de PRO kullanıldığında AAA algoritmasına göre daha iyi sonuçlar vermiştir. PO ve PRO AXB algoritmasında fark yaratmazken, PO, AAA algoritmasında daha iyi veriler sunmuştur. Sonuç olarak, AXB algoritmasının kullanımı, klinikler için veri tutarlılığını artırarak hasta doz tahminini, daha az MU ve hesaplama süresi yönünde iyileştirebilir.



HDR Vajinal Brakiterapi Hastalarında Çok Kanallı Aplikatör ile Tek Kanallı Aplikatör'ün Forward Optimizasyon Ve İnvers Optimizasyon IPSA (Inverse Planning Simulated Annealing) Tekniklerinin Dozimetrik Karşılaştırılması

Sevecen Seyhun Nasır Can¹, Melike Pekiş Varan¹, Makbule Doğan Eren¹, Özlem Yetmen Doğan¹

¹Kartal Dr. Lütfi Kırdar Şehir Hastanesi

Sevecen Seyhun Nasır Can / Kartal Dr. Lütfi Kırdar Şehir Hastanesi

Amaç: Brakiterapi, kanserli hücrelerin bulunduğu yere doğrudan ışın verebilmek için vücudun içine küçük radyoaktif kaynakların yerleştirilmesidir. Bu yöntemle hedef volüme yüksek doz verilirken normal dokular korunabilmektedir. Tek başına veya eksternal radyoterapi sonrası uygulanabilmektedir. Brakiterapi en sık jinekolojik kanserlerin tedavisinde kullanılmaktadır. Bu çalışmanın amacı, HDR vajinal brakiterapi' de çok kanallı aplikatör (multi-channel) ile tek kanallı aplikatör (single-channel) kullanılarak forward optimizasyon (manuel) ve invers optimizasyon (IPSA) teknikleri ile yapılan planlara ait doz-volüm histogram (DVH) değerlerinin hedef hacim ve normal dokular açısından dozimetrik olarak karşılaştırılmasıdır.

Yöntem: Çalışmaya 2020- 2023 tarihleri arasında SBÜ Kartal Dr. Lütfi Kırdar Eğitim ve Araştırma Hastanesi Radyasyon Onkolojisi Kliniği' ne başvuran ve eksternal radyoterapi sonrası brakiterapi uygulaması için çok kanallı aplikatör yerleştirilen endometriyum ve serviks tanılı toplam 9 hasta dahil edilmiştir. Hastaların çok kanallı aplikatör yerleştirilerek çekilen BT görüntülerinde, radyasyon onkoloğu tarafından riskli organlar ve hedef hacim tanımlamaları yapılmıştır. 9 hastanın toplam 30 fraksiyon tedavisi öncesinde BT çekimi yapılarak yeni tedavi planlaması yapılmıştır. Her BT çekimi sonrasında Nucletron cihazı Oncentra planlama sisteminde; çok kanallı aplikatör ile tek kanallı aplikatörün forward optimizasyon (manuel) ve invers optimizasyon (IPSA) teknikleri ile dört farklı plan tasarımı yapılmıştır. Elde edilen DVH üzerinden Planlanan Hedef Volüm (PTV) için, D2cc (2 cc'nin aldığı doz) ile volümün %90 ve %95'nin aldığı doz (D90 ve D95) değerleri; riskli organlarda mesane için D0,1cc(Gy), D1cc(Gy), D2cc(Gy) ve V80(cc), rektum için D0,1cc(Gy), D1cc(Gy), D2cc(Gy) ve V70(cc), sigmoid kolon için D0,1cc(Gy), D1cc(Gy), D2cc(Gy) değerleri veri kayıt formuna işlenmiştir. Planlamalara verileri SPSS sürüm 20 üzerine kaydedilerek analizler yapılmıştır. Plan verilerinin karşılaştırmasında Friedman analizi uygulanmış, p değeri <0.05 olan sonuçlar anlamlı kabul edilmiştir. Friedman analizinde anlamlı farklılık tespit edilen parametrelerde farka sebep olan plan türünün tespiti için post-hoc pairwise analiz yapılmıştır.

Bulgu: Yapılan analiz sonucunda, çok kanallı aplikatör ile tek kanallı aplikatörün forward optimizasyon (manuel) ve invers optimizasyon (IPSA) planları arasında PTV'nin D2cc, D90 ve D95 değerleri arasında anlamlı fark bulunamadı. Riskli organların analizinde, rektum için D0,1cc(Gy), D1cc(Gy), D2cc(Gy) ve V70(cc), sigmoid için D0,1cc(Gy), D1cc(Gy), D2cc(Gy) değerleri için yapılan analizlerde kullanılan aplikatör anlamlı fark yaratmış olup çok kanallı aplikatör planları ile daha düşük dozlar elde edilebilmiştir. Ancak aynı aplikatör (çok kanallı) ile yapılan manuel ve IPSA planları arasında anlamlı farklılık saptanmamıştır. Mesane D0,1cc(Gy) için çok kanallı IPSA tekniği, tek kanallı manuel planlamadan; V80(cc) için çok kanallı manuel planlama, tek kanallı manuel planlamadan üstün bulunmuştur. Öte yandan, mesane D1cc(Gy), D2cc(Gy) için tek kanallı aplikatör ile manuel planlama, diğer üç planlama tekniğine göre anlamlı daha yüksek dozlara sebep olmuştur. Analiz sonuçlarında anlamlı çıkan sonuçlar Tablo 1'de özetlenmiştir.

Tablo 1

Sonuç: Çok kanallı uygulama, tek kanallı uygulamaya göre rektum ve sigmoid kolon dozlarında düşüş sağlamaktadır, bu düşüş klinik olarak daha az ve daha hafif gastrointestinal toksisite avantajı sağlayabilir. Mesane dozları için ise çok kanallı aplikatör ve/veya IPSA planlama yapılması daha iyi organ koruması sağlamaktadır.



POSTERLER

Akciğer Adaptif Planların Dozimetrik Değerlendirilmesi

Yaprak Erözmen¹

¹Yeni Yüzyıl Üniversitesi Gaziosmanpaşa Hastanesi

Yaprak Erözmen / Yeni Yüzyıl Üniversitesi Gaziosmanpaşa Hastanesi

Amaç: Çalışmamızda adaptif radyoterapi uygulanmış 20 akciğer kanserli hastanın, ilk CT üzerine yapılan planları ve adaptif CT üzerine yapılan planlarının dozimetrik karşılaştırılması yapıldı. Ayrıca ilk planlar adaptif CT üzerine aktarılarak ve tekrar hesaplatılarak dozimetrik farklılıklar araştırıldı.

Amaç

Çalışmamızda adaptif radyoterapi uygulanmış 20 akciğer kanserli hastanın, ilk CT üzerine yapılan planları ve adaptif CT üzerine yapılan planlarının dozimetrik karşılaştırılması yapıldı. Ayrıca ilk planlar adaptif CT üzerine aktarılarak ve tekrar hesaplatılarak dozimetrik farklılıklar araştırıldı.

Yöntem: Kliniğimizde tedaviye görmüş 20 akciğer kanserli hastanın planları retrospektif olarak değerlendirildi. İlk ve adaptif planlar, 60Gy 30 fraksiyon olacak şekilde VMAT tekniği ile hazırlandı. Karşılaştırmada önce ilk plan ve adaptif plan GTV ve PTV dozları karşılaştırıldı. Kritik organ olarak da özofagus, kalp, spinal kord ve aort dozları karşılaştırıldı. Ayrıca Adaptif CT üzerine ilk plan aktarılıp hesaplatılarak hedef volüm ve kritik organlarda olası doz farkları belirlendi. Eğer bu hastalara adaptif tedavi kararı verilmeyip tedavi devam edilsediydi doz dağılımının olası hedef ve kritik organ doz değerleri gösterildi.

Yöntem

Kliniğimizde tedaviye görmüş 20 akciğer kanserli hastanın planları retrospektif olarak değerlendirildi. İlk ve adaptif planlar, 60Gy 30 fraksiyon olacak şekilde VMAT tekniği ile hazırlandı. Karşılaştırmada önce ilk plan ve adaptif plan GTV ve PTV dozları karşılaştırıldı. Kritik organ olarak da özofagus, kalp, spinal kord ve aort dozları karşılaştırıldı. Ayrıca Adaptif CT üzerine ilk plan aktarılıp hesaplatılarak hedef volüm ve kritik organlarda olası doz farkları belirlendi. Eğer bu hastalara adaptif tedavi kararı verilmeyip tedavi devam edilsediydi doz dağılımının olası hedef ve kritik organ doz değerleri gösterildi.

Bulgu: Akciğer Radyoterapisinde hedef volüm küçülmesi, akciğer volümündeki anatomik değişiklikler doz dağılımını önemli derecede etkilemektedir. Özellikle inhomojen doku geçişlerinin fazla olması hedef ve kritik organ dozlarında büyük değişikliklere yol açabilmektedir. Çalışmamızda hedef volümde %16'ya varan doz kapsamında azalma hedef volümde etkin dozun yok olmasına, spinal kord maksimum dozun %16 artması komplikasyon riskini arttırmaktadır. Tedavinin her fraksiyon CBCT ile uygulanması, gerektiğinde adaptif kararı verilmesi kritik önemi vardır.

Bulgu

Akciğer Radyoterapisinde hedef volüm küçülmesi, akciğer volümündeki anatomik değişiklikler doz dağılımını önemli derecede etkilemektedir. Özellikle inhomojen doku geçişlerinin fazla olması hedef ve kritik organ dozlarında büyük değişikliklere yol açabilmektedir. Çalışmamızda hedef volümde %16'ya varan doz kapsamında azalma hedef volümde etkin dozun yok olmasına, spinal kord maksimum dozun %16 artması komplikasyon riskini arttırmaktadır. Tedavinin her fraksiyon CBCT ile uygulanması, gerektiğinde adaptif kararı verilmesi kritik önemi vardır.

Tablo 1 GTV ve PTV Doz Değerleri

Organ	İlk Plan	Adaptif Plan
GTV	60Gy	55Gy
PTV	60Gy	50Gy

Tablo 2 Kritik Organ Doz Değerleri

Organ	İlk Plan	Adaptif Plan
Özofagus	28,98Gy	32,55Gy
Kalp	11,11Gy	12,51Gy
Spinal Kord	%16	%3,94

Sonuç: İlk planlama ve adaptif planlamada hedef volüm ve kritik organ dozları açısından benzer sonuçlar elde edildi. İlk planın adaptif CT üzerine atılarak hesaplatıldığında özellikle GTV'nin D95 doz kapsamı değeri 60Gy den 55Gy'e düşmektedir, PTV'nin D95 doz kapsama değeri de 60Gy den 50Gy'e düşmektedir. Minimum doz değeri ortalama %30 düşmekte, maksimum doz değeri de ortalama %5 artmaktadır. Özofagusun mean dozu ortalama 28,98Gy den 32,55Gy'e, kalbin mean dozu ortalama 11,11Gy den 12,51Gy'e artmış olduğu görüldü. Spinal kordun maksimum dozu da %16, aortun maksimum dozu ortalama %3,94 artmış olduğu görüldü.

Sonuç

İlk planlama ve adaptif planlamada hedef volüm ve kritik organ dozları açısından benzer sonuçlar elde edildi. İlk planın adaptif CT üzerine atılarak hesaplatıldığında özellikle GTV'nin D95 doz kapsamı değeri 60Gy den 55Gy'e düşmektedir, PTV'nin D95 doz kapsama değeri de 60Gy den 50Gy'e düşmektedir. Minimum doz değeri ortalama %30 düşmekte, maksimum doz değeri de ortalama %5 artmaktadır. Özofagusun mean dozu ortalama 28,98Gy den 32,55Gy'e, kalbin mean dozu ortalama 11,11Gy den 12,51Gy'e artmış olduğu görüldü. Spinal kordun maksimum dozu da %16, aortun maksimum dozu ortalama %3,94 artmış olduğu görüldü.



Akciğer Kanserli Hastalarda Stereotaktik Vücut Radyoterapisinde Adaptif Marj Uygulanarak Farklı Tedavi Tekniklerinin Karşılaştırılması

Osman Öztürk¹, Füsün Çetin², Vildan Kaya¹, Melek Asan¹, Ayşen Yeşim Yalçın¹

¹Medstar Antalya Hst Radyasyon Onkolojisi Kliniği-Memorial Sağlık Grubu

²İstanbul Aydın Üniversitesi, Sağlık Fiziği Anabilim Dalı

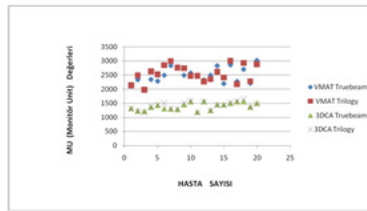
Osman Öztürk / Medstar Antalya Hst Radyasyon Onkolojisi Kliniği-Memorial Sağlık Grubu

Amaç: Bu çalışmada, akciğer kanserli hastaların tedavisinde kullanılan volümetrik ark terapi (VMAT) ve adaptif marj verilerek uygulanan üç boyutlu konformal ark radyoterapi (3DCA)'nın, Varian Trilogy ve Varian Truebeam cihazlarında dozimetrik olarak karşılaştırılması amaçlandı.

Yöntem: Araştırmaya, 2017-2019 yılları arasında, Medstar Antalya Hastanesinde, histopatolojik olarak tanısı doğrulanmış küçük hücreli dışı akciğer kanserli (KHDAK), stereotaktik vücut radyoterapisi (SBRT) uygulanan 20 hasta dahil edildi. Hastalara tedavi pozisyonunda 3 fazlı bilgisayarlı tomografi (BT) görüntüleri alınarak, hedef hacim ve riskli organlar konturlandı. Tedavi planı Varian Truebeam 2.0 model ve Varian Trilogy cihazlarında, sırası ile version 13.0.26 ve 10.0.28, Eclipse tedavi planlama sisteminde, analitik anizotropik algoritma (AAA) ile tüm hastalarda 6 Mv foton enerjisi, doz hızı 600 olacak şekilde SRS-Ark modu seçildi. Hasta etrafında iki tam ark (3600) rotasyonel, ark açıları saat yönünde (CW) 00 ile 1800 ve saat yönünün tersinde (CCW) 1790 ile 00 arasında tedavi planları oluşturuldu. Hasta etrafında iki tam ark (3600) rotasyonel, ark açıları CW yönünde 00 ile 1800 ve CCW yönünde 1790 ile 00 arasında tedavi planları, her iki derecede (20), bir kontrol noktası oluşturularak optimizasyon yapılmadan hesaplama yapıldı.

Bulgular: Çalışmamızda, KHDAK'li hastaların SBRT tedavilerinde, farklı tedavi cihazlarında, MU açısından Truebeam cihazında ve 3DCA tedavi methodu ile anlamlı ilişki olduğu gözlemlendi. Sonuç olarak, KHDAK'li hastaların SBRT'sinde 3DCA tedavi tekniğinin, VMAT'a göre tedavi planlama süresi, planlama tekniği açısından daha faydalı olduğu için tercih edilebileceğini düşünmekteyiz.

Sonuç: Küçük hücreli dışı akciğer kanseri tanısı konulmuş hastaların, her iki tedavi cihazında yapılan, VMAT ve 3DCA tedavi planlama methodları arasında, kritik organ dozları ve MU (Monitör Unit) açısından aralarında istatistiksel olarak anlamlı bir ilişki gözlemlendi (Tablo 1, Şekil 1).



Şekil 1. Dört farklı planlama için monitör unit (MU) değerleri açısından elde edilen grafik

Tablo 1

Parametre	VMAT Truebeam	VMAT Trilogy	3DCA Truebeam	3DCA Trilogy
MU	2473,65(1956-3011)	2550,50(1980-3064)	1392,90(1188-1567)	1402,25(1168-1646)

Tablo 1. Dört farklı planlama için monitör unit (MU) değerleri



**Sol Meme Kanseri Radyoterapisinde LAD ve LV Kardiyak Altyapılarının
Plan Optimizasyonuna Dahil Edilmesinin Araştırılması**

Aykut Oğuz KONUK¹, Umut DİREMSİZOĞLU¹, Ayşegül ÜNAL KARABEY¹, Gülşah ÖZKAN¹, İbrahim Halil SUYUSAL¹, Berna TIRPANCI¹, Nezihan ATEŞ¹, Ayşegül ÜCÜNCÜ KEFELİ¹

¹Kocaeli Üniversitesi Hastanesi Radyasyon Onkolojisi

Aykut Oğuz KONUK / Kocaeli Üniversitesi Hastanesi Radyasyon Onkolojisi

Amaç: Bu çalışmanın amacı, sol meme kanseri radyoterapisinde plan optimizasyonuna sol ventrikül (LV) ve sol ön inen koroner arter (LAD) kalp altyapılarının eklenmesinin dozimetrik değerlendirilmesi.

Yöntem: Merkezimizde radyoterapi alan 53 sol meme kanserli hasta retrospektif olarak değerlendirildi. Her hastaya bilgisayarlı tomografi görüntüleri üzerinden radyasyon onkoloğu ile LV ve LAD kardiyak alt yapıları da dahil edildi. Bu görüntüler üzerinden Eclipse V13.6 tedavi planlama sistemi (TPS) kullanılarak iki parçalı hacimsel ayarlı ark tekniğiyle radyoterapi planları oluşturuldu. Oluşturulan planlarda sol akciğer, kalp, LAD ve LV kritik organlar olarak kabul edildi. Plan kabul kriteri ise hedef hacmin %95'i tanımlanan dozun (50 Gy) tamamını alacak şekilde kabul edilmiştir. Konvansiyonel planlar LV ve LAD koruma planları ile dozimetrik olarak karşılaştırılmıştır.

Bulgu: Sonuç olarak bu çalışmada sol meme radyoterapisinde hacimsel ayarlı ark terapi tekniğiyle yapılan tedavi planlamasının optimizasyonunda LV ve LAD koruyuculuğun etkileri gösterilmiştir.

Sonuç: Konvansiyonel planlar ile koruyucu planlar karşılaştırıldığında hedef hacim parametrelerinde ve kritik yapılara ilişkin değerlerde istatistiksel olarak anlamlı bir fark bulunamadı ($p>0,05$). Ancak kalp (Dmean ve V5), lung (Dmean ve V20) ve kardiyak alt yapıları (LADmean, V15, D2 ve LVmean, V5, V23, D2) değerlendirildiğinde, LV ve LAD koruyucu planın anlamlı derecede daha iyi sonuçlar verdiği görüldü ($p<0,05$).

Anahtar Kelimeler: Sol Meme Kanseri, Sol Ventrikül, Sol Ön İnen Koroner Arter



Tüm Meme Radyoterapisinde Farklı Foton Enerji Düzeylerinin Alan İçi Alan Tekniğine Etkisinin Araştırılması: Hasta Çalışması

Hande Ünal¹, Nina Tunçel¹, Timur Koca¹, Aylin Fidan Korcum Şahin¹

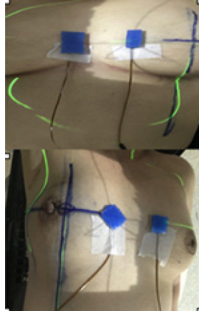
¹Akdeniz Üniversitesi Tıp Fakültesi Radyasyon Onkolojisi Anabilim Dalı

Hande Ünal / Akdeniz Üniversitesi Tıp Fakültesi Radyasyon Onkolojisi Anabilim Dalı

Amaç: Bu çalışmanın amacı tüm meme radyoterapisinde alan-içi-alan (FIF) tekniğine farklı foton enerji düzeylerinin etkisinin planlama ve doz ölçümüyle araştırılmasıdır.

Yöntem: Kliniğimizde bulunan lineer hızlandırıcılar 4 MV ve 6 MV enerjili fotonlar sağlamaktadırlar. Böylece tüm meme tedavileri, tanjansiyel alan içi alan (tFIF) tekniği ile farklı enerjili fotonlar kullanarak MONACO tedavi planlama sistemi (TPS)'de tasarlanabilmektedir. Çalışmaya yeni tanılı 10 meme kanseri kadın hasta dahil edildi. Hastaların BT görüntüleri üzerinde hedef hacim (PTV) ve risk altındaki organ (OAR)'lar konturlandı. Tüm meme tFIF planları fraksiyon dozu 200 cGy olmak üzere 50 Gy için 4 MV ve 6 MV foton enerji düzeyleri ile tasarlandı. Tasarlanan tüm planların Dose-Volüme Histogram (DVH) verileri, Konformite İndeks (CI) ve Homojenite İndeks (HI) parametreleri istatistiksel açıdan değerlendirildi. Tedaviler klinik tarafından uygun görülen şekilde 4 hastada 4 MV ve 6 hastada 6 MV foton enerjisiyle uygulandı. Tedavisi onaylanan 10 hastanın ancak 9'unda in-vivo doz ölçümü Metal Oksit Alan Etkili Transistör (MOSFET) dozimetreler ile gerçekleştirilebildi. PTV'yi temsil eden medial alan merkezinde ve karşı memeyi temsil eden medial alan kenarından 2 cm uzaklıkta ölçüm konumları 5mm derinlikte olacak şekilde TPS'te belirlendi. Bu konumlara denk olmak üzere 5mm bolus kullanarak in-vivo doz ölçümleri hastalarda gerçekleştirildi ve ölçümler her hasta için 3 kez tekrarlandı. Seçilen konumların doz ölçüm sonuçları TPS hesaplamalarıyla karşılaştırıldı.

in-vivo doz ölçümleri



Bulgu: Çalışmaya dâhil edilen 10 hastanın tFIF planlarının enerjiye bağlı dozimetrik parametrelerinin değerlendirmesinde istatistiksel olarak anlamlı bir fark bulunamadı. PTV dozunu temsil eden noktada gerçekleştirilen in-vivo ölçümlerde, TPS hesaplamaları ile ölçüm sonuçları arasında her iki enerjide de ortalama %0,01 fark (4 MV için % 1,5 ve 6 MV için % 0,8) görüldü. Karşı memeyi temsilen seçilen konumda 200 cGy fraksiyon dozu için ortalama ölçülen dozlar 4 MV için 17,07 cGy (15,48-18,62 cGy) iken 6 MV için 16,90 cGy (13,86-19,37 cGy) idi. Bu noktada elde edilen ölçüm doz sonuçları TPS hesaplamalarıyla karşılaştırıldığında 4 MV için ortalama %27,62 ve 6MV için % 25,95 fark bulunup, TPS' in eksik doz hesapladığı belirlendi.

Sonuç: Çalışmaya alınan 10 hastanın tFIF planlarında enerji düzeyine bağlı bir fark bulunamadı. Ölçülen karşı meme nokta dozları her iki enerjide de tedavi dozunun ortalama %8,5'i olarak tespit edildi. TPS' in alan dışı dozları düşük hesapladığı görüldü. Alan dışı dozun doğru bir şekilde belirlenmesi için in-vivo ölçümlerin yapılması tavsiye edilir.



Küçük Alanların Dozimetrik Parametrelerinin Gafkromik Film ile Ölçülmesi

Gül Taşkın¹, Hilal Acar Demir²

¹Karadeniz Teknik Üniversitesi Radyasyon Onkolojisi AD

²Medipol Mega Üniversite Hastanesi Radyasyon Onkolojisi AD

Gül Taşkın / Karadeniz Teknik Üniversitesi Radyasyon Onkolojisi AD

Amaç: Bu çalışmada küçük alanlarda farklı hesaplama algoritmaları ile tedavi planlama sisteminde hesaplanan doz dağılımları ile gafkromik film kullanılarak ölçülen doz dağılımlarının karşılaştırılması amaçlanmıştır.

Yöntem: Çalışmamızda tedavi planlama sisteminde 6FF, 6FFF, 10FF, 10FFF foton enerjilerinde, 0.6x0.6, 1x1, 2x2, 3x3, 5x5, ve 10x10 cm² alan boyutlarında, gantri ve kolimatör açıları 0°, SSD 100 cm olacak şekilde, Analytical Anisotropic Algorithm (AAA), AcurosXB Dm ve AcurosXB Dw hesaplama algoritmaları kullanılarak doz dağılımları hesaplatıldı. Oluşturulan doz dağılımları için daha sonra Truebeam STx 2.0 lineer hızlandırıcı cihazında RW3 katı su fantomları ve EBT3 gafkromik filmler kullanılarak ışınlamalar yapıldı. Profil ışınlamaları, her bir enerji için dmax, 5 cm ve 10 cm olmak üzere üç farklı derinlikte yapıldı.

Bulgu: Hesaplamalar ve ölçümler sonucunda yapılan rölatif doz gamma analizleri incelendiğinde, profil sonuçlarımızda en düşük uyum 10 cm derinlikte 10FFF enerjisinde 0.6x0.6 cm² alan boyutunda AAA algoritmasında %93.9, yüzde derin doz (PDD) sonuçlarımızda 10FFF enerjisinde 0.6x0.6 cm² alan boyutunda AAA algoritmasında % 93 olarak bulunmuştur. Output ölçümlerinde ise alan merkezinde nokta doz okumaları yapıp algoritmalarla yüzdelerdeki farkları hesaplanmış olup, en yüksek fark 6MV foton enerjisinde 0.6x0.6 cm² alan boyutunda AAA algoritmasında %10.69 olarak bulunmuştur. Algoritmalar arasında en büyük fark, profil sonuçlarımızda dmax derinliğinde 10MV enerjide 1x1 cm² alan boyutunda %1.5, yüzde derin doz sonuçlarımızda 10FFF enerjide 5x5 cm² alan boyutunda %2 ve output absolute doz ölçüm sonuçlarımız da ise 6MV enerjide 0.6x0.6 cm² alan boyutunda %10.7 bulunmuştur. Yapılan analizler sonucunda doz profil, yüzde derin doz ve output verileri bize radyasyon alanı küçüldükçe doz hesaplama algoritmasının alınan ölçümlerle uyumunun düştüğünü göstermektedir. Çalışmamızda Eclipse TPS algoritmaları arasında en doğru sonuçları AXB Dw göstermiş olup, AAA algoritması AXB algoritmasına göre düşük uyumlar vermiştir.

Sonuç: Çalışmamızın sonuçları, Eclipse tedavi planlama sisteminde kullanılan 3 farklı doz hesaplama algoritması kullanılarak hesaplanan doz dağılımları için analiz edilen output, PDD ve doz profilleri için hesaplanan ve ölçülen dozlar arasındaki uyumun, ışınlama alanı küçüldükçe azaldığı görülmüştür. Doz hesaplama algoritmaları arasında, ölçüm sonuçları ile en uyumlu sonuçlar AXB Dw hesaplama algoritması için hesaplanan doz dağılımları için elde edilmiştir.



Cheesefantom Hu(Hounsfield Unit) Değerinin Hu Değeri-Mass Density Tablosunaeklenmesinin Tomotherapy Absolute Doz Ölçümüne Etkisi

Nazan Dede Karakoc¹, Betül Kahraman¹, Emriye Algul¹, Doc. Dr. Gokhan Yaprak¹

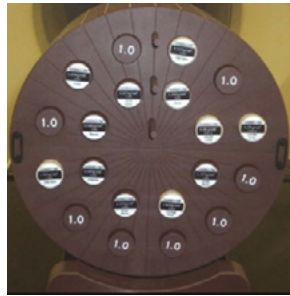
¹Dr Lutfi Kirdar Sehir Hastanesi

Nazan Dede Karakoc / Dr Lutfi Kirdar Sehir Hastanesi

Amaç: Yakın zamanda yayınlanan AAPM (American Association of Physical in Medicine) TaskGroup 306 (TG 306) raporuna göre; Tomotherapy sistemlerinde absolut doz ölçümleri için, cheese fantomun Bilgisayarlı Tomografi (BT) HU değerinin, tedavi planlama sistemine (TPS) tanımlanan BT HU değeri-mass density tablosuna (IVDT) eklenmesi tavsiye edildi. (1) Bu çalışmada amaç, önerilen BT HU değerini IVDT'ye eklemenin klinik uygulamada ne kadar fark getireceğini ölçmektir. Standart lineer hızlandırıcılarda absolute doz ölçümleri $10 \times 10 \text{ (cm)}^2$ sabit açık alanda su fantomu ile alınmaktadır (2), Tomotherapy için $10 \times 10 \text{ cm}$ alan açıklığı mümkün değildir ancak kendi limitleri içerisinde Machine QA bölümü kullanılarak bir sabit açık alan ölçümü almak, statik output kalibrasyonu yapmak mümkündür. Her ne kadar Tomotherapy kullanıcıya sabit statik alan ışınlama imkanı sunsa da; bu şekilde yapılan absolute doz ölçümü, tedavi TPS'den gelen doz datalarını hesaba katmak için kullanılamaz. (3) Absolute doz ölçümü; cheesefantomun bilgisayarlı tomografisi üzerine, TG 148'de tarif edildiği şekilde yapılan TomoPhantom planlarının, cihazda iyon odası ile ölçülmesi ile yapılır. (3) Bu noktada TG306 raporuna göre; IVDT grafiğinde bir değer %2 yanlış tanımlanması, 15cm derinlikte %1'lik doz hatası getirmektedir. Absolute doz kalibrasyonundaki sistematik hatayı azaltmak için, cheesefantom BT değerine karşılık gelen mass density değerinin IVDT'ye 1.013 g / (cm)^3 olarak tanımlanması gerekmektedir. (1)

Yöntem: Absolute doz ölçümü için Tomotherapy Precise Tedavi Planlama Sisteminde (TPS) oluşturulan TomoPhant IMRT QA planlarından Plan3_25mm_NonRSSs planı kullanılmıştır. Klinikte kullanılan planlama IVDT'si kopyalanarak önerilen $35 \text{ HU} \equiv 1.013 \text{ g / (cm)}^3$ değeri grafiğe eklendi. Yeni IVDT kullanılarak plan tekrar çalıştırıldı. Ölçüm için beklenen değer, eski plan ve yeni plan için not edildi. Tomotherapy HDA cihazında her iki plan için, klinik rutininde kullanılan Standart Imaging Extradin A1SL iyon odası ve Tomo Elektrometerelektrometre ile absolute doz ölçümü alındı. Başınç-sıcaklık düzeltilmesi ve NDW hesaba katılarak absolute doz hesaplandı.

Cheese Phantom



Cheese Phantom

Bulgu: TaskGroup 306 raporunda tavsiye edilen IVDT düzeltmesini yapmanın, Tomotherapy cihazı absolute doz verimi doğruluğuna katkısı görülmüştür.

Sonuç: IVDT'sine cheesefantom BT HU değeri tanımlanmış olan ve tanımlanmamış olan planlarda sırası ile, TPS'den gelen doz verisi ve ölçüm ile elde edilen absolute doz arasında aynı yönde %0,2'lik ve %1,1'lik fark olduğu görülmüştür. Planlama Değeri (Gy) Ölçüm Değeri (Gy) Fark (%) Cheese Fantom BT değeri yok 2,02682, 02260, 2 Cheese Fantom BT değeri var 2,02552, 00211, 1

IVDT'sine cheesefantom BT HU değeri tanımlanmış olan ve tanımlanmamış olan planların absolute ölçüm verileri

	Planlama Değeri (Gy)	Ölçüm Değeri (Gy)	Fark (%)
Cheese Fantom BT değeri yok	2,02682	2,02260	0,2
Cheese Fantom BT değeri var	2,02552	2,02111	1,1



Prostat Kanseri Tedavisi Gören Hastaların Mesane Hacimlerinin İncelenmesi

Ashlı Sabah¹, Burak Baturalp Çontu², Yiğit Ali Üncü³, Hüseyin Ordu¹, Serap Akyürek², Cengiz Kurtman²

¹Ankara Üniversitesi Tıp Fakültesi Radyasyon Onkolojisi, Denizli Onkomer

²Ankara Üniversitesi Tıp Fakültesi Radyasyon Onkolojisi, Ankara

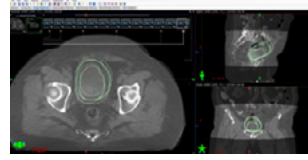
³Akdeniz Üniversitesi Teknik Bilimler Meslek Yüksekokulu, Antalya

Ashlı Sabah / Ankara Üniversitesi Tıp Fakültesi Radyasyon Onkolojisi, Denizli Onkomer

Amaç: Abdominopelvik radyoterapi (RT) uygulamalarında akut ve kronik genitoüriner yan etkiler önemlidir. Prostat kanserinde IMRT, mesane doldurma ve IGRT uygulamaları riskli organ dozlarını düşürmekte yararlıdır. Bu çalışmada mesane doluluğunun plan ve tedaviye uyumu incelendi.

Yöntem: 2020 yılı sonrası 50 prostat vakası için toplamda 500 CBCT yapıldı ve karşılaştırıldı. Hastalara 1 litre su içirilip yarım saat beklemeleri için eğitim verildi. Mesane hacimleri, referans CT ve CBCT arasında kıyaslandı. Veriler GraphPADPrism 8 programı ile analiz edildi. Hastaların doluluk hissinin günden güne değişkenlik göstermesi nedeniyle bir güven aralığı hesaplandı.

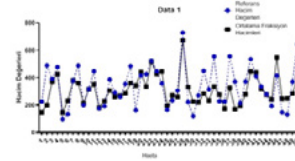
Referans CT üzerinde Mesane Hacimleri



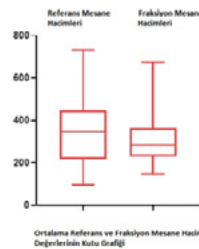
Bulgu: Prostat kanserinde; IMRT, VMAT ve IGRT teknikleri kullanılarak uygulanan tedavilerde, yan etkilerin önlenmesi için, mesane doldurma protokolü ile her fraksiyonda tutarlı mesane volümü elde edilerek tedavi marjlarını dar tutmak ve riskli organ dozlarını düşürmek hedefidir. Bu çalışmada da tedavi edilen hastaların protokole uygun hazırlanıp tedavi edildiği gözlemlendi.

Sonuç: 50 vakanın planlama CT mean mesane volümü 433.9cc (96.4-739.3 cc) ve 500 CBCT mean mesane volümü 308.31 cc (147.3-670.3 cc) dir ($p<0.05$). Güven aralığı standart sapma kullanılarak hesaplandı, standart sapma miktarı azaldıkça güven aralığı daralmaktadır. Çalışmadaki mesane hacimlerinin referans değerlerdeki güven aralığı 296.5 – 379.6 cc, fraksiyonlar arası güven aralığı 277.6 – 339.0 cc saptandı.

Mean Mesane Volümlerinin Değişimleri



Mean Mesane Volümlerinin Kutu Grafiği





POSTERLER

Gamma Plan Doz Optimizasyon Aracı Yeterince Verimli Mi?

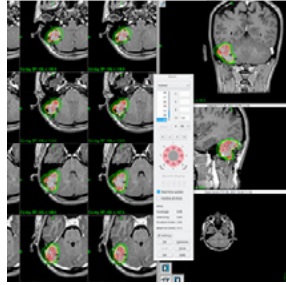
Mehmet Orbay ASKEROĞLU¹, Selçuk Peker¹, Mustafa Yavuz Samancı¹, Ali Haluk Düzkalır¹

¹Koç Üniversitesi Hastanesi

Mehmet Orbay ASKEROĞLU / Koç Üniversitesi Hastanesi

Amaç: Leksell Gamma Knife (LGK) Gamma Plan' ın inverse planning için kullandığı Lightning Dose Optimizer ın (LDO) izomerkez (shot) kullanımı veriminin büyük hacimli menenjiyom (MNG) planlamalarında incelenmesi.

Büyük hacimli MNG planlaması



Yöntem: Daha önce manuel forward planning ile tedavi edilen 17 MNG hastası için LDO algoritması kullanılarak 4 ayrı inverse planlama yapıldı. Bu planlamalar için hacimleri 8,00 cm³ ile 15,00 cm³ arası değişen MNGs seçildi. Başlangıçta her bir hedef için LDO kullanılarak orjinal planlar yapıldı (PO). Orjinal planların izomerkez (shot) ağırlıklarının birden farklı olması sebebi ile orjinal planlar üzerinden bire normalize edilmiş planlar oluşturuldu (PN). Normalize edilmiş bu planlardan da sırasıyla önce 10% ve altındaki ağırlıktaki shotlar (PS 10%) ve sonra 20% ve altındaki ağırlıktaki shotlar kaldırıldı (PS 20%). Her bir hedef için LDO kullanılarak oluşturulan 3 (PN, PS 10%, PS 20%) tedavi planında coverage, gradient index (GI), Paddick's conformity index (PCI), selectivity, number of shots, beam on time kalite indexleri ile V2Gy , V5Gy düşük dozları karşılaştırıldı.

shot listesi

Shot	U	V	W	Gamma	Weight	Collimator	Source
1	302.0	302.0	302.0	90	1.000	10	10
2	302.0	302.0	302.0	90	1.000	10	10
3	302.0	302.0	302.0	90	1.000	10	10
4	302.0	302.0	302.0	90	1.000	10	10
5	302.0	302.0	302.0	90	1.000	10	10
6	302.0	302.0	302.0	90	1.000	10	10
7	302.0	302.0	302.0	90	1.000	10	10
8	302.0	302.0	302.0	90	1.000	10	10
9	302.0	302.0	302.0	90	1.000	10	10
10	302.0	302.0	302.0	90	1.000	10	10
11	302.0	302.0	302.0	90	1.000	10	10
12	302.0	302.0	302.0	90	1.000	10	10
13	302.0	302.0	302.0	90	1.000	10	10
14	302.0	302.0	302.0	90	1.000	10	10
15	302.0	302.0	302.0	90	1.000	10	10
16	302.0	302.0	302.0	90	1.000	10	10
17	302.0	302.0	302.0	90	1.000	10	10
18	302.0	302.0	302.0	90	1.000	10	10
19	302.0	302.0	302.0	90	1.000	10	10
20	302.0	302.0	302.0	90	1.000	10	10
21	302.0	302.0	302.0	90	1.000	10	10
22	302.0	302.0	302.0	90	1.000	10	10
23	302.0	302.0	302.0	90	1.000	10	10
24	302.0	302.0	302.0	90	1.000	10	10
25	302.0	302.0	302.0	90	1.000	10	10
26	302.0	302.0	302.0	90	1.000	10	10
27	302.0	302.0	302.0	90	1.000	10	10
28	302.0	302.0	302.0	90	1.000	10	10
29	302.0	302.0	302.0	90	1.000	10	10
30	302.0	302.0	302.0	90	1.000	10	10
31	302.0	302.0	302.0	90	1.000	10	10
32	302.0	302.0	302.0	90	1.000	10	10
33	302.0	302.0	302.0	90	1.000	10	10
34	302.0	302.0	302.0	90	1.000	10	10
35	302.0	302.0	302.0	90	1.000	10	10
36	302.0	302.0	302.0	90	1.000	10	10
37	302.0	302.0	302.0	90	1.000	10	10
38	302.0	302.0	302.0	90	1.000	10	10
39	302.0	302.0	302.0	90	1.000	10	10
40	302.0	302.0	302.0	90	1.000	10	10
41	302.0	302.0	302.0	90	1.000	10	10
42	302.0	302.0	302.0	90	1.000	10	10
43	302.0	302.0	302.0	90	1.000	10	10
44	302.0	302.0	302.0	90	1.000	10	10
45	302.0	302.0	302.0	90	1.000	10	10
46	302.0	302.0	302.0	90	1.000	10	10
47	302.0	302.0	302.0	90	1.000	10	10
48	302.0	302.0	302.0	90	1.000	10	10
49	302.0	302.0	302.0	90	1.000	10	10
50	302.0	302.0	302.0	90	1.000	10	10

shot listesi

Shot	U	V	W	Gamma	Weight	Collimator	Source
1	302.0	302.0	302.0	90	1.000	10	10
2	302.0	302.0	302.0	90	1.000	10	10
3	302.0	302.0	302.0	90	1.000	10	10
4	302.0	302.0	302.0	90	1.000	10	10
5	302.0	302.0	302.0	90	1.000	10	10
6	302.0	302.0	302.0	90	1.000	10	10
7	302.0	302.0	302.0	90	1.000	10	10
8	302.0	302.0	302.0	90	1.000	10	10
9	302.0	302.0	302.0	90	1.000	10	10
10	302.0	302.0	302.0	90	1.000	10	10
11	302.0	302.0	302.0	90	1.000	10	10
12	302.0	302.0	302.0	90	1.000	10	10
13	302.0	302.0	302.0	90	1.000	10	10
14	302.0	302.0	302.0	90	1.000	10	10
15	302.0	302.0	302.0	90	1.000	10	10
16	302.0	302.0	302.0	90	1.000	10	10
17	302.0	302.0	302.0	90	1.000	10	10
18	302.0	302.0	302.0	90	1.000	10	10
19	302.0	302.0	302.0	90	1.000	10	10
20	302.0	302.0	302.0	90	1.000	10	10
21	302.0	302.0	302.0	90	1.000	10	10
22	302.0	302.0	302.0	90	1.000	10	10
23	302.0	302.0	302.0	90	1.000	10	10
24	302.0	302.0	302.0	90	1.000	10	10
25	302.0	302.0	302.0	90	1.000	10	10
26	302.0	302.0	302.0	90	1.000	10	10
27	302.0	302.0	302.0	90	1.000	10	10
28	302.0	302.0	302.0	90	1.000	10	10
29	302.0	302.0	302.0	90	1.000	10	10
30	302.0	302.0	302.0	90	1.000	10	10
31	302.0	302.0	302.0	90	1.000	10	10
32	302.0	302.0	302.0	90	1.000	10	10
33	302.0	302.0	302.0	90	1.000	10	10
34	302.0	302.0	302.0	90	1.000	10	10
35	302.0	302.0	302.0	90	1.000	10	10
36	302.0	302.0	302.0	90	1.000	10	10
37	302.0	302.0	302.0	90	1.000	10	10
38	302.0	302.0	302.0	90	1.000	10	10
39	302.0	302.0	302.0	90	1.000	10	10
40	302.0	302.0	302.0	90	1.000	10	10
41	302.0	302.0	302.0	90	1.000	10	10
42	302.0	302.0	302.0	90	1.000	10	10
43	302.0	302.0	302.0	90	1.000	10	10
44	302.0	302.0	302.0	90	1.000	10	10
45	302.0	302.0	302.0	90	1.000	10	10
46	302.0	302.0	302.0	90	1.000	10	10
47	302.0	302.0	302.0	90	1.000	10	10
48	302.0	302.0	302.0	90	1.000	10	10
49	302.0	302.0	302.0	90	1.000	10	10
50	302.0	302.0	302.0	90	1.000	10	10



**Prostat Radyoterapisinde Gantry Dönüş Hızının Ve Doz Hızının
Mesane Hacmine Etkisinin Araştırılması**

Esra Serin¹, Kudret Akçay¹, Süheyl Bağcı², Evrim Metcalfe³

¹İstanbul Medipol Üniversitesi Sağlık Bilimleri Enstitüsü Sağlık Fiziği Anabilim Dalı

²Medipol Bahçelievler Hastanesi Radyasyon Onkolojisi Kliniği

³Medipol Üniversitesi Tıp Fakültesi Radyasyon Onkolojisi Anabilim Dalı

Esra Serin / İstanbul Medipol Üniversitesi Sağlık Bilimleri Enstitüsü Sağlık Fiziği Anabilim Dalı

Amaç: Prostat radyoterapi tedavilerinde mesane doluluğu hastanın tedavi yan etkisi ve tedavi plan doğruluğu için önemli bir kriterdir. Hastanın cihazda bulunduğu süreye bağlı olarak mesane doluluğu hastanın tedavisi devam ederken hızla değişmektedir. Bu durum tedavi plan kalitesini ve hasta yan etkisini doğrudan etkilediği için hastanın tedavide kalma süresi önemlidir. Bu çalışmanın amacı cihaz gantry dönüş hızı ve doz hızının tedavisi süresine etkisini belirleyerek bunun hasta mesane doluluk değişimi ve hasta konforuna etkisinin incelenmesi.

Yöntem: Çalışma için kliniğimizde tedavi görmüş 3 prostat hastası seçilmiştir. Tüm hastalara supine pozisyonda 2 mm kesitlerle tedavi öncesi planlama CT'si çekildi. Hastaların hepsine eşit miktarda su verilerek mesane hazırlığı yapıldı. Görüntüler Eclipse 16 tedavi planlama sistemine aktarıldı. Tüm kritik organlar aynı dozimetrist tarafından çizildi. Hastaların planlaması için kliniğimizde bulunan Varian marka iki cihaz kullanıldı. Varian marka Truebeam STx cihazında gantry dönüş hızı 1 rpm Halcyon cihazında gantry dönüş hızı 4 rpm dir. 2 hastanın tedavisi Varian Truebeam STx cihazında 6 MV foton enerjisi 600 doz hızı kullanılarak 2 tam ARC tekniği ile yapıldı. 1 hastanın tedavisi ise Varian Halcyon cihazında 6FFF foton enerjisi 800 doz hızı kullanılarak 4 tam ARC tekniği ile yapıldı. PTV'lerin %95'inin reçetelendirilmiş tedavi dozunun tamamını kapsamayı sağlayacak şekilde normalizasyon yapıldı.

Tüm hastalara tedavi öncesi CBCT (Cone Beam CT) görüntüsü alındı. Kabul edilebilir mesane doluluğuna ulaşan ve tedavi verilen hastalara hastaların belirlenen tedavi günlerinde tedavi alanları ışlandıktan sonra tekrar CBCT çekilerek sisteme kaydedildi. Tedavi öncesi ve sonrası olmak üzere sisteme kaydedilen 2 CBCT görüntüsü üzerine kliniğimizde bulunan dozimetrist tarafından mesane çizilerek mesane hacimleri karşılaştırıldı.

Bulgular: Seçilen 3 hastanın ilk tedavi planlama CT'sine çizilen mesane hacimleri ile tedavi öncesi ve sonrası alınan CBCT görüntülerine çizilen mesane hacimleri karşılaştırıldı. Truebeam cihazında tedaviye giren ilk hasta için 5 fraksiyon boyunca ortalama tedavi süresi 3dakika 2saniye, CBCT mesane farkları karşılaştırıldığında ise iki mesane arası ortalama fark %22.70, aynı cihazda tedaviye giren ikinci hasta için 4 fraksiyon boyunca ortalama tedavi süresi 3dakika 10saniye CBCT görüntülerindeki mesane farkı ise %9.83 olarak bulundu. Halcyon cihazında tedaviye giren hasta için 5 fraksiyon boyunca tedavi süresi ortalama 2dakika 43saniye, CBCT görüntülerindeki mesane farkı ise ortalama %19.95 olarak hesaplandı.

Sonuç: Bu çalışmada, prostat radyoterapisinde, hastanın tedavisi boyunca modern görüntüleme tekniklerinden yararlanarak hasta mesane hacmindeki değişimin fark edilmesi ile hasta tedavi süresinin, tedavi doğruluğuna etkisi ortaya konmak istenmiştir. Sonuç olarak, iki cihaz arasındaki Gantry dönüş hızındaki fark ve doz hızındaki fark tedavi süresine yansımıştır. Truebeam cihazında 1rpm hızında 2 ARC kullanılarak yapılan planların tedavi süreleri ile Halcyon cihazında 4rpm hızında 4ARC kullanılarak yapılan planlardaki tedavi süreleri yaklaşık olarak benzer bulunmuş, tedavi süresi boyunca mesane hacmindeki değişimi oranları da aynı şekilde benzer olarak bulunmuştur. Bu benzerlik göz önünde bulundurulduğunda tedavi planları için eşit ARC sayıları kullanılması durumunda Halcyon cihazında tedaviye giren hastanın cihazdaki tedavi süresi yarı yarıya azalacaktır. Bu durum mesane hacminin değişimi de benzer oranda düşüreceği için hastanın tedavide kalma süresi ve tedavi kalitesi artacaktır. Çalışmamızın devamında aynı ARC sayısına sahip hastalara ait mesane hacimleri arasında bir değerlendirme yapılarak cihaz dönüş hızı ve doz hızının etkisi daha net ortaya konacaktır.



Yeni Bir Normoksik Polimer Jel Dozimetre Geliştirilmesi

Türkan Alkan², Şeyda Kınay², Yoldaş Seki³, Ayşegül Yurt⁴

¹İzmir Ekonomi Üniversitesi, Sağlık Hizmetleri Meslek Yüksekokulu

²Dokuz Eylül Üniversitesi, Medikal Fizik Anabilim Dalı

³Dokuz Eylül Üniversitesi, Fen Fakültesi, Kimya Bölümü

⁴Dokuz Eylül Üniversitesi, Sağlık Hizmetleri Meslek Yüksekokulu

Türkan Alkan / Dokuz Eylül Üniversitesi, Medikal Fizik Anabilim Dalı

Amaç: Radyoterapi teknolojisindeki gelişmeler ile sağlıklı dokuları en iyi şekilde koruyarak tümöre yönelik doz değerlendirmesi yapmak mümkün olmuştur. Bu nedenle, yüksek hassasiyetli dozimetrik sistemlerin geliştirilmesi, geleneksel dozimetrelerin sınırlamalarının aşılmasında önemli bir rol oynar. Bu bağlamda, 3 boyutlu (3D) yüksek uzaysal çözünürlüklü doz dağılımlarının değerlendirilmesinde en umut verici araçlardan biri olan jel dozimetrenin geliştirilmesi büyük önem taşır. Bu çalışmanın amacı, yeni bir normoksik polimer jel dozimetre üretmektir.

Yöntem: Üretilen polimer jel dozimetrelerde, jel matriks olarak jelatin, monomer olarak 2-Hydroxyethyl Methacrylate (HEMA), çapraz bağlayıcı olarak 1-Vinyl-2-Pyrrolidinone (VP) ve Di(ethylene glycol) dimethacrylate (DEGDMA) ve antioksidan olarak Tetrakis (hydroxymethyl) phosphonium chloride (THPC) kullanıldı. Jel dozimetreler lineer hızlandırıcıda 6 MV X-ışını enerjisi kullanarak 11 Gy'e kadar 0.5 Gy aralıklarla ışınıldı. Jel dozimetrelerinin doz yanıtı, manyetik rezonans görüntüleme (MRI) kullanarak, su molekülü içindeki hidrojen protonlarının spin-spin gevşeme hızının ($R2=1/T2$) hesaplanması ile değerlendirildi.

Bulgu: Üretilen normoksik polimer jel dozimetrelerde daha iyi doz yanıtı elde edilmesi için HEMA monomerine eşit oranlarda DEGDMA çapraz bağlayıcısı eklenebileceği, böylece jellerin stabilite ve doz duyarlılığının da arttığı bulunmuştur.

Sonuç: Sonuçlar, % 12 HEMA monomeri içeren jellerin % 10 ve % 14'e göre daha iyi doz yanıtına sahip ($r2=0,81$) olduğunu, HEMA'ya çapraz bağlayıcı olarak DEGDMA eklenmesiyle lineer bir doz yanıtı ($r2=0,96$) elde edildiğini göstermiştir. HEMA+VP'nin % 10, % 12 ve % 14'lük eşit oranda monomer içeren yüzdelerde doz hassasiyeti 0.00003-0.0001 s-1Gy-1 aralığında değişirken, HEMA+DEGDMA'nın farklı oranlarındaki doz hassasiyeti 0.0002 s-1Gy-1 değerindedir.



Beyin Metastazlı Hastaların Tedavi Planlarının Gamma Knife ve Linac Tabanlı Radyocerrahi Teknikleri ile Dozimetrik Karşılaştırılması

Özlem Dağlı¹, Esil Kara², Yeliz Yalçın³

¹1. Gazi Üniversitesi, Tıp Fakültesi, Beyin ve Sinir Cerrahisi Ana Bilim Dalı., Gamma Knife Ünitesi

²2. ONKO Ankara Onkoloji Merkezi

³3. Denizli Onkomer Özel Onkoloji Merkezi

Özlem Dağlı / 1. Gazi Üniversitesi, Tıp Fakültesi, Beyin ve Sinir Cerrahisi Ana Bilim Dalı., Gamma Knife Ünitesi

Amaç: Stereotaktik Radyocerrahi (SRS), beyin metastazı tedavisinde lokal kontrol oranı yüksek bir tedavi seçeneğidir. Gelişen teknoloji ile beraber SRS cihazlarında ve hesaplama tekniklerinde de gelişmeler kaydedilmiştir. Bu çalışmada beyin tümörlerinin SRS tedavilerinde iki farklı teknik ile tedavi planlarının dozimetrik özelliklerinin ve tedavi plan kalitelerinin karşılaştırılması amaçlanmıştır.

Yöntem: Bu çalışmada farklı hacimlerde beyin tümürlü hastalara Gamma Knife Perfexion ve Linac tabanlı SRS planlamaları için Monaco planlama sisteminde 1 coplanar, 3 noncoplanar demet ve 4 er arc ile VMAT SRS teknikleri ile tedavi planlamaları yapılmıştır. Tedavi planları tüm beyin için 12 Gy (V12) alan doku hacmi, Paddick konformalite indeksi (PCI), Gradient indeksi (GI) ve ışınlama süreleri (BOT) açısından karşılaştırılmıştır. Çalışmada farklı tümör hacimlerine sahip 10 hastaya her iki teknikle tedavi planlaması yapılmıştır. GK tedavi planlamalarında reçetelendirilmiş doz; tek fraksiyonda % 50 isodoz hacmi kapsayacak ve 20 Gy doz verilecek şekilde planlama yapılmıştır. Daha sonra aynı hacimlere GK planlarına uygun tümör dozu elde edilecek şekilde Linac tabanlı VMAT SRS planları yapılmıştır. Tümör hacimleri Tablo1’de verilmiştir. Optimizasyon ve hesap işlemlerinden sonra her bir planlanan hedefin ve tüm beynin aldığı dozlar doz volüm histogramı (DVH) yardımıyla incelenmiştir. Plan kalite değerlendirmesinde Paddick (PCI) ve Gradient Index (GI) indeksleri kullanılmıştır. Bütün SRS planları için GI aralığı literatüre uygun olması için 2,9-5,9 arasında olması sağlanmıştır. PCI için alt limit 0,7 olarak belirlenmiştir.

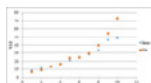
Bulgu: Gamma Knife tedavi planlama sistemi ile yapılan planlamaların genelinde linac tabanlı SRS’ e göre sağlam beyin dokusunda daha net periferik doz düşmesi olduğu bulundu. Tümör hacmi arttıkça belli hacimlere kadar Gamma Knife ile yapılan planlamalarda Linac tabanlı SRS’ e göre tüm beynin aldığı dozun daha düşük olduğu gözlemlendi. Tümör büyüklüğü 9,5-10 cm³ ün üstündeki hacimlerde Gamma Knife ile yapılan planlamada tüm beynin aldığı dozlarda artış olduğu görüldü. Işınlama süreleri açısından ise; Linac ile yapılan planlamalarda tedavinin daha kısa sürede bittiği gözlemlendi. Tüm planların CI ve GI indeksleri arasında istatistiksel anlamlı fark bulunamamıştır (p>0,05).

Sonuç: Küçük hacimli tümörlerde (9,5-10 cm³ altında) Gamma Knife SRS’ in sağlam doku komplikasyonu açısından daha uygun olabileceği, hacim arttıkça fraksiyone radyoterapi yapılması gelişebilecek komplikasyonları azaltmak açısından daha uygun olabileceği düşünülmektedir.

Tablo1

Tablo1. Gamma Knife ve Linac tabanlı Radyocerrahi teknikleri ile farklı hacimlerde tedavi planlamaları yapılan hastaların dozimetrik parametrelerinin karşılaştırılması

Grafik 1





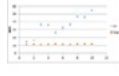
19. ULUSAL MEDİKAL FİZİK KONGRESİ

02-05 KASIM 2023



POSTERLER

Grafik 2



Grafik 2. Gamma Knife ve Linac tabanlı Radyocerrahi ile tedavi edilen hastaların tedavi sürelerinin karşılaştırılması



Cbct Tabanlı Adaptif Radyoterapi Deneyimlerimiz

İrem AYDIN¹, Öznur ŞENKESEN², Emine Burçin İSPİR¹

¹Acıbadem Ataşehir Hastanesi

²Acıbadem Mehmet Ali Aydınlar Üniversitesi

İrem AYDIN / Acıbadem Ataşehir Hastanesi

Amaç: Çalışmamızda kliniğimizin, çevrim içi CBCT tabanlı adaptif radyoterapi (ART) uygulamaları ile ilgili deneyimlerini paylaşmayı amaçladık.

Yöntem: Kliniğimizde Ekim 2022- Ekim 2023 tarihleri arasında ETHOS (versiyon 3.1, Varian Medical System, Inc., Palo Alto, CA) ART sistemi ile 22 hastanın 536 Fraksiyon tedavisi için çevrimiçi ART uygulanmıştır. Tedavi bölgelerine göre hasta sayılarımız; 3 endometriyum, 3 Rektum, 10 Prostat, 3 Mesane, 2 Serviks, 1 SBRT Lenf Nodu. Adaptif RT uygulanan hastaların tedavi bölgelerine göre dağılımı şekil 1 de sunulmaktadır. Bu hastalarda planlama sürecinin başlangıç aşaması konvansiyonel radyoterapi planlama süreci ile benzerdir. Hastanın BT simülasyonu yapıldıktan sonra hedef hacim ve risk altındaki organlar (RAO) çizilmiştir. Bu aşamalar için Ethos tedavi planlama sistemi kullanılmıştır. Kontrolleme sonrasında tedavi planı hazırlama aşamasında hedef ve kritik organlar için adaptif plan optimizasyonu ve değerlendirilmesi için kullanılacak olan amaçlar, sınırlamalar tanımlanmıştır. Optimizasyon sonrasında İstenen doz dağılımı ve dvh parametreleri elde edilecek şekilde hedefler ve öncelik sıralamaları değiştirilerek optimum plan elde edilmiştir. 16 Hastada 1 hedef belirlenirken, 6 hastada SIB dozu olacak şekilde iki farklı doz için hedef hacimler belirlenmiştir. Başlangıç aşamasında 9 alan IMRT planı yapılırken sonraki aşamada Ethos, belirlenen kriterleri kullanarak 7, 9, 12 alanlı IMRT ve 2-3 tam ark VMAT planı oluşturmaktadır. İstenen kriterlere göre optimum plan referans olarak seçilerek ve adaptif tedavide kullanılmak üzere kabul edilmiştir. Çevrimiçi ART uygulamasında, tedaviden hemen önce yapılan CBCT görüntüleme konturlar yapay zeka tarafından otomatik olarak oluşturulmuştur. Hedef hacim ve RAO konturları hekimin kontrolünden sonra, referans planın planlama hedefleri ve kısıtlamalarına göre optimizasyon ve hesaplama sonucunda ETHOS tarafından iki plan (schedule-adaptive) oluşturulmuştur.

Hedef hacim ve RAO geometrisinin değişmediği varsayılarak o günkü CBCT görüntüleme referans plan doz dağılımı (Schedule) ile hedef hacim ve riskli organ geometrisine göre yeniden optimize ve hesaplama yapılan (adaptive) plan doz dağılımları ve DVH değerleri karşılaştırmalı olarak ekranda görülmektedir. Adaptif planın istenen hedefi sağlayıp sağlamadığı kontrol edilerek uygun bulunması sonrasında, geçen süre içinde hasta set up pozisyon doğruluğunun ve intrafraksiyon pozisyon değişimini düzeltmek amacıyla ikinci CBCT çekilerek set up düzeltilmesi yapıldıktan sonra tedavinin uygulanması gerçekleştirilmiştir. Çevrimiçi optimizasyon sürecinde optimizasyona müdahale edilememektedir. Tedavi öncesi hastaya özel kalite kontrol yanı sıra, çevrim içi adaptif planın kalite kontrolü, bu amaçla geliştirilmiş olan MLC log file analizi ile sonuç bildiren Mobius (Versiyon 4.0.2) yazılımı ile yapılmıştır.

Şekil 1. Adaptif RT uygulanan hastaların tedavi bölgelerine göre dağılımı

TEDAVİ ALANI	HASTA SAYISI
PROSTAT	10
ENDOMETRIUM	3
MESANE	3
SERVIKS	2
REKTUM	3
LENF NODU	1

Bulgu: Hastalarımıza ait 536 Fraksiyonda adaptif planlama sürecini belirlemek amacıyla 2 CBCT arasında geçen süre incelendiğinde prostat hastaları için ortalama 18 dakika, mesane hastaları için ortalama 15 dakika, serviks hastaları için ortalama 18 dakika, rektum hastaları için ortalama 16 dakika, endometriyum hastaları için ortalama 21 dakika olduğu bulunmuştur. İkinci CBCT çekildiğinde set up düzeltilmesinin yetersiz kaldığı organ hareketleri (mesane doluluğunun hedefin yerleşimini değiştirdiği ya da rektumda gaz birikmesi) olması tedavinin uygulanmasının mümkün olmadığı hastalar olması dikkat çekici bulunmuştur. 6 hastada planlanan SIB dozu uygulamalarının planlama sırasında uygun şekilde tanımlandığında, adaptif plan optimizasyonunun sonucunun başarıyla hesaplandığı tespit edilmiştir. ART hastalarının 2'sinde referans plan diğerlerinde adaptif plan uygulanmıştır. Referans plan uygulanan hastaların 1'inde tüm tedavi referans plan, diğerinde 1 fraksiyon referans plan diğer günler adaptif plan tercih edilmiştir. Başlangıçta 3 hastada VMAT tekniği (3 tam arc) tercih edilmiştir ancak VMAT'ın çevrimiçi adaptif plan oluşturulmasının zaman alması nedeniyle daha sonra tüm adaptif planlamalarda IMRT tekniği kullanılmıştır.

Sonuç: Kliniğimizde uygulanan çevrimiçi adaptif radyoterapinin hastaların tedavi kalitelerini önemli ölçüde iyileştirdiği, özellikle pelvik bölgede intrafraksiyon organ hareketlerini kompanse edecek şekilde tedavi planlarının adapte edilmesinin tedavi başarısını artırdığı tespit edilmiştir.



3D YüzeY Tarayıcı ile Düzleřtirici Filtrenin Modellenmesi ve Monte Carlo Simülasyonu ile Geometrisinin Doğrulanması

Recep Kandemir^{1,2}, Kadir Akgüngör³

¹Dokuz Eylül Üniversitesi, Sağlık Hizmetleri Meslek Yüksekokulu, Radyoterapi Programı, İzmir

²Dokuz Eylül Üniversitesi, Sağlık Bilimleri Enstitüsü, Medikal Fizik Anabilim Dalı, İzmir

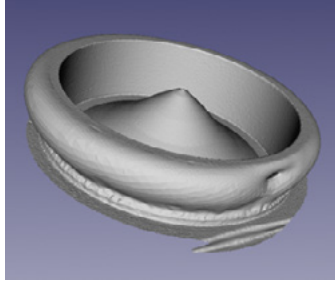
³Dokuz Eylül Üniversitesi, Fen Fakültesi, Fizik Bölümü, İzmir

Recep Kandemir / Dokuz Eylül Üniversitesi, Sağlık Hizmetleri Meslek Yüksekokulu, Radyoterapi Programı, İzmir

Amaç: Üç boyutlu yüzeY tarama sistemleri tıbbın ve endüstrinin farklı alanlarında gerçek bir nesnenin geometrisini sayısalılařtırarak dijital ortama aktarılmasını yüksek hassasiyetle sađlayan cihazlardır. Bu çalışmada, enerji ve doz dağılımı üzerine önemli etkisi olan düzeřtirici filtre geometrisinin 3B tarayıcı ile taratılması, sayısalılařtırılması ve Monte Carlo simülasyonu hesaplamaları ile modelin doğrulanması amaçlanmıştır.

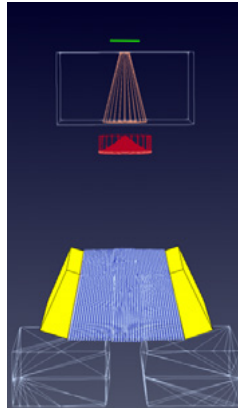
Yöntem: Elekta Synergy cihaz kafasında yer alan 6MV foton enerjisi için kullanılan düzeřtirici filtre Artec3D marka Space Spider model 3 Boyutlu tarayıcı ile yüzeY taraması yapıldı ve elde edilen model STL formatında kayıt edildi (Resim 1) . Elde edilen stl modeli Blender (v2.82) yazılımı kullanılarak gerçek boyutları belirlendi. Monte Carlo simülasyon hesaplamaları için Gamos 6.2.0 yazılımı kullanıldı. Monte Carlo geometrik modeline lineer hızlandırıcının hedef, primer kolimatör, düzeřtirici filtre, Agility çok yapraklı kolimatör ve diyafram (jaw) geometrileri yaratılarak eklendi (Resim 2). Filtre geometrisinin enerji ve doz dağılımı üzerine etkisinin ölçümler ile karşılaştırılabilmesi için sanal su fantomu 90 cm SSD ile modellenerek Monte Carlo hesaplamaları yapıldı. Farklı alan boyutlarında (3x3,10x10, 30x30), 10 cm derinlikte profil ve merkez eksende yüzde derin doz karşılařtırmaları "Trapezoidal Rule (Yamuk)" yöntemi ile yapıldı.

Resim 1



Artec3D Space Spider ile sayısalılařtırılan düzeřtirici filtre geometrisi

Resim 2



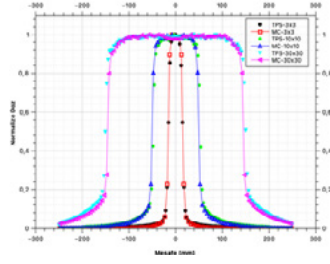


POSTERLER

Elekta Synergy lineer hızlandırıcı cihazının GAMOS Monte Carlo modeli.

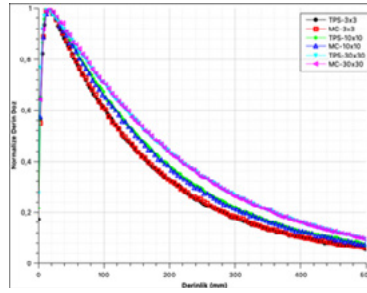
Bulgu: Sanal su fantomunda 10 cm derinlikte ve Cross-plane'de ; 3x3 ve 30x30 cm² alan boyutlarında doz profilleri (Resim 3) ile 10x10 cm² alan boyutunda merkez ekseninde alınan derin doz eğrileri (Resim 4) karşılaştırmalı analiz edildiğinde Monte Carlo hesaplamalarıyla ölçüm değerleri arasında sırasıyla %1.2, %1.1 ve %0.9 farklar elde edilmiştir.

Resim 3



Farklı alan boyutlarında Cross-plane'de profil karşılaştırılması

Resim 4



Farklı alan boyutlarında merkez ekseninde PDD karşılaştırması

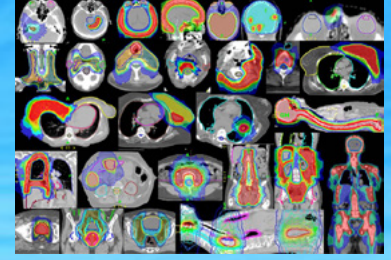
Sonuç: Bu çalışma ile, lineer hızlandırıcı cihazlarında foton ışınlarının yüzey dağılımını düzleştirmek amacıyla kullanılan düzleştirici filtre geometrisi üç boyutlu hassas tarayıcı ile elde edilerek Monte Carlo simülasyonu ile geometrisi modellendi. Sanal fantom üzerinde yapılan Monte Carlo simülasyon hesaplamaları ile ölçüm sonuçları analiz edilerek karşılaştırıldığında %2'in altında farklar bulunarak üç boyutlu tarayıcı ile elde edilen geometrilerin Monte Carlo hesaplamalarında kullanılmasının uygun olacağı sonucuna varıldı.

Radyoterapi'de Üstün Teknoloji

TomoTherapy Tedavisi



Radixact®
by TomoTherapy



TomoTherapy
Tedavi Spektrumu

Yüksek Hassasiyette Hızlı Planlama, Hızlı Konturlama & Hızlı Tedavi

- ✓ **Helical Motion Synchrony;** Aktif Harekete Duyarlı Online Adaptif Radyoterapi opsiyonu
- ✓ **VOLO Ultra;** Premium düzey optimizasyon, tedavi hızlandırma ve tedavi geliştirme opsiyonu
- ✓ **Clear RT;** Helikal Fan Beam KVCT teşhis kalitesinde görüntüleme opsiyonu
- ✓ **Precision;** Tam entegre gelişmiş Planlama ve Konturlama opsiyonu
- ✓ **IDMS;** Entegre data yönetim sistemi, Entegre BT (Bilgisayarlı Tomografi) dedektörü sayesinde gerçek 3 Boyutlu görüntü alıp, Helikal yapısı sayesinde kusursuz tedavi sunar.
- ✓ Gold Standart IG-IMRT (Görüntü Rehberliğinde Yoğunluk Ayarlı Radyoterapi)
- ✓ Adaptif Radyoterapi, Radyocerrahi, SRS, SBRT ve SIB (Simultane Entegre Boost)
- ✓ Radyocerrahi, IG-IMRT, IMRT, 3D-CRT ve IG-RT tedavi tekniklerinin rutin olarak kullanıldığı en gelişmiş tedavi sistemlerindedir
- ✓ Radyoterapi ışın demetlerinin TomoTherapy CT dedektörü tarafından görüntülenerek, planlanan tedavinin nasıl gerçekleştiğini değerlendirir ve ayrıca QA yapma imkanı sunar.
- ✓ Tek seansta izo-merkez ihtiyacı duymadan 40x135 cm² alanda sınırsız sayıda tümörü ışınlayabilen dünyadaki tek cihazdır
- ✓ 1000MU doz hızı, 10 rpm gantry hızı, Precise ART adaptif radyoterapi ve Precise RTX retreatment opsiyonu
- ✓ Motion management (Synchrony) FDA ve CE onaylı.

MEDITEL HEALTHCARE RADYOTERAPİ ÜRÜNLERİ

PTW
THE DOSIMETRY
COMPANY

CQ MEDICAL
Formerly CIVCO RT™ and Gfix™

CIVCO
Radiotherapy
the better way

Ashland
always solving

visionrt



meditel
HEALTHCARE GROUP

Merkez: Molla Gürani Mah. Halıcılar Köşkü Sok.
No:26 Fatih 34093 İstanbul
Tel:+90 212 444 63 85 Faks:+90 212 635 81 43
www.meditelhealthcare.com / www.meditel.com.tr

Şube:Sağlık Sok. Çetin Apt. No:30 Kat:1
D:3 Yenisehir 06410 Ankara
Tel:+90 312 433 75 20 Faks:+90 312 433 80 92